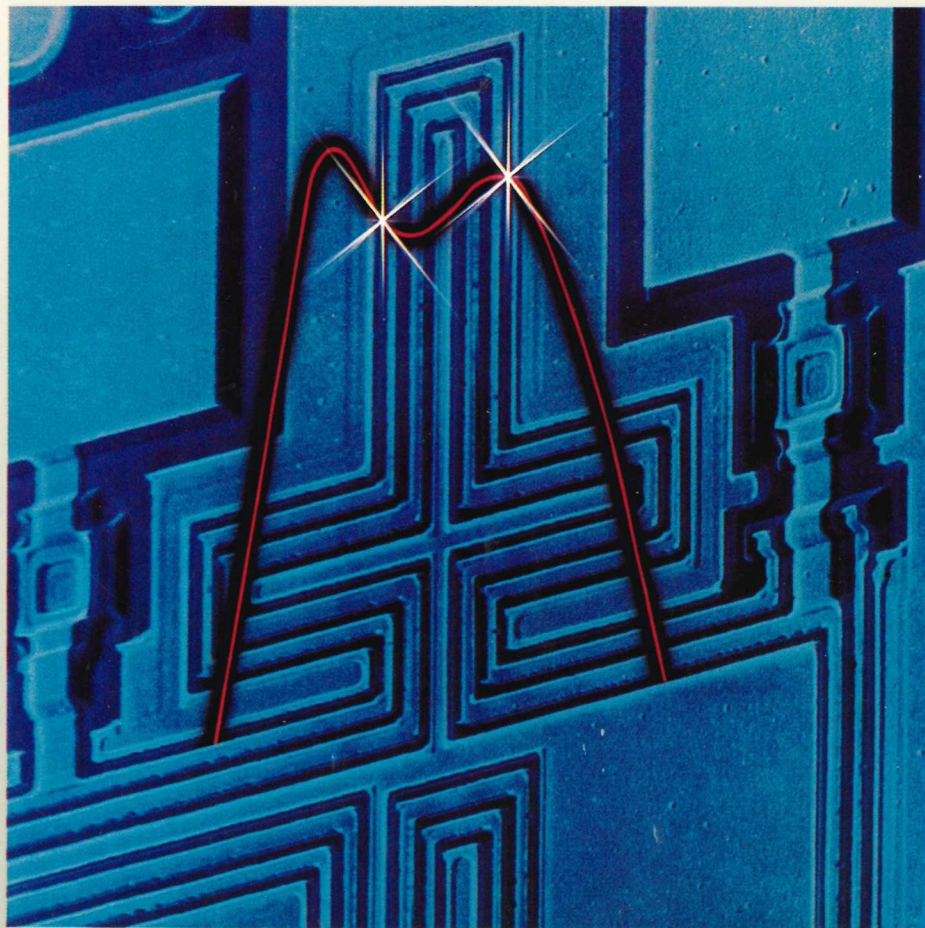


**SIEMENS**

PEEP

# **Tunerhalbleiter**

**Datenbuch 1986/87**



## Tunerhalbleiter

### Datenbuch 1986/87

- Die Neuauflage des Datenbuches Tunerhalbleiter enthält das Typenspektrum unserer Bauelemente für die Verarbeitung von Hochfrequenzsignalen in den Anwendungsbereichen

Rundfunk  
Fernsehen  
TV-SAT-indoor-unit  
Allgemeiner HF-Einsatz

- Für die Innovationsgebiete SMD-Technik und Satelliten-Fernsehen werden zahlreiche Neuentwicklungen vorgestellt.
- Der technische Vorspann enthält Erläuterungen zu Daten, Qualität, Montage und Verpackungsformen und **ausführliche Typentabellen**.
- Die **alphanumerische Folge** der Datenblätter soll Ihnen die Auswahl erleichtern.
- Fragen zu den beschriebenen Typen, zu Liefer- und Preiskonditionen sind uns willkommen.
- Ihre Ansprechpartner — sollten sie nicht schon bekannt sein — finden Sie im Adressenverzeichnis auf den letzten Seiten des Datenbuches.

**SMD = Surface Mounted Devices**



---

## **Inhaltsverzeichnis**

### **Bezeichnungsschema**

---

LPFEP

---

## **Typenauswahlregister**

Typenübersicht

Anwendungsübersicht

Gehäuse-Vergleichsliste

Typen- und Bestellnummern-Verzeichnis

---

## **Erläuterung zu Datenblattwerten**

### **Angaben zur Qualität**

---

---

## **Verpackung**

### **Verarbeitungshinweise**

---

---

## **Dioden**

---

---

## **Transistoren**

---

---

## **Siemens in Ihrer Nähe**

(Anschriftenverzeichnis)

---

blank page

# **Tunerhalbleiter**

## **Datenbuch 1986/87**



# Problemlos bestellen mit der SBS Preis- und Lagerliste



## **Für Kunden in der Bundesrepublik Deutschland und Berlin (West)**

Die SBS Preis- und Lagerliste mit etwa 800 Seiten erscheint jährlich neu. Sie umfaßt die Schwerpunkttypen aus dem Siemens Bauteile-Gesamtprogramm mit Preisen und den wichtigsten Daten.

Ihre Bestellungen richten Sie bitte an den Vertrieb Bauteile (VB) der Ihnen nächstgelegenen Siemens-Anschrift (siehe Anschriftenverzeichnis).

Die SBS Preis- und Lagerliste erhalten Sie kostenlos bei

Siemens AG  
Infoservice  
Postfach 146  
8510 Fürth  
Tel. (09 11) 30 01-2 60  
Tx. 623 313  
FAX (09 11) 30 01-2 71  
Stichwort „SBS Preis- und Lagerliste“.

## **Für Kunden im Ausland**

dient als Bezugsquelle der Vertrieb Bauteile der jeweiligen Landesgesellschaften oder Vertretungen.

**Herausgegeben von Siemens AG, Bereich Bauelemente  
Produkt-Information, Balanstraße 73, D-8000 München 80.**

Für die angegebenen Schaltungen, Beschreibungen und Tabellen wird keine Gewähr bezüglich der Freiheit von Rechten Dritter übernommen.

Mit den Angaben werden die Bauelemente spezifiziert, nicht Eigenschaften zugesichert. Liefermöglichkeiten und technische Änderungen vorbehalten.

Fragen über Technik, Preise und Liefermöglichkeiten richten Sie bitte an den Vertrieb Bauteile (VB) der Ihnen nächstgelegenen Siemens-Anschrift in der Bundesrepublik Deutschland und Berlin (West) oder an unsere Landesgesellschaften im Ausland (siehe Anschriftenverzeichnis).

---

**Inhaltsverzeichnis**  
**Bezeichnungsschema**

---

blank page



	Seite
<b>Bezeichnungsschema</b>	8
Typenschlüssel	8
Typenstempel	9
Bestellnummer	9
<b>Typenauswahlregister</b>	12
Typenübersicht	12
Anwendungsübersicht	14
Gehäuse-Vergleichsliste	16
Typen- und Bestellnummern-Verzeichnis (alphanumerisch)	17
<b>Erläuterung zu Datenblattwerten</b>	20
<b>Angaben zur Qualität</b>	21
<b>Verpackung</b>	24
Gurtung: Gehäuse TO 92	24
Gurtung: Gehäuse DO 35	25
Gurtung: Gehäuse SMD, für Oberflächenmontage	26
<b>Verarbeitungshinweise</b>	27
EGB; Elektrostatisch Gefährdete Bauelemente	27
Wärmeableitung	27
Mechanische Beanspruchung	28
Einbau	28
<b>Dioden — Daten</b>	30
<b>Transistoren — Daten</b>	82

### Typenschlüssel

Der „europäische“ Typenschlüssel nach Pro Electron verwendet zur Typenkenning 2 Buchstaben (Material- und Anwendungsklasse) und weitere 3 oder mehr fortlaufende Registrierkennzeichen.

Der erste Buchstabe beschreibt das Halbleitermaterial:

- A Germanium (oder Bandabstand von 0,6—1 eV)
- B Silizium (oder Bandabstand von 1—1,3 eV)
- C III-V-Material, z. B. Gallium-Arsenid (oder Bandabstand von mehr als 1,3 eV)
- D Material mit Bandabstand von weniger als 0,6 eV, z. B. Indium-Antimonid
- R Halbleiterverbindungen für Photo- und Hall-Effektanwendung

Der zweite Buchstabe beschreibt den Anwendungsbereich:

- A Signal-Diode, kleine Leistung
- B Kapazitätsdiode
- C NF-Kleinsignaltransistor,  $R_{thJC} > 15 \text{ K/W}$
- D NF-Leistungstransistor,  $R_{thJC} < 15 \text{ K/W}$
- E Tunnelodiode
- F HF-Kleinsignaltransistor,  $R_{thJC} > 15 \text{ K/W}$
- G Bauelementkombination, Array, Multichip
- H Hall-Feldsonde
- L HF-Leistungstransistor,  $R_{thJC} < 15 \text{ K/W}$
- N Optokoppler
- P Strahlungsempfänger, z. B. Photoelement
- Q Strahlungssender, z. B. Lumineszenzdiode
- R Schaltelement kleiner Leistung mit Thyristorcharakter,  $R_{thJC} > 15 \text{ K/W}$
- S Schalttransistor kleiner Leistung,  $R_{thJC} > 15 \text{ K/W}$
- T Schaltelement hoher Leistung mit Thyristorcharakter,  $R_{thJC} < 15 \text{ K/W}$
- V Schalttransistor hoher Leistung,  $R_{thJC} < 15 \text{ K/W}$
- X Frequenzvervielfacherdiode
- Y Leistungsgleichrichterdiode
- Z Spannungsbegrenzerdiode, Z-Diode, Referenzelement

Die laufende Registriernummer besteht bei Bauelementen, die für Geräte der „Unterhaltungselektronik“ entwickelt wurden, aus 3 Ziffern (z. B. BF 970), bei Bauelementen, die vorzugsweise in Geräten der „professionellen“ Elektronik eingesetzt werden, aus einem Buchstaben und 2 Ziffern (z. B. BXY 43).

Ein Zusatzbuchstabe zur Registriernummer wird zur Definition einer mechanischen oder elektrischen Variante verwendet.

Andere Typenkennungen sind nach JEDEC-Schema oder hausinterner Nomenklatur möglich.

### Typenstempel

Sofern das Bauelement genügend Platz bietet, wird die volle Typenbezeichnung, der Herstelldatumcode (Jahr — Monat nach DIN 41314.1 oder Jahr, Woche nach DIN 41314.2 bzw. EIA) und das Herstellerzeichen (§ bzw. S) aufgedruckt, anderenfalls werden Kurzzeichen, wie im Datenblatt angegeben, verwendet. Farbkodierungen, im Datenblatt vermerkt, dienen Typen- und Gruppenunterscheidungen.

### Bestellnummer

Sie ist im Datenblatt für Standardtypen angegeben. Auf besonderen Lieferverträgen basierende Sonderausführungen erhalten eigene Bestellnummern.



blank page

---

## **Typenauswahlregister**

Typenübersicht

Anwendungsübersicht

Gehäuse-Vergleichsliste

Typen- und Bestellnummern-Verzeichnis

---

# Typenauswahlregister

## Typenübersicht

### Schalter-PIN-Dioden

Typ	Kenndaten ( $T_A = 25^\circ\text{C}$ )					Gehäuse	Seite
	$V_{R\max}$	$C_T (f=1\text{ MHz})$	$V_R$	$r_f (f=100\text{ MHz})$	$I_F$		
	V	pF	V	$\Omega$	mA		
BA 243	35	<2	15	<1	10	DO 35	30
BA 243 S	35	<1,5	5	<0,7	10	DO 35	32
BA 244	35	<2	15	<0,5	10	DO 35	30
BA 244 S	35	<1,5	5	<0,5	10	DO 35	32
BA 282	35	<1,2	3	<0,5	10	DO 35	34
BA 283	35	<1	3	<0,9	10	DO 35	34
BA 284	35	<1	20	<0,6	10	DO 35	36
▼ BA 389	30	0,55	10	5	10	DO 35	38
▼ BA 682	35	<1,2	3	<5	10	SOD 80	41
▼ BA 683	35	<1	3	<0,9	10	SOD 80	41
▼ BA 885	50	0,3	10	5	10	SOT 23	44

### Abstimmtdioden

Typ	$C_T (f=1\text{ MHz})$	$V_R$	$C_{T1}/C_{T2}$	$V_{R1}, V_{R2}$	$r_s$	Gehäuse	Seite
	pF	V	—	V; V	$\Omega$		
▼ BB 112	440...520	1	> 18	1; 8,5	1,4	TO 92	46
BB 204 grün	34...39	3	2,55...2,8	3; 30	0,2	TO 92	49
BB 204 blau	37...42	3	2,55...2,8	3; 30	0,2	TO 92	49
BB 304	42...47,5	2	1,65...1,75	2; 8	0,2	TO 92	52
▼ BB 314	44,75	2	2,2	2; 8	0,25	TO 92	55
BB 409	4,5...5,6	25	5...6,5	3; 25	0,3	DO 35	57
BB 505 B	1,85...2,25	28	7,7...9,4	1; 28	0,62	DO 35	60
BB 505 G	1,8...2,4	28	7,5...9,5	1; 28	0,8	DO 35	60
▼ BB 515 B	1,85...2,25	28	8...9,5	1; 28	0,55	Mini-plast	63
▼ BB 515 G	1,8...2,4	28	7,5...9,5	1; 28	0,75	Mini-plast	63
BB 609 A	2,5...3	28	12...15	1; 28	0,7	DO 35	65
BB 609 B	2,8...3,2	28	12...15	1; 28	0,7	DO 35	65
▼ BB 610	3,75	28	> 19	1; 28	1,4	DO 35	67
▼ BB 619 A	2,5...3	28	> 12	1; 28	0,65	Mini-plast	69
▼ BB 619 B	2,8...3,2	28	> 12	1; 28	0,65	Mini-plast	69
▼ BB 620	3,75	28	> 19	1; 28	1,3	Mini-plast	71
▼ BB 801	1	28	9	1; 28	1	SOT 23	73
▼ BB 804	42...47,5	2	1,7	2; 8	0,25	SOT 23	75
▼ BB 814	44,75	2	2,2	2; 8	0,25	SOT 23	78

▼ Neuaufnahmen



**Bipolar-HF-Transistoren**

Typ	Grenzdaten			Kenndaten ( $T_A = 25^\circ\text{C}$ )						Gehäuse	Seite
	$V_{CE0}$	$I_C$	$P_{tot}$	$h_{FE}$	$I_C$	$V_{CE}$	$F$	$f$	$f_T$		
	V	mA	mW	—	mA	V	dB	MHz	MHz		
PNP-P											
NPN-N											
BF 199	N	25	25	500	85 (>38)	7	10		550	TO 92	82
BF 240	N	40	25	250	65...220	1	10	1,7	0,1	TO 92	86
BF 241	N	40	25	250	35...125	1	10	1,7	0,1	TO 92	86
BF 254	N	20	30	250	65...220	1	10	1,2	1	TO 92	89
BF 255	N	20	30	250	35...130	1	10	3,8	100	TO 92	89
BF 414	P	30	25	300	80 (>30)	4	10	3	100	TO 92	92
BF 450	P	40	25	250	65...220	1	10	2	0,1	TO 92	94
BF 451	P	40	25	250	35...125	1	10	3	100	TO 92	94
BF 506	P	35	30	300	>25	3	10	3	200	TO 92	99
▼ BF 517	N	15	25	280	25...250	5	10	5	800	SOT 23	101
BF 550	P	40	25	280	50...250	1	10	3,4	100	SOT 23	104
BF 554	N	20	30	280	60...250	1	10	3	100	SOT 23	109
BF 569	P	35	30	280	50 (>20)	3	10	4,5	800	SOT 23	113
BF 579	P	20	30	280	>20	10	10	4	800	SOT 23	116
BF 599	N	25	25	280	70 (>38)	7	10		550	SOT 23	119
BF 606 A	P	30	25	300	>30	1	10		700	TO 92	123
BF 660	P	30	25	280	>30	3	10		700	SOT 23	125
BF 763	N	15	25	500	25...250	5	10	5	800	TO 92	128
▼ BF 770 A	N	12	50	280	90 (>40)	30	5	2	800	SOT 23	130
▼ BF 775	N	12	30	280	40...250	5	6	2,1	800	SOT 23	133
BF 799	N	20	35	280	40...250	20	10	3	100	SOT 23	136
BF 959	N	20	100	500	40...250	20	10	3	200	TO 92	139
BF 970	P	35	30	160	50 (>25)	3	10	4,5	800	T-plast	187
BF 979 S	P	25	50	160	>20	10	10	3,5	800	T-plast	189

**MOS-Feld-Effekt-Tetroden**

Typ	Grenzdaten			Kenndaten ( $T_A = 25^\circ\text{C}$ )						Gehäuse	Seite
	$V_{DS}$	$I_D$	$P_{tot}$	$g_{fs}$	$G_P$	$F$	$V_{DS}$	$I_D$	$f$		
	V	mA	mW	mS	dB	dB	V	mA	MHz		
N-Kanal											
BF 960	20	30	200	12	16,5	2,8	15	7	800	X-plast	142
BF 961	20	30	200	17	23	1,8	15	10	200	X-plast	152
BF 963	20	50	200	25	25	1,5	15	10	200	X-plast	162
BF 964 S	20	30	200	18	25	1,0	15	10	200	X-plast	168
▼ BF 965	20	30	200	18	25	1,0	15	10	200	X-plast	174
▼ BF 966 S	20	30	200	18	18	1,8	15	10	800	X-plast	180
▼ BF 989	20	30	200	12	16,5	2,8	15	7	800	SOT 143	191
▼ BF 993	20	50	200	25	25	1,5	15	10	200	SOT 143	201
▼ BF 994 S	20	30	200	18	25	1,0	15	10	200	SOT 143	208
▼ BF 995	20	30	200	17	23	1,8	15	10	200	SOT 143	214
▼ BF 996 S	20	30	200	18	18	1,8	15	10	800	SOT 143	224
BF 997	20	30	200	18	25	1,0	15	10	200	SOT 143	232

▼ Neuaufnahmen

# Typenauswahlregister

## Anwendungsübersicht

Anwendung		Tuner			ZF-Verstärker Trennverstärker
		Vorstufe	Mischer	Oszillator	
TV-Bereich	VHF	BA 243/S BA 244/S BA 282 BA 283 BA 284 BA 389 BA 682 BA 683  BB 409 BB 505 G BB 515 G  BF 961 BF 995	BA 243/S BA 244/S BA 282 BA 283 BA 284 BA 389 BA 682 BA 683  BB 409 BB 505 G BB 515 G  BF 506 BF 961 BF 995	BA 243/S BA 244/S BA 282 BA 283 BA 284 BA 389 BA 682 BA 683  BB 409 BB 505 G BB 515 G  BF 506 BF 606 A BF 660	BF 199 BF 517 BF 599 BF 959
	VHF (CATV/ Hyperband)	BB 609 A/B BB 610 BB 619 A/B BB 620  BF 964 S BF 965 BF 994 S BF 997	BB 609 A/B BB 610 BB 619 A/B BB 620  BF 506 BF 964 S BF 965 BF 994 S BF 997	BB 609 A/B BB 610 BB 619 A/B BB 620  BF 506 BF 517 BF 606 A BF 660 BF 763	
	UHF	BB 505 B BB 515 B  BF 960 BF 966 S BF 989 BF 996 S	BB 505 B BB 515 B  BF 579 BF 775 BF 979 S	BB 505 B BB 515 B BF 569 BF 970 BF 569 BF 970	
TV-SAT	Indoor Unit	BA 389 BA 885  BB 801 BF 775	BB 801 BF 775	BB 801 BF 775	BF 770 A

Fortsetzung: nächste Seite

## Fortsetzung

Anwendung		Tuner			ZF-Verstärker Trennverstärker
		Vorstufe	Mischer	Oszillator	
Rundfunkbereich	MW	BB 112	BB 112	BB 112	
	UKW	BB 204	BB 204	BB 204	
		BB 304	BB 304	BB 304	
		BB 314	BB 314	BB 314	
		BB 804	BB 804	BB 804	
		BB 814	BB 814	BB 814	
		BF 255	BF 241	BF 241	BF 240
		BF 414	BF 255	BF 255	BF 241
		BF 961	BF 451	BF 451	BF 254
		BF 963	BF 995		BF 255
		BF 993			BF 450
		BF 995			BF 451

## Gehäuse-Vergleichsliste

Anwendung	Gehäuse	Konventionelle Montage				Oberflächenmontage-SMD			
		TO 92	T-plast	X-plast	DO 35	SOT 23	SOT 143	SOD 80	Mini-plast
<b>1. Schalter-PIN-Dioden</b> <ul style="list-style-type: none"> <li>VHF-Bandumschaltung</li> <li>HF-Regelwiderstand, TV-SAT-Polarisationsumschaltung</li> </ul>					BA 243/S BA 244/S BA 282 BA 283 BA 284 BA 389	BA 885		BA 682 BA 683	
<b>2. Abstimmdioden</b> <ul style="list-style-type: none"> <li>LW, MW, KW</li> <li>UKW</li> <li>UKW mit erweitertem Frequenzbereich</li> <li>VHF</li> <li>VHF (Hyperband)</li> <li>UHF/VHF</li> <li>UHF/TV-SAT</li> </ul>	BB 112				BB 204 BB 304 BB 314  BB 409 BB 609 A/B BB 610 BB 505 B/G	BB 804 BB 814   BB 801			BB 619 A/B BB 620 BB 515 B/G
<b>3. Bipolar-Transistoren</b> <ul style="list-style-type: none"> <li>TV-ZF-Endstufen</li> <li>MW, UKW</li> <li>ZF-Stufe (MW, UKW)</li> <li>VHF-Oszillator</li> <li>HF-Trennverstärker/Oszillator</li> <li>OFW-Treiber</li> <li>UHF-Mischer/Oszillator</li> <li>TV-SAT</li> </ul>	BF 199 BF 254 BF 255 BF 414 BF 450 BF 451 BF 240 BF 241 BF 506 BF 606 A BF 763  BF 959					BF 599 BF 554  BF 660 BF 550  BF 660 BF 660 BF 517  BF 799 BF 569 BF 579 BF 775 BF 770 A			
<b>4. MOS-FET-Tetroden</b> <ul style="list-style-type: none"> <li>UHF-Vorstufe</li> <li>VHF-UKW-Vorstufe/Mischer</li> </ul>					BF 960 BF 966 S BF 961 BF 963 BF 964 S BF 965		BF 989 BF 996 S BF 995 BF 993 BF 994 S BF 997		

## Typen- und Bestellnummern-Verzeichnis (alphanumerisch)

Typ	Bestellnummer	Seite	Typ	Bestellnummer	Seite
BA 243	Q62702-A521	30	BF 254	Q62702-F201	89
BA 243 S	Q62702-A607	32	BF 255	Q62702-F329	89
BA 244	Q62702-A421	30	BF 414	Q62702-F517	92
BA 244 S	Q62702-A618	32	BF 450	Q62702-F312	94
BA 282	Q62702-A428	34	BF 451	Q62702-F313	94
BA 283	Q62702-A429	34	BF 506	Q62702-F534	99
BA 284	Q62702-A632	36	BF 517	Q62702-F988	101
BA 389	Q62702-A732	38	BF 550	Q62702-F547	104
BA 682	Q62702-A723	41	BF 554	Q62702-F551	109
BA 683	Q62702-A145	41	BF 569	Q62702-F548	113
BA 885	Q62702-A742	44	BF 579	Q62702-F552	116
BB 112	Q62702-B240	46	BF 599	Q62702-F550	119
BB 204 blau	Q62702-B58-X6	49	BF 606 A	Q62702-F535	123
BB 204 grün	Q62702-B57-X5	49	BF 660	Q62702-F549	125
BB 304	Q62702-B84	52	BF 763	Q62702-F766	128
BB 314	Q62702-B397	55	BF 770 A	Q62702-F1068	130
BB 409	Q62702-B112	57	BF 775	Q62702-F991	133
BB 505 B	Q62702-B37	60	BF 799	Q62702-F788	136
BB 505 G	Q62702-B270	60	BF 959	Q62702-F640	139
BB 515 B	Q62702-B398	63	BF 960	Q62702-F499	142
BB 515 G	Q62702-B399	63	BF 961	Q62702-F518	152
BB 609 A	Q62702-B196	65	BF 963	Q62702-F904	162
BB 609 B	Q62702-B197	65	BF 964 S	Q62702-F446	168
BB 610	Q62702-B400	67	BF 965	Q62702-F660	174
BB 619 A	Q62702-B401	69	BF 966 S	Q62702-F438	180
BB 619 B	Q62702-B402	69	BF 970	Q62702-F650	187
BB 620	Q62702-B403	71	BF 979 S	Q62702-F610	189
BB 801	Q62702-B346	73	BF 989	Q62702-F874	191
BB 804	Q62702-B328	75	BF 993	Q62702-F899	201
BB 814	Q62702-B404	78	BF 994 S	Q62702-F963	208
BF 199	Q62702-F355	82	BF 995	Q62702-F872	214
BF 240	Q62702-F302	86	BF 996 S	Q62702-F964	224
BF 241	Q62702-F303	86	BF 997	Q62702-F993	232

 = **SMD** Surface Mounted Devices

blank page

---

**Erläuterung zu Datenblattwerten**  
**Angaben zur Qualität**

---



### Grenzdaten

Die angegebenen Grenzdaten sind eigenständige Absolutwerte der Bauelement-Belastbarkeit, bei deren Überschreitung eine Zerstörung des Bauelementes oder eine nachhaltige Beeinträchtigung seiner Daten bzw. Funktion zu erwarten ist. Bei Bauelementeprüfungen, etwa der Durchbruchspannungen, wie auch in der Anwendung, muß deswegen mit entsprechenden Sicherungen das Überschreiten der Grenzdaten zuverlässig verhindert werden.

### Kenndaten

Typische Kenndaten charakterisieren den Bauelementetyp unter definierten Betriebsbedingungen in Zahlen und Diagrammen, sie sind nicht als Daten jedes einzelnen Exemplars aufzufassen. Die aus wichtigen Qualitäts- oder Anforderungserfordernissen angegebenen Minimal- und Maximalwerte bezeichnen den tatsächlichen Streubereich der Kenndaten, in Diagrammen eingetragene Streukurven in der Regel den überwiegend zu erwartenden Streubereich. Die elektrischen Kenndaten sind fallweise nach Gleichstromdaten („statisch“) und Wechselstromdaten („dynamisch“) gruppiert.

Als eng mit der Belastbarkeit gekoppelter Kennwert ist der

**Wärmewiderstand** als oberer Streuwert unmittelbar nach den Grenzdaten angeordnet.

**Gehäusedaten** sind durch Verweis auf Normenblätter oder bemaßte Zeichnung definiert, die Verpackungsform wird als nicht bauelement-typische Angabe nur in Sonderfällen im Datenblatt genannt (etwa als Bestellnummern-Variante).

Lieferqualität

Die Lieferqualität wird in diesem Datenbuch durch technische Merkmale wie Grenzdaten und Streugrenzen der Kenndaten beschrieben.

Annehmbare Qualitätslage (AQL)

Zur Beurteilung der annehmbaren Qualitätslage von Lieferlosen werden bei stichprobenweisen Überprüfungen der qualitativen Merkmale (Attribute) AQL-Werte zugrunde gelegt. Als Grundlage für die Attributprüfung dienen die Einfach-Stichprobenpläne für normale Prüfung, Hauptprüfniveau II nach DIN 40080 (oder IEC 410, MIL-STD-105D).

Fehlerarten, Fehlerklassen

Ein Fehler liegt vor, wenn ein Bauelementmerkmal nicht den Datenblattangaben entspricht. Die Fehler werden nach Art und Ausmaß klassifiziert.

Fehler-Art

- Fehler an Gehäusen und Zuleitungen
- Fehler in elektrischen Eigenschaften

Fehler-Ausmaß

- Ein Fehler liegt vor, wenn ein Merkmalswert den spezifizierten Bereich überschreitet.
- Ein Totalfehler beschreibt den Zustand eines Bauelements, der jede funktionsgemäße Verwendung ausschließt.

AQL-Tabelle

Fehler-Art	AQL
Totalfehler (mechanisch und elektrisch)	0,1
Summe Fehler statischer (Gleichstrom-)Daten	0,4
Fehler dynamischer (Wechselstrom-)Daten	1,5
Summe Fehler in Gehäusen und Zuleitungen	0,4

AQL-Werte beschreiben nicht die tatsächliche Qualität der einzelnen Lieferlose, sondern bestimmen bei Anwendung der Stichprobenpläne die Annahme oder Rückweisung.

Der prozentuale durchschnittliche Fehleranteil von Auslieferungen liegt im allgemeinen unter den AQL-Werten.

blank page

---

**Verpackung  
Verarbeitungshinweise**

---

## Verpackung

Jede Verpackungseinheit regulärer Lieferungen trägt Aufdrucke mit Informationen über Hersteller, Typ, Anzahl, Herstelldatum und -ort, Loszugehörigkeit, ESD-Empfindlichkeit, Paarung usw. Diese für den Inhalt verbindlichen Angaben kennzeichnen im Klartext insbesondere Typen, deren Bauformen keine ausführliche Bestempelung zulassen und sind zur Rückmeldung wichtig, sollten einmal Reklamationen nötig sein.

Schüttgut ist die allgemeine ungerichtete Verpackungsform („bulk packaging“), die eine ungehinderte Einzelentnahme ermöglicht, bei automatischer Gerätebestückung aber richtungsorientierende Zufuhrstationen erfordert. Sie gilt, insbesondere bei T-plast- und X-plast-Bauelementen, als normale Verpackungsform. Gurtung ist in standardisierten Versionen bei TO 92- und SMD-Gehäusen vorgesehen, bei Dioden mit axialen Anschlußdrähten (DO 35) ist sie normale Verpackungsart.

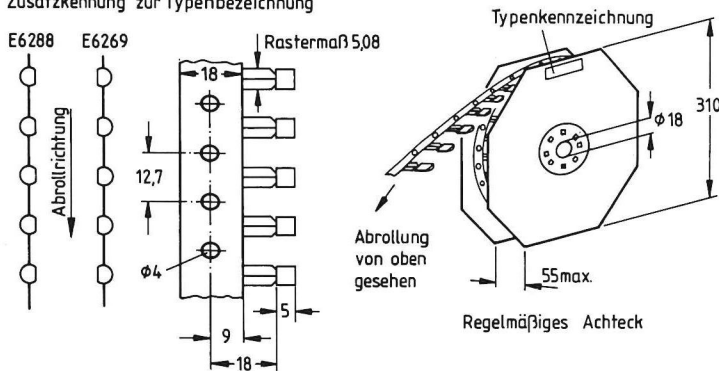
Die folgende Zusammenstellung gibt einen Überblick über die derzeitigen Gurtformen. Zu Einzelheiten über Maßtoleranzen oder Variationen der Orientierung erbitten wir Ihre Anfrage.

### Gurtung: TO 92-Gehäuse

(Gurtung von Bauteilen mit „radialen Anschlüssen“)

Die Bauteile sind einseitig fixiert. Grundsätzlich ist in der Gurtablaufrichtung die Lage der Flachseite des Gehäuses, damit der Anschlüsse-Orientierung, zu beachten (s. Skizzen). Die Gurtmaße entsprechen DIN IEC-Normen-Vorschlägen. Die Drahtanschlüsse sind regelmäßig auf das in-line-Rastermaß 200 mil, entsprechend 5 mm (der äußeren Anschlüsse), gekröpft. Der Gurt wird mit 1500 Stck. auf Rollen (achteckiger Umriß) mit Papierzwischenlage und Wellpappeabdeckung geliefert; Faltverpackung („ammo-pack“) ist mit 1000 Stck./Karton — Zusatzkennung E6325 zur Typenbezeichnung — lieferbar.

Zusatzkennung zur Typenbezeichnung



## Gurtung: DO 35-Gehäuse

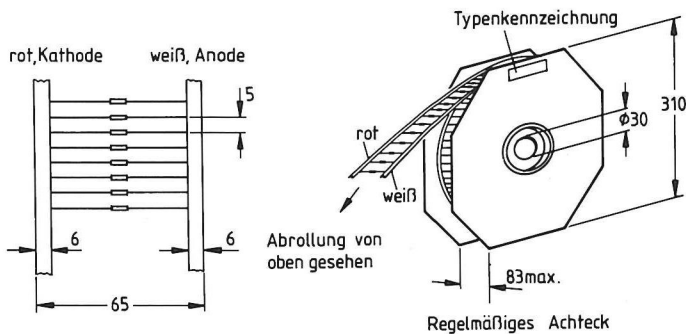
(Gurtung von Bauteilen mit „axialen Anschlüssen“)

Standardlieferform ist der auf achteckige Pappe-Kunststoffrollen gewickelte doppelt geführte Gurt gemäß DIN IEC 52.133, EIA RS 481 mit einer maximalen Füllmenge von 15 000 Stck. je Rolle.

Die Faltverpackung des Gurtes im Karton wird nur für kleine Mustermengen oder nach besonderer Vereinbarung verwendet; ebenso bedarf die Beifügung einer Schutzpapierbahn zwischen den Gurtlagen einer vertraglichen Regelung.

Die Dioden sind polaritätsorientiert gegurtet; das farbige (in der Regel rote) Klebeband weist zur Kathodenseite, das weiße Klebeband zur Anode.

Die Trennung von — unter Datenblattbedingungen nicht mischbaren Paarungsgruppen (etwa bei gleichlaufsoritierten Kapazitätsdioden) erfolgt durch 6 Leerstellen. Die Aufrollung wird mit einer Lage Wellpappe fixiert.

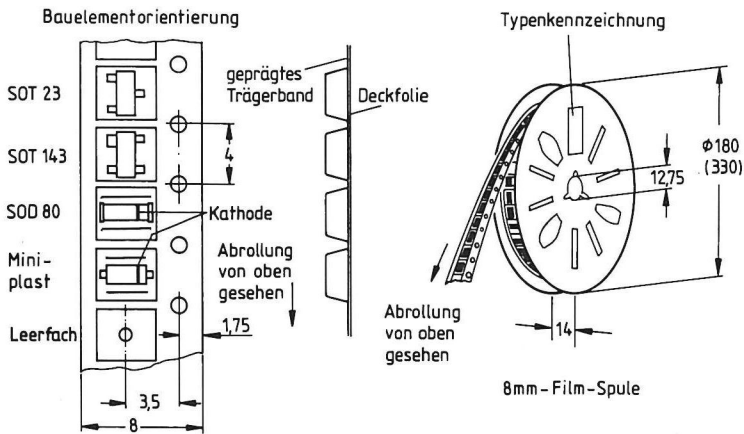


## Verpackung

### Gurtung: SMD-Gehäuse (SOT 23, SOT 143, SOD 80, Mini-plast)

Die Bauteile sind in Vertiefungen des 8-mm-Metall- oder Kunststoffprägebandes richtungsorientiert verdrehsicher eingelegt und mit einer abziehbaren Abdeckfolie fixiert. Der Mittelpunkt des Bauelement-Faches ist gelocht. Das Band wird mit 3000 (bei SOD 80 mit 2500) Bauelementen bei einem Rollendurchmesser von 18 cm bzw. mit 10 000 (bei SOD 80 mit 7500) Bauelementen bei einem Rollendurchmesser von 33 cm aufgespult. Die Rollen sind in paßgerechte Kunststoffschachteln eingelegt.

Die Verpackung entspricht der Norm DIN IEC 286-3.



## EGB, Elektrostatisch Gefährdete Bauelemente

ESD (Elektro Static Discharge)-empfindliche Bauelemente werden in „antistatischer“ Verpackung geliefert. Das aufgedruckte Warnschild verweist auf die Notwendigkeit von Schutzmaßnahmen gegen unkontrollierte Überlastung der Bauelemente durch elektrische Entladungen, beginnend beim Öffnen der Packung.

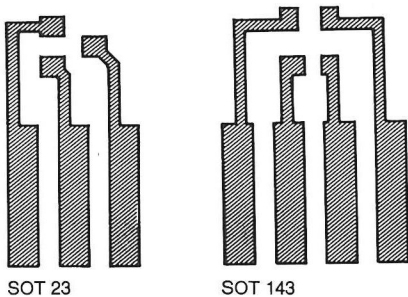
## Wärmeableitung

Die im Betrieb entstehende Verlustwärme des aktiven Halbleitergebietes muß durch geeignetes Schaltungslayout abgeführt werden: Für die hier beschriebenen Kleinsignaltypen übernimmt die Schaltungsplatine maßgeblich die Wärmeabfuhr und -verteilung.

Die in den Datenblättern angegebenen Maximalwerte des Wärmewiderstandes  $R_{thJA}$  werden bei T-plast, X-plast, TO 92 und Diodenbauformen gegen ruhende Umgebungsluft bei nur geringer Wärmeableitung durch die Anschlüsse bestimmt und gelten ohne weiteres für die üblichen Einbauarten.

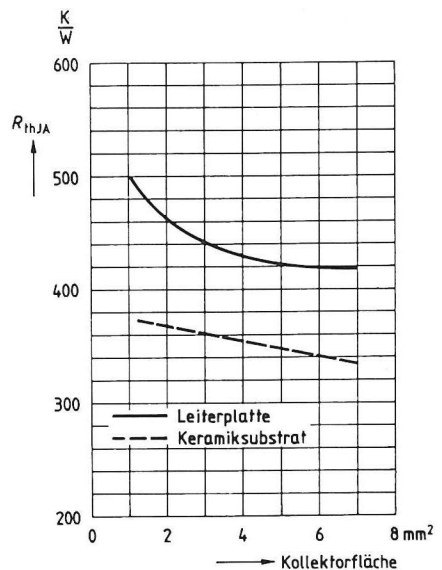
Der  $R_{th}$  der SMD-Bauteile, z.B. SOT 23, SOT 143, wird auf Keramik-Testsubstraten (s. Bild) ebenfalls gegen Luft gemessen; hier ist für den Einbau in Leiterplatten der dann um ca. 90 K/W höhere Wärmewiderstand zu berücksichtigen.

### AL<sub>2</sub>O<sub>3</sub>-Testsubstrat, Metallisierung



Keramik-Abmessungen: 16,7 mm × 15 mm × 0,7 mm

### Wärmewiderstand SOT 23, SOT 143





## Mechanische Beanspruchung

Bei Zurichtung und Einbau ist auf Freiheit der Teile von mechanischen Spannungen zu achten; gefährdet ist vor allem die Verankerung der Anschlüsse im Gehäuse, deren Lokierung Bauelementeausfall erwarten läßt.

- Abbiegen der Anschlüsse erfordert mechanische Entlastung zwischen Biegestelle und Gehäuse. Direkt am Gehäuse ansetzende Biegung senkrecht zur Bandebene (bei schonender Durchführung) ist bei T- und X-plast zulässig.
- Bandförmige Anschlüsse (z. B. bei T-plast) sollen nicht in Bandebene gebogen werden.
- Wiederholte Biegung an der gleichen Stelle ist unzulässig.

## Einbau

Bei der Lötung ist auf verspannungsfreie Fixierung des Bauelementes vor dem Lötvorgang zu achten. Die für Schwall-Lötung von SMD-Bauteilen verwendeten Kleber müssen sich chemisch und elektrisch neutral verhalten.

Die Bauteile dürfen beim Lötvorgang nicht unzulässig hohen Temperatur-Zeit-Belastungen ausgesetzt werden, die folgenden Tabellen geben entsprechende Hinweise.

### Zulässige Lötbeanspruchung DO 35

Freie Anschlußlänge	1,5	2,5	5	mm
Löttemperatur 245 °C	4	6	13	s
Löttemperatur 260 °C	3,5	4	10	s
Kolbenlötung 300 °C	3	3,5	8	s

### Zulässige Lötbeanspruchung T-plast, X-plast, TO 92

Freie Anschlußlänge	0,5	1,5	5	mm
Löttemperatur 245 °C	4	5	10	s
Löttemperatur 260 °C	3	5	5	s
Kolbenlötung 300 °C	2,5	3	5	s

### Zulässige Lötbeanspruchung SMD-Bauteile

Schwall-Lötung 260 °C, 8 sec

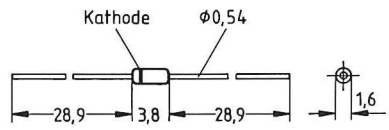
---

**Dioden**

---

- Zur Verwendung als Bereichs-  
umschalter in TV-Tunern

DO 35 DHD



Typ	BA 243	BA 244
Best.-Nr.	Q62702-A521	Q62702-A421
Farbe	gelb	

Grenzdaten

Sperrspannung	$V_R$	35	V
Durchlaßstrom	$I_F$	100	mA
$T_A \leq 60^\circ\text{C}$			
Sperrschichttemperatur	$T_j$	150	$^\circ\text{C}$
Lagertemperatur	$T_{\text{stg}}$	-55... + 150	$^\circ\text{C}$

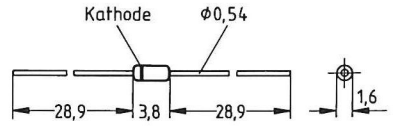
Wärmewiderstand			
Sperrschicht-Umgebung	$R_{\text{thJA}}$	$\leq 400$	K/W

**Kenndaten** ( $T_A = 25^\circ\text{C}$ )

		min	typ	max	
Durchlaßspannung $I_F = 100\text{ mA}$	$V_F$	—	—	1	V
Sperrstrom $V_R = 15\text{ V}$	$I_R$	—	—	50	nA
Diodenkapazität $V_R = 15\text{ V}, f = 1\text{ MHz}$	$C_T$	—	1,3	2	pF
Flußwiderstand $I_F = 10\text{ mA}, f = 100\text{ MHz}$	$r_f$				
BA 243		—	0,5	1	$\Omega$
BA 244		—	0,4	0,5	$\Omega$
Sperrwiderstand $V_R = 1\text{ V}, f = 100\text{ MHz}$	$1/g_p$	—	100	—	k $\Omega$
Serieninduktivität	$L_s$	—	2,5	—	nH

- Für elektronische Bandumschaltung in TV-Tunern
- Niedriger differentieller Flußwiderstand und keine Diodenkapazität

DO 35 DHD



Typ	BA 243 S	BA 244 S
Best.-Nr.	Q62702-A607	Q62702-A618
Farbe	gelb	

### Grenzdaten

Sperrspannung	$V_R$	35	V
Durchlaßstrom	$I_F$	100	mA
$T_A \leq 60^\circ\text{C}$			
Sperrschichttemperatur	$T_j$	150	$^\circ\text{C}$
Lagertemperatur	$T_{\text{stg}}$	-55... +150	$^\circ\text{C}$

### Wärmewiderstand

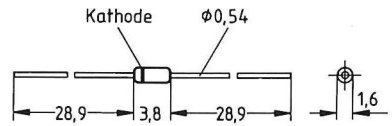
Sperrschicht-Umgebung	$R_{\text{thJA}}$	$\leq 400$	K/W
-----------------------	-------------------	------------	-----

**Kenndaten** ( $T_A = 25^\circ\text{C}$ )

		min	typ	max	
Durchlaßspannung $I_F = 100\text{ mA}$	$V_F$	—	—	1	V
Sperrstrom $V_R = 15\text{ V}$	$I_R$	—	—	50	nA
Diodenkapazität, $f = 1\text{ MHz}$ $V_R = 15\text{ V}$	$C_T$	—	1,3	—	pF
5 V		—	—	1,5	pF
1 V		—	1,85	—	pF
Flußwiderstand, $f = 100\text{ MHz}$ BA 243 S: $I_F = 10\text{ mA}$ 2 mA	$r_f$	—	—	0,7	$\Omega$
		—	—	2	$\Omega$
BA 244 S: $I_F = 10\text{ mA}$ 2 mA		—	—	0,5	$\Omega$
		—	1	—	$\Omega$
Sperrwiderstand $V_R = 1\text{ V}$ , $f = 100\text{ MHz}$	$1/g_p$	—	100	—	k $\Omega$
Serieninduktivität	$L_s$	—	2,5	—	nH

- Für elektronische Bandumschaltung in TV-Tunern
- Niedrige Diodenkapazität bei kleiner Sperrspannung
- Kleine Durchschaltverluste

DO 35 DHD



Typ	BA 282	BA 283
Best.-Nr.	Q62702-A428	Q62702-A429
Farbe	gelb	

## Grenzdaten

Sperrspannung	$V_R$	35	V
Durchlaßstrom	$I_F$	100	mA
$T_A \leq 60^\circ\text{C}$			
Sperrschichttemperatur	$T_j$	150	$^\circ\text{C}$
Lagertemperatur	$T_{stg}$	$-55 \dots +150$	$^\circ\text{C}$

## Wärmewiderstand

Sperrschicht-Umgebung	$R_{thJA}$	$\leq 400$	K/W
-----------------------	------------	------------	-----

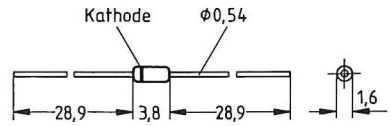
**Kenndaten** ( $T_A = 25\text{ °C}$ )

		min	typ	max	
Durchlaßspannung $I_F = 100\text{ mA}$	$V_F$	—	—	1	V
Sperrstrom $V_R = 20\text{ V}$	$I_R$	—	—	50	nA
Diodenkapazität, $f = 1\text{ MHz}$	$C_T$				
BA 282: $V_R = 1\text{ V}$		—	—	1,5	pF
3 V		—	—	1,2	pF
BA 283: $V_R = 1\text{ V}$		—	—	1,5	pF
3 V		—	—	1	pF
Flußwiderstand, $f = 100\text{ MHz}$	$r_f$				
BA 282: $I_F = 3\text{ mA}$		—	—	0,7	$\Omega$
10 mA		—	—	0,5	$\Omega$
BA 283: $I_F = 3\text{ mA}$		—	—	1,2	$\Omega$
10 mA		—	—	0,9	$\Omega$
Sperrwiderstand $V_R = 1\text{ V}$ , $f = 100\text{ MHz}$	$1/g_p$	—	100	—	k $\Omega$
Serieninduktivität	$L_s$	—	2,5	—	nH



- Geeignet als Hochfrequenzschalter über 10 MHz; insbesondere zur Bandumschaltung in TV-Tunern
- Hohe Sperrdämpfung
- Niedrige Durchschaltverluste

DO 35 DHD



Typ	BA 284
Best.-Nr.	Q62702-A632
Farbe	gelb

Grenzdaten

Sperrspannung

$V_R$	35	V
$I_F$	100	mA

Durchlaßstrom

$T_A \leq 60^\circ\text{C}$

Sperrschichttemperatur

$T_j$	150	$^\circ\text{C}$
$T_{stg}$	$-65 \dots +150$	$^\circ\text{C}$

Lagertemperatur

Wärmewiderstand

Sperrschicht-Umgebung

$R_{thJA}$	$\leq 400$	K/W
------------	------------	-----

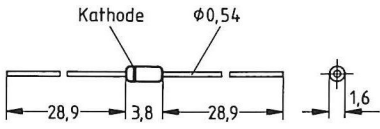
Kenndaten ( $T_A = 25^\circ\text{C}$ )

		min	typ	max	
Durchlaßspannung $I_F = 100\text{ mA}$	$V_F$	—	—	1	V
Sperrstrom $V_R = 20\text{ V}$	$I_R$	—	—	50	nA
Diodenkapazität, $f = 1\text{ MHz}$ $V_R = 1\text{ V}$ 20 V	$C_T$	— —	1 0,8	— 1	pF pF
Flußwiderstand, $f = 100\text{ MHz}$ $I_F = 3\text{ mA}$ 10 mA	$r_f$	— —	0,75 0,45	— 0,6	$\Omega$ $\Omega$
Sperrwiderstand, $V_R = 1\text{ V}$ $f = 1\text{ MHz}$ 100 MHz	$1/g_p$	1 —	— 100	— —	M $\Omega$ k $\Omega$
Serieninduktivität	$L_s$	—	2,5	—	nH

Vorläufige Daten

- Stromgesteuerter HF-Widerstand für Schalt- und Regelanwendung
- Nutzbarer Frequenzbereich 1 MHz ... 1 GHz

DO 35 DHD



Typ	BA 389
Best.-Nr.	Q62702-A732
Farbe	gelb

Grenzdaten

Sperrspannung  
Durchlaßstrom  
Sperrschichttemperatur  
Lagertemperatur

$V_R$	30	V
$I_F$	50	mA
$T_j$	150	°C
$T_{stg}$	- 65... + 150	°C

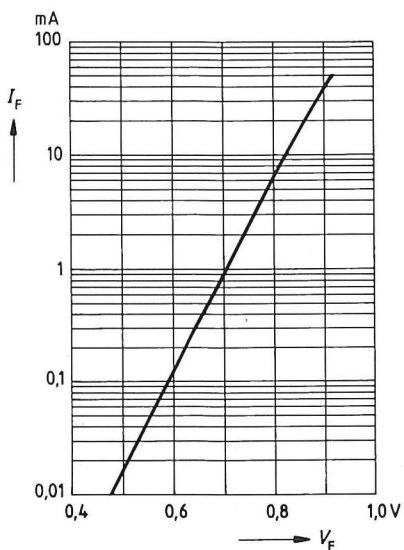
Wärmewiderstand  
Sperrschicht-Umgebung

$R_{thJA}$	$\leq 400$	K/W
------------	------------	-----

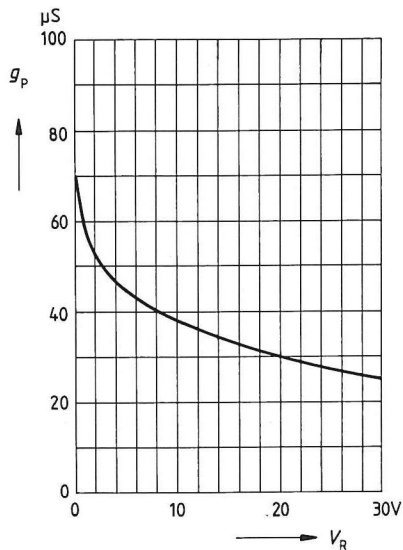
Kenndaten ( $T_A = 25^\circ\text{C}$ )

		min	typ	max	
Durchlaßspannung $I_F = 50\text{ mA}$	$V_F$	—	—	1	V
Sperrstrom $V_R = 30\text{ V}$	$I_R$	—	—	50	nA
Diodenkapazität $V_R = 10\text{ V}, f = 1\text{ MHz}$	$C_T$	—	0,55	—	pF
0 V, 100 MHz		—	0,35	0,5	pF
Flußwiderstand, $f = 100\text{ MHz}$	$r_f$				
$I_F = 1,5\text{ mA}$		—	25	40	$\Omega$
10 mA		—	5	7,5	$\Omega$
Sperrleitwert $V_R = 0\text{ V}, f = 100\text{ MHz}$	$g_p$	—	70	—	$\mu\text{S}$
Serieninduktivität	$L_s$	—	2,5	—	nH

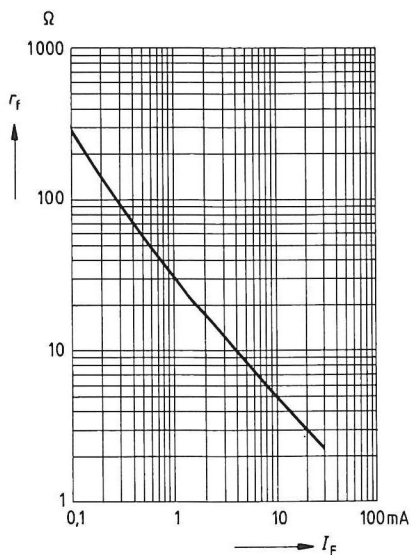
Durchlaßkennlinie  $I_F = f(V_F)$



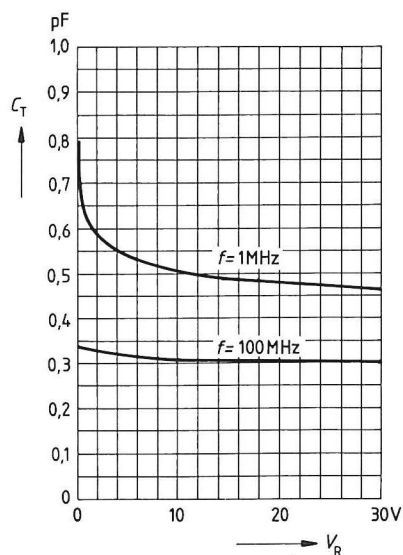
Sperrleitwert  $g_p = f(V_R)$



Durchlaßwiderstand  $r_f = f(I_F)$   
 $f = 100 \text{ MHz}$



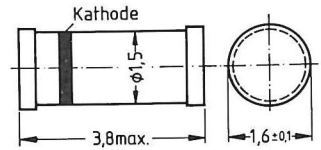
Diodenkapazität  $C_T = f(V_R)$



## Vorläufige Daten

**SOD 80**

- Für VHF-Bandumschalter in TV-Tunern
- Niedrige Durchschaltverluste
- Hohe Sperrdämpfung
- Glas-Miniaturgehäuse für Oberflächenmontage (SMD)



Typ <sup>1)</sup>	BA 682	BA 683
Best.-Nr.	Gurt: Q62702-A723	Gurt: Q62702-A145

## Grenzdaten

Sperrspannung	$V_R$	35	V
Durchlaßstrom	$I_F$	50	mA
Betriebstemperatur	$T_{op}$	100	°C
Lagertemperatur	$T_{stg}$	- 55... + 150	°C

## Wärmewiderstand

Sperrschicht-Umgebung	$R_{thJA}$	≤ 400	K/W
-----------------------	------------	-------	-----

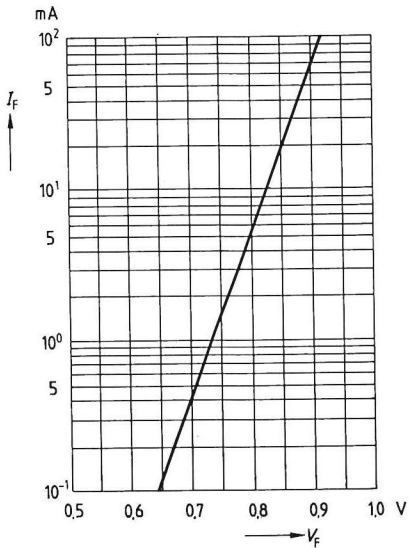
<sup>1)</sup> Die Typenbezeichnung ist auf der Verpackung aufgestempelt.

**Kenndaten** ( $T_A = 25^\circ\text{C}$ )

		min	typ	max	
Durchlaßspannung $I_F = 50\text{ mA}$	$V_F$	—	—	1	V
Sperrstrom $V_R = 20\text{ V}$	$I_R$	—	—	50	nA
Diodenkapazität, $f = 1\text{ MHz}$	$C_T$				
BA 682: $V_R = 1\text{ V}$		—	—	1,5	pF
3 V		—	—	1,2	pF
BA 683: $V_R = 1\text{ V}$		—	—	1,5	pF
3 V		—	—	1,0	pF
Flußwiderstand, $f = 100\text{ MHz}$	$r_f$				
BA 682: $I_F = 3\text{ mA}$		—	—	0,7	$\Omega$
10 mA		—	—	0,5	$\Omega$
BA 683: $I_F = 3\text{ mA}$		—	—	1,2	$\Omega$
10 mA		—	—	0,9	$\Omega$
Sperrwiderstand $V_R = 1\text{ V}$ , $f = 100\text{ MHz}$	$1/g_p$	—	100	—	k $\Omega$
Serieninduktivität	$L_s$	—	2	—	nH

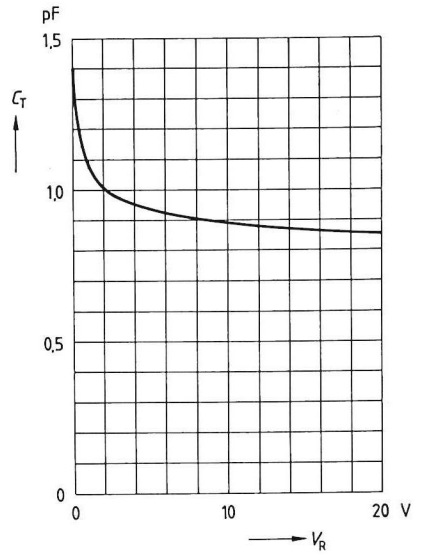
Durchlaßstrom  $I_F = f(V_F)$

$T_A = 25^\circ\text{C}$



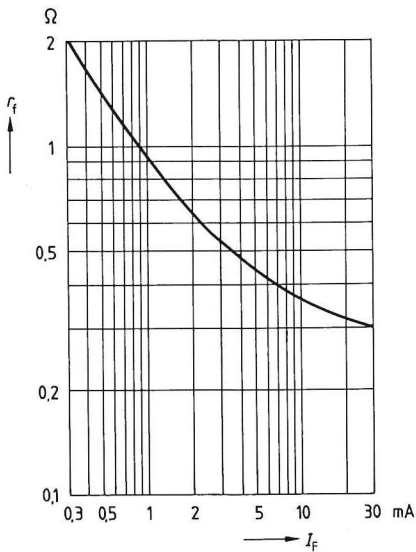
Diodenkapazität  $C_T = f(V_R)$

$f = 1\text{ MHz}$



Flußwiderstand  $r_f = f(I_F)$

$f = 100\text{ MHz}$

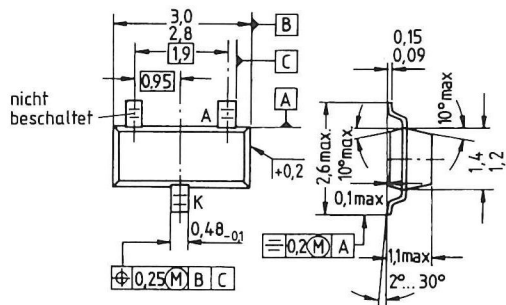




Vorläufige Daten

SOT 23

- Stromgesteuerter HF-Widerstand
- Nutzbarer Frequenzbereich:  
1 MHz ... 2 GHz
- Besonders geeignet als Polarisations-  
schalter in TV-SAT-Tunern
- Kunststoff-Miniaturgehäuse  
für Oberflächenmontage (SMD)



Typ	BA 885	
Best.-Nr.	Schüttgut: Q62702-A742	Gurt: Q62702-A608
Stempel	PA	

Grenzdaten

Sperrspannung	$V_R$	50	V
Durchlaßstrom	$I_F$	50	mA
Betriebstemperatur	$T_{op}$	100	°C
Lagertemperatur	$T_{stg}$	- 65... + 150	°C

Wärmewiderstand

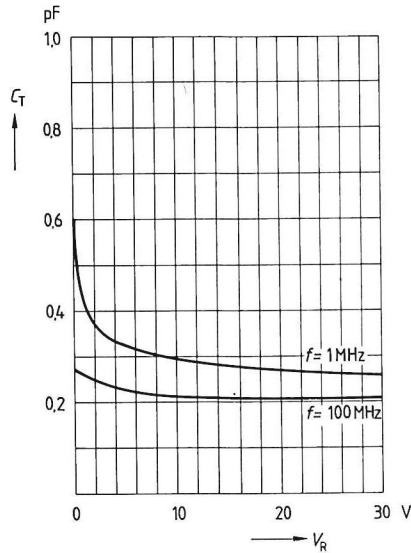
Sperrschicht-Umgebung	$R_{thJA}$	≤ 450	K/W <sup>1)</sup>
-----------------------	------------	-------	-------------------

<sup>1)</sup> Bei Montage auf AL<sub>2</sub>O<sub>3</sub>-Keramiksustrat 16,7 mm × 15 mm × 0,7 mm.

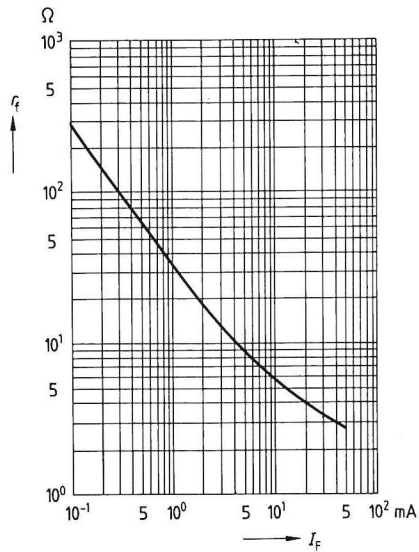
**Kenndaten** ( $T_A = 25^\circ\text{C}$ )

		min	typ	max	
Durchlaßspannung $I_F = 50\text{ mA}$	$V_F$	—	—	1,1	V
Sperrstrom $V_R = 30\text{ V}$	$I_R$	—	—	50	nA
Diodenkapazität $V_R = 10\text{ V}, f = 1\text{ MHz}$ $0\text{ V}, 100\text{ MHz}$	$C_T$		0,3 0,23	— 0,5	pF pF
Flußwiderstand, $f = 100\text{ MHz}$ $I_F = 1,5\text{ mA}$ $10\text{ mA}$	$r_f$	— —	22 5	40 7	$\Omega$ $\Omega$
Sperrleitwert $V_R = 0, f = 100\text{ MHz}$	$g_p$	—	70	—	$\mu\text{S}$

**Diodenkapazität**  $C_T = f(V_R)$   
 $f = 1\text{ MHz}/100\text{ MHz}$

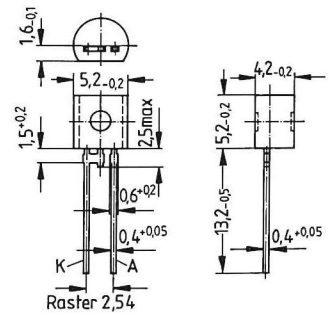


**Flußwiderstand**  $r_f = f(I_F)$   
 $f = 100\text{ MHz}$



- Zur Frequenzabstimmung von AM-Empfängern
- Spezifizierter Durchstimmbereich von 1 ... 8,5 V

TO 92



<b>Typ</b>	BB 112
<b>Best.-Nr.</b>	Q62702-B240

## Grenzdaten

Sperrspannung	$V_R$	12	V
Durchlaßstrom	$I_F$	50	mA
$T_A \leq 60^\circ\text{C}$			
Betriebstemperatur	$T_{op}$	-55...+ 85	$^\circ\text{C}$

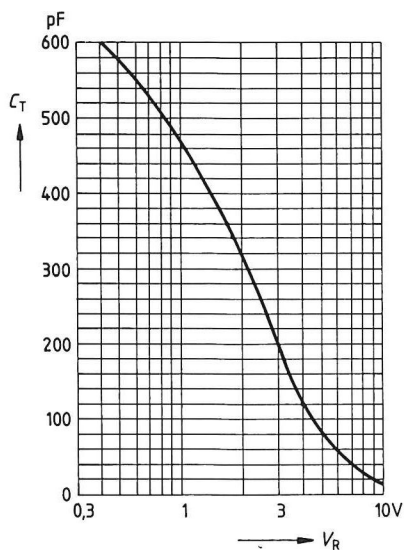
**Kenndaten** ( $T_A = 25\text{ °C}$ )

<b>Gleichstromdaten</b>		<b>min</b>	<b>typ</b>	<b>max</b>	
Sperrstrom	$I_R$	—	—	50	nA
$V_R = 10\text{ V}$		—	—	200	nA
10 V, $T_A = 60\text{ °C}$					

**Wechselstromdaten**

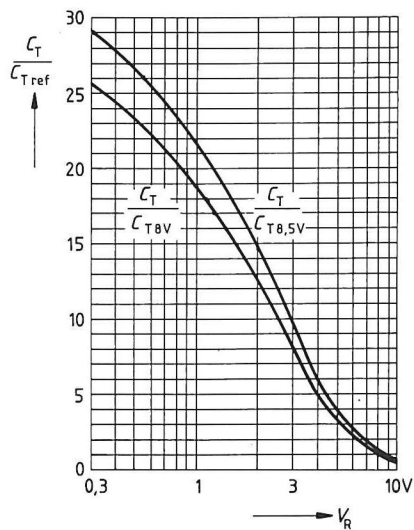
Diodenkapazität, $f = 1\text{ MHz}$	$C_T$	440	470	520	pF
$V_R = 1\text{ V}$		16,5	—	29	pF
8,5 V					
Kapazitätsverhältnis	$\frac{C_{T1}}{C_{T\ 8,5}}$	18	—	—	—
$V_R = 1\text{ V}/8,5\text{ V}$					
Serienwiderstand	$r_s$	—	1,4	—	$\Omega$
$V_R = 1\text{ V}, f = 0,5\text{ MHz}$					
Gütefaktor	$Q$	—	480	—	—
$V_R = 1\text{ V}, f = 0,5\text{ MHz}$					
Temperaturkoeffizient der Diodenkapazität	$TC_C$	—	500	—	ppm/K
$V_R = 1\text{ V}, f = 1\text{ MHz}$					
Kapazitätsgleichlauf in Bestückungssätzen	$\frac{\Delta C_T}{C_T}$	—	—	3	%
$V_R = 1 \dots 8,5\text{ V}$					

# Diodenkapazität $C_T = f(V_R)$



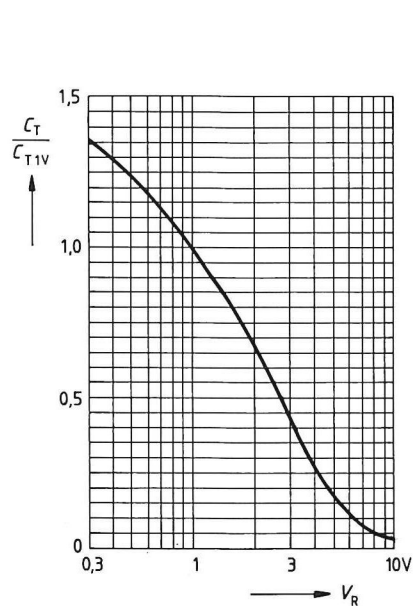
# Kapazitätshub

$$C_T/C_{Tref} = f(V_R)$$



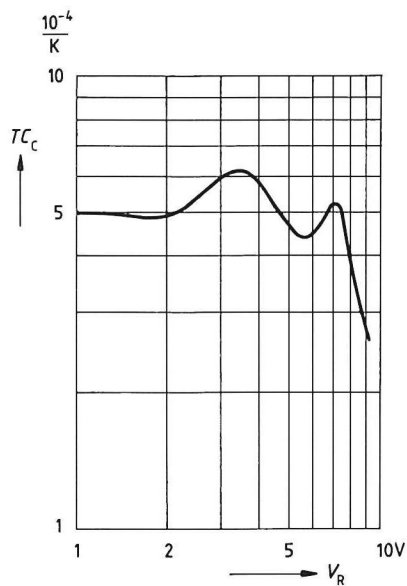
# Kapazitätshub

$$C_T/C_{T1V} = f(V_R)$$

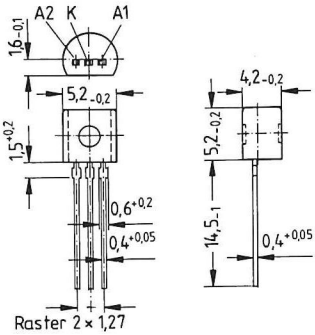


# Temperaturkoeffizient der Sperrschichtkapazität

$$TC_C = f(V_R)$$



- Für FM-Tuner
- Monolithische Konstruktion mit gemeinsamer Kathode gewährleistet Gleichlauf beider Teildioden
- Gleichmäßiger Verlauf nach quadratischem Gesetz
- Für verzerrungsfreie Gegentakt-schaltung in HiFi-Tunern
- Kapazitäts-Gruppierung bei 3 V, 30 V für Geräte mit hoher Versorgungsspannung



TO 92

Typ	BB 204	
Best.-Nr.	Q62702-B58-X6	Q62702-B57-X5
Farbe	blau	grün

Grenzdaten je Diode

Sperrspannung	$V_R$	30	V
Spitzensperrspannung	$V_{RM}$	32	V
Durchlaßstrom	$I_F$	50	mA
$T_A \leq 60^\circ\text{C}$			
Lagertemperatur	$T_{stg}$	- 55... + 100	$^\circ\text{C}$

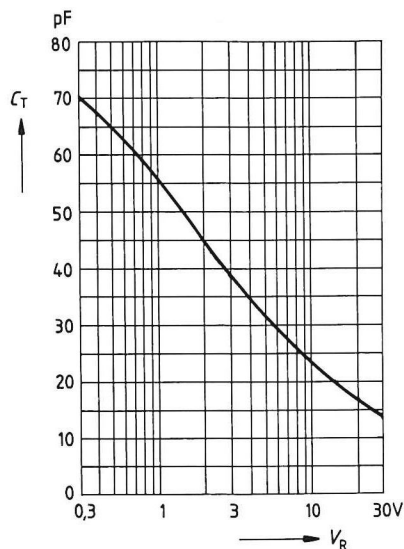
**Kenndaten je Diode** ( $T_A = 25^\circ\text{C}$ )

<b>Gleichstromdaten</b>		<b>min</b>	<b>typ</b>	<b>max</b>	
Durchbruchspannung $I_R = 10\ \mu\text{A}$	$V_{(BR)}$	32	—	—	V
Sperrstrom $V_R = 30\ \text{V}$ 30 V, $T_A = 60^\circ\text{C}$	$I_R$	— —	— —	20 0,2	nA $\mu\text{A}$

<b>Wechselstromdaten</b>					
Diodenkapazität, $f = 1\ \text{MHz}$ $V_R = 3\ \text{V}$ , grün 3 V, blau $V_R = 30\ \text{V}$ , grün 30 V, blau	$C_T$	34 37 — —	— — 13,7 14,4	39 42 — —	pF pF pF pF
Kapazitätsverhältnis, $f = 1\ \text{MHz}$ $V_R = 3\ \text{V}, 30\ \text{V}$	$\frac{C_{T3}}{C_{T30}}$	2,55	2,7	2,8	—
Serienwiderstand $C_T = 38\ \text{pF}$ , $f = 100\ \text{MHz}$	$r_s$	—	0,2	0,4	$\Omega$
Gütefaktor $C_T = 38\ \text{pF}$ , $f = 100\ \text{MHz}$	$Q$	100	200	—	—
Temperaturkoeffizient der Diodenkapazität $V_R = 3\ \text{V}$ , $f = 1\ \text{MHz}$	$TC_C$	—	300	—	ppm/K

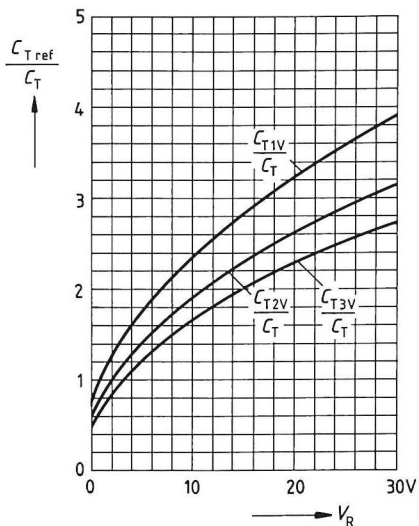
**Diodenkapazität**  $C_T = f(V_R)$

je Diode,  $f = 1 \text{ MHz}$



**Kapazitätshub**  $C_{T\text{ref}}/C_T = f(V_R)$

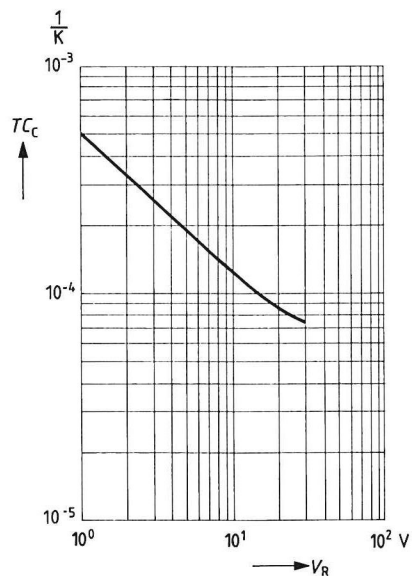
je Diode;  $V_{\text{ref}} = 1 \text{ V}, 2 \text{ V}, 3 \text{ V}; f = 1 \text{ MHz}$



**Temperaturkoeffizient der**

**Diodenkapazität**  $TC_C = f(V_R)$

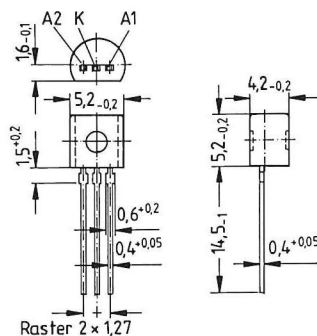
je Diode,  $f = 1 \text{ MHz}$





- Für FM-Tuner
- Monolithische Konstruktion mit gemeinsamer Kathode gewährleistet Gleichlauf beider Teildioden
- Gleichmäßiger Kapazitätsverlauf nach quadratischem Gesetz
- Für verzerrungsfreie Gegentakt-schaltung in HiFi-Tunern
- Kapazitätsgruppierung bei 2 V, 8 V für Geräte mit niedriger Versorgungs-spannung
- In farbcodierten Paarungsgruppen sortiert lieferbar (s. nächste Seite)

TO 92



Typ	BB 304
Best.-Nr.	Q62702-B84

### Grenzdaten je Diode

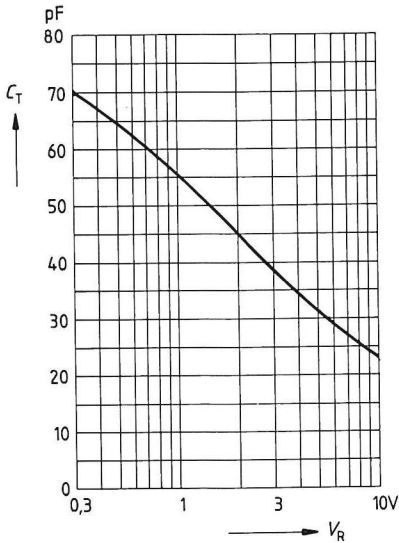
Sperrspannung  
 Spitzensperrspannung  
 Durchlaßstrom  
 $T_A \leq 60^\circ\text{C}$   
 Lagertemperatur

$V_R$	30	V
$V_{RM}$	32	V
$I_F$	50	mA
$T_{stg}$	- 55... + 100	$^\circ\text{C}$

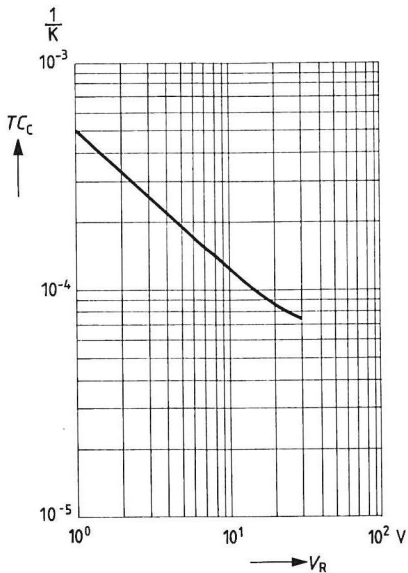
Kenndaten je Diode ( $T_A = 25^\circ\text{C}$ )

		min	typ	max	
Sperrstrom	$I_R$	—	—	20	nA
$V_R = 30\text{ V}$		—	—	0,2	$\mu\text{A}$
$30\text{ V}, T_A = 60^\circ\text{C}$					
Diodenkapazität	$C_T$	42	—	47,5	pF
$V_R = 2\text{ V}, f = 1\text{ MHz}$					
Kapazitätsverhältnis	$\frac{C_{T2}}{C_{T8}}$	1,65	—	1,75	—
$V_R = 2\text{ V}, 8\text{ V}, f = 1\text{ MHz}$					
Serienwiderstand	$r_s$	—	0,2	0,4	$\Omega$
$C_T = 38\text{ pF}, f = 100\text{ MHz}$					
Gütefaktor	$Q$	100	200	—	—
$C_T = 38\text{ pF}, f = 100\text{ MHz}$					
Kapazitätsgruppen	$C_T$				
$V_R = 2\text{ V}, f = 1\text{ MHz}$					
Gruppe: rot		42	—	43,5	pF
gelb		43	—	44,5	pF
weiß		44	—	45,5	pF
grün		45	—	46,5	pF
blau		46	—	47,5	pF

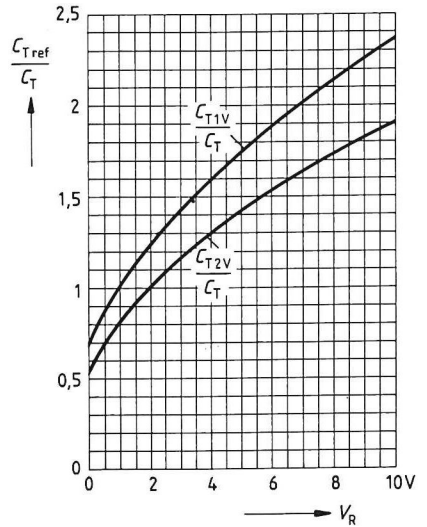
**Diodenkapazität**  $C_T = f(V_R)$   
je Diode,  $f = 1 \text{ MHz}$



**Temperaturkoeffizient der Diodenkapazität**  $TC_C = f(V_R)$   
je Diode,  $f = 1 \text{ MHz}$



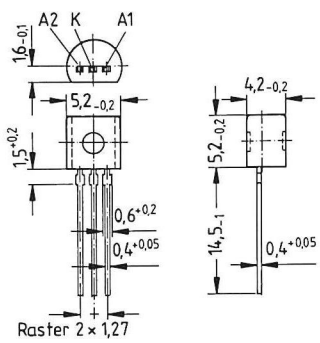
**Kapazitätshub**  $C_{Tref}/C_T = f(V_R)$   
je Diode;  $V_{ref} = 1 \text{ V}, 2 \text{ V}; f = 1 \text{ MHz}$



Vorläufige Daten

- Für FM-Tuner mit erweitertem Frequenzbereich
- Spezielles Implantationsprofil gewährleistet hohen Kapazitätshub
- Besonders geeignet für Autoempfänger
- Monolithische Konstruktion für besten Kapazitätsgleichlauf beider Teildioden, gemeinsamer Kathodenanschluß
- Kapazitätsgruppierung auf Anfrage

TO 92



Typ	BB 314
Best.-Nr.	Q62702-B397

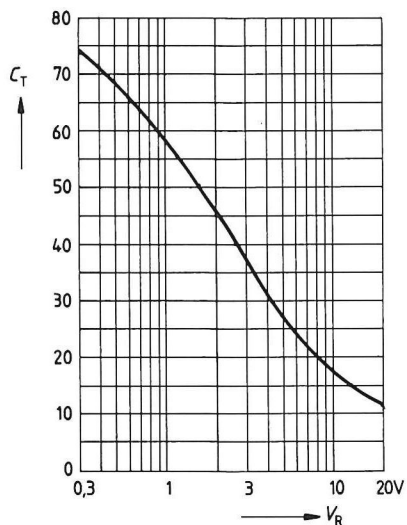
Grenzdaten je Diode

Sperrspannung	$V_R$	18	V
Spitzensperrspannung	$V_{RM}$	20	V
Durchlaßstrom	$I_F$	50	mA
$T_A \leq 60^\circ\text{C}$			
Lagertemperatur	$T_{stg}$	-55... +100	$^\circ\text{C}$

**Kenndaten je Diode ( $T_A = 25\text{ °C}$ )**

		min	typ	max	
Sperrstrom	$I_R$	—	—	20	nA
$V_R = 16\text{ V}$		—	—	0,2	$\mu\text{A}$
$16\text{ V}, T_A = 60\text{ °C}$		—	—	—	—
Diodenkapazität, $f = 1\text{ MHz}$	$C_T$	—	44,75	—	pF
$V_R = 2\text{ V}$		—	20,3	—	pF
$8\text{ V}$		—	—	—	—
Kapazitätsverhältnis	$\frac{C_{T2}}{C_{T8}}$	—	2,2	—	—
$V_R = 2\text{ V}, 8\text{ V}; f = 1\text{ MHz}$	$\frac{C_{T2}}{C_{T8}}$	—	—	—	—

**Diodenkapazität  $C_T = f(V_R)$** 

 je Diode,  $f = 1\text{ MHz}$ 


- Zur Abstimmung in VHF-TV-Tunern  
der FCC- und OIRT-Norm

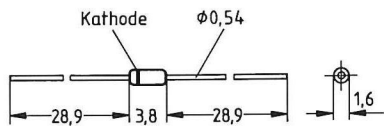
Typ	BB 409
Best.-Nr.	Q62702-B112
Farbe	grün

Grenzdaten

Sperrspannung  
Spitzensperrspannung  
Durchlaßstrom  
 $T_A \leq 60^\circ\text{C}$   
Lagertemperatur

$V_R$	28	V
$V_{RM}$	30	V
$I_F$	20	mA
$T_{stg}$	-55... + 150	°C

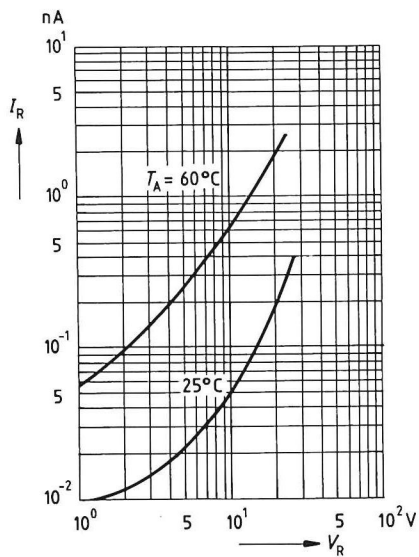
DO 35 DHD



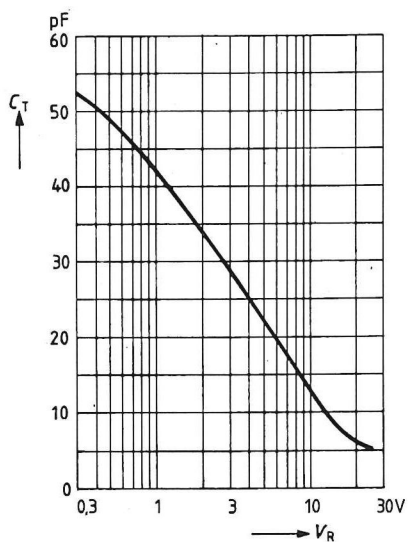
**Kenndaten** ( $T_A = 25\text{ °C}$ )

		min	typ	max	
Sperrstrom	$I_R$	—	—	50	nA
$V_R = 28\text{ V}$		—	—	0,5	$\mu\text{A}$
$28\text{ V}, T_A = 60\text{ °C}$		—	—	—	—
Diodenkapazität, $f = 1\text{ MHz}$	$C_T$	26	—	32	pF
$V_R = 3\text{ V}$		4,5	—	5,6	pF
$25\text{ V}$		—	—	—	—
Kapazitätsverhältnis	$\frac{C_{T3}}{C_{T25}}$	5	—	6,5	—
$V_R = 3\text{ V}, 25\text{ V}; f = 1\text{ MHz}$		—	—	—	—
Kapazitätsgleichlauf in Bestückungssätzen	$\frac{\Delta C_T}{C_T}$	—	—	3	%
$V_R = 1\text{ V} \dots 28\text{ V}$		—	—	—	—
Serienwiderstand	$r_s$	—	0,3	—	$\Omega$
$C_T = 12\text{ pF}, f = 100\text{ MHz}$		—	—	—	—
Gütefaktor	$Q$	—	280	—	—
$V_R = 3\text{ V}, f = 50\text{ MHz}$		—	600	—	—
$25\text{ V}, 200\text{ MHz}$		—	—	—	—
Serieninduktivität	$L_s$	—	3	—	nH
Temperaturkoeffizient der Diodenkapazität, $f = 1\text{ MHz}$	$TC_C$	—	—	—	—
$V_R = 3\text{ V},$		—	$2,5 \cdot 10^{-4}$	—	1/K
$25\text{ V},$		—	$0,8 \cdot 10^{-4}$	—	1/K

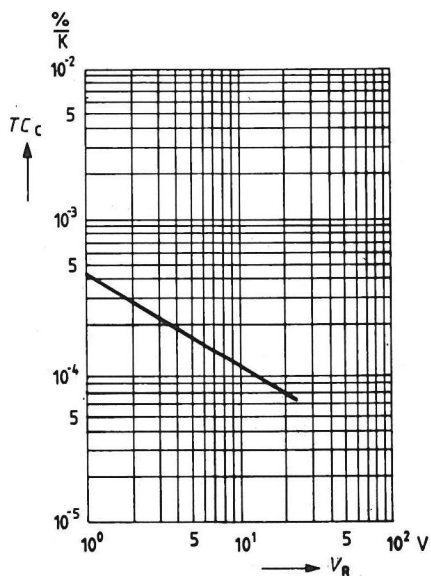
Sperrstrom  $I_R = f(V_R)$



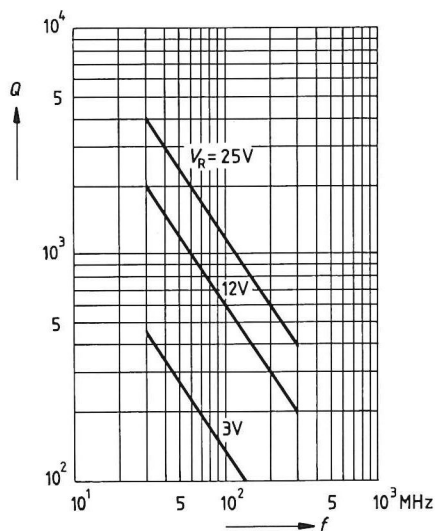
Diodenkapazität  $C_T = f(V_R)$



Temperaturkoeffizient der  
Diodenkapazität  $TC_C = f(V_R)$



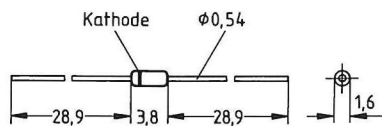
Gütefaktor  $Q = f(f)$   
 $V_R = \text{Parameter}$





- Für UHF- und VHF-Tuner

DO 35 DHD



Typ	BB 505 B	BB 505 G
Best.-Nr.	Q62702-B37	Q62702-B270
Farbe	orange	

### Grenzdaten

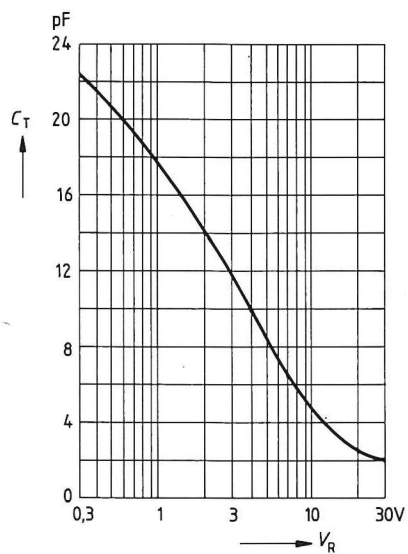
Sperrspannung	$V_R$	28	V
Spitzensperrspannung	$V_{RM}$	30	V
Durchlaßstrom	$I_F$	20	mA
$T_A \leq 60^\circ\text{C}$			
Betriebstemperatur	$T_{op}$	-55... +100	$^\circ\text{C}$
Lagertemperatur	$T_{stg}$	-55... +150	$^\circ\text{C}$

**Kenndaten** ( $T_A = 25\text{ °C}$ )

		min	typ	max	
Sperrstrom	$I_R$	—	—	2,0	nA
$V_R = 28\text{ V}$		—	—	0,5	$\mu\text{A}$
$28\text{ V}, T_A = 60\text{ °C}$					
Diodenkapazität, $f = 1\text{ MHz}$	$C_T$	—	17,5	—	pF
BB 505 B: $V_R = 1\text{ V}$		1,85	—	2,25	pF
$28\text{ V}$		—	17,5	—	pF
BB 505 G: $V_R = 1\text{ V}$		1,8	—	2,4	pF
$28\text{ V}$					
Kapazitätsverhältnis	$\frac{C_{T1}}{C_{T28}}$				
$V_R = 1\text{ V}, 28\text{ V}; f = 1\text{ MHz}$					
BB 505 B		7,7	—	9,4	—
BB 505 G		7,5	—	9,5	—
Kapazitätsgleichlauf in Bestückungssätzen	$\frac{\Delta C_T}{C_T}$	—	—	3	%
$V_R = 0,5\text{ V} \dots 28\text{ V}$					
Serienwiderstand	$r_s$				
$C_T = 9\text{ pF}, f = 470\text{ MHz}$					
BB 505 B		—	—	0,7	$\Omega$
BB 505 G		—	—	1	$\Omega$
Serieninduktivität	$L_s$	—	3	—	nH
Temperaturkoeffizient der Diodenkapazität	$TC_C$	—	480	—	ppm/K
$V_R = 1\text{ V}, f = 1\text{ MHz}$					

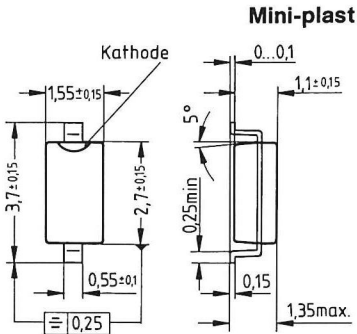
**Diodenkapazität  $C_T = f(V_R)$**

$f = 1 \text{ MHz}$



Vorläufige Daten

- Für UHF- und VHF-TV-Tuner
- Hohe Güte und Großsignalfestigkeit durch speziell geführte Implantation
- Kunststoff-Miniaturgehäuse für Oberflächenmontage (SMD)



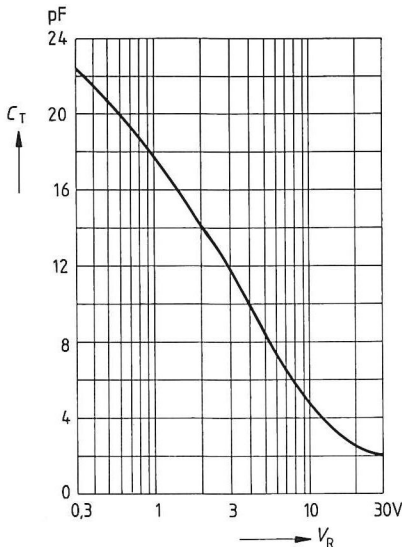
Typ	BB 515 B	BB 515 G
Best.-Nr.	Q62702-B398	Q62702-B399

Grenzdaten

Sperrspannung	$V_R$	28	V
Spitzensperrspannung	$V_{RM}$	30	V
Durchlaßstrom	$I_F$	20	mA
$T_A \leq 60^\circ\text{C}$			
Betriebstemperatur	$T_{op}$	- 55... + 100	$^\circ\text{C}$
Lagertemperatur	$T_{stg}$	- 55... + 100	$^\circ\text{C}$

**Kenndaten** ( $T_A = 25\text{ °C}$ )

		min	typ	max	
Sperrstrom $V_R = 28\text{ V}$ $28\text{ V}, T_A = 60\text{ °C}$	$I_R$	—	—	20 0,2	nA μA
Diodenkapazität, $f = 1\text{ MHz}$ BB 515 B: $V_R = 1\text{ V}$ $28\text{ V}$ BB 515 G: $V_R = 1\text{ V}$ $28\text{ V}$	$C_T$	— 1,85 — 1,8	17,7 — 17,7 —	— 2,25 — 2,4	pF pF pF pF
Kapazitätsverhältnis $V_R = 1\text{ V}, 28\text{ V}; f = 1\text{ MHz}$ BB 515 B BB 515 G	$\frac{C_{T1}}{C_{T28}}$	8 7,5	— —	9,5 9,5	— —
Kapazitätsgleichlauf in Bestückungssätzen $V_R = 0,5\text{ V} \dots 28\text{ V}$	$\frac{\Delta C_T}{C_T}$	—	—	3	%
Serienwiderstand $C_T = 9\text{ pF}, f = 470\text{ MHz}$ BB 515 B BB 515 G	$r_s$	— —	0,55 —	— 1	Ω Ω
Serieninduktivität	$L_s$	—	2,5	—	nH

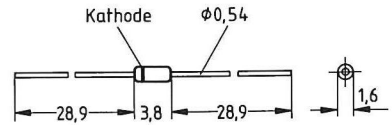


**Diodenkapazität**  $C_T = f(V_R)$   
 $f = 1\text{ MHz}$

## Silizium-Abstimmioden

**DO 35 DHD**

- Für die Durchstimmung breiter Frequenzbereiche in VHF- und CATV-Tunern
- In den Anwendungsgruppen A und B lieferbar



Typ	BB 609 A	BB 609 B
Best.-Nr.	Q62702-B196	Q62702-B197
Farbe	weiß	

### Grenzdaten

Spitzensperrspannung  
Durchlaßstrom  
 $T_A \leq 60^\circ\text{C}$   
Betriebstemperatur  
Lagertemperatur

$V_{RM}$   
 $I_F$

$T_{op}$   
 $T_{stg}$

30  
20

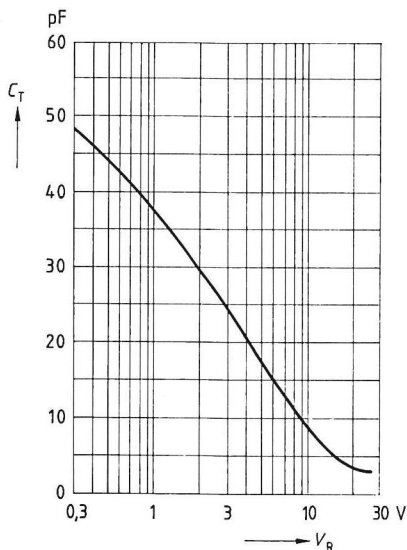
$-55 \dots +100$   
 $-55 \dots +150$

V  
mA  
 $^\circ\text{C}$   
 $^\circ\text{C}$

**Kenndaten** ( $T_A = 25^\circ\text{C}$ )

		min	typ	max	
Sperrstrom	$I_R$	—	—	20	nA
$V_R = 30\text{ V}$		—	—	200	nA
$30\text{ V}, T_A = 60^\circ\text{C}$					
Diodenkapazität, $f = 1\text{ MHz}$	$C_T$				
BB 609 A: $V_R = 1\text{ V}$		32,5	—	—	pF
$28\text{ V}$		2,5	—	3	pF
BB 609 B: $V_R = 1\text{ V}$		33,5	—	—	pF
$28\text{ V}$		2,8	—	3,2	pF
Kapazitätsverhältnis	$\frac{C_{T1}}{C_{T28}}$	12	—	15	—
$V_R = 1\text{ V}, 28\text{ V}; f = 1\text{ MHz}$					
Kapazitätsgleichlauf	$\frac{\Delta C_T}{C_T}$	—	—	2,5	%
in Bestückungssätzen					
$V_R = 1\text{ V} \dots 28\text{ V}, f = 1\text{ MHz}$					
Serienwiderstand	$r_s$	—	0,7	1	$\Omega$
$C_T = 12\text{ pF}, f = 100\text{ MHz}$					
Serieninduktivität	$L_s$	—	3	—	nH

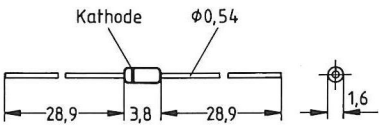
**Diodenkapazität**  $C_T = f(V_R)$   
 $f = 1\text{ MHz}$



Vorläufige Daten

- Für Hyperband-TV-Tuner, Bd I
- Nutzbares Kapazitätsverhältnis > 19

DO 35 DHD



Typ	BB 610
Best.-Nr.	Q62702-B400

Grenzdaten

Sperrspannung	$V_R$	30	V
Durchlaßstrom	$I_F$	20	mA
$T_A \leq 60^\circ\text{C}$			
Betriebstemperatur	$T_{op}$	- 55... + 100	$^\circ\text{C}$
Lagertemperatur	$T_{stg}$	- 55... + 150	$^\circ\text{C}$

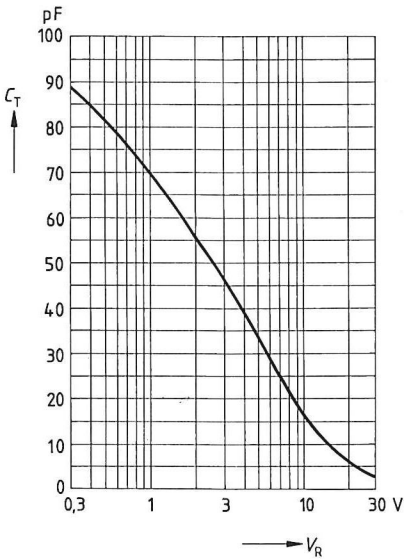


**Kenndaten** ( $T_A = 25\text{ }^{\circ}\text{C}$ )

		min	typ	max	
Sperrstrom	$I_R$				
$V_R = 30\text{ V}$		—	—	20	nA
$30\text{ V}, T_A = 60\text{ }^{\circ}\text{C}$		—	—	200	nA
Diodenkapazität, $f = 1\text{ MHz}$	$C_T$				
$V_R = 1\text{ V}$		—	69	—	pF
$28\text{ V}$		—	3,35	—	pF
Kapazitätsverhältnis	$\frac{C_{T1}}{C_{T28}}$	19	—	—	—
$V_R = 1\text{ V}, 28\text{ V}; f = 1\text{ MHz}$					
Kapazitätsgleichlauf in Bestückungssätzen	$\frac{\Delta C_T}{C_T}$	—	—	2,5	%
$V_R = 1\text{ V} \dots 28\text{ V}, f = 1\text{ MHz}$					
Serienwiderstand	$r_s$	—	1,3	—	$\Omega$

**Diodenkapazität**  $C_T = f(V_R)$

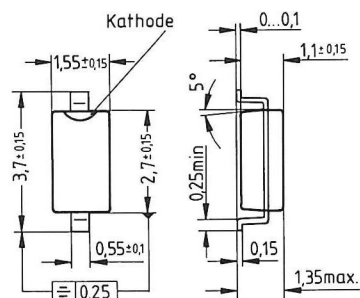
$f = 1\text{ MHz}$



## Vorläufige Daten

- Für VHF-TV-Tuner mit breitem Frequenzbereich
- Kunststoff-Miniaturgehäuse für Oberflächenmontage (SMD)

## Mini-plast



Typ	BB 619 A	BB 619 B
Best.-Nr.	Q62702-B401	Q62702-B402

## Grenzdaten

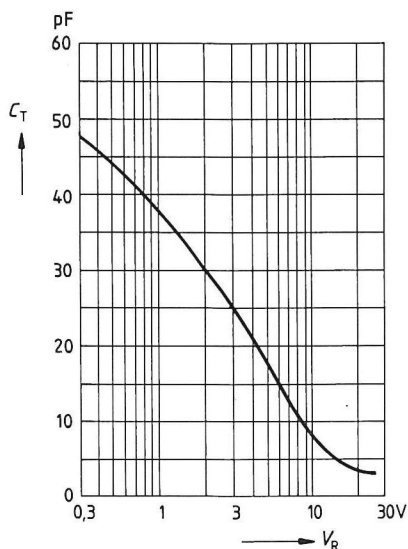
Sperrspannung	$V_R$	30	V
Durchlaßstrom	$I_F$	20	mA
$T_A \leq 60^\circ\text{C}$			
Betriebstemperatur	$T_{op}$	-55... +100	$^\circ\text{C}$
Lagertemperatur	$T_{stg}$	-55... +100	$^\circ\text{C}$

**Kenndaten** ( $T_A = 25^\circ\text{C}$ )

		min	typ	max	
Sperrstrom	$I_R$	—	—	20	nA
$V_R = 30\text{ V}$		—	—	200	nA
30 V, $T_A = 60^\circ\text{C}$					
Diodenkapazität, $f = 1\text{ MHz}$	$C_T$				
BB 619 A: $V_R = 1\text{ V}$		—	37,5	—	pF
28 V		2,5	—	3	pF
BB 619 B: $V_R = 1\text{ V}$		—	39	—	pF
28 V		2,8	—	3,2	pF
Kapazitätsverhältnis	$\frac{C_{T1}}{C_{T28}}$	12	—	—	—
$V_R = 1\text{ V}, 28\text{ V}; f = 1\text{ MHz}$					
Kapazitätsgleichlauf	$\frac{\Delta C_T}{C_T}$	—	—	2,5	%
in Bestückungssätzen					
$V_R = 1\text{ V} \dots 28\text{ V}, f = 1\text{ MHz}$					
Serienwiderstand	$r_s$	—	0,65	—	$\Omega$
Serieninduktivität	$L_s$	—	2,5	—	nH

**Diodenkapazität**  $C_T = f(V_R)$

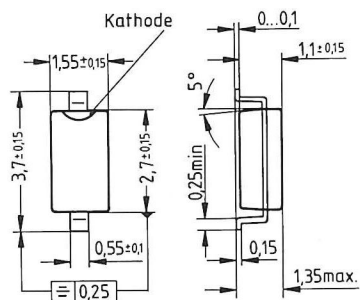
$f = 1\text{ MHz}$



## Vorläufige Daten

- Für Hyperband-TV-Tuner, Bd I
- Nutzbares Kapazitätsverhältnis  $> 19$
- Kunststoff-Miniaturgehäuse für Oberflächenmontage (SMD)

## Mini-plast



Typ	BB 620
Best.-Nr.	Q62702-B403

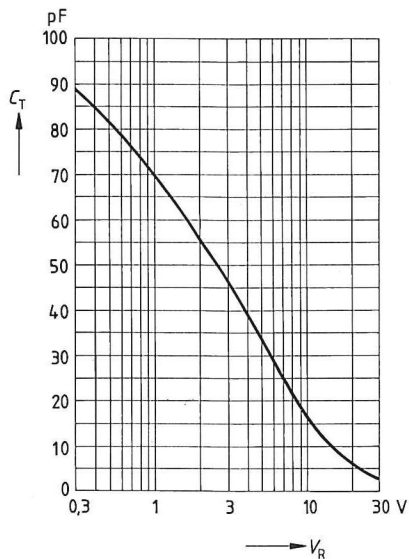
## Grenzdaten

Sperrspannung  
Durchlaßstrom  
 $T_A \leq 60^\circ \text{C}$   
Betriebstemperatur  
Lagertemperatur

$V_R$	30	V
$I_F$	20	mA
$T_{op}$	$-55 \dots +100$	$^\circ \text{C}$
$T_{stg}$	$-55 \dots +100$	$^\circ \text{C}$

**Kenndaten** ( $T_A = 25\text{ °C}$ )

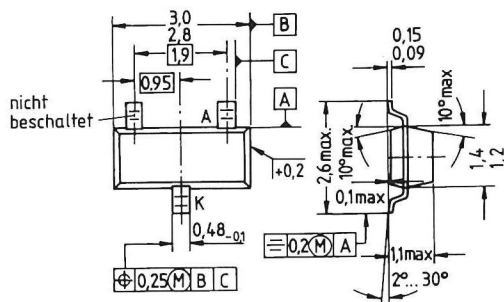
		min	typ	max	
Sperrstrom	$I_R$	—	—	20	nA
$V_R = 30\text{ V}$		—	—	200	nA
30 V, $T_A = 60\text{ °C}$					
Diodenkapazität, $f = 1\text{ MHz}$	$C_T$	—	69	—	pF
$V_R = 1\text{ V}$		—	3,35	—	pF
28 V					
Kapazitätsverhältnis	$\frac{C_T 1}{C_T 28}$	19	—	—	—
$V_R = 1\text{ V}, 28\text{ V}; f = 1\text{ MHz}$					
Kapazitätsgleichlauf in Bestückungssätzen	$\frac{\Delta C_T}{C_T}$	—	—	2,5	%
$V_R = 1\text{ V} \dots 28\text{ V}, f = 1\text{ MHz}$					
Serienwiderstand	$r_s$	—	1,3	—	$\Omega$

**Diodenkapazität**  $C_T = f(V_R)$  $f = 1\text{ MHz}$ 

## Vorläufige Daten

SOT 23

- Für Schwingkreisabstimmung bis 2 GHz insbesondere in TV-SAT-Tunern
- Niedrige Endkapazität
- Hoher nutzbarer Kapazitätshub
- Kunststoff-Miniaturgehäuse für Oberflächenmontage (SMD)



Typ	BB 801
Best.-Nr.	Schüttgut: Q62702-B346
Stempel	UF

## Grenzdaten

Sperrspannung

 $V_R$ 

28

V

Spitzensperrspannung

 $V_{RM}$ 

30

V

Durchlaßstrom

 $I_F$ 

20

mA

 $T_A \leq 60^\circ\text{C}$ 

Betriebstemperatur

 $T_{op}$ 

100

 $^\circ\text{C}$ 

Lagertemperatur

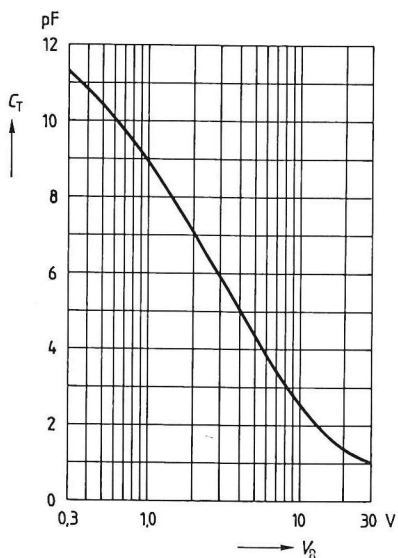
 $T_{stg}$ 

-65... +150

 $^\circ\text{C}$

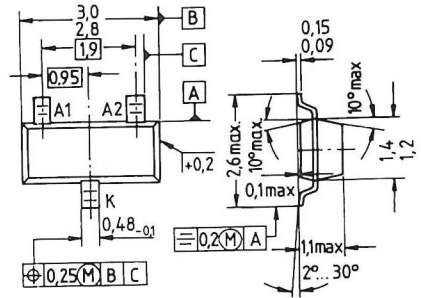
**Kenndaten** ( $T_A = 25\text{ °C}$ )

		min	typ	max	
Sperrstrom	$I_R$	—	—	20	nA
$V_R = 28\text{ V}$		—	—	500	nA
$28\text{ V}, T_A = 60\text{ °C}$		—	—		
Diodenkapazität, $f = 1\text{ MHz}$	$C_T$	—	9	—	pF
$V_R = 1\text{ V}$		—	1	—	pF
$28\text{ V}$		—			
Kapazitätsverhältnis	$\frac{C_{T1}}{C_{T28}}$	—	9	—	—
$V_R = 1\text{ V}, 28\text{ V}; f = 1\text{ MHz}$					
Serienwiderstand	$r_s$	—	1	—	$\Omega$
$C_T = 9\text{ pF}, f = 100\text{ MHz}$					
Gehäusekapazität	$C_C$	—	0,1	—	pF
$f = 1\text{ MHz}$					

**Diodenkapazität**  $C_T = f(V_R)$ 
 $f = 1\text{ MHz}$ 


SOT 23

- Für FM-Tuner
- Monolithische Konstruktion mit gemeinsamer Kathode gewährleistet Gleichlauf beider Teildioden
- Gleichmäßiger Kapazitätsverlauf nach quadratischem Gesetz
- Geeignet für verzerrungsfreie Gegentaktschaltung in HiFi-Tunern Kapazitätsgruppen verfügbar
- Kunststoff-Miniaturgehäuse für Oberflächenmontage (SMD)



Typ	BB 804	
Best.-Nr.	Schüttgut: Q62702-B328	Gurt: Q62702-B356
Stempel	SF (Kapazitätsgruppenkennung siehe nächste Seite)	

### Grenzdaten je Diode

Sperrspannung  
 Spitzensperrspannung  
 Durchlaßstrom  
 $T_A \leq 60^\circ\text{C}$   
 Betriebstemperatur  
 Lagertemperatur

$V_R$	18	V
$V_{RM}$	20	V
$I_F$	50	mA
$T_{op}$	100	$^\circ\text{C}$
$T_{stg}$	- 65... + 150	$^\circ\text{C}$

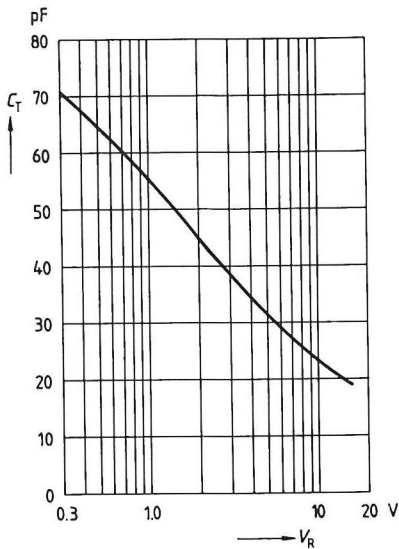


**Kenndaten je Diode ( $T_A = 25\text{ °C}$ )**

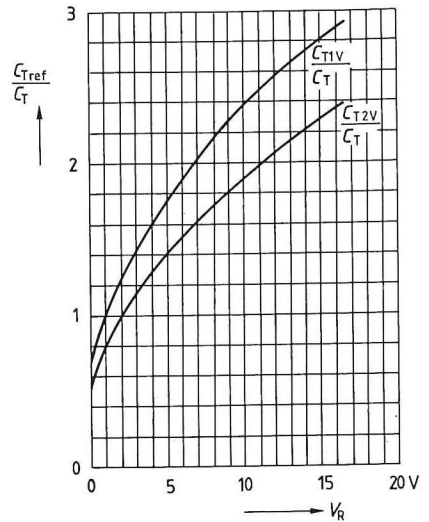
		min	typ	max	
Sperrstrom	$I_R$				
$V_R = 16\text{ V}$		—	—	20	nA
$16\text{ V}, T_A = 60\text{ °C}$		—	—	200	nA
Diodenkapazität	$C_T$	42	—	47,5	pF
$V_R = 2\text{ V}, f = 1\text{ MHz}$					
Kapazitätsverhältnis	$\frac{C_{T2}}{C_{T8}}$	1,65	1,7	—	—
$V_R = 2\text{ V}, 8\text{ V}; f = 1\text{ MHz}$					
Serienwiderstand	$r_s$	—	0,25	—	$\Omega$
$C_T = 38\text{ pF}, f = 100\text{ MHz}$					
Gütefaktor	$Q$	—	170	—	—
$C_T = 38\text{ pF}, f = 100\text{ MHz}$					
Temperaturkoeffizient der Diodenkapazität	$TC_C$	—	330	—	ppm/K
$V_R = 2\text{ V}, f = 1\text{ MHz}$					
Kapazitätsgruppen <sup>1)</sup>	$C_T$				
$V_R = 2\text{ V}, f = 1\text{ MHz}$					
Gruppe 0		42	—	43,5	pF
1		43	—	44,5	pF
2		44	—	45,5	pF
3		45	—	46,5	pF
4		46	—	47,5	pF

<sup>1)</sup> Die Kapazitätsgruppe ist auf dem Bauelement durch Bestempelung mit der Gruppen-Nr. gekennzeichnet und auf dem Packzettel vermerkt. Eine Verpackungseinheit (z. B. 8-mm-Gurt) enthält nur Dioden einer Sortiergruppe. Eine Bestellung einzelner Kapazitätsgruppen ist nur auf Anfrage möglich.

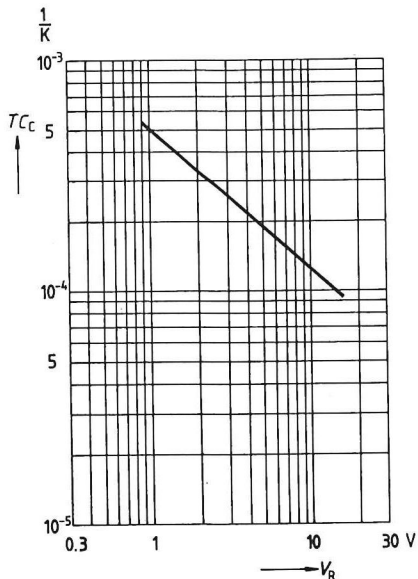
**Diodenkapazität**  $C_T = f(V_R)$   
je Diode,  $f = 1 \text{ MHz}$



**Kapazitätshub**  $\frac{C_{Tref}}{C_T} = f(V_R)$   
je Diode;  $V_{ref} = 1 \text{ V}, 2 \text{ V}; f = 1 \text{ MHz}$



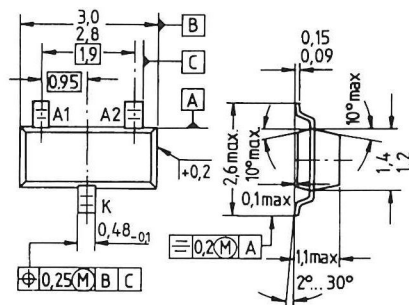
**Temperaturkoeffizient**  $TC_C = f(V_R)$   
je Diode,  $f = 1 \text{ MHz}$



# Vorläufige Daten

SOT 23

- Mit großem Kapazitätshub für FM-Tuner mit erweitertem Frequenzbereich
- Besonders für Geräte mit kleiner Abstimmspannung, speziell für Autoempfänger
- Durch monolithische Konstruktion (gemeinsame Kathode) Gleichlauf beider Teildioden gewährleistet
- Kapazitätsgruppierung auf Anfrage
- Kunststoff-Miniaturgehäuse für Oberflächenmontage (SMD)



Typ	BB 814
Best.-Nr.	Q62702-B404
Stempel	SH

## Grenzdaten je Diode

Sperrspannung  
 Spitzensperrspannung  
 Durchlaßstrom  
 $T_A \leq 60^\circ\text{C}$   
 Lagertemperatur

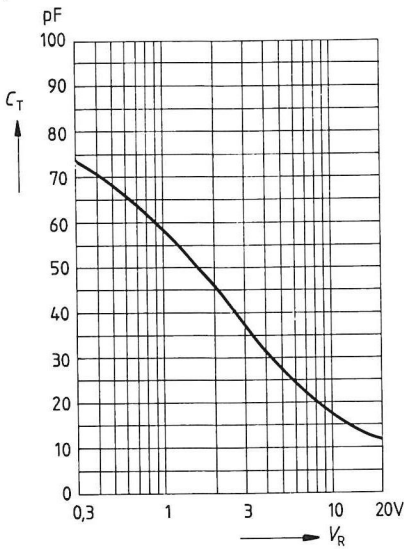
$V_R$	18	V
$V_{RM}$	20	V
$I_F$	50	mA
$T_{stg}$	-55... + 100	$^\circ\text{C}$

**Kenndaten je Diode ( $T_A = 25\text{ }^{\circ}\text{C}$ )**

		min	typ	max	
Sperrstrom	$I_R$	—	—	20	nA
$V_R = 16\text{ V}$		—	—	0,2	$\mu\text{A}$
$16\text{ V}, T_A = 60\text{ }^{\circ}\text{C}$					
Diodenkapazität, $f = 1\text{ MHz}$	$C_T$	—	44,75	—	pF
$V_R = 2\text{ V}$		—	20,3	—	pF
$8\text{ V}$					
Kapazitätsverhältnis	$\frac{C_{T2}}{C_{T8}}$	—	2,2	—	—
$V_R = 2\text{ V}, 8\text{ V}; f = 1\text{ MHz}$	$\frac{C_{T8}}{C_{T2}}$				

**Diodenkapazität  $C_T = f(V_R)$**

je Diode,  $f = 1\text{ MHz}$



blank page

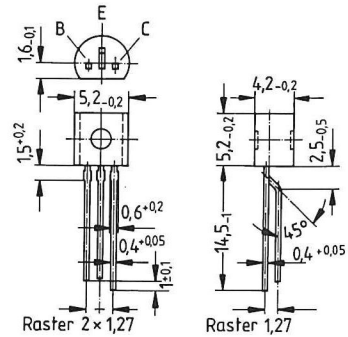
---

**Transistoren**

---

- Für nicht geregelte TV-ZF-Verstärkerstufen in Emitterschaltung
- Kleine Rückwirkungskapazität durch Schirmdiffusion

TO 92



Typ	BF 199
Best.-Nr.	Q62702-F355

Grenzdaten

Kollektor-Emitter-Spannung  
Kollektor-Basis-Spannung  
Emitter-Basis-Spannung  
Kollektorstrom  
Basisstrom  
Gesamtverlustleistung  
( $T_A \leq 25^\circ\text{C}$ )  
Sperrschichttemperatur  
Lagertemperatur

$V_{CE0}$	25	V
$V_{CBO}$	40	V
$V_{EBO}$	4	V
$I_C$	25	mA
$I_B$	2	mA
$P_{tot}$	500	mW
$T_j$	150	$^\circ\text{C}$
$T_{stg}$	-55... + 150	$^\circ\text{C}$

Wärmewiderstand

Sperrschicht-Umgebung

$R_{thJA}$	$\leq 250$	K/W
------------	------------	-----

**Kenndaten** ( $T_A = 25^\circ\text{C}$ )

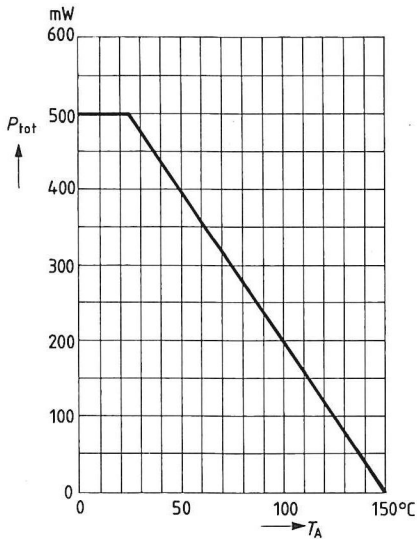
<b>Gleichstromdaten</b>		<b>min</b>	<b>typ</b>	<b>max</b>	
Kollektor-Basis-Reststrom $V_{CB} = 40\text{ V}$	$I_{CBO}$	—	—	100	nA
Stromverstärkung $I_C = 7\text{ mA}$ , $V_{CE} = 10\text{ V}$	$h_{FE}$	38	85	—	—
Basis-Emitterspannung $I_C = 7\text{ mA}$ , $V_{CE} = 10\text{ V}$	$V_{BE}$	—	780	—	mV

**Wechselstromdaten**

Transitfrequenz $I_C = 5\text{ mA}$ , $V_{CE} = 10\text{ V}$ , $f = 100\text{ MHz}$	$f_T$	—	550	—	MHz
Kollektor-Basis-Kapazität $V_{CE} = 10\text{ V}$ , $V_{BE} = 0$ , $f = 1\text{ MHz}$	$C_{cb}$	—	0,32	—	pF
Optimale Leistungsverstärkung $I_C = 7\text{ mA}$ , $V_{CE} = 10\text{ V}$ , $f = 35\text{ MHz}$	$G_{pe\text{ opt}}$	—	43	—	dB
<b>Y-Parameter</b> , Emitterschaltung $I_C = 7\text{ mA}$ , $V_{CE} = 10\text{ V}$ , $f = 35\text{ MHz}$	$g_{11e}$	—	4,8	—	mS
	$C_{11e}$	—	45	—	pF
	$ y_{12e} $	—	70	—	$\mu\text{S}$
	$\varphi_{12e}$	—	—95	—	Grd
	$ y_{21e} $	—	175	—	mS
	$\varphi_{21e}$	—	—25	—	Grd
	$g_{22e}$	—	80	—	$\mu\text{S}$
	$C_{22e}$	—	1,7	—	pF

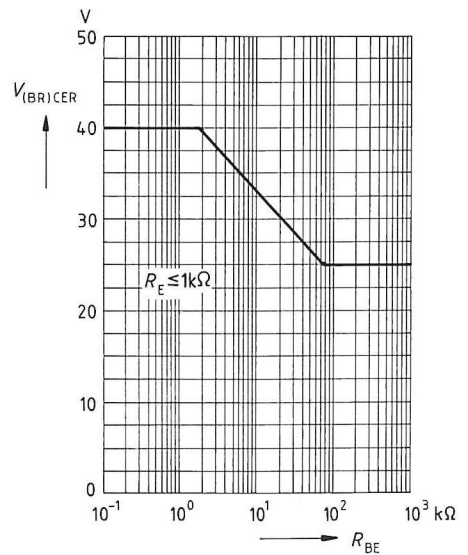


Gesamtverlustleistung  $P_{\text{tot}} = f(T_A)$

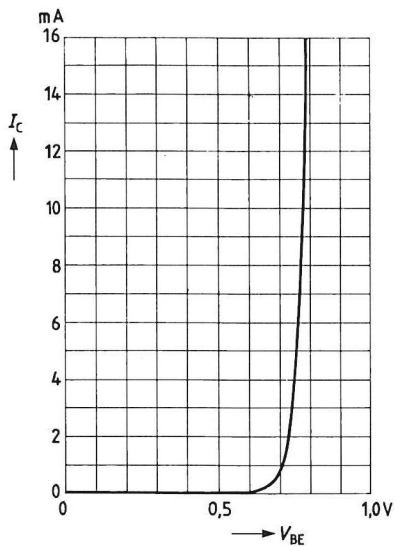


Unterer Streuwert der Kollektor-Emitter-Durchbruchspannung

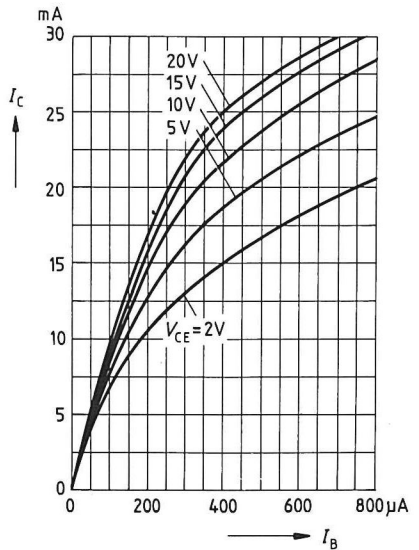
$$V_{(\text{BR})\text{CER}} = f(R_{\text{BE}})$$



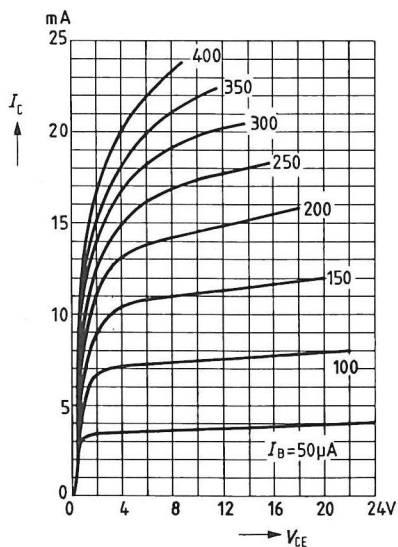
Kollektorstrom  $I_C = f(V_{\text{BE}})$



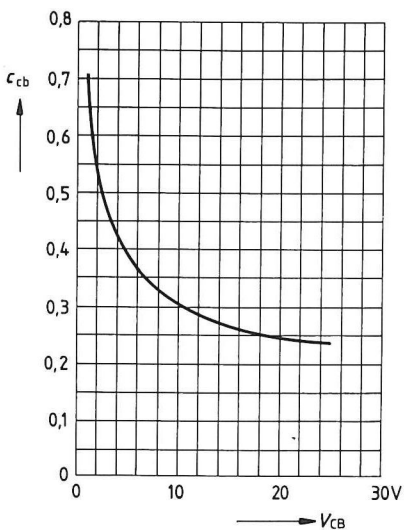
Kollektorstrom  $I_C = f(I_B)$



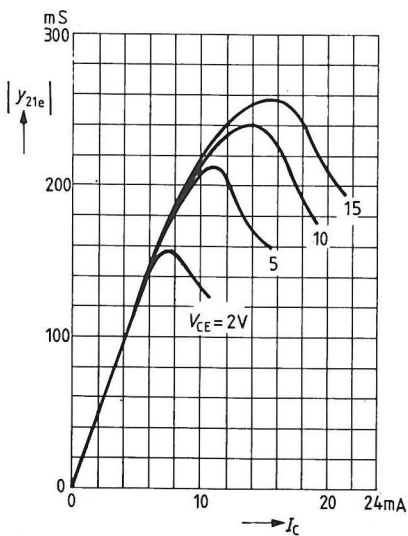
**Ausgangskennlinien**  $I_C = f(V_{CE})$



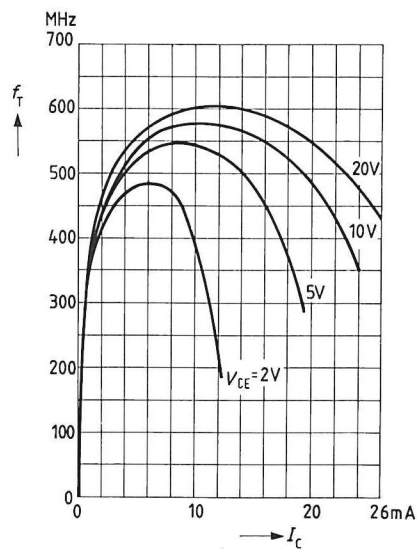
**Kollektor-Basis-Kapazität**  $c_{cb} = f(V_{CB})$   
 $f = 1 \text{ MHz}$



**Kurzschluß-Vorwärtsteilheit**  $y_{21e} = f(I_C)$   
 $f = 35 \text{ MHz}$

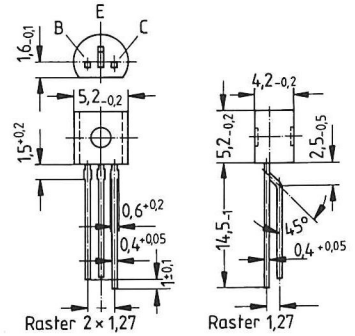


**Transitfrequenz**  $f_T = f(I_C)$   
 $f = 100 \text{ MHz}$



- Für den Einsatz in AM- und FM-Stufen
- Rückwirkungsarm durch Schirmdiffusion
- Niedriger Ausgangsleitwert

TO 92



Typ	BF 240	BF 241
Best.-Nr.	Q62702-F302	Q62702-F303

### Grenzdaten

Kollektor-Emitter-Spannung	$V_{CE0}$	40	V
Kollektor-Basis-Spannung	$V_{CBO}$	40	V
Emitter-Basis-Spannung	$V_{EBO}$	4	V
Kollektorstrom	$I_C$	25	mA
Basisstrom	$I_B$	2	mA
Gesamtverlustleistung ( $T_A \leq 45^\circ\text{C}$ )	$P_{tot}$	250	mW
Sperrschichttemperatur	$T_j$	150	$^\circ\text{C}$
Lagertemperatur	$T_{stg}$	-55... + 150	$^\circ\text{C}$

### Wärmewiderstand

Sperrschicht-Umgebung	$R_{thJA}$	$\leq 420$	K/W
-----------------------	------------	------------	-----

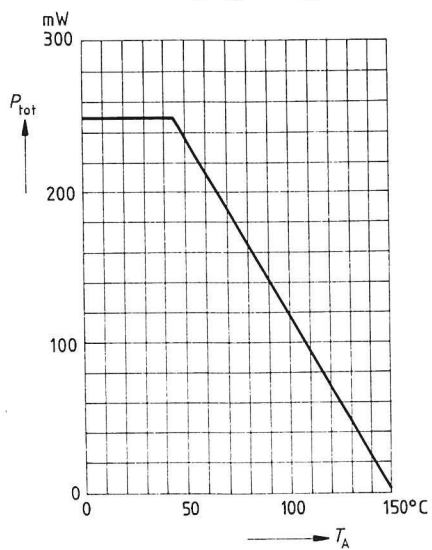
**Kenndaten** ( $T_A = 25^\circ\text{C}$ )

<b>Gleichstromdaten</b>		<b>min</b>	<b>typ</b>	<b>max</b>	
Kollektor-Basis-Durchbruchspannung $I_C = 10\ \mu\text{A}$	$V_{(BR)CBO}$	40	—	—	V
Emitter-Basis-Durchbruchspannung $I_E = 10\ \mu\text{A}$	$V_{(BR)EBO}$	4	—	—	V
Kollektor-Basis-Reststrom $V_{CB} = 20\ \text{V}$	$I_{CBO}$	—	—	100	nA
Basis-Emitter-Spannung $I_C = 1\ \text{mA}$ , $V_{CE} = 10\ \text{V}$	$V_{BE}$	—	700	—	mV
Stromverstärkung $I_C = 1\ \text{mA}$ , $V_{CE} = 10\ \text{V}$ BF 240 BF 241	$h_{FE}$	65	—	220	—
		35	—	125	—

**Wechselstromdaten**

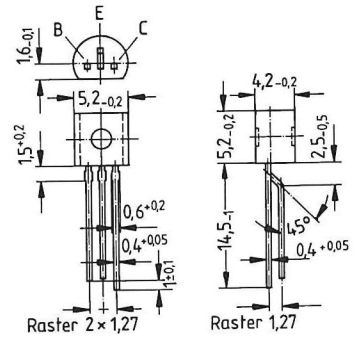
Transitfrequenz $I_C = 1\ \text{mA}$ , $V_{CE} = 10\ \text{V}$	$f_T$	—	400	—	MHz
Kollektor-Basis-Kapazität $V_{CE} = 10\ \text{V}$ , $V_{BE} = 0\ \text{V}$ , $f = 1\ \text{MHz}$	$C_{cb}$	—	0,3	—	pF
Rauschzahl $I_C = 1\ \text{mA}$ , $V_{CE} = 10\ \text{V}$ , $f = 100\ \text{kHz}$ $R_s = 300\ \Omega$	$F$	—	1,7	—	dB
Ausgangsleitwert $I_C = 1\ \text{mA}$ , $V_{CE} = 10\ \text{V}$ , $f = 10,7\ \text{MHz}$ 0,5 MHz	$g_{22e}$	—	—	10,5	$\mu\text{S}$
		—	—	8,3	$\mu\text{S}$

Gesamtverlustleistung  $P_{\text{tot}} = f(T_A)$



- Für AM-FM-Stufen

TO 92



Typ	BF 254	BF 255
Best.-Nr.	Q62702-F201	Q62702-F202

### Grenzdaten

Kollektor-Emitter-Spannung  
Kollektor-Basis-Spannung  
Emitter-Basis-Spannung  
Kollektorstrom  
Gesamtverlustleistung  
( $T_A \leq 45^\circ\text{C}$ )  
Sperrschichttemperatur  
Lagertemperatur

$V_{CE0}$	20	V
$V_{CES}$	30	V
$V_{EBO}$	5	V
$I_C$	30	mA
$P_{tot}$	250	mW
$T_j$	150	$^\circ\text{C}$
$T_{stg}$	-65... +150	$^\circ\text{C}$

### Wärmewiderstand

Sperrschicht-Umgebung

$R_{thJA}$	$\leq 420$	K/W
------------	------------	-----

**Kenndaten** ( $T_A = 25^\circ\text{C}$ )

**Gleichstromdaten**

		min	typ	max	
Stromverstärkung	$h_{FE}$				
$I_C = 1\text{ mA}$ , $V_{CE} = 10\text{ V}$					
BF 254		65	—	220	—
BF 255		35	—	130	—
Basis-Emitter-Spannung	$V_{BE}$	—	0,68	—	V
$I_C = 1\text{ mA}$ , $V_{CE} = 10\text{ V}$					

**Wechselstromdaten**

Transitfrequenz	$f_T$				
$I_C = 1\text{ mA}$ , $V_{CE} = 10\text{ V}$ , $f = 100\text{ MHz}$					
BF 254		—	260	—	MHz
BF 255		—	220	—	MHz
Kollektor-Basis-Kapazität	$C_{cb}$	—	0,6	—	pF
$V_{CB} = 10\text{ V}$ , $V_{BE} = 0\text{ V}$ , $f = 1\text{ MHz}$					
Kollektor-Emitter-Kapazität	$C_{ce}$	—	0,6	—	pF
$V_{CE} = 10\text{ V}$ , $V_{BE} = 0\text{ V}$ , $f = 1\text{ MHz}$					
Rauschzahl	$F$				
$I_C = 1\text{ mA}$ , $V_{CE} = 10\text{ V}$					
$f = 1\text{ MHz}$ , $g_S = 1,5\text{ mS}^{1)}$		—	1,2	—	dB
100 MHz, 10 mS <sup>1)</sup>		—	3,8	—	dB

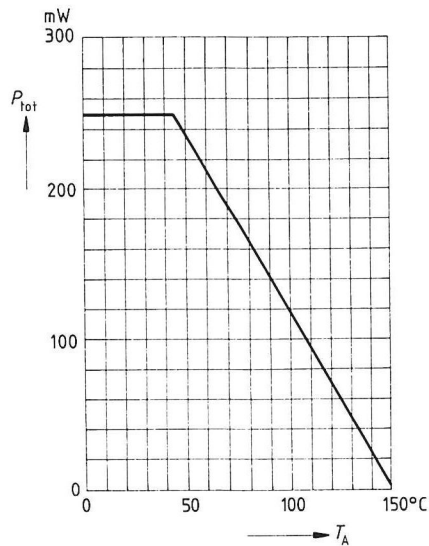
<sup>1)</sup>  $g_S$  = Generatorleitwert

**Wechselstromdaten (Fortsetzung)**

**Y-Parameter, typische Werte,  $I_C = 10\text{ V}$**

$f$ MHz		$g_{11}$ mS	$b_{11}$ mS	$ y_{12} $ $\mu\text{S}$	$\varphi_{12}$ Grd.	$ y_{21} $ mS	$\varphi_{21}$ Grd.	$g_{22}$ $\mu\text{S}$	$b_{22}$ $\mu\text{S}$
<b>Emitterschaltung</b>									
0,45	BF 254	0,3	0,06	1,7	-90	38	0	3,2	3,4
	BF 255	0,45	0,08	1,7	-90	38	0	2,7	3,4
10,7	BF 254	0,4	1,5	41	-90	37	-10	4	8,1
	BF 255	0,5	1,75	41	-90	37	-10	3,8	8,1
<b>Basisschaltung</b>									
100	BF 255	34	-3,5	250	-85	33	150	18	700

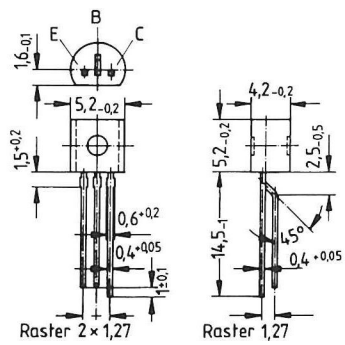
**Gesamtverlustleistung  $P_{\text{tot}} = f(T_A)$**





- Für rauscharme großsignalfeste VHF- und UKW-Stufen in Basis-schaltung

TO 92



Typ	BF 414
Best.-Nr.	Q62702-F517

Grenzdaten

Kollektor-Emitter-Spannung  
Kollektor-Basis-Spannung  
Emitter-Basis-Spannung  
Kollektorstrom  
Basisstrom  
Gesamtverlustleistung  
( $T_A \leq 45^\circ\text{C}$ )  
Sperrschichttemperatur  
Lagertemperatur

$V_{\text{CEO}}$	30	V
$V_{\text{CBO}}$	40	V
$V_{\text{EBO}}$	4	V
$I_{\text{C}}$	25	mA
$I_{\text{B}}$	3	mA
$P_{\text{tot}}$	300	mW
$T_{\text{j}}$	150	$^\circ\text{C}$
$T_{\text{stg}}$	-55... + 150	$^\circ\text{C}$

Wärmewiderstand

Sperrschicht-Umgebung

$R_{\text{th,JA}}$	$\leq 350$	K/W
--------------------	------------	-----

Kenndaten ( $T_A = 25^\circ\text{C}$ )

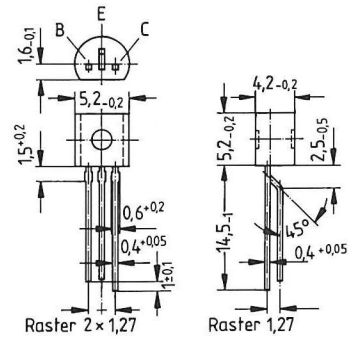
Gleichstromdaten		min	typ	max	
Kollektor-Emitter-Durchbruchspannung $I_C = 2\text{ mA}, I_B = 0$	$V_{(BR)CEO}$	30	—	—	V
Kollektor-Basis-Durchbruchspannung $I_C = 10\text{ }\mu\text{A}, I_E = 0$	$V_{(BR)CBO}$	40	—	—	V
Emitter-Basis-Durchbruchspannung $I_E = 10\text{ }\mu\text{A}$	$V_{(BR)EBO}$	4	—	—	V
Kollektor-Basis-Reststrom $V_{CB} = 20\text{ V}$	$I_{CBO}$	—	—	60	nA
Stromverstärkung $I_C = 4\text{ mA}, V_{CE} = 10\text{ V}$	$h_{FE}$	30	80	—	—

## Wechselstromdaten

Wechselstromdaten					
Transitfrequenz $I_C = 1\text{ mA}, V_{CE} = 10\text{ V}, f = 100\text{ MHz}$ $5\text{ mA}, 10\text{ V}, 100\text{ MHz}$	$f_T$	—	400 560	—	MHz MHz
Kollektor-Emitter-Kapazität $V_{CE} = 10\text{ V}, V_{BE} = 0\text{ V}, f = 1\text{ MHz}$	$C_{ce}$	—	0,1	—	pF
Rauschzahl $I_C = 5\text{ mA}, V_{CE} = 10\text{ V}, f = 100\text{ MHz}$ $R_s = 60\text{ }\Omega$	$F$	—	3	—	dB

- Für AM- und FM-Stufen
- Kleine Rückwirkungskapazität in Emitterschaltung durch Schirmdiffusion

TO 92



Typ	BF 450	BF 451
Best.-Nr.	Q62702-F312	Q62702-F313

Grenzdaten

Kollektor-Emitter-Spannung  
Kollektor-Basis-Spannung  
Emitter-Basis-Spannung  
Kollektorstrom  
Basisstrom  
Gesamtverlustleistung  
( $T_A \leq 45^\circ\text{C}$ )  
Sperrschichttemperatur  
Lagertemperatur

$V_{\text{CEO}}$	40	V
$V_{\text{CBO}}$	40	V
$V_{\text{EBO}}$	4	V
$I_{\text{C}}$	25	mA
$I_{\text{B}}$	5	mA
$P_{\text{tot}}$	250	mW
$T_{\text{j}}$	150	$^\circ\text{C}$
$T_{\text{stg}}$	- 55... + 150	$^\circ\text{C}$

Wärmewiderstand

Sperrschicht-Umgebung

$R_{\text{thJA}}$	$\leq 420$	K/W
-------------------	------------	-----

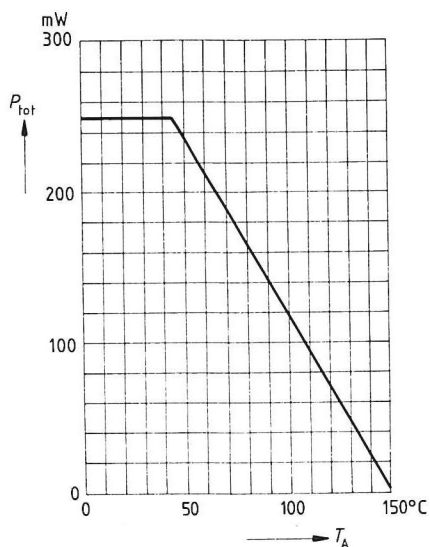
**Kenndaten** ( $T_A = 25^\circ\text{C}$ )

<b>Gleichstromdaten</b>		<b>min</b>	<b>typ</b>	<b>max</b>	
Kollektor-Emitter-Durchbruchspannung $I_C = 2\text{mA}$	$V_{(BR)CEO}$	40	—	—	V
Kollektor-Basis-Durchbruchspannung $I_C = 10\text{ }\mu\text{A}$	$V_{(BR)CBO}$	40	—	—	V
Emitter-Basis-Durchbruchspannung $I_E = 10\text{ }\mu\text{A}$	$V_{(BR)EBO}$	4	—	—	V
Kollektor-Basis-Reststrom $V_{CB} = 30\text{ V}$	$I_{CBO}$	—	—	50	nA
Stromverstärkung $I_C = 1\text{ mA}$ , $V_{CE} = 10\text{ V}$ BF 450 BF 451	$h_{FE}$	—	—	—	—
		65	—	220	—
		35	—	125	—
Basis-Emitter-Durchlaßspannung $I_C = 1\text{ mA}$ , $V_{CE} = 10\text{ V}$	$V_{BE}$	—	0,72	—	V

**Wechselstromdaten**

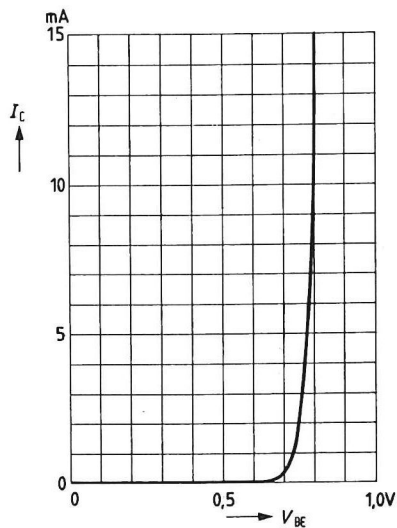
Transitfrequenz $I_C = 1\text{ mA}$ , $V_{CE} = 10\text{ V}$ , $f = 100\text{ MHz}$ BF 450 BF 451	$f_r$	— —	375 325	— —	MHz MHz
Kollektor-Basis-Kapazität $V_{CE} = 10\text{ V}$ , $V_{BE} = 0\text{ V}$ , $f = 1\text{ MHz}$	$C_{cb}$	—	0,32	—	pF
Rauschzahl, $V_{CE} = 10\text{ V}$ $I_C = 1\text{ mA}$ , $f = 100\text{ kHz}$ , $R_S = 300\text{ }\Omega$ 2 mA, 100 MHz, 60 $\Omega$	$F$	— —	2 3	— —	dB dB
<b>Y-Parameter, Emitterschaltung</b> $I_C = 1\text{ mA}$ , $V_{CE} = 10\text{ V}$ $f = 0,45 \dots 10\text{ MHz}$ BF 450 BF 451	$g_{11e}$	— —	0,5 0,8	— —	mS mS
	$C_{11e}$	— —	17 19	— —	pF pF
	$ y_{21e} $	— —	35 1,4	— —	mS pF
$f = 500\text{ kHz}$ 10 MHz	$C_{22e}$	—	—	—	pF
	$g_{22e}$	—	—	8	$\mu\text{S}$
	$g_{22e}$	—	—	10	$\mu\text{S}$

Gesamtverlustleistung  $P_{\text{tot}} = f(T_A)$

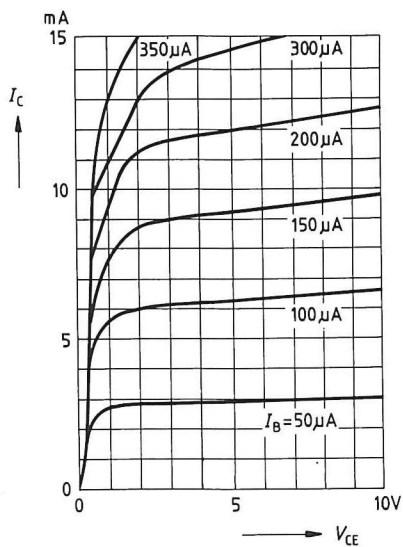


Eingangskennlinie  $I_C = f(V_{\text{BE}})$

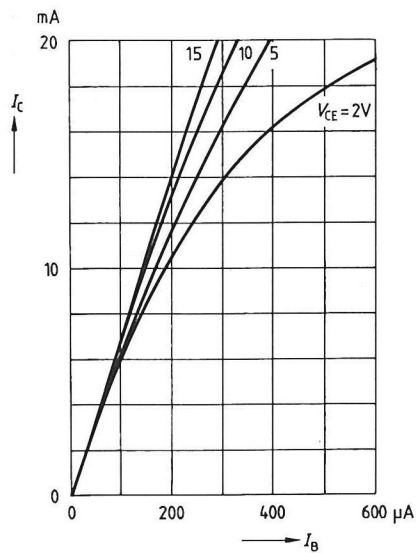
$V_{\text{CE}} = 10 \text{ V}$



Ausgangskennlinien  $I_C = f(V_{\text{CE}})$

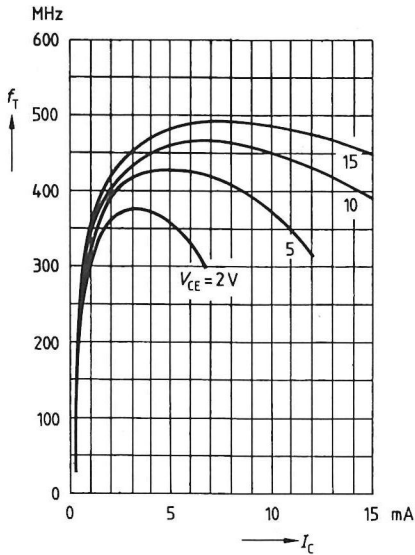


Kollektorstrom  $I_C = f(I_B)$



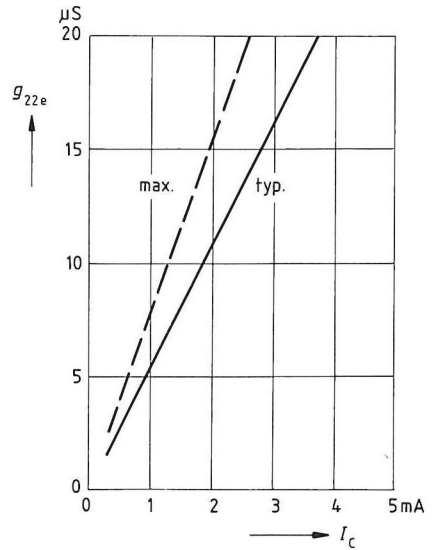
**Transitfrequenz  $f_T = f(I_C)$**

$f = 100 \text{ MHz}$



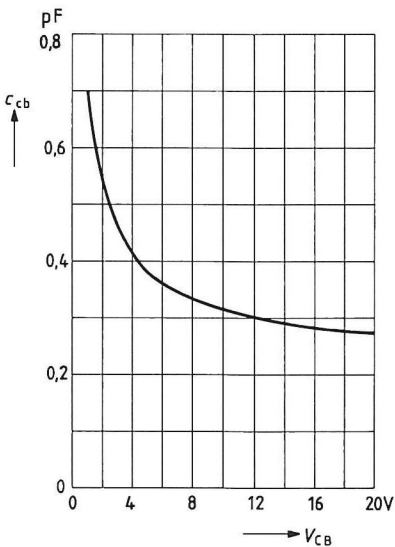
**Ausgangsleitwert  $g_{22e} = f(I_C)$**

$V_{CE} = 10 \text{ V}, f = 500 \text{ kHz}$



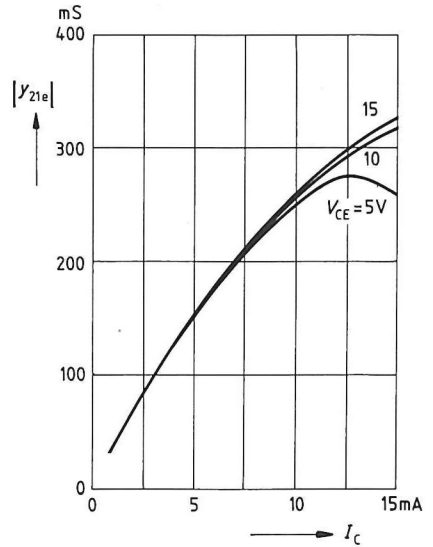
**Kollektor-Basis-Kapazität  $c_{cb} = f(V_{CB})$**

$f = 1 \text{ MHz}$



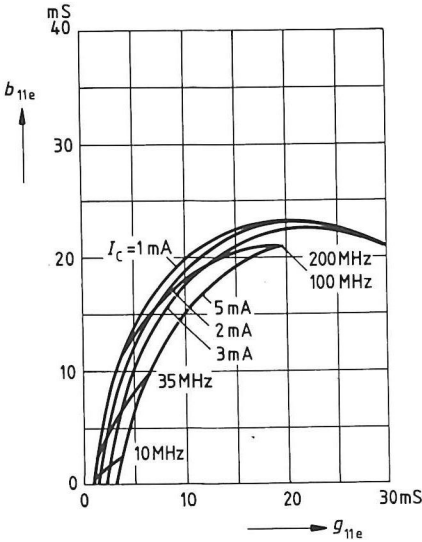
**Kurzschluß-Vorwärtsteilheit  $|y_{21e}| = f(I_C)$**

$f = 10,7 \text{ MHz}$



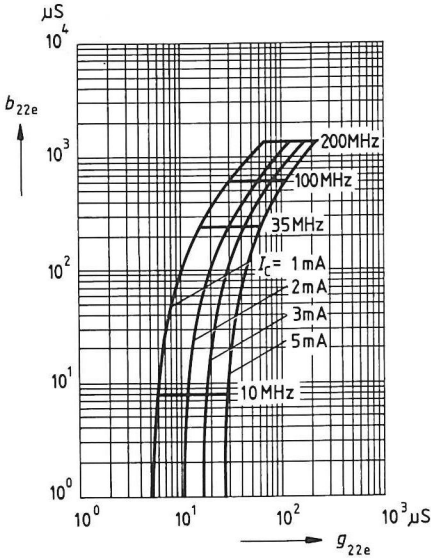
Eingangsleitwert  $y_{11e}$

$V_{CE} = 10 \text{ V}$



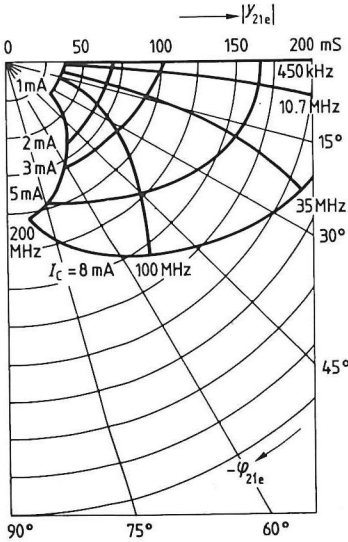
Ausgangsleitwert  $y_{22e}$

$V_{CE} = 10 \text{ V}$



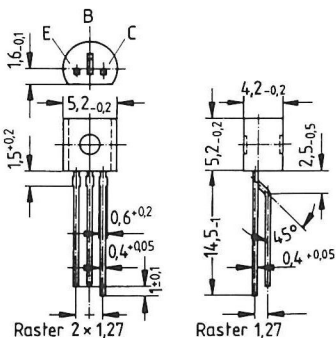
Vorwärtssteilheit  $y_{21e}$

$V_{CE} = 10 \text{ V}$



- Für rauscharme großsignalfeste VHF-Misch- und Oszillatorstufen in Basisschaltung

TO 92



Typ	BF 506
Best.-Nr.	Q62702-F534

### Grenzdaten

Kollektor-Emitter-Spannung  
 Kollektor-Basis-Spannung  
 Emitter-Basis-Spannung  
 Kollektorstrom  
 Basisstrom  
 Gesamtverlustleistung  
 ( $T_A \leq 45^\circ\text{C}$ )  
 Sperrschichttemperatur  
 Lagertemperatur

$V_{CE0}$	35	V
$V_{CBO}$	40	V
$V_{EBO}$	4	V
$I_C$	30	mA
$I_B$	5	mA
$P_{tot}$	300	mW
$T_j$	150	$^\circ\text{C}$
$T_{stg}$	-55... +150	$^\circ\text{C}$

### Wärmewiderstand

Sperrschicht-Umgebung

$R_{thJA}$	$\leq 350$	K/W
------------	------------	-----



**Kenndaten** ( $T_A = 25^\circ\text{C}$ )

<b>Gleichstromdaten</b>		<b>min</b>	<b>typ</b>	<b>max</b>	
Kollektor-Emitter-Durchbruchspannung $I_C = 2\text{ mA}$	$V_{(BR)CEO}$	35	—	—	V
Kollektor-Basis-Durchbruchspannung $I_C = 10\text{ }\mu\text{A}$	$V_{(BR)CBO}$	40	—	—	V
Emitter-Basis-Durchbruchspannung $I_E = 10\text{ }\mu\text{A}$	$V_{(BR)EBO}$	4	—	—	V
Kollektor-Basis-Reststrom $V_{CB} = 20\text{ V}$	$I_{CBO}$	—	—	100	nA
Stromverstärkung $I_C = 3\text{ mA}$ , $V_{CE} = 10\text{ V}$	$h_{FE}$	25	—	—	—

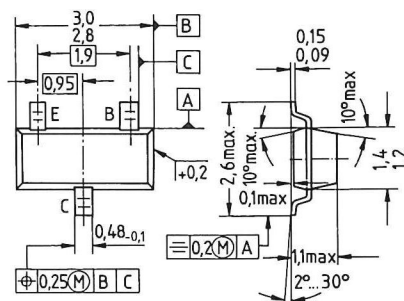
**Wechselstromdaten**

Transitfrequenz $I_C = 2\text{ mA}$ , $V_{CE} = 10\text{ V}$ , $f = 100\text{ MHz}$	$f_T$	—	550	—	MHz
Kollektor-Emitter-Kapazität $V_{CB} = 10\text{ V}$ , $V_{BE} = 0\text{ V}$ , $f = 1\text{ MHz}$	$C_{ce}$	—	0,12	—	V
Rauschzahl $I_C = 2\text{ mA}$ , $V_{CB} = 10\text{ V}$ , $f = 200\text{ MHz}$ $R_S = 60\text{ }\Omega$	$F$	—	3	—	dB

## Vorläufige Daten

- Für Breitbandverstärker bis 1 GHz
- Für Oszillatoranwendungen
- Kunststoff-Miniaturgehäuse für Oberflächenmontage (SMD)

**SOT 23**



<b>Typ</b>	BF 517	
<b>Best.-Nr.</b>	Schüttgut: Q62702-F988	Gurt: Q62702-F78
<b>Stempel</b>	LR	

## Grenzdaten

Kollektor-Emitter-Spannung	$V_{\text{CEO}}$	15	V
Kollektor-Basis-Spannung	$V_{\text{CBO}}$	20	V
Emitter-Basis-Spannung	$V_{\text{EBO}}$	3	V
Kollektorstrom	$I_{\text{C}}$	25	mA
Basisstrom	$I_{\text{B}}$	5	mA
Gesamtverlustleistung ( $T_{\text{A}} \leq 25^{\circ}\text{C}$ )	$P_{\text{tot}}$	280	mW
Sperrschichttemperatur	$T_{\text{j}}$	150	$^{\circ}\text{C}$
Lagertemperatur	$T_{\text{stg}}$	$-65 \dots +150$	$^{\circ}\text{C}$

## Wärmewiderstand

Sperrschicht-Umgebung	$R_{th,JA}$	$\leq 450$	K/W <sup>1)</sup>
-----------------------	-------------	------------	-------------------

<sup>1)</sup> Bei Montage auf AL<sub>2</sub>O<sub>3</sub>-Keramiksubstrat 16,7 mm x 15 mm x 0,7 mm

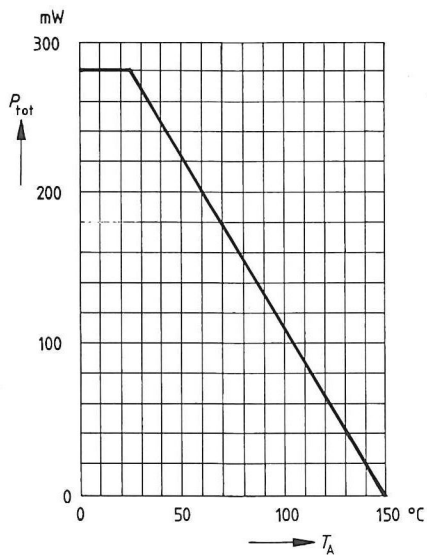
**Kenndaten** ( $T_A = 25^\circ\text{C}$ )

<b>Gleichstromdaten</b>		<b>min</b>	<b>typ</b>	<b>max</b>	
Kollektor-Emitter-Durchbruchspannung $I_C = 1\text{ mA}, I_B = 0$	$V_{(BR)\text{ CEO}}$	15	—	—	V
Kollektor-Basis-Reststrom $V_{CB} = 15\text{ V}, I_E = 0$	$I_{CBO}$	—	—	50	nA
Stromverstärkung $I_C = 5\text{ mA}, V_{CE} = 10\text{ V}$	$h_{FE}$	25	—	250	—
Kollektor-Emitter-Sättigungsspannung $I_C = 10\text{ mA}, I_B = 1\text{ mA}$	$V_{CE\text{ sat}}$	—	0,1	0,5	V
Basis-Emitter-Sättigungsspannung $I_C = 10\text{ mA}, I_B = 1\text{ mA}$	$V_{BE\text{ sat}}$	—	—	0,95	V

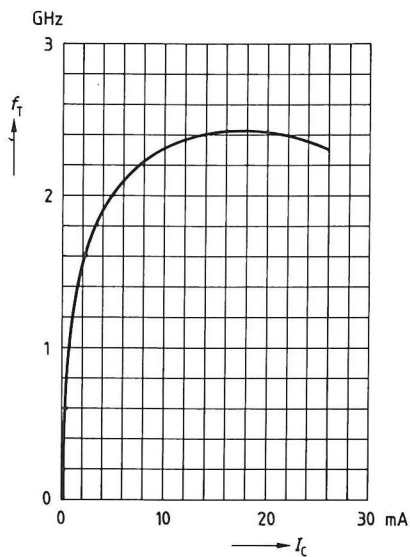
**Wechselstromdaten**

<b>Wechselstromdaten</b>					
Transitfrequenz $I_C = 5\text{ mA}, V_{CE} = 10\text{ V}, f = 200\text{ MHz}$	$f_T$	1	2	—	GHz
Kollektor-Basis-Kapazität $V_{CB} = 10\text{ V}, V_{BE} = 0\text{ V}, f = 1\text{ MHz}$	$C_{cb}$	0,3	0,5	0,75	pF
Kollektor-Emitter-Kapazität $V_{CE} = 10\text{ V}, V_{BE} = 0\text{ V}, f = 1\text{ MHz}$	$C_{ce}$	—	0,26	0,4	pF
Rauschzahl $I_C = 5\text{ mA}, V_{CE} = 10\text{ V}, f = 100\text{ MHz}$ 800 MHz	$F$	— —	2,5 5	— —	dB dB

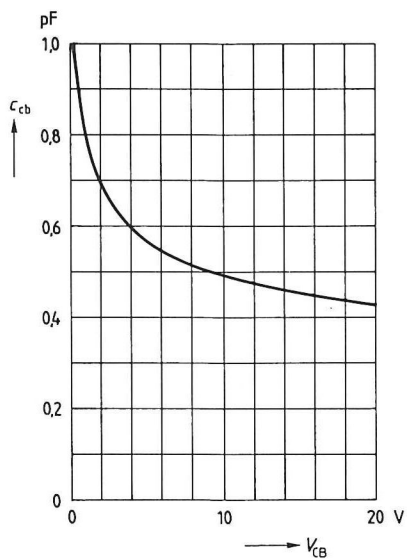
**Gesamtverlustleistung**  $P_{\text{tot}} = f(T_A)$



**Transitfrequenz**  $f_T = f(I_C)$   
 $V_{CE} = 10 \text{ V}, f = 200 \text{ MHz}$

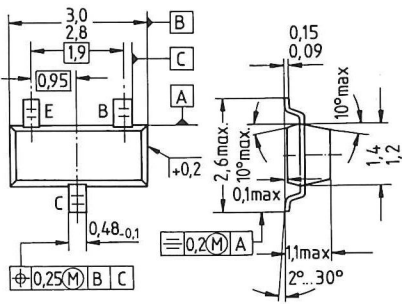


**Kollektor-Basis-Kapazität**  $c_{cb} = f(V_{CB})$   
 $f = 1 \text{ MHz}$



- Für Verstärker in Emitterschaltung bis 300 MHz
- Für Mischschaltungen in AM-FM-Rundfunk- und VHF-TV-Anwendungen
- Niedrige Kollektor-Basis-Kapazität durch Schirmdiffusion
- Kontrollierter niedriger Ausgangsleitwert
- Kunststoff-Miniaturgehäuse für Oberflächenmontage (SMD)

SOT 23



Typ	BF 550	
Best.-Nr.	Schüttgut: Q62702-F547	Gurt: Q62702-F944
Stempel	LA	

Grenzdaten

Kollektor-Emitter-Spannung	$V_{CEO}$	40	V
Kollektor-Basis-Spannung	$V_{CBO}$	40	V
Emitter-Basis-Spannung	$V_{EBO}$	4	V
Kollektorstrom	$I_C$	25	mA
Basisstrom	$I_B$	5	mA
Gesamtverlustleistung ( $T_A \leq 25^\circ\text{C}$ )	$P_{tot}$	280	mW
Sperrschichttemperatur	$T_j$	150	$^\circ\text{C}$
Lagertemperatur	$T_{stg}$	-65... +150	$^\circ\text{C}$

Wärmewiderstand			
Sperrschicht-Umgebung	$R_{thJA}$	$\leq 450$	K/W <sup>1)</sup>

<sup>1)</sup> Bei Montage auf AL<sub>2</sub>O<sub>3</sub>-Keramiksubstrat 16,7 mm × 15 mm × 0,7 mm

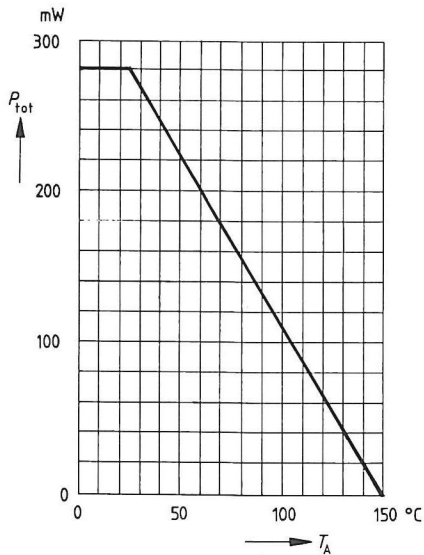
**Kenndaten** ( $T_A = 25^\circ\text{C}$ )

<b>Gleichstromdaten</b>		<b>min</b>	<b>typ</b>	<b>max</b>	
Kollektor-Emitter-Durchbruchspannung $I_C = 1\text{ mA}, I_E = 0$	$V_{(BR)CEO}$	40	—	—	V
Kollektor-Basis-Durchbruchspannung $I_C = 10\text{ }\mu\text{A}, I_E = 0$	$V_{(BR)CBO}$	40	—	—	V
Emitter-Basis-Durchbruchspannung $I_E = 10\text{ }\mu\text{A}, I_C = 0$	$V_{(BR)EBO}$	4	—	—	V
Kollektor-Basis-Reststrom $V_{CB} = 30\text{ V}, I_E = 0$	$I_{CBO}$	—	—	100	nA
Stromverstärkung $I_C = 1\text{ mA}, V_{CE} = 10\text{ V}$	$h_{FE}$	50	—	250	—
Basis-Emitter-Spannung $I_C = 1\text{ mA}, V_{CE} = 10\text{ V}$	$V_{BE}$	—	0,72	—	V

**Wechselstromdaten**

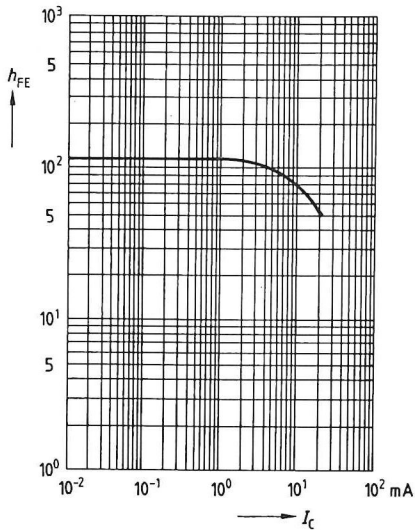
Transitfrequenz $I_C = 1\text{ mA}, V_{CE} = 10\text{ V}, f = 100\text{ MHz}$	$f_T$	—	350	—	MHz
Kollektor-Basis-Kapazität $V_{CB} = 10\text{ V}, V_{BE} = 0\text{ V}, f = 1\text{ MHz}$	$C_{cb}$	—	0,33	—	pF
Kollektor-Emitter-Kapazität $V_{CE} = 10\text{ V}, V_{BE} = 0\text{ V}, f = 1\text{ MHz}$	$C_{ce}$	—	0,67	—	pF
Rauschzahl $V_{CE} = 10\text{ V}$ $I_C = 1\text{ mA}, f = 100\text{ kHz}, R_s = 300\text{ }\Omega$ 2 mA, 100 MHz, 60 $\Omega$	$F$	— —	2 3,4	— —	dB dB
<b>Y-Parameter, Emitterschaltung</b> $I_C = 1\text{ mA}, V_{CE} = 10\text{ V}$ $f = 0,45 \dots 10\text{ MHz}$	$g_{11e}$	—	550	—	$\mu\text{S}$
	$C_{11e}$	—	17	—	pF
	$ y_{21e} $	—	35	—	mS
	$C_{22e}$	—	1,3	—	pF
$f = 500\text{ kHz}$	$g_{22e}$	—	5	8	$\mu\text{S}$
10 MHz	$g_{22e}$	—	5	10	$\mu\text{S}$

Gesamtverlustleistung  $P_{\text{tot}} = f(T_A)$



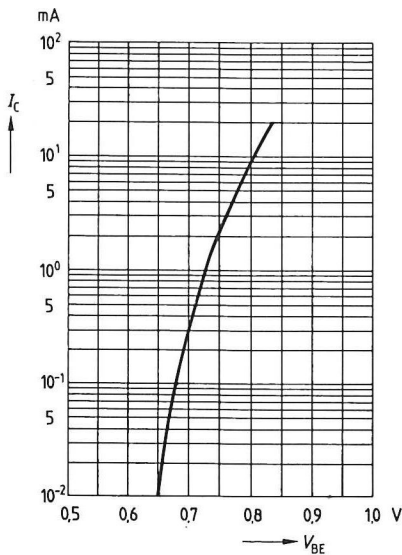
Stromverstärkung  $h_{FE} = f(I_C)$

$V_{CE} = 10 \text{ V}$



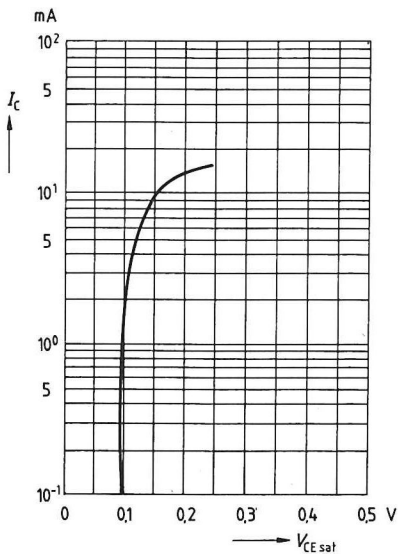
Kollektorstrom  $I_C = f(V_{BE})$

$V_{CE} = 10 \text{ V}$



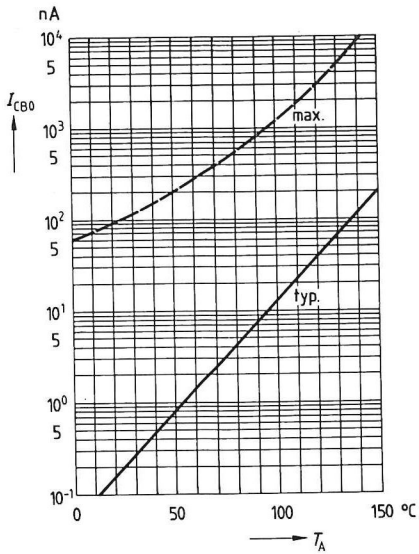
Sättigungsspannung  $V_{CE\text{sat}} = f(I_C)$

$h_{FE} = 10$



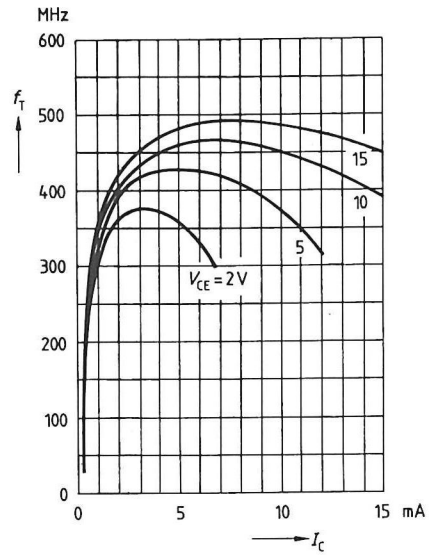
**Reststrom**  $I_{CB0} = f(T_A)$

$V_{CB} = 30 \text{ V}$



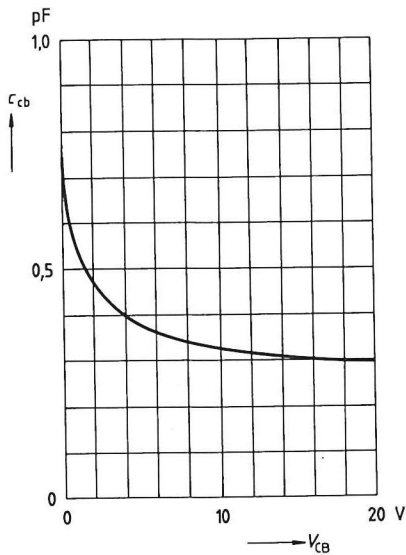
**Transitfrequenz**  $f_T = f(I_C)$

$f = 100 \text{ MHz}$



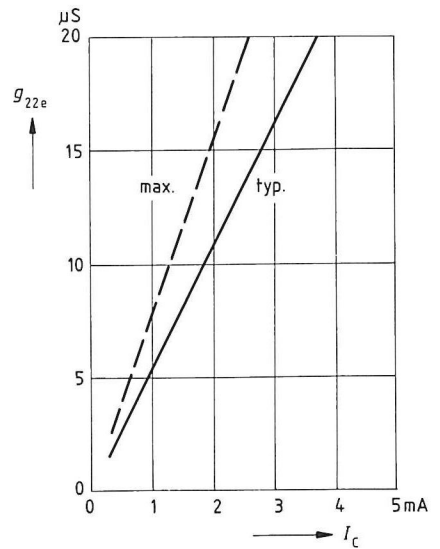
**Kollektor-Basis-Kapazität**  $c_{cb} = f(V_{CB})$

$f = 1 \text{ MHz}$



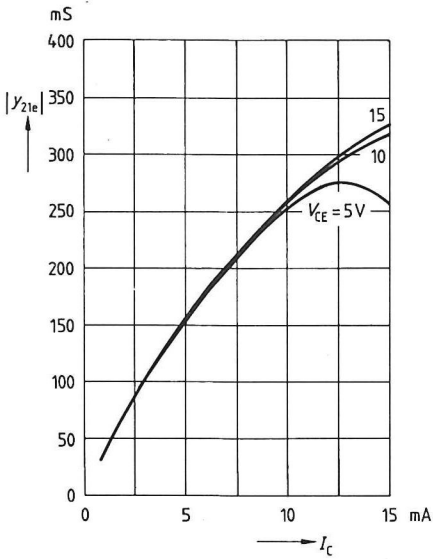
**Ausgangsleitwert**  $g_{22e} = f(I_C)$

$V_{CE} = 10 \text{ V}, f = 500 \text{ kHz}$

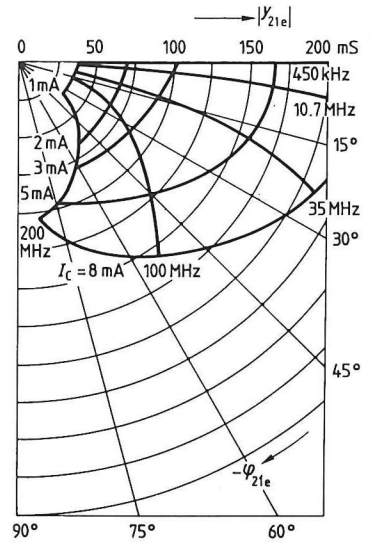




Kurzschluß-Vorwärtsteilheit  $|y_{21e}| = f(I_C)$   
 $f = 10,7 \text{ MHz}$



Kurzschluß-Vorwärtsteilheit  $y_{21e}$   
 $V_{CE} = 10 \text{ V}$





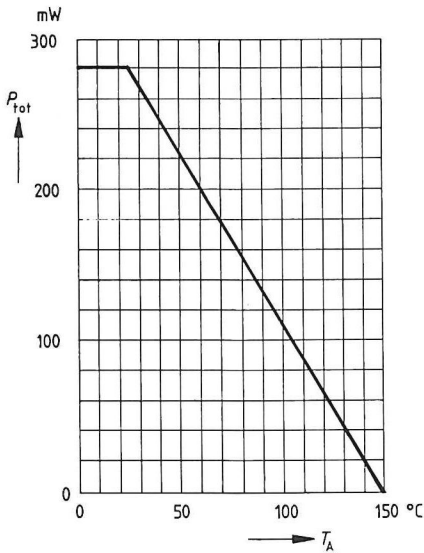
**Kenndaten** ( $T_A = 25^\circ\text{C}$ )

<b>Gleichstromdaten</b>		<b>min</b>	<b>typ</b>	<b>max</b>	
Kollektor-Emitter-Durchbruchspannung $I_C = 1\text{ mA}, I_B = 0$	$V_{(BR)\text{ CEO}}$	20	—	—	V
Kollektor-Basis-Reststrom $V_{CB} = 20\text{ V}, I_E = 0$	$I_{CBO}$	—	—	100	nA
Stromverstärkung $I_C = 1\text{ mA}, V_{CE} = 10\text{ V}$	$h_{FE}$	60	—	250	—
Basis-Emitter-Spannung $I_C = 1\text{ mA}, V_{CE} = 10\text{ V}$	$V_{BE}$	—	0,7	—	V

**Wechselstromdaten**

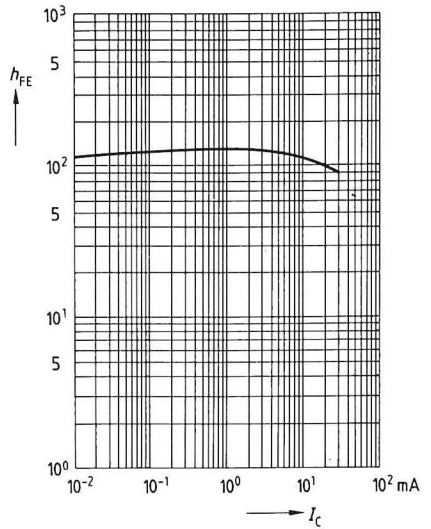
Transitfrequenz $I_C = 1\text{ mA}, V_{CE} = 10\text{ V}, f = 100\text{ MHz}$	$f_T$	—	250	—	MHz
Kollektor-Basis-Kapazität $V_{CE} = 10\text{ V}, V_{BE} = 0\text{ V}, f = 1\text{ MHz}$	$C_{cb}$	—	0,6	—	pF
Rauschzahl $I_C = 1\text{ mA}, V_{CE} = 10\text{ V}$ $f = 200\text{ kHz}, g_s = 2\text{ mS}$ 1 MHz, 1,5 mS 100 MHz, 10 mS	$F$	—	1,5 1,2 3	—	dB dB dB
Ausgangsleitwert $I_C = 1\text{ mA}, V_{CE} = 10\text{ V}, f = 0,5 \dots 10\text{ MHz}$	$g_{22e}$	—	4	—	$\mu\text{S}$

**Gesamtverlustleistung  $P_{\text{tot}} = f(T_A)$**



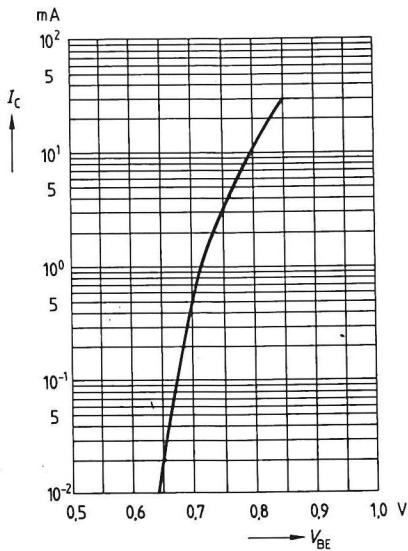
**Stromverstärkung  $h_{FE} = f(I_C)$**

$V_{CE} = 10 \text{ V}$



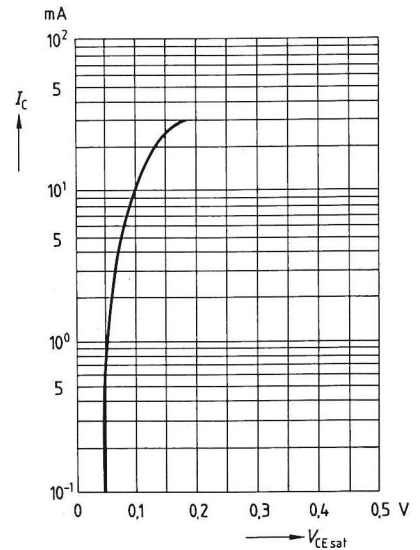
**Kollektorstrom  $I_C = f(V_{BE})$**

$V_{CE} = 10 \text{ V}$



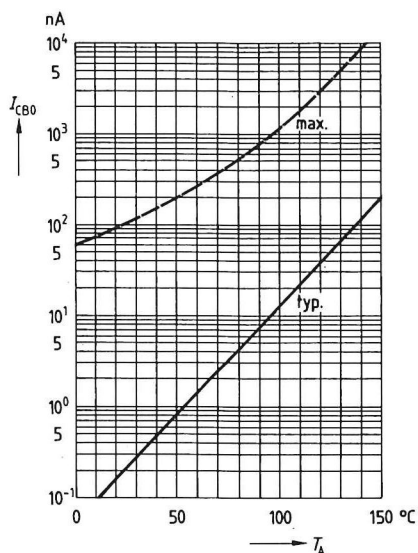
**Sättigungsspannung  $V_{CE\text{sat}} = f(I_C)$**

$h_{FE} = 10$



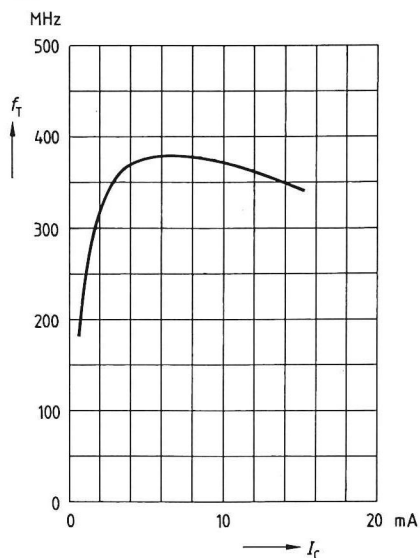
**Reststrom**  $I_{CBO} = f(T_A)$

$V_{CB} = 20 \text{ V}$



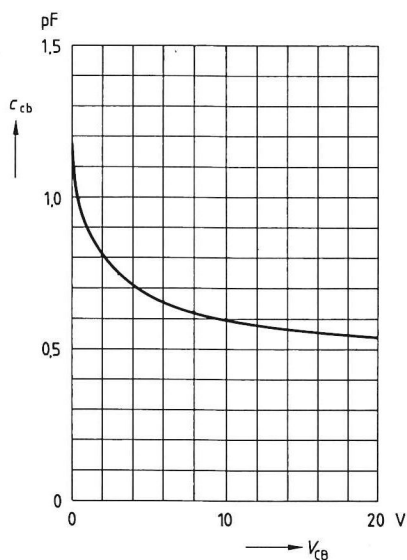
**Transitfrequenz**  $f_T = f(I_C)$

$V_{CE} = 10 \text{ V}, f = 100 \text{ MHz}$



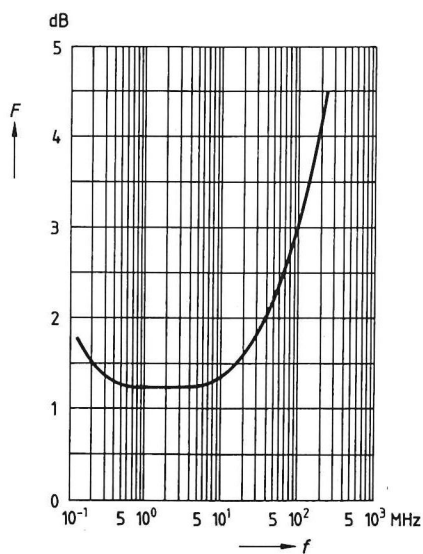
**Kollektorkapazität**  $c_{cb} = f(V_{CB})$

$f = 1 \text{ MHz}$



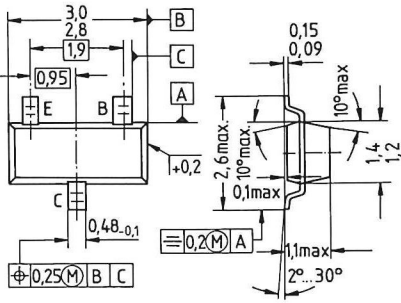
**Rauschzahl**  $F = f(f)$

$I_C = 1 \text{ mA}, V_{CE} = 10 \text{ V}, R_S = 60 \Omega$



- Für Oszillatoren, Mischer und selbstschwingende Mischstufen in UHF-TV-Tunern
- Kunststoff-Miniaturgehäuse für Oberflächenmontage (SMD)

SOT 23



Typ	BF 569	
Best.-Nr.	Schüttgut: Q62702-F548	Gurt: Q62702-F869
Stempel	LH	

Grenzdaten

Kollektor-Emitter-Spannung	$V_{CEO}$	35	V
Kollektor-Basis-Spannung	$V_{CBO}$	40	V
Emitter-Basis-Spannung	$V_{EBO}$	3	V
Kollektorstrom	$I_C$	30	mA
Basisstrom	$I_B$	5	mA
Gesamtverlustleistung ( $T_A \leq 25^\circ\text{C}$ )	$P_{tot}$	280	mW
Sperrschichttemperatur	$T_j$	150	$^\circ\text{C}$
Lagertemperatur	$T_{stg}$	-55... +150	$^\circ\text{C}$

Wärmewiderstand

Sperrschicht-Umgebung	$R_{thJA}$	$\leq 450$	K/W <sup>1)</sup>
-----------------------	------------	------------	-------------------

<sup>1)</sup> Bei Montage auf  $\text{Al}_2\text{O}_3$ -Keramiksubstrat 16,7 mm × 15 mm × 0,7 mm

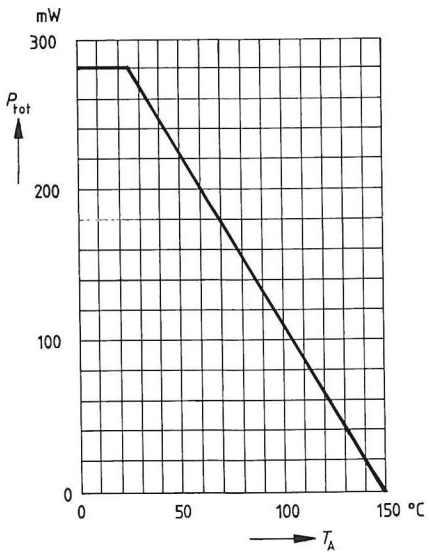
**Kenndaten** ( $T_A = 25^\circ\text{C}$ )

<b>Gleichstromdaten</b>		<b>min</b>	<b>typ</b>	<b>max</b>	
Kollektor-Emitter-Durchbruchspannung $I_C = 1\text{ mA}, I_B = 0$	$V_{(BR)\text{ CEO}}$	35	—	—	V
Kollektor-Basis-Reststrom $V_{CB} = 20\text{ V}, I_E = 0$	$I_{CBO}$	—	—	100	nA
Stromverstärkung $I_C = 3\text{ mA}, V_{CE} = 10\text{ V}$	$h_{FE}$	20	50	—	—

**Wechselstromdaten**

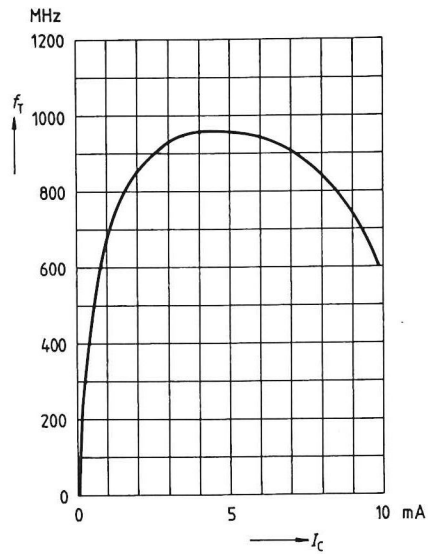
Transitfrequenz $I_C = 3\text{ mA}, V_{CE} = 10\text{ V}, f = 100\text{ MHz}$	$f_T$	—	950	—	MHz
Kollektor-Basis-Kapazität $V_{CB} = 10\text{ V}, V_{BE} = 0\text{ V}, f = 1\text{ MHz}$	$C_{cb}$	—	0,32	—	pF
Kollektor-Emitter-Kapazität $V_{CE} = 10\text{ V}, V_{BE} = 0\text{ V}, f = 1\text{ MHz}$	$C_{ce}$	—	0,15	—	pF
Rauschzahl $I_C = 3\text{ mA}, V_{CB} = 10\text{ V}, f = 800\text{ MHz}$ $R_s = 60\ \Omega$	$F$	—	4,5	—	dB
Leistungsverstärkung (Basisschaltung) $I_C = 3\text{ mA}, V_{CB} = 10\text{ V}, f = 800\text{ MHz}$ $R_L = 500\ \Omega$	$G_p$	—	14,8	—	dB

Gesamtverlustleistung  $P_{\text{tot}} = f(T_A)$



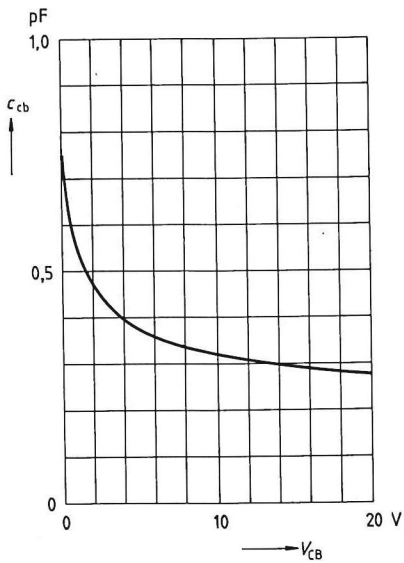
Transitfrequenz  $f_T = f(I_C)$

$V_{CE} = 10 \text{ V}$ ,  $f = 100 \text{ MHz}$



Kollektor-Basis-Kapazität  $c_{cb} = f(V_{CB})$

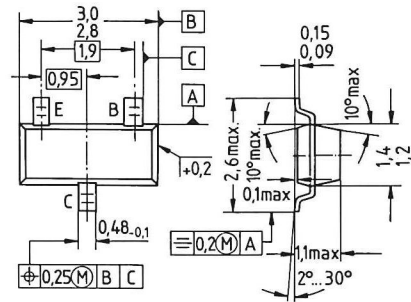
$f = 1 \text{ MHz}$





- Für VHF/UHF-Verstärker mit geringer Verzerrung und niedrigem Rauschen
- Für UHF-Oszillatoranwendungen in TV-Tunern
- Arbeitsstrom typ. 10 mA
- Kunststoff-Miniaturgehäuse für Oberflächenmontage (SMD)

SOT 23



Typ	BF 579	
Best.-Nr.	Schüttgut: Q62702-F552	Gurt: Q62702-F971
Stempel	LJ	

### Grenzdaten

Kollektor-Emitter-Spannung	$V_{CEO}$	20	V
Kollektor-Basis-Spannung	$V_{CBO}$	25	V
Emitter-Basis-Spannung	$V_{EBO}$	3	V
Kollektorstrom	$I_C$	30	mA
Basisstrom	$I_B$	5	mA
Gesamtverlustleistung ( $T_A \leq 25^\circ\text{C}$ )	$P_{tot}$	280	mW
Sperrschichttemperatur	$T_j$	150	$^\circ\text{C}$
Lagertemperatur	$T_{stg}$	-55... + 150	$^\circ\text{C}$

### Wärmewiderstand

Sperrschicht-Umgebung	$R_{thJA}$	$\leq 450$	K/W <sup>1)</sup>
-----------------------	------------	------------	-------------------

<sup>1)</sup> Bei Montage auf  $\text{Al}_2\text{O}_3$ -Keramiksubstrat 16,7 mm × 15 mm × 0,7 mm

Kenndaten ( $T_A = 25^\circ\text{C}$ )

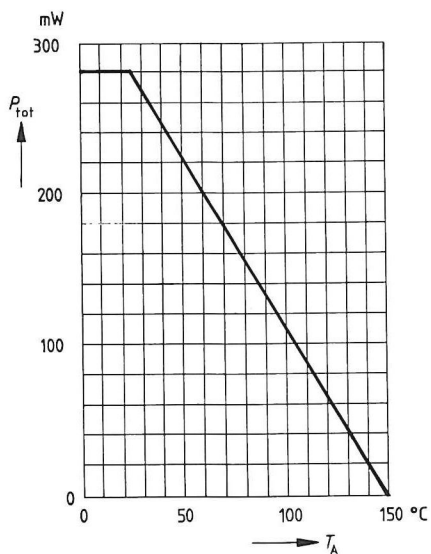
## Gleichstromdaten

		min	typ	max	
Kollektor-Emitter-Durchbruchspannung $I_C = 1\text{ mA}$ , $I_E = 0$	$V_{(BR)\text{ CEO}}$	20	—	—	V
Kollektor-Basis-Reststrom $V_{CB} = 20\text{ V}$ , $I_E = 0$	$I_{CBO}$	—	—	100	nA
Stromverstärkung $I_C = 10\text{ mA}$ , $V_{CE} = 10\text{ V}$	$h_{FE}$	20	—	—	—

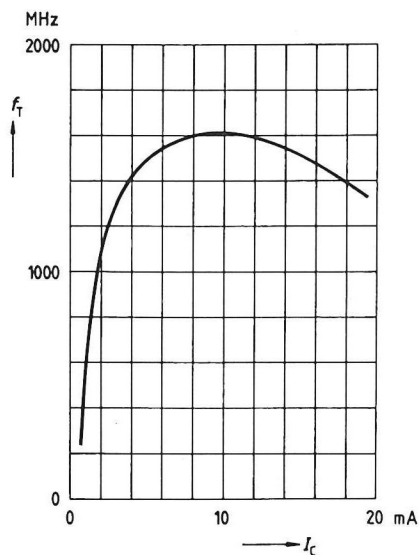
## Wechselstromdaten

Transitfrequenz $I_C = 10\text{ mA}$ , $V_{CE} = 10\text{ V}$ , $f = 100\text{ MHz}$	$f_T$	—	1,6	—	GHz
Kollektor-Basis-Kapazität $V_{CB} = 10\text{ V}$ , $V_{BE} = 0\text{ V}$ , $f = 1\text{ MHz}$	$C_{cb}$	—	0,41	—	pF
Kollektor-Emitter-Kapazität $V_{CE} = 10\text{ V}$ , $V_{BE} = 0\text{ V}$ , $f = 1\text{ MHz}$	$C_{ce}$	—	0,16	—	pF
Rauschzahl $I_C = 10\text{ mA}$ , $V_{CB} = 10\text{ V}$ , $R_s = 60\ \Omega$ $f = 800\text{ MHz}$ 200 MHz	$F$	—	4	—	dB
		—	2,9	—	dB
Leistungsverstärkung (Basisschaltung) $I_C = 10\text{ mA}$ , $V_{CB} = 10\text{ V}$ , $f = 800\text{ MHz}$ $R_L = 500\ \Omega$	$G_P$	—	16	—	dB

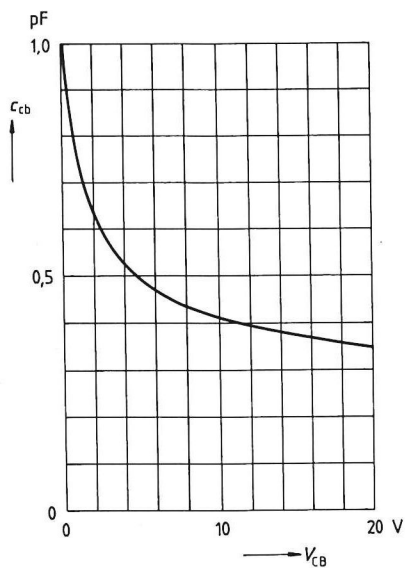
**Gesamtverlustleistung**  $P_{\text{tot}} = f(T_A)$



**Transitfrequenz**  $f_T = f(I_C)$   
 $V_{CE} = 10 \text{ V}, f = 100 \text{ MHz}$

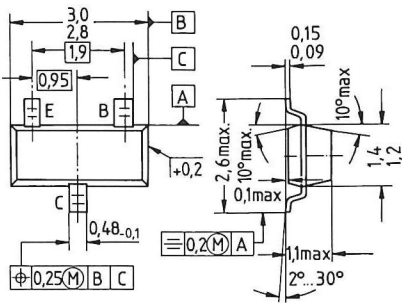


**Kollektor-Basis-Kapazität**  $c_{cb} = f(V_{CB})$   
 $f = 1 \text{ MHz}$



- Für ZF-HF-Anwendungen in Emitterschaltung
- Niedrige Kollektor-Basis-Kapazität durch Schirmdiffusion
- Kunststoff-Miniaturgehäuse für Oberflächenmontage (SMD)

SOT 23



Typ	BF 599	
Best.-Nr.	Schüttgut: Q62702-F550	Gurt: Q62702-F979
Stempel	NB	

### Grenzdaten

Kollektor-Emitter-Spannung	$V_{CEO}$	25	V
Kollektor-Basis-Spannung	$V_{CBO}$	40	V
Emitter-Basis-Spannung	$V_{EBO}$	4	V
Kollektorstrom	$I_C$	25	mA
Basisstrom	$I_B$	5	mA
Gesamtverlustleistung ( $T_A \leq 25^\circ\text{C}$ )	$P_{tot}$	280	mW
Sperrschichttemperatur	$T_j$	150	$^\circ\text{C}$
Lagertemperatur	$T_{stg}$	-65... +150	$^\circ\text{C}$

### Wärmewiderstand

Sperrschicht-Umgebung	$R_{thJA}$	$\leq 450$	K/W <sup>1)</sup>
-----------------------	------------	------------	-------------------

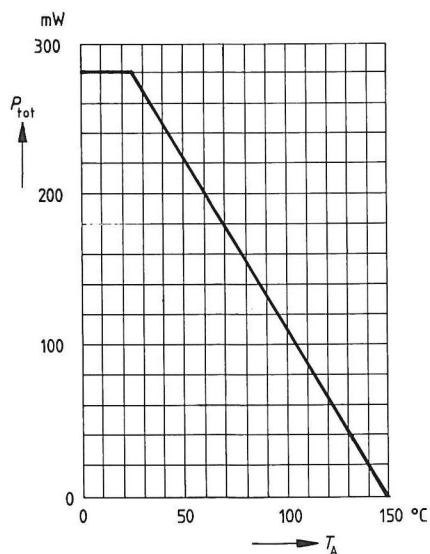
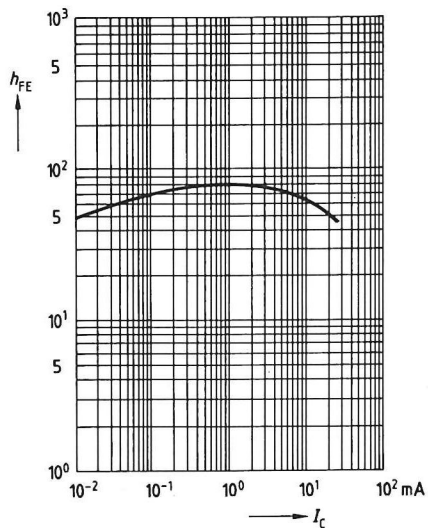
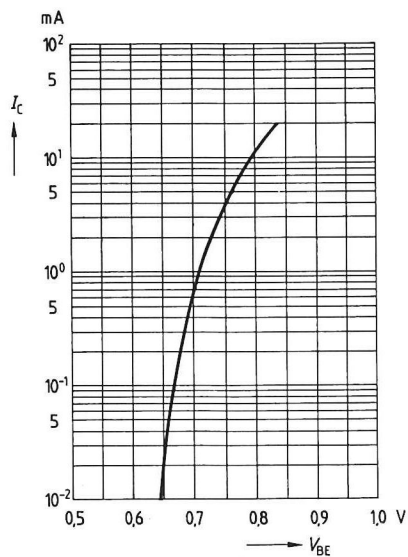
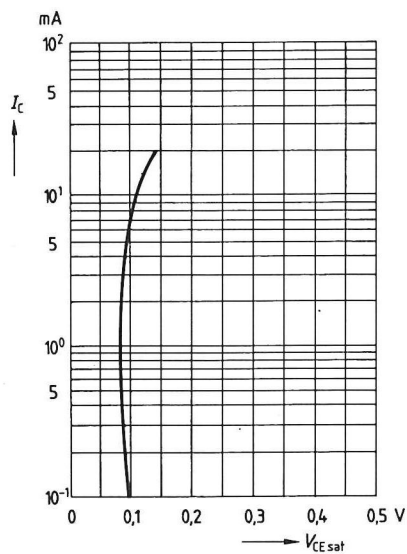
<sup>1)</sup> Bei Montage auf  $\text{Al}_2\text{O}_3$ -Keramiksustrat 16,7 mm × 15 mm × 0,7 mm

**Kenndaten** ( $T_A = 25^\circ\text{C}$ )

<b>Gleichstromdaten</b>		<b>min</b>	<b>typ</b>	<b>max</b>	
Kollektor-Emitter-Durchbruchspannung $I_C = 1\text{ mA}, I_B = 0$	$V_{(BR)\text{ CEO}}$	25	—	—	V
Kollektor-Basis-Reststrom $V_{CB} = 20\text{ V}, I_E = 0$	$I_{CBO}$	—	—	100	nA
Stromverstärkung $I_C = 7\text{ mA}, V_{CE} = 10\text{ V}$	$h_{FE}$	38	70	—	—
Kollektor-Emitter-Sättigungsspannung $I_C = 10\text{ mA}, I_B = 1\text{ mA}$	$V_{CE\text{ sat}}$	—	0,15	—	V
Basis-Emitter-Spannung $I_C = 7\text{ mA}, V_{CE} = 10\text{ V}$	$V_{BE}$	—	0,78	—	V

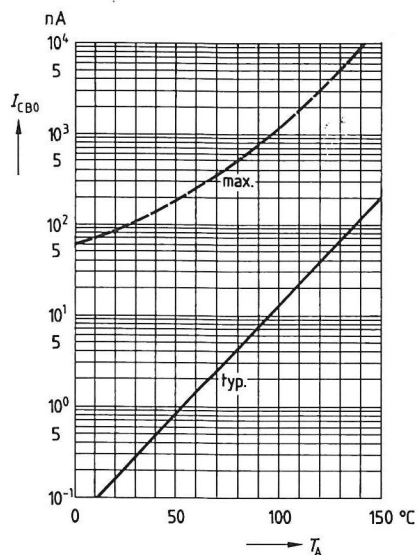
**Wechselstromdaten**

<b>Wechselstromdaten</b>					
Transitfrequenz $I_C = 5\text{ mA}, V_{CE} = 10\text{ V}, f = 100\text{ MHz}$	$f_T$	—	550	—	MHz
Kollektor-Basis-Kapazität $V_{CB} = 10\text{ V}, V_{BE} = 0\text{ V}, f = 1\text{ MHz}$	$C_{cb}$	—	0,35	—	pF
Kollektor-Emitter-Kapazität $V_{CE} = 10\text{ V}, V_{BE} = 0\text{ V}, f = 1\text{ MHz}$	$C_{ce}$	—	0,68	—	pF
Optimale Leistungsverstärkung $I_C = 7\text{ mA}, V_{CE} = 10\text{ V}, f = 35\text{ MHz}$	$G_{pe\text{ opt}}$	—	43	—	dB
Kurzschluß-Vorwärtssteilheit $I_C = 7\text{ mA}, V_{CE} = 10\text{ V}, f = 35\text{ MHz}$	$ y_{21e} $	—	175	—	mS

Gesamtverlustleistung  $P_{\text{tot}} = f(T_A)$ Stromverstärkung  $h_{FE} = f(I_C)$  $V_{CE} = 10 \text{ V}$ Kollektorstrom  $I_C = f(V_{BE})$  $V_{CE} = 10 \text{ V}$ Sättigungsspannung  $V_{CE\text{sat}} = f(I_C)$  $h_{FE} = 10$ 

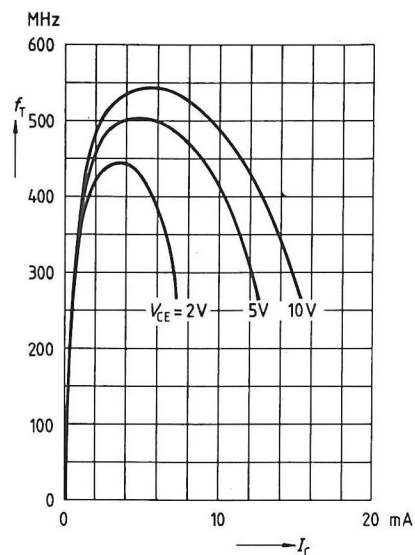
Reststrom  $I_{CBO} = f(T_A)$

$V_{CB} = 20 \text{ V}$



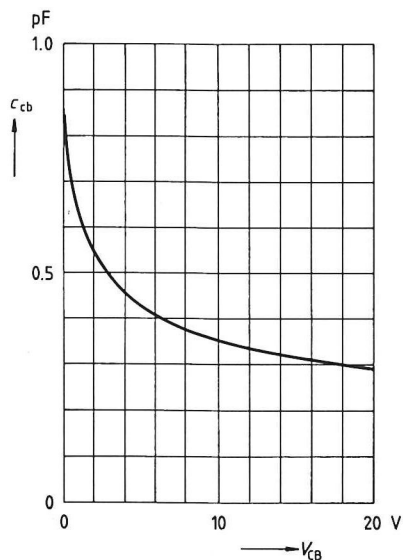
Transitfrequenz  $f_T = f(I_C)$

$f = 100 \text{ MHz}$

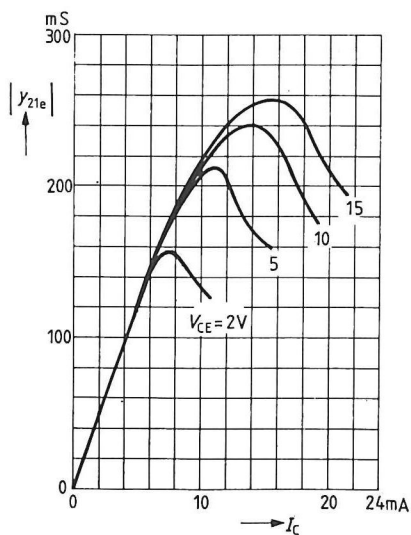


Kollektor-Basis-Kapazität  $c_{cb} = f(V_{CB})$

$f = 1 \text{ MHz}$

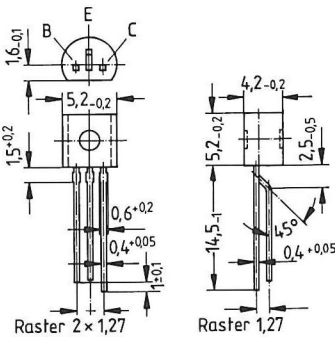


Kurzschluß-Vorwärtsteilheit  $|y_{21e}| = f(I_C)$



- Für VHF-Oszillatorstufen, speziell zur Ansteuerung von MOSFET-Mischstufen

TO 92



Typ	BF 606 A
Best.-Nr.	Q62702-F535

Grenzdaten

Kollektor-Emitter-Spannung  
Kollektor-Basis-Spannung  
Emitter-Basis-Spannung  
Kollektorstrom  
Emitterstrom  
Gesamtverlustleistung  
( $T_A \leq 45^\circ\text{C}$ )  
Sperrschichttemperatur  
Lagertemperatur

$V_{CE0}$	30	V
$V_{CBO}$	40	V
$V_{EBO}$	4	V
$I_C$	25	mA
$I_E$	30	mA
$P_{tot}$	300	mW
$T_j$	150	$^\circ\text{C}$
$T_{stg}$	-55... + 150	$^\circ\text{C}$

Wärmewiderstand

Sperrschicht-Umgebung

$R_{thJA}$	$\leq 350$	K/W
------------	------------	-----



**Kenndaten** ( $T_A = 25^\circ\text{C}$ )

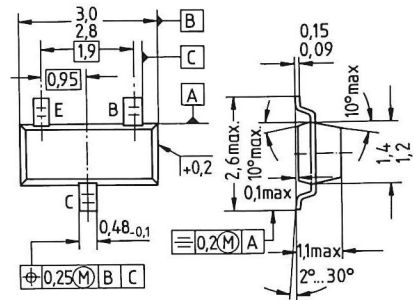
<b>Gleichstromdaten</b>		<b>min</b>	<b>typ</b>	<b>max</b>	
Kollektor-Emitter-Durchbruchspannung $I_C = 2\text{ mA}$	$V_{(BR)CEO}$	30	—	—	V
Kollektor-Basis-Durchbruchspannung $I_C = 10\text{ }\mu\text{A}$	$V_{(BR)CBO}$	40	—	—	V
Emitter-Basis-Durchbruchspannung $I_E = 10\text{ }\mu\text{A}$	$V_{(BR)EBO}$	4	—	—	V
Kollektor-Basis-Reststrom $V_{CB} = 20\text{ V}$	$I_{CBO}$	—	—	60	nA
Stromverstärkung $I_C = 1\text{ mA}, V_{CE} = 10\text{ V}$	$h_{FE}$	30	—	—	—

**Wechselstromdaten**

<b>Wechselstromdaten</b>					
Transitfrequenz $I_C = 5\text{ mA}, V_{CE} = 10\text{ V}, f = 100\text{ MHz}$	$f_T$	—	700	—	MHz
Kollektor-Emitter-Kapazität $V_{CE} = 10\text{ V}, V_{BE} = 0\text{ V}, f = 1\text{ MHz}$	$c_{ce}$	—	0,35	—	pF
Kollektor-Basis-Kapazität $V_{CB} = 10\text{ V}, V_{BE} = 0\text{ V}, f = 1\text{ MHz}$	$c_{cb}$	—	—	0,85	pF

- Für VHF-Tuner-Oszillatoranwendungen
- Kunststoff-Miniaturgehäuse für Oberflächenmontage (SMD)

SOT 23



Typ	BF 660	
Best.-Nr.	Schüttgut: Q62702-F549	Gurt: Q62702-F982
Stempel	LE	

### Grenzdaten

Kollektor-Emitter-Spannung	$V_{CEO}$	30	V
Kollektor-Basis-Spannung	$V_{CBO}$	40	V
Emitter-Basis-Spannung	$V_{EBO}$	4	V
Kollektorstrom	$I_C$	25	mA
Emitterstrom	$I_E$	30	mA
Gesamtverlustleistung ( $T_A \leq 25^\circ\text{C}$ )	$P_{tot}$	280	mW
Sperrschichttemperatur	$T_j$	150	$^\circ\text{C}$
Lagertemperatur	$T_{stg}$	-65... +150	$^\circ\text{C}$

### Wärmewiderstand

Sperrschicht-Umgebung	$R_{thJA}$	$\leq 450$	K/W <sup>1)</sup>
-----------------------	------------	------------	-------------------

<sup>1)</sup> Bei Montage auf  $\text{Al}_2\text{O}_3$ -Keramiksubstrat 16,7 mm × 15 mm × 0,7 mm

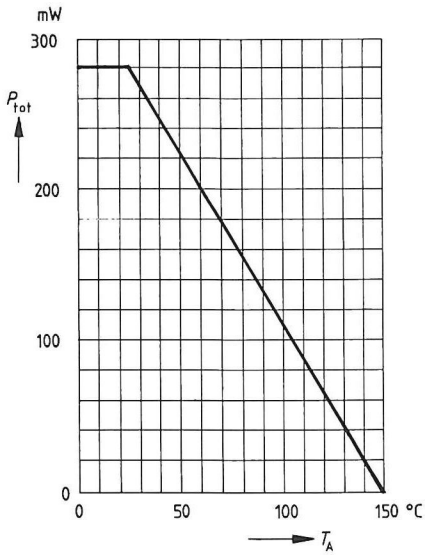
**Kenndaten** ( $T_A = 25^\circ\text{C}$ )

<b>Gleichstromdaten</b>		<b>min</b>	<b>typ</b>	<b>max</b>	
Kollektor-Emitter-Durchbruchspannung $I_C = 1\text{ mA}, I_B = 0$	$V_{(BR)CEO}$	30	—	—	V
Kollektor-Basis-Durchbruchspannung $I_C = 10\text{ }\mu\text{A}, I_E = 0$	$V_{(BR)CBO}$	40	—	—	V
Emitter-Basis-Durchbruchspannung $I_E = 10\text{ }\mu\text{A}, I_C = 0$	$V_{(BR)EBO}$	4	—	—	V
Kollektor-Basis-Reststrom $V_{CB} = 20\text{ V}, I_E = 0$	$I_{CBO}$	—	—	50	nA
Stromverstärkung $I_C = 3\text{ mA}, V_{CE} = 10\text{ V}$	$h_{FE}$	30	—	—	—

**Wechselstromdaten**

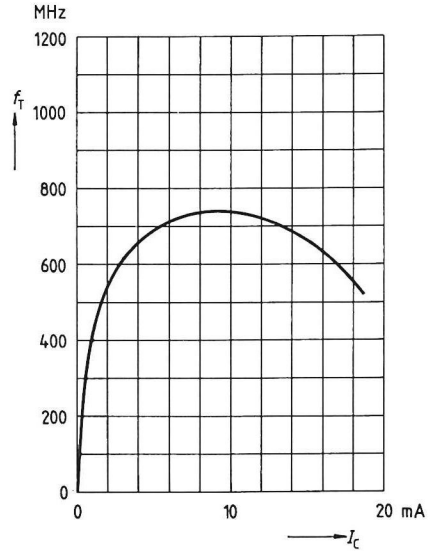
Transitfrequenz $I_C = 5\text{ mA}, V_{CE} = 10\text{ V}, f = 100\text{ MHz}$	$f_T$	—	700	—	MHz
Kollektor-Basis-Kapazität $V_{CB} = 10\text{ V}, V_{BE} = 0\text{ V}, f = 1\text{ MHz}$	$C_{cb}$	—	0,6	—	pF
Kollektor-Emitter-Kapazität $V_{CE} = 10\text{ V}, V_{BE} = 0\text{ V}, f = 1\text{ MHz}$	$C_{ce}$	—	0,28	—	pF

**Gesamtverlustleistung**  $P_{\text{tot}} = f(T_A)$



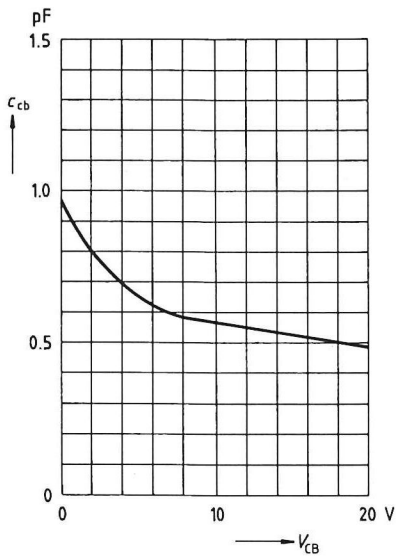
**Transitfrequenz**  $f_T = f(I_C)$

$V_{\text{CE}} = 10 \text{ V}, f = 100 \text{ MHz}$



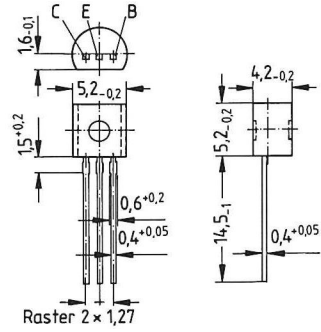
**Kollektor-Basis-Kapazität**  $c_{cb} = f(V_{\text{CB}})$

$f = 1 \text{ MHz}$



- Für rauscharme Verstärker und Oszillatoren bis 1 GHz

TO 92



Typ	BF 763
Best.-Nr.	Q62702-F766

Grenzdaten

Kollektor-Emitter-Spannung  
Kollektor-Basis-Spannung  
Emitter-Basis-Spannung  
Kollektorstrom  
Gesamtverlustleistung  
( $T_A \leq 25^\circ\text{C}$ )  
Sperrschichttemperatur  
Lagertemperatur

$V_{\text{CEO}}$	15	V
$V_{\text{CBO}}$	25	V
$V_{\text{EBO}}$	3,5	V
$I_{\text{C}}$	25	mA
$P_{\text{tot}}$	500	mW
$T_{\text{j}}$	150	$^\circ\text{C}$
$T_{\text{stg}}$	-55... + 150	$^\circ\text{C}$

Wärmewiderstand

Sperrschicht-Umgebung

$R_{\text{thJA}}$	$\leq 250$	K/W
-------------------	------------	-----

**Kenndaten** ( $T_A = 25^\circ\text{C}$ )

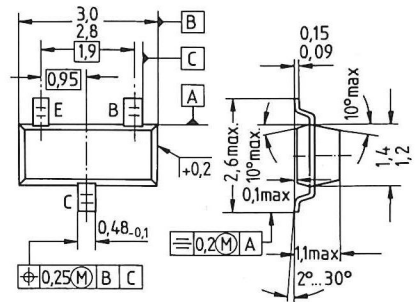
<b>Gleichstromdaten</b>		<b>min</b>	<b>typ</b>	<b>max</b>	
Kollektor-Emitter-Durchbruchspannung $I_C = 1\text{ mA}$	$V_{(BR)CEO}$	15	—	—	V
Kollektor-Basis-Durchbruchspannung $I_C = 10\text{ }\mu\text{A}$	$V_{(BR)CBO}$	25	—	—	V
Emitter-Basis-Durchbruchspannung $I_E = 10\text{ }\mu\text{A}$	$V_{(BR)EBO}$	3,5	—	—	V
Kollektor-Basis-Reststrom $V_{CB} = 15\text{ V}$	$I_{CBO}$	—	—	50	nA
Stromverstärkung $I_C = 5\text{ mA}$ , $V_{CE} = 10\text{ V}$	$h_{FE}$	25	—	250	—
Kollektor-Emitter-Sättigungsspannung $I_C = 10\text{ mA}$ , $I_B = 1\text{ mA}$	$V_{CEsat}$	—	—	0,5	V

**Wechselstromdaten**

Transitfrequenz $I_C = 5\text{ mA}$ , $V_{CE} = 10\text{ V}$ , $f = 200\text{ MHz}$	$f_T$	—	2000	—	MHz
Kollektor-Basis-Kapazität $V_{CB} = 10\text{ V}$ , $V_{BE} = 0\text{ V}$ , $f = 1\text{ MHz}$	$c_{cb}$	0,3	—	0,9	pF
Rauschzahl $I_C = 5\text{ mA}$ , $V_{CE} = 10\text{ V}$ , $R_s = 60\text{ }\Omega$ $f = 200\text{ MHz}$ 800 MHz	$F$	— —	2,5 5	— —	dB dB

- Rauscharmer Breitbandtransistor im Frequenzbereich bis 2 GHz bei Kollektorströmen bis 30 mA
- Für ZF-Verstärker in TV-Sat-Tunern und für VCR-Modulatoren
- Kunststoff-Miniaturgehäuse für Oberflächenmontage (SMD)

**SOT 23**



<b>Typ</b>	BF 770 A	
<b>Best.-Nr.</b>	Schüttgut: Q62702-F1068	Gurt: Q62702-F1080
<b>Stempel</b>	LS	

## Grenzdaten

Kollektor-Emitter-Spannung	$V_{\text{CEO}}$	12	V
Kollektor-Basis-Spannung	$V_{\text{CBO}}$	15	V
Emitter-Basis-Spannung	$V_{\text{EBO}}$	2	V
Kollektorstrom	$I_{\text{C}}$	50	mA
Basisstrom	$I_{\text{B}}$	10	mA
Gesamtverlustleistung ( $T_{\text{A}} \leq 25^{\circ}\text{C}$ )	$P_{\text{tot}}$	280	mW
Sperrschichttemperatur	$T_{\text{j}}$	150	$^{\circ}\text{C}$
Lagertemperatur	$T_{\text{stg}}$	$-65 \dots +150$	$^{\circ}\text{C}$

## Wärmewiderstand

Sperrschicht-Umgebung	$R_{thJA}$	$\leq 450$	K/W <sup>1)</sup>
-----------------------	------------	------------	-------------------

<sup>1)</sup> Bei Montage auf AL<sub>2</sub>O<sub>3</sub>-Keramiksubstrat 16,7 mm x 15 mm x 0,7 mm

Kenndaten ( $T_A = 25^\circ\text{C}$ )

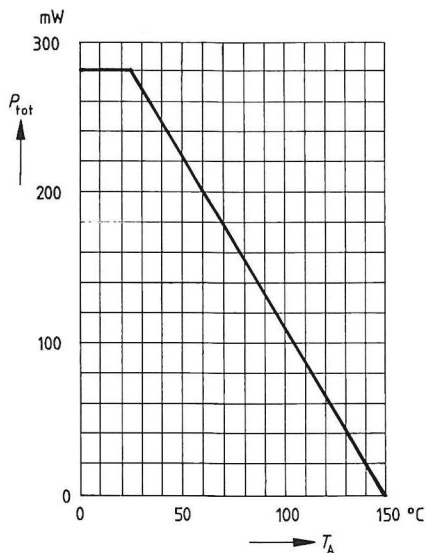
Gleichstromdaten		min	typ	max	
Kollektor-Emitter-Durchbruchspannung $I_C = 1\text{ mA}, I_B = 0$	$V_{(BR)CEO}$	12	—	—	V
Kollektor-Basis-Reststrom $V_{CB} = 5\text{ V}, I_E = 0$	$I_{CBO}$	—	—	50	nA
Stromverstärkung $I_C = 30\text{ mA}, V_{CE} = 5\text{ V}$	$h_{FE}$	40	90	—	—
Kollektor-Emitter-Sättigungsspannung $I_C = 50\text{ mA}, I_B = 5\text{ mA}$	$V_{CEsat}$	—	0,13	0,5	V

## Wechselstromdaten

Transitfrequenz $I_C = 30\text{ mA}, V_{CE} = 5\text{ V}, f = 200\text{ MHz}$	$f_T$	—	5,5	—	GHz
Kollektor-Basis-Kapazität $V_{CB} = 5\text{ V}, V_{BE} = 0\text{ V}, f = 1\text{ MHz}$	$C_{cb}$	—	0,6	—	pF
Kollektor-Emitter-Kapazität $V_{CE} = 5\text{ V}, V_{BE} = 0\text{ V}, f = 1\text{ MHz}$	$C_{ce}$	—	0,3	—	pF
Rauschzahl $I_C = 10\text{ mA}, V_{CE} = 5\text{ V}, f = 800\text{ MHz}$	$F$	—	2	—	dB
Leistungsverstärkung $I_C = 30\text{ mA}, V_{CB} = 5\text{ V}, f = 800\text{ MHz}$	$G_p$	—	13	—	dB

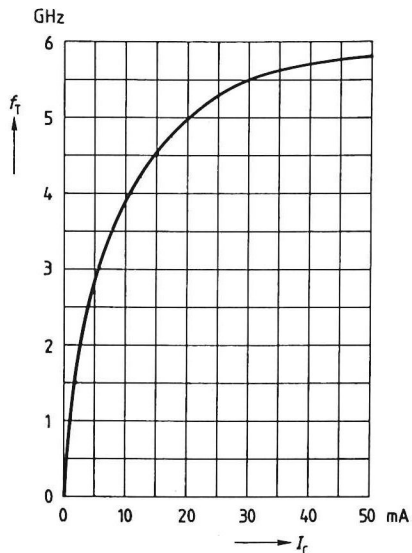


Gesamtverlustleistung  $P_{\text{tot}} = f(T_A)$



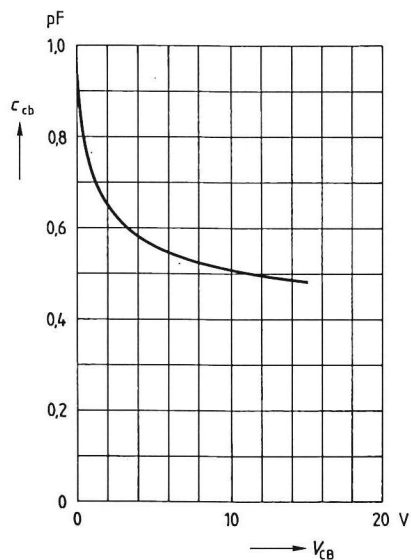
Transitfrequenz  $f_T = f(I_C)$

$V_{CE} = 5 \text{ V}$ ,  $f = 200 \text{ MHz}$



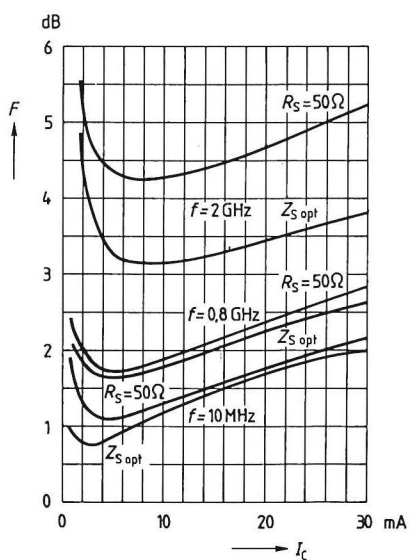
Kollektor-Basis-Kapazität  $c_{cb} = f(V_{CB})$

$f = 1 \text{ MHz}$



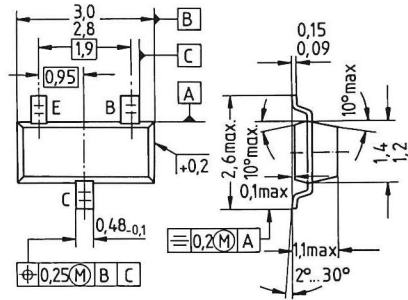
Rauschzahl  $F = f(I_C)$

$V_{CE} = 8 \text{ V}$



- Für breitbandige Kleinsignalanwendungen bis 2 GHz
- Für HF-Verstärker, Mischer und Oszillatoren in TV-Sat-Tunern
- Kunststoff-Miniaturgehäuse für Oberflächenmontage (SMD)

SOT 23



Typ	BF 775	
Best.-Nr.	Schüttgut: Q62702-F991	Gurt: Q62702-F102
Stempel	LO	

# Grenzdaten

Kollektor-Emitter-Spannung	$V_{CEO}$	12	V
Kollektor-Basis-Spannung	$V_{CBO}$	20	V
Emitter-Basis-Spannung	$V_{EBO}$	2,5	V
Kollektorstrom	$I_C$	30	mA
Basisstrom	$I_B$	4	mA
Gesamtverlustleistung	$P_{tot}$	280	mW
( $T_A \leq 25^\circ\text{C}$ )			
Sperrschichttemperatur	$T_j$	150	$^\circ\text{C}$
Lagertemperatur	$T_{stg}$	-65... + 150	$^\circ\text{C}$

# Wärmewiderstand

Sperrschicht-Umgebung	$R_{thJA}$	$\leq 450$	K/W <sup>1)</sup>
-----------------------	------------	------------	-------------------

<sup>1)</sup> Bei Montage auf  $\text{Al}_2\text{O}_3$ -Keramiksubstrat 16,7 mm × 15 mm × 0,7 mm

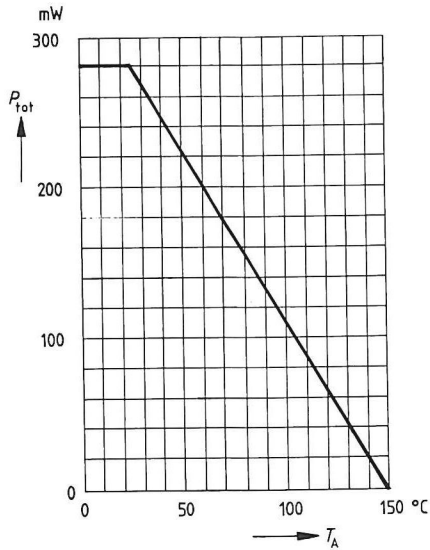
**Kenndaten** ( $T_A = 25^\circ\text{C}$ )

<b>Gleichstromdaten</b>		<b>min</b>	<b>typ</b>	<b>max</b>	
Kollektor-Emitter-Durchbruchspannung $I_C = 1\text{ mA}, I_B = 0$	$V_{(BR)\text{ CEO}}$	12	—	—	V
Kollektor-Basis-Reststrom $V_{CB} = 10\text{ V}, I_E = 0$	$I_{CBO}$	—	—	50	nA
Stromverstärkung, $V_{CE} = 6\text{ V}$ $I_C = 5\text{ mA}$ 20 mA	$h_{FE}$	40	90	250	—
		40	100	—	—
Kollektor-Emitter-Sättigungsspannung $I_C = 20\text{ mA}, I_B = 2\text{ mA}$	$V_{CEsat}$	—	0,16	0,5	V

**Wechselstromdaten**

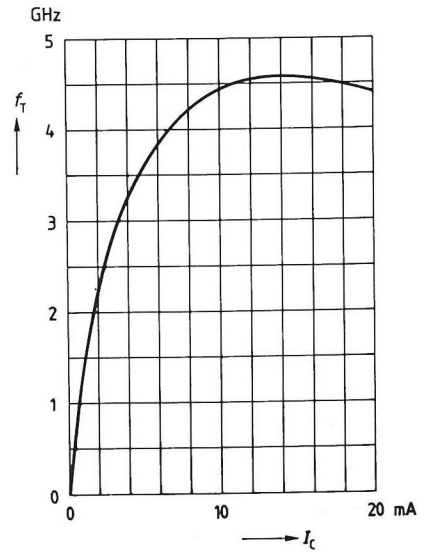
<b>Wechselstromdaten</b>					
Transitfrequenz $I_C = 5\text{ mA}, V_{CE} = 6\text{ V}, f = 200\text{ MHz}$ 20 mA, 6 V, 200 MHz	$f_T$	—	3,5	—	GHz
		—	4,5	—	GHz
Kollektor-Basis-Kapazität $V_{CB} = 6\text{ V}, V_{BE} = 0\text{ V}, f = 1\text{ MHz}$	$C_{cb}$	—	0,58	—	pF
Kollektor-Emitter-Kapazität $V_{CE} = 10\text{ V}, V_{BE} = 0\text{ V}, f = 1\text{ MHz}$	$C_{ce}$	—	0,27	—	pF
Rauschzahl $I_C = 2\text{ mA}, V_{CE} = 6\text{ V}, f = 800\text{ MHz}$	$F$	—	2,1	—	dB

**Gesamtverlustleistung**  $P_{\text{tot}} = f(T_A)$



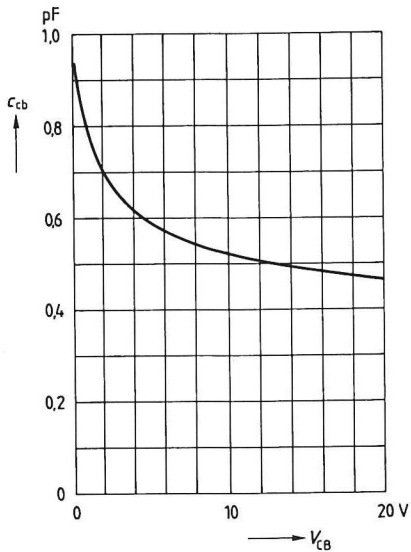
**Transitfrequenz**  $f_T = f(I_C)$

$V_{CE} = 6 \text{ V}$ ,  $f = 200 \text{ MHz}$

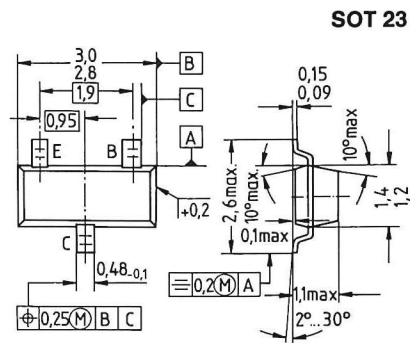


**Kollektor-Basis-Kapazität**  $c_{cb} = f(V_{CB})$

$f = 1 \text{ MHz}$



- Für breitbandige Verstärkeranwendungen bis 500 MHz bei hoher Aussteuerung
- Für die Ansteuerung von Oberflächenwellenfiltern in TV-Tunern
- Kunststoff-Miniaturgehäuse für Oberflächenmontage (SMD)



Typ	BF 799	
Best.-Nr.	Schüttgut: Q62702-F788	Gurt: Q62702-F935
Stempel	LK	

**Grenzdaten**

Kollektor-Emitter-Spannung	$V_{CE0}$	20	V
Kollektor-Emitter-Sperrspannung	$V_{CES}$	30	V
Kollektor-Basis-Spannung	$V_{CBO}$	30	V
Emitter-Basis-Spannung	$V_{EBO}$	3	V
Kollektorstrom	$I_C$	35	mA
Kollektorspitzenstrom	$I_{CM}$	50	mA
Basisspitzenstrom	$I_{BM}$	15	mA
Gesamtverlustleistung ( $T_A \leq 25^\circ\text{C}$ )	$P_{tot}$	280	mW
Sperrschichttemperatur	$T_j$	150	$^\circ\text{C}$
Lagertemperatur	$T_{stg}$	-65... + 150	$^\circ\text{C}$

**Wärmewiderstand**

Sperrschicht-Umgebung	$R_{thJA}$	$\leq 450$	K/W <sup>1)</sup>
-----------------------	------------	------------	-------------------

<sup>1)</sup> Bei Montage auf  $\text{Al}_2\text{O}_3$ -Keramiksubstrat 16,7 mm × 15 mm × 0,7 mm

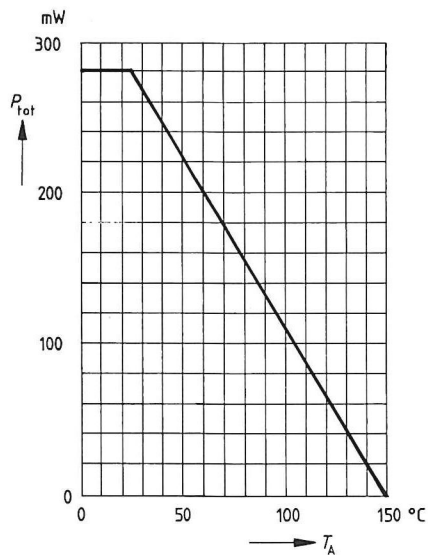
Kenndaten ( $T_A = 25^\circ\text{C}$ )

Gleichstromdaten		min	typ	max	
Kollektor-Emitter-Durchbruchspannung $I_C = 1\text{ mA}, I_B = 0$	$V_{(BR)CEO}$	20	—	—	V
Kollektor-Basis-Durchbruchspannung $I_C = 10\text{ }\mu\text{A}, I_E = 0$	$V_{(BR)CBO}$	30	—	—	V
Emitter-Basis-Durchbruchspannung $I_E = 10\text{ }\mu\text{A}$	$V_{(BR)EBO}$	3	—	—	V
Kollektor-Basis-Reststrom $V_{CB} = 20\text{ V}$	$I_{CBO}$	—	—	100	nA
Stromverstärkung, $V_{CE} = 10\text{ V}$ $I_C = 5\text{ mA}$ 20 mA	$h_{FE}$	35	95	—	—
		40	100	250	—
Kollektor-Emitter-Sättigungsspannung $I_C = 20\text{ mA}, I_B = 2\text{ mA}$	$V_{CEsat}$	—	0,15	0,5	V
Basis-Emitter-Sättigungsspannung $I_C = 20\text{ mA}, I_B = 2\text{ mA}$	$V_{BEsat}$	—	—	0,95	V

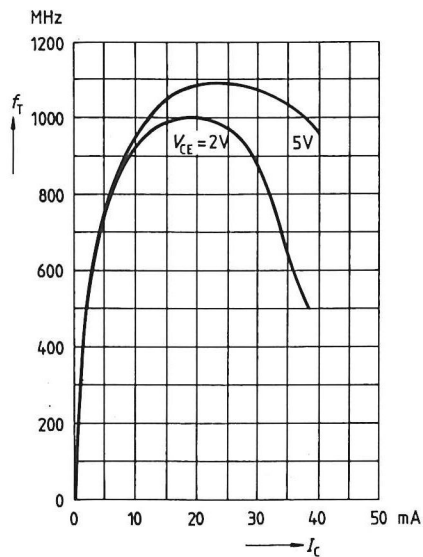
## Wechselstromdaten

Transitfrequenz $I_C = 5\text{ mA}, V_{CE} = 10\text{ V}, f = 100\text{ MHz}$ 20 mA, 8 V, 100 MHz	$f_T$	—	800	—	MHz
		—	1100	—	MHz
Ausgangskapazität $V_{CB} = 10\text{ V}, f = 1\text{ MHz}, I_E = 0$	$C_{ob}$	—	0,96	—	pF
Kollektor-Basis-Kapazität $V_{CB} = 10\text{ V}, V_{BE} = 0\text{ V}, f = 1\text{ MHz}$	$C_{cb}$	—	0,7	—	pF
Kollektor-Emitter-Kapazität $V_{CE} = 10\text{ V}, V_{BE} = 0\text{ V}, f = 1\text{ MHz}$	$C_{ce}$	—	0,28	—	pF
Rauschzahl $I_C = 5\text{ mA}, V_{CE} = 10\text{ V}, f = 100\text{ MHz}$ $R_s = 50\text{ }\Omega$	$F$	—	3	—	dB
Ausgangsleitwert $I_C = 20\text{ mA}, V_{CE} = 10\text{ V}, f = 35\text{ MHz}$	$g_{22e}$	—	60	—	$\mu\text{S}$

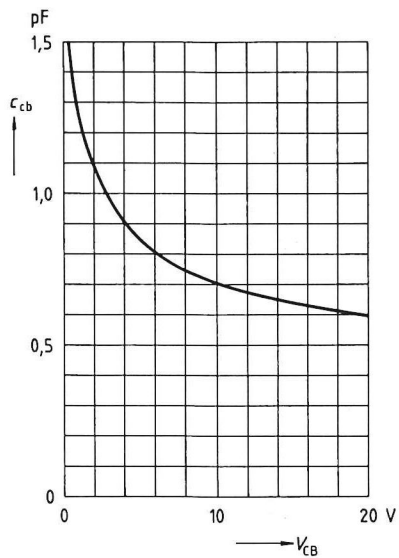
**Gesamtverlustleistung**  $P_{\text{tot}} = f(T_A)$



**Transitfrequenz**  $f_T = f(I_C)$   
 $f = 100 \text{ MHz}$

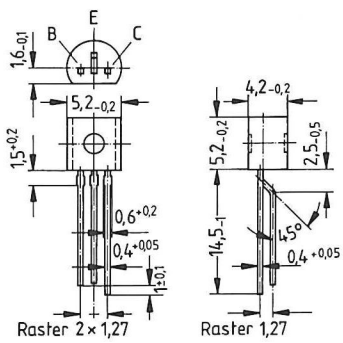


**Kollektor-Basis-Kapazität**  $c_{cb} = f(V_{CB})$   
 $f = 1 \text{ MHz}$



- Für den Einsatz als leistungsfähiger ZF-Verstärker in Verbindung mit Oberflächenwellenfiltern
- Für lineare Verstärkerstufen im VHF-Bereich mit hohen Signalpegeln
- Für Oszillatoranwendungen

TO 92



Typ	BF 959
Best.-Nr.	Q62702-F640

Grenzdaten

Kollektor-Emitter-Spannung  
Kollektor-Emitter-Sperrspannung  
Kollektor-Basis-Spannung  
Emitter-Basis-Spannung  
Kollektorspitzenstrom  
Basisspitzenstrom  
Gesamtverlustleistung  
( $T_A \leq 25^\circ\text{C}$ ,  $V_{CE} \leq 15\text{ V}$ )  
Sperrschichttemperatur  
Lagertemperatur

$V_{CEO}$	20	V
$V_{CES}$	30	V
$V_{CBO}$	30	V
$V_{EBO}$	3	V
$I_{CM}$	100	mA
$I_{BM}$	30	mA
$P_{tot}$	500	mW
$T_j$	150	$^\circ\text{C}$
$T_{stg}$	-55... +150	$^\circ\text{C}$

Wärmewiderstand

Sperrschicht-Umgebung	$R_{thJA}$	$\leq 250$	K/W
-----------------------	------------	------------	-----



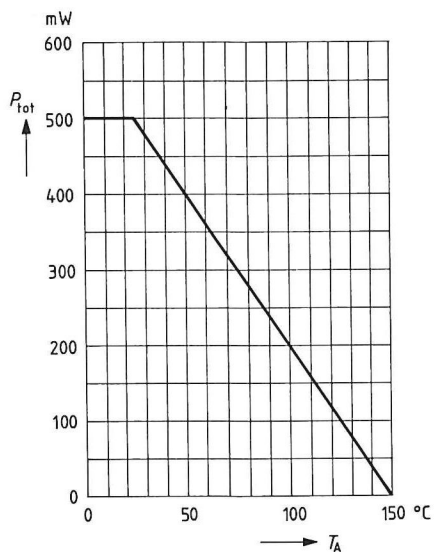
**Kenndaten** ( $T_A = 25^\circ\text{C}$ )**Gleichstromdaten**

		min	typ	max	
Kollektor-Emitter-Durchbruchspannung $I_C = 1\text{ mA}$	$V_{(BR)CEO}$	20	—	—	V
Kollektor-Basis-Durchbruchspannung $I_C = 10\text{ }\mu\text{A}$	$V_{(BR)CBO}$	30	—	—	V
Emitter-Basis-Durchbruchspannung $I_E = 10\text{ }\mu\text{A}$	$V_{(BR)EBO}$	3	—	—	V
Kollektor-Basis-Reststrom $V = 20\text{ V}$	$I_{CBO}$	—	—	100	nA
Stromverstärkung, $V_{CE} = 10\text{ V}$ $I_C = 5\text{ mA}$ 20 mA	$h_{FE}$	35	—	—	—
		40	85	—	—
Basis-Emitter-Durchlaßspannung $I_C = 20\text{ mA}$ , $V_{CE} = 10\text{ V}$	$V_{BE}$	—	0,75	—	V
Kollektor-Emitter-Sättigungsspannung $I_C = 30\text{ mA}$ , $I_B = 2\text{ mA}$	$V_{CEsat}$	—	—	1	V
Basis-Emitter-Sättigungsspannung $I_C = 30\text{ mA}$ , $I_B = 2\text{ mA}$	$V_{BEsat}$	—	—	0,95	V

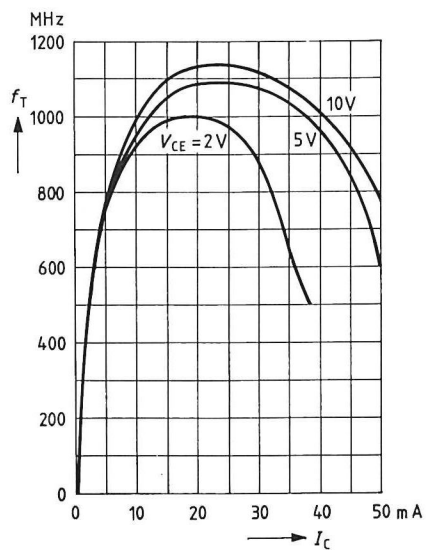
**Wechselstromdaten**

Transitfrequenz $I_C = 20\text{ mA}$ , $V_{CE} = 10\text{ V}$ , $f = 100\text{ MHz}$ 30 mA, 5 V	$f_T$	700 600	1100 —	— —	MHz MHz
Ausgangskapazität $V_{CB} = 10\text{ V}$ , $I_E = 0$ , $f = 1\text{ MHz}$	$C_{obo}$	—	0,9	—	pF
Kollektor-Basis-Kapazität $V_{CE} = 10\text{ V}$ , $V_{BE} = 0$ , $f = 1\text{ MHz}$	$C_{cb}$	—	0,75	—	pF
Rauschzahl $V_{CE} = 10\text{ V}$ , $f = 200\text{ MHz}$ , $R_S = 60\text{ }\Omega$ $I_C = 5\text{ mA}$ 20 mA	$F$	— —	3 4	— —	dB dB
Kurzschluß-Ausgangsleitwert $I_C = 20\text{ mA}$ , $V_{CE} = 10\text{ V}$ , $f = 35\text{ MHz}$	$g_{22e}$	—	0,06	—	mS

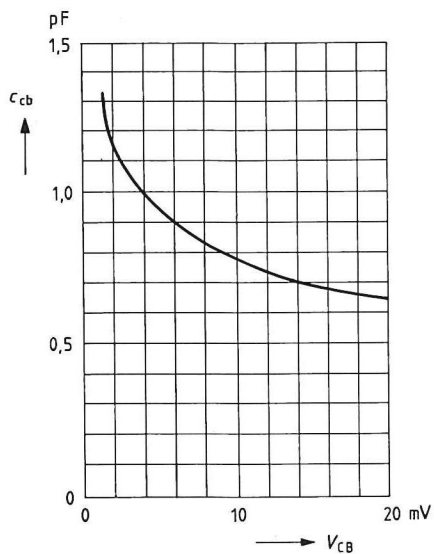
**Gesamtverlustleistung**  $P_{\text{tot}} = f(T_A)$



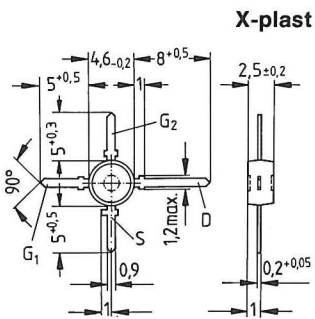
**Transitfrequenz**  $f_T = f(I_C)$   
 $f = 100 \text{ MHz}$



**Kollektor-Basis-Kapazität**  $c_{cb} = f(V_{CB})$   
 $f = 1 \text{ MHz}$



- Für Verstärker und Mischer bis 1 GHz in UHF- und VHF-TV-Tunern
- Kleine Eingangs- und Ausgangskapazitäten



Typ	BF 960
Best.-Nr.	Q62702-F499

Grenzdaten

Drain-Source-Spannung  
Drainstrom  
Gate 1/Gate 2-Source-Spitzenstrom  
Gesamtverlustleistung  
 $T_A \leq 60^\circ\text{C}$   
Lagertemperatur  
Kanaltemperatur

$V_{DS}$	20	V
$I_D$	30	mA
$\pm I_{G1/2SM}$	10	mA
$P_{tot}$	200	mW
$T_{stg}$	$-55 \dots +150$	$^\circ\text{C}$
$T_{Ch}$	150	$^\circ\text{C}$

Wärmewiderstand

Sperrschicht-Umgebung

$T_{thJA}$	$\leq 450$	K/W
------------	------------	-----

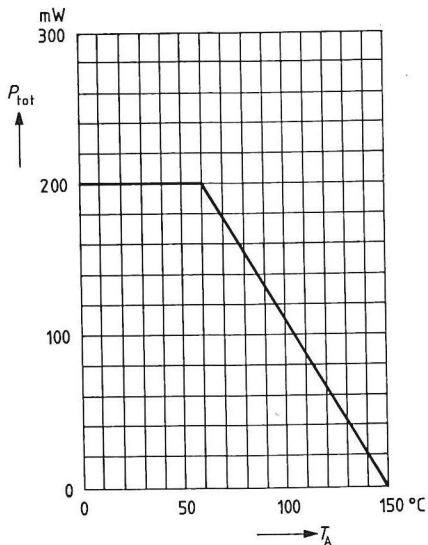
**Kenndaten** ( $T_A = 25^\circ\text{C}$ )

<b>Gleichstromdaten</b>		<b>min</b>	<b>typ</b>	<b>max</b>	
Drain-Source-Durchbruchspannung $I_D = 10\ \mu\text{A}$ , $-V_{G1S} = -V_{G2S} = 4\ \text{V}$	$V_{(BR)\ DS}$	20	—	—	V
Gate 1-Source-Durchbruchspannung $\pm I_{G1S} = 10\ \text{mA}$ , $V_{G2S} = V_{DS} = 0$	$\pm V_{(BR)\ G1SS}$	8,5	—	17	V
Gate 2-Source-Durchbruchspannung $\pm I_{G2S} = 10\ \text{mA}$ , $V_{G1S} = V_{DS} = 0$	$\pm V_{(BR)\ G2SS}$	8,5	—	17	V
Gate 1-Reststrom $\pm V_{G1S} = 5\ \text{V}$ , $V_{G2S} = V_{DS} = 0$	$\pm I_{G1SS}$	—	—	50	nA
Gate 2-Reststrom $\pm V_{G2S} = 5\ \text{V}$ , $V_{G1S} = V_{DS} = 0$	$\pm I_{G2SS}$	—	—	50	nA
Drainstrom $V_{DS} = 15\ \text{V}$ , $V_{G1S} = 0$ , $V_{G2S} = 4\ \text{V}$	$I_{DSS}$	2	—	20	mA
Gate 1-Source-Abschnürspannung $V_{DS} = 15\ \text{V}$ , $V_{G2S} = 4\ \text{V}$ , $I_D = 20\ \mu\text{A}$	$-V_{G1S\ (p)}$	—	—	2,7	V
Gate 2-Source-Abschnürspannung $V_{DS} = 15\ \text{V}$ , $V_{G1S} = 0$ , $I_D = 20\ \mu\text{A}$	$-V_{G2S\ (p)}$	—	—	2,7	V

**Kenndaten** ( $T_A = 25^\circ\text{C}$ )**Wechselstromdaten**

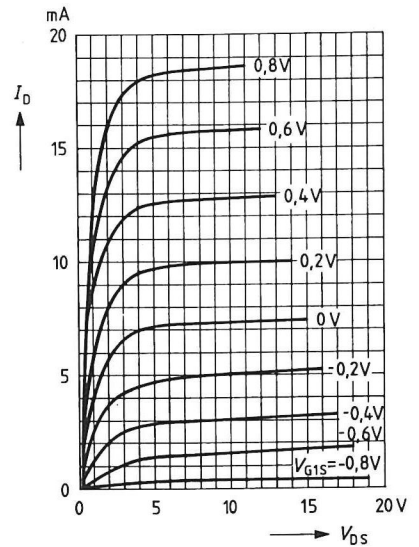
		min	typ	max	
Vorwärtssteilheit $V_{DS} = 15\text{ V}$ , $I_D = 7\text{ mA}$ , $V_{G2S} = 4\text{ V}$ , $f = 1\text{ kHz}$	$g_{fs}$	9,5	12	—	mS
Gate 1-Eingangskapazität $V_{DS} = 15\text{ V}$ , $I_D = 7\text{ mA}$ , $V_{G2S} = 4\text{ V}$ , $f = 1\text{ MHz}$	$C_{g1ss}$	—	1,8	—	pF
Gate 2-Eingangskapazität $V_{DS} = 15\text{ V}$ , $I_D = 7\text{ mA}$ , $V_{G2S} = 4\text{ V}$ , $f = 1\text{ MHz}$	$C_{g2ss}$	—	1	—	pF
Rückwirkungskapazität $V_{DS} = 15\text{ V}$ , $I_D = 7\text{ mA}$ , $V_{G2S} = 4\text{ V}$ , $f = 1\text{ MHz}$	$C_{dg1}$	—	25	—	fF
Ausgangskapazität $V_{DS} = 15\text{ V}$ , $I_D = 7\text{ mA}$ , $V_{G2S} = 4\text{ V}$ , $f = 1\text{ MHz}$	$C_{dss}$	—	0,8	—	pF
Leistungsverstärkung $V_{DS} = 15\text{ V}$ , $I_D = 7\text{ mA}$ , $f = 200\text{ MHz}$ , $G_G = 2\text{ mS}$ , $G_L = 0,5\text{ mS}$ (Meßschaltung 1)	$G_{ps}$	—	23	—	dB
$f = 800\text{ MHz}$ , $G_G = 3,3\text{ mS}$ , $G_L = 1\text{ mS}$ (Meßschaltung 2)		—	16,5	—	dB
Rauschzahl $V_{DS} = 15\text{ V}$ , $I_D = 7\text{ mA}$ , $f = 200\text{ MHz}$ , $G_G = 2\text{ mS}$ , $G_L = 0,5\text{ mS}$ (Meßschaltung 1)	$F$	—	1,6	—	dB
$f = 800\text{ MHz}$ , $G_G = 3,3\text{ mS}$ , $G_L = 1\text{ mS}$ (Meßschaltung 2)		—	2,8	—	dB
Regelumfang $V_{DS} = 15\text{ V}$ , $V_{G2S} = 4 \dots -2\text{ V}$ , $f = 800\text{ MHz}$	$\Delta G_{ps}$	40	—	—	dB
Mischverstärkung $V_{DS} = 15\text{ V}$ , $V_{G2S} = 4\text{ V}$ , $f = 800\text{ MHz}$ , $f_{IF} = 36\text{ MHz}$ , $2 \Delta f_{IF} = 5\text{ MHz}$ , $V_{osc} = 800\text{ mV}$ (Meßschaltung 3)	$G_{psc}$	—	16	—	dB

**Gesamtverlustleistung**  $P_{\text{tot}} = f(T_A)$



**Ausgangskennlinienfeld**  $I_D = f(V_{\text{DS}})$

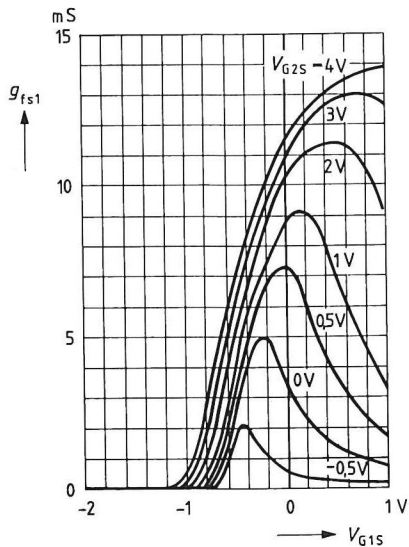
$V_{\text{G2S}} = 4 \text{ V}$



**Gate 1-Steilheit**  $g_{\text{fs1}} = f(V_{\text{G1S}})$

$V_{\text{DS}} = 15 \text{ V}$

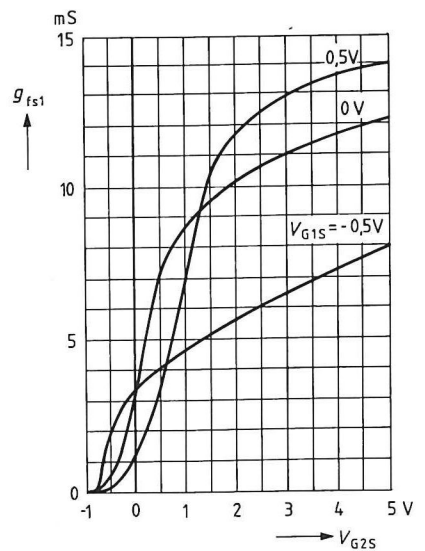
$I_{\text{DSS}} = 7 \text{ mA}$ ,  $f = 1 \text{ kHz}$



**Gate 1-Steilheit**  $g_{\text{fs1}} = f(V_{\text{G2S}})$

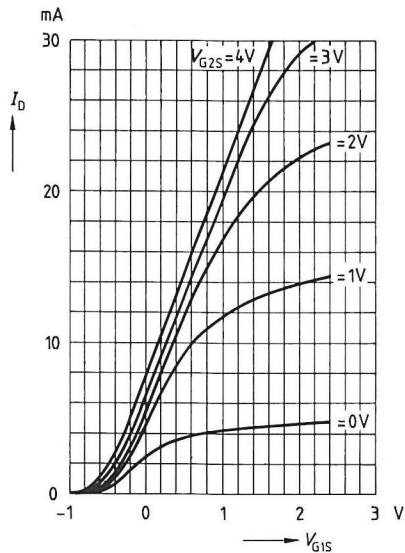
$V_{\text{DS}} = 15 \text{ V}$

$I_{\text{DSS}} = 7 \text{ mA}$ ,  $f = 1 \text{ kHz}$



**Drainstrom**  $I_D = f(V_{G1S})$

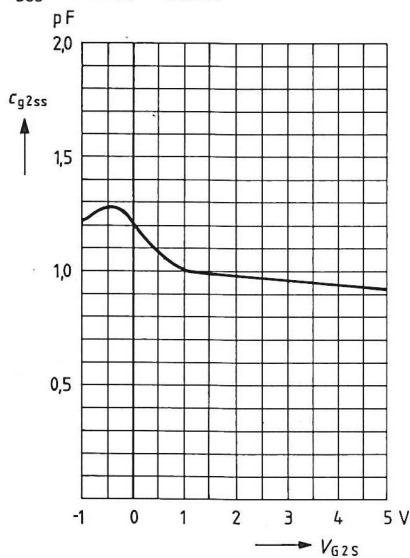
$V_{DS} = 15 \text{ V}$



**Gate 2-Eingangskapazität**  $c_{g2ss} = f(V_{G2S})$

$V_{G1S} = 0 \text{ V}, V_{DS} = 15 \text{ V}$

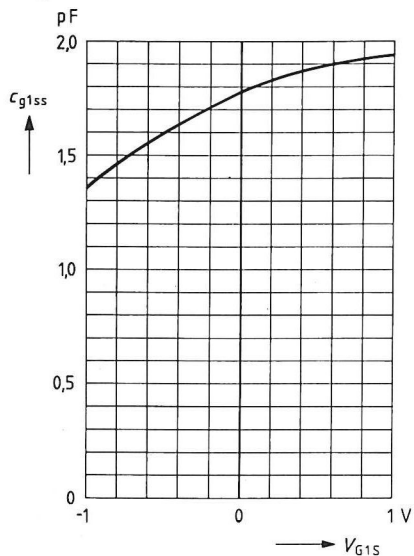
$I_{DSS} = 7 \text{ mA}, f = 1 \text{ MHz}$



**Gate 1-Eingangskapazität**  $c_{g1ss} = f(V_{G1S})$

$V_{G2S} = 4 \text{ V}, V_{DS} = 15 \text{ V}$

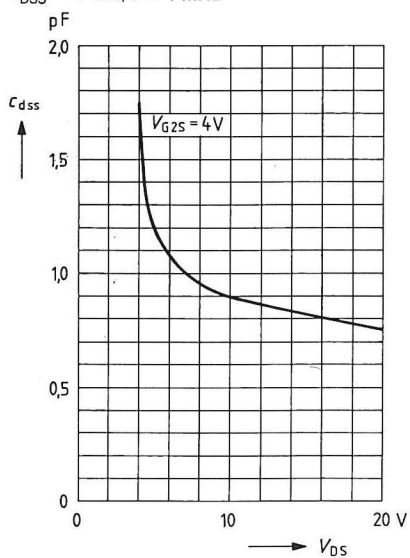
$I_{DSS} = 7 \text{ mA}, f = 1 \text{ MHz}$



**Ausgangskapazität**  $c_{dss} = f(V_{DS})$

$V_{G1S} = 0 \text{ V}, V_{G2S} = 4 \text{ V}$

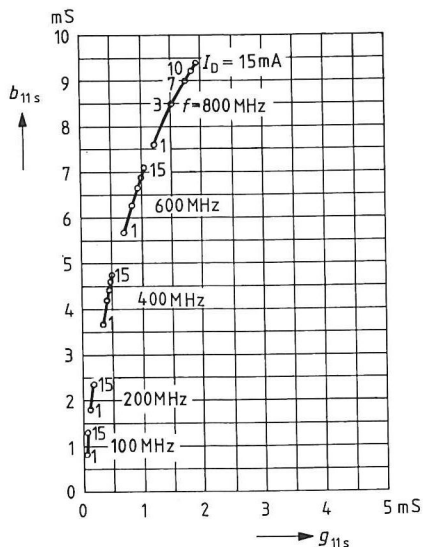
$I_{DSS} = 7 \text{ mA}, f = 1 \text{ MHz}$



### Gate 1-Eingangsleitwert $y_{11s}$

$V_{DS} = 15 \text{ V}$ ,  $V_{G2S} = 4 \text{ V}$

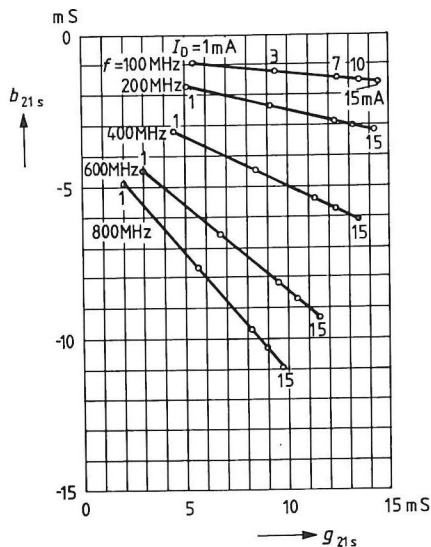
(Sourceschaltung)



### Gate 1-Steilheit $y_{21s}$

$V_{DS} = 15 \text{ V}$ ,  $V_{G2S} = 4 \text{ V}$

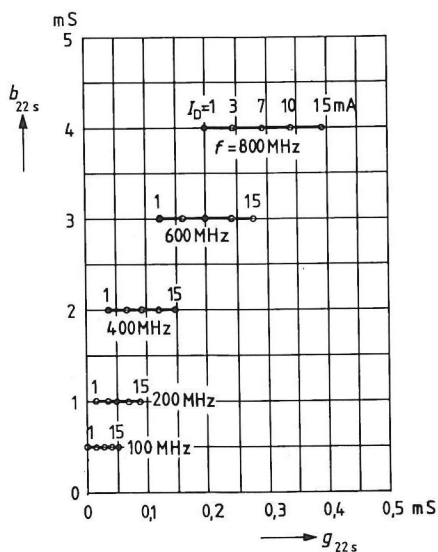
(Sourceschaltung)



### Ausgangsleitwert $y_{22s}$

$V_{DS} = 15 \text{ V}$ ,  $V_{G2S} = 4 \text{ V}$

(Sourceschaltung)

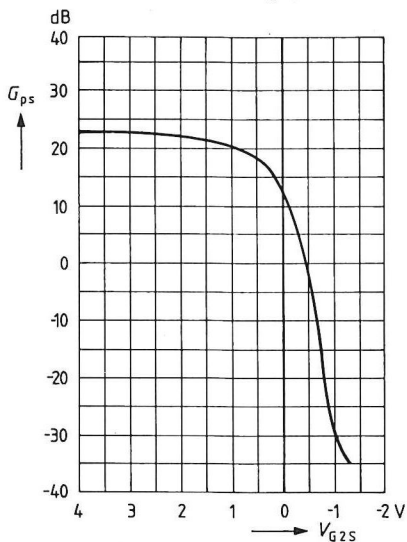




**Leistungsverstärkung  $G_{ps} = f(V_{G2S})$**

$V_{DS} = 15 \text{ V}$ ,  $V_{G1S} = 0$ ,  $I_{DSS} = 7 \text{ mA}$

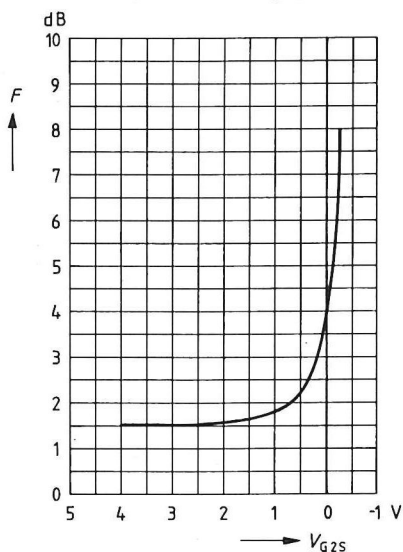
$f = 200 \text{ MHz}$  (s. Meßschaltung 1)



**Rauschmaß  $F = f(V_{G2S})$**

$V_{DS} = 15 \text{ V}$ ,  $V_{G1S} = 0$ ,  $I_{DSS} = 7 \text{ mA}$

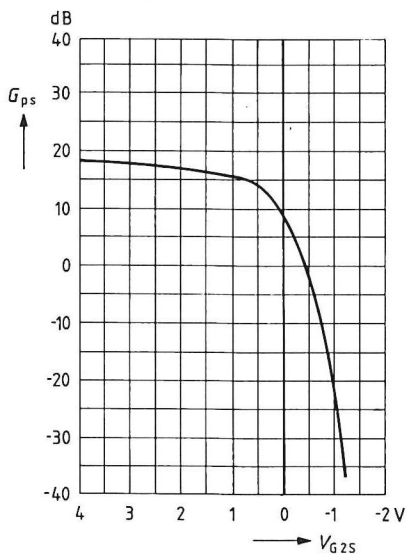
$f = 200 \text{ MHz}$  (s. Meßschaltung 1)



**Leistungsverstärkung  $G_{ps} = f(V_{G2S})$**

$V_{DS} = 15 \text{ V}$ ,  $V_{G1S} = 0$ ,  $I_{DSS} = 7 \text{ mA}$

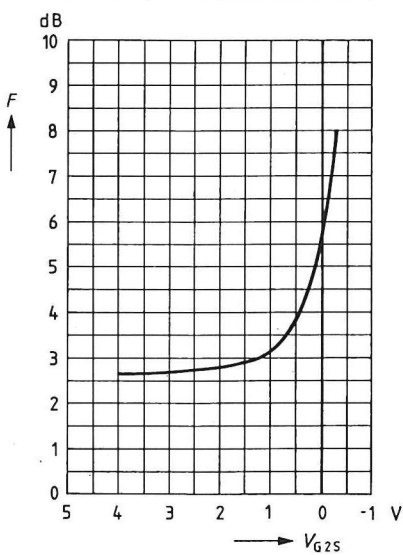
$f = 800 \text{ MHz}$ ,  $R_S = 0$  (s. Meßschaltung 2)



**Rauschmaß  $F = f(V_{G2S})$**

$V_{DS} = 15 \text{ V}$ ,  $V_{G1S} = 0$ ,  $I_{DSS} = 7 \text{ mA}$

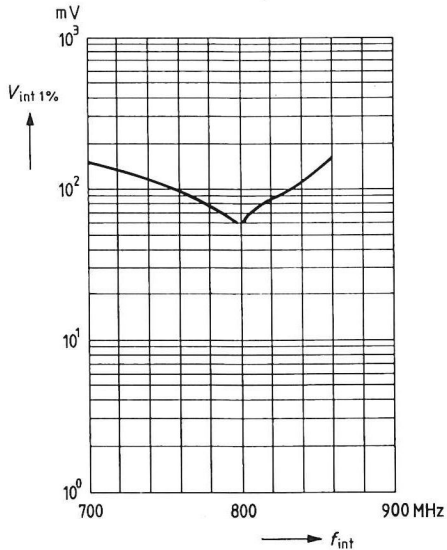
$f = 800 \text{ MHz}$ ,  $R_S = 0$  (s. Meßschaltung 2)



**1%-KM-Störspannung**  $V_{\text{int}(1\%)} = f(f_{\text{int}})^{11})$

$V_{\text{DS}} = 15 \text{ V}$ ,  $V_{\text{G2S}} = 4 \text{ V}$ ,  $V_{\text{G1S}} = 1 \text{ V}$

$f = 800 \text{ MHz}$  (s. Meßschaltung 2)

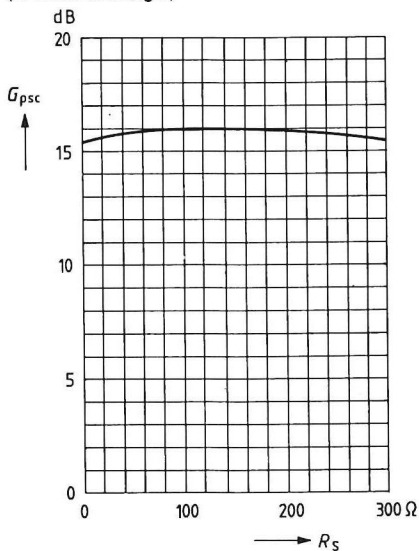


**Mischverstärkung**  $G_{\text{psc}} = f(R_{\text{S}})$

$f = 800 \text{ MHz}$ ,  $f_{\text{osc}} = 836 \text{ MHz}$ ,  $V_{\text{osc}} = 800 \text{ mV}$

$V_{\text{DS}} = 15 \text{ V}$ ,  $V_{\text{G2S}} = 4 \text{ V}$ ,  $I_{\text{DSS}} = 7 \text{ mA}$

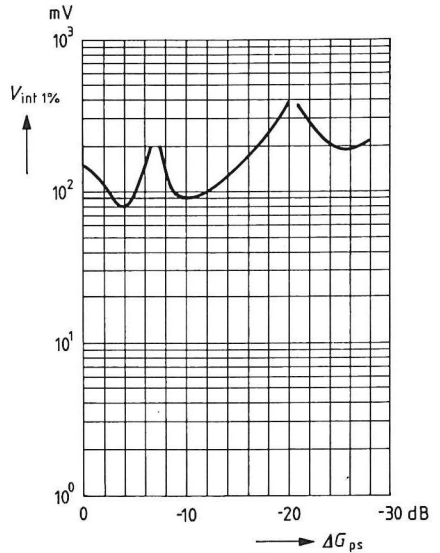
(s. Meßschaltung 3)



**1%-KM-Störspannung**  $V_{\text{int}(1\%)} = f(\Delta G_{\text{ps}})^{11})$

$V_{\text{DS}} = 15 \text{ V}$ ,  $V_{\text{G1S}} = 1 \text{ V}$ ,  $f = 800 \text{ MHz}$

$f_{\text{int}} = 700 \text{ MHz}$  (s. Meßschaltung 2)

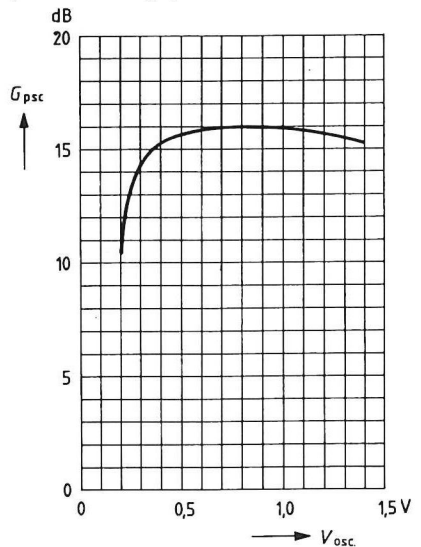


**Mischverstärkung**  $G_{\text{psc}} = f(V_{\text{osc}})$

$f = 800 \text{ MHz}$ ,  $f_{\text{osc}} = 836 \text{ MHz}$ ,  $R_{\text{S}} = 150 \Omega$

$V_{\text{DS}} = 15 \text{ V}$ ,  $V_{\text{G2S}} = 4 \text{ V}$ ,  $I_{\text{DSS}} = 7 \text{ mA}$

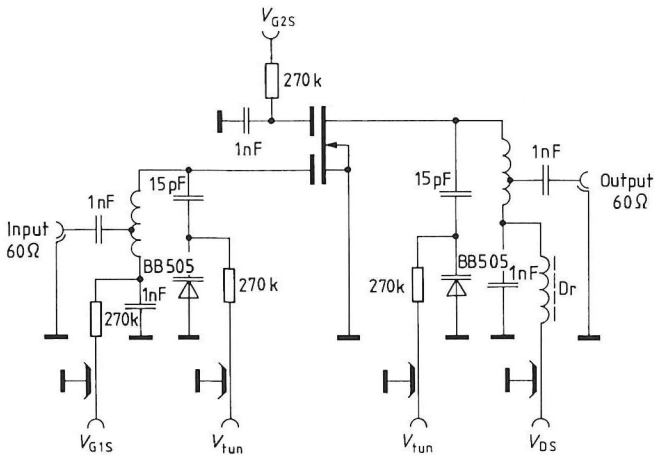
(s. Meßschaltung 3)



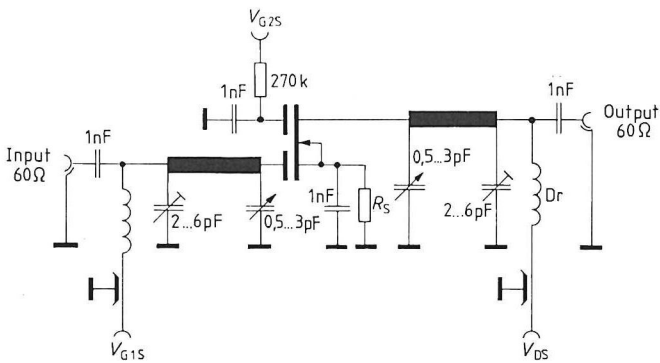
<sup>11)</sup> Fußnote s. Seite 151

**Meßschaltung 1 für Leistungsverstärkung und Rauschen**

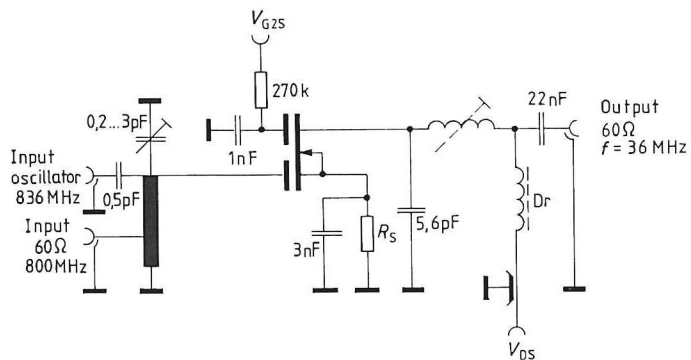
$f = 200 \text{ MHz}$ ,  $G_G = 2 \text{ mS}$ ,  $G_L = 0,5 \text{ mS}$

**Meßschaltung 2 für Leistungsverstärkung, Rauschen und Kreuzmodulation**

$f = 800 \text{ MHz}$ ,  $G_G = 3,3 \text{ mS}$ ,  $G_L = 1,0 \text{ mS}$

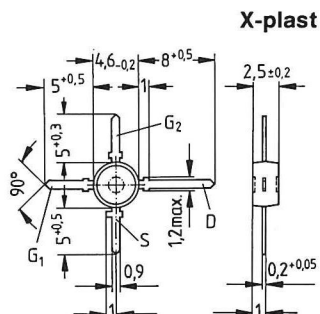


## Meßschaltung 3 für Mischverstärkung

 $f = 800/36 \text{ MHz}$ 

<sup>1)</sup>  $V_{Int} (1\%)$  ist der Effektivwert der halben EMK (Klemmenspannung bei Anpassung) eines 100% sinusmodulierten Fernsehträgers bei einem Generator-Innenwiderstand von 60 Ω, der auf dem Nutzträger 1% Amplituden-Modulation verursacht.

- Für Vor- und Mischstufen in UKW- und VHF-TV-Tunern



Typ	BF 961
Best.-Nr.	Q62702-F518

## Grenzdaten

Drain-Source-Spannung	$V_{DS}$	20	V
Drainstrom	$I_D$	30	mA
Gate 1/Gate 2-Source-Spitzenstrom	$\pm I_{G1/2SM}$	10	mA
Gesamtverlustleistung	$P_{tot}$	200	mW
$T_A \leq 60^\circ\text{C}$			
Lagertemperatur	$T_{stg}$	-55... +150	$^\circ\text{C}$
Kanaltemperatur	$T_{ch}$	150	$^\circ\text{C}$

## Wärmewiderstand

Sperrschicht-Umgebung	$R_{thJA}$	$\leq 450$	K/W
-----------------------	------------	------------	-----

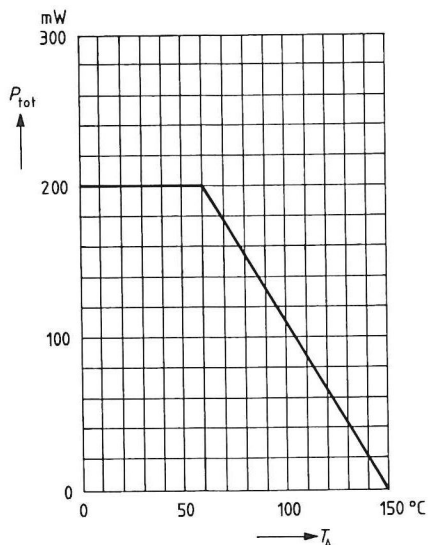
**Kenndaten** ( $T_A = 25^\circ\text{C}$ )

<b>Gleichstromdaten</b>		<b>min</b>	<b>typ</b>	<b>max</b>	
Drain-Source-Durchbruchspannung $I_D = 10\ \mu\text{A}$ , $-V_{G1S} = -V_{G2S} = 4\ \text{V}$	$V_{(BR)\ DS}$	20	—	—	V
Gate 1-Source-Durchbruchspannung $\pm I_{G1S} = 10\ \text{mA}$ , $V_{G2S} = V_{DS} = 0$	$\pm V_{(BR)\ G1SS}$	8,5	—	17	V
Gate 2-Source-Durchbruchspannung $\pm I_{G2S} = 10\ \text{mA}$ , $V_{G1S} = V_{DS} = 0$	$\pm V_{(BR)\ G2SS}$	8,5	—	17	V
Gate 1-Reststrom $\pm V_{G1S} = 5\ \text{V}$ , $V_{G2S} = V_{DS} = 0$	$\pm I_{G1SS}$	—	—	50	nA
Gate 2-Reststrom $\pm V_{G2S} = 5\ \text{V}$ , $V_{G1S} = V_{DS} = 0$	$\pm I_{G2SS}$	—	—	50	nA
Drainstrom $V_{DS} = 15\ \text{V}$ , $V_{G1S} = 0$ , $V_{G2S} = 4\ \text{V}$	$I_{DSS}$	4	—	20	mA
Gate 1-Source-Abschnürspannung $V_{DS} = 15\ \text{V}$ , $V_{G2S} = 4\ \text{V}$ , $I_D = 20\ \mu\text{A}$	$-V_{G1S\ (p)}$	—	—	3,5	V
Gate 2-Source-Abschnürspannung $V_{DS} = 15\ \text{V}$ , $V_{G1S} = 0$ , $I_D = 20\ \mu\text{A}$	$-V_{G2S\ (p)}$	—	—	3,5	V

**Kenndaten** ( $T_A = 25^\circ\text{C}$ )

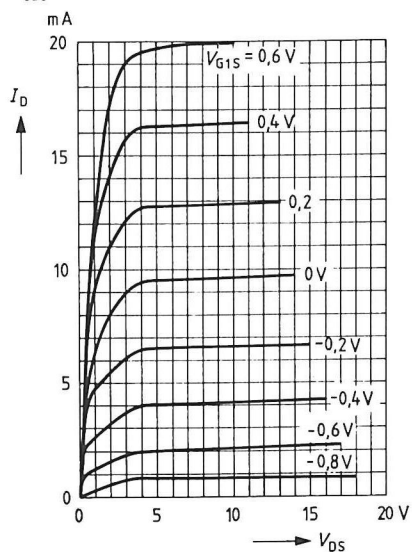
<b>Wechselstromdaten</b>		<b>min</b>	<b>typ</b>	<b>max</b>	
Vorwärtssteilheit $V_{DS} = 15\text{ V}$ , $I_D = 10\text{ mA}$ , $V_{G2S} = 4\text{ V}$ , $f = 1\text{ kHz}$	$g_{fs}$	12	17	—	mS
Gate 1-Eingangskapazität $V_{DS} = 15\text{ V}$ , $I_D = 10\text{ mA}$ , $V_{G2S} = 4\text{ V}$ , $f = 1\text{ MHz}$	$C_{g1ss}$	—	3,6	—	pF
Gate 2-Eingangskapazität $V_{DS} = 15\text{ V}$ , $I_D = 10\text{ mA}$ , $V_{G2S} = 4\text{ V}$ , $f = 1\text{ MHz}$	$C_{g2ss}$	—	1,6	—	pF
Rückwirkungskapazität $V_{DS} = 15\text{ V}$ , $I_D = 10\text{ mA}$ , $V_{G2S} = 4\text{ V}$ , $f = 1\text{ MHz}$	$C_{dg1}$	—	25	—	fF
Ausgangskapazität $V_{DS} = 15\text{ V}$ , $I_D = 10\text{ mA}$ , $V_{G2S} = 4\text{ V}$ , $f = 1\text{ MHz}$	$C_{dss}$	—	1,6	—	pF
Leistungsverstärkung $V_{DS} = 15\text{ V}$ , $I_D = 10\text{ mA}$ $f = 200\text{ MHz}$ , $G_G = 2\text{ mS}$ , $G_L = 0,5\text{ mS}$ $2\Delta f = 12\text{ MHz}$ (Meßschaltung 1)	$G_{ps}$	—	23	—	dB
Rauschzahl $V_{DS} = 15\text{ V}$ , $I_D = 10\text{ mA}$ $f = 200\text{ MHz}$ , $G_G = 2\text{ mS}$ , $G_L = 0,5\text{ mS}$ (Meßschaltung 1)	$F$	—	1,8	—	dB
Regelumfang $V_{DS} = 15\text{ V}$ , $V_{G2S} = 4 \dots -2\text{ V}$ , $f = 200\text{ MHz}$ (Meßschaltung 1)	$\Delta G_{ps}$	—	50	—	dB
Mischverstärkung (additiv) $V_{DS} = 15\text{ V}$ , $V_{G2S} = 6\text{ V}$ , $R_S = 220\ \Omega$ $f = 200\text{ MHz}$ , $f_{IF} = 36\text{ MHz}$ $2\Delta f_{IF} = 5\text{ MHz}$ , $V_{osc} = 0,5\text{ V}$ (Meßschaltung 2)	$G_{psc}$	—	16	—	dB
Mischverstärkung (multiplikativ) $V_{DS} = 15\text{ V}$ , $V_{G1S} = 1,7\text{ V}$ , $V_{G2S} = 2,5\text{ V}$ $R_S = 220\ \Omega$ , $f = 200\text{ MHz}$ , $f_{IF} = 36\text{ MHz}$ $2\Delta f_{IF} = 5\text{ MHz}$ , $V_{osc} = 2\text{ V}$ (Meßschaltung 3)	$G_{psc}$	—	18	—	dB

**Gesamtverlustleistung  $P_{\text{tot}} = f(T_A)$**



**Ausgangskennlinienfeld  $I_D = f(V_{\text{DS}})$**

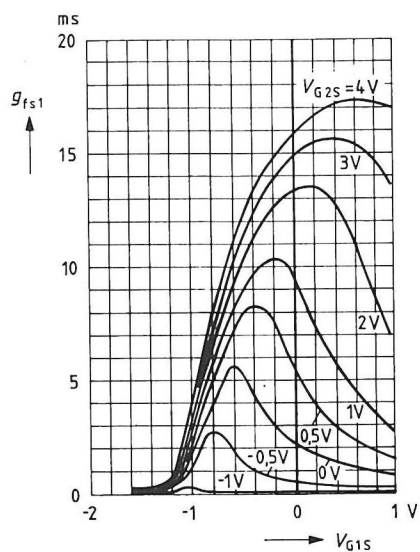
$V_{\text{GS}} = 4 \text{ V}$



**Gate 1-Steilheit  $g_{\text{fs1}} = f(V_{\text{GS1}})$**

$V_{\text{DS}} = 15 \text{ V}$

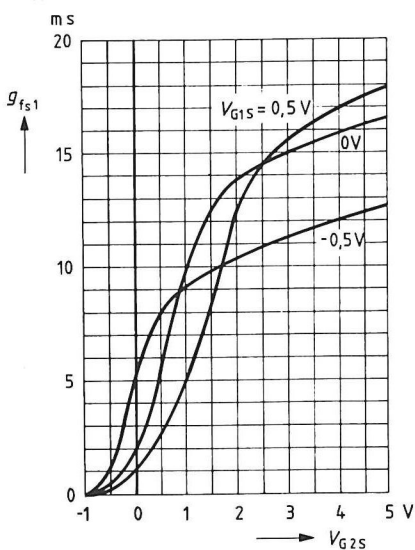
$I_{\text{DSS}} = 10 \text{ mA}$ ,  $f = 1 \text{ kHz}$



**Gate 1-Steilheit  $g_{\text{fs1}} = f(V_{\text{GS2}})$**

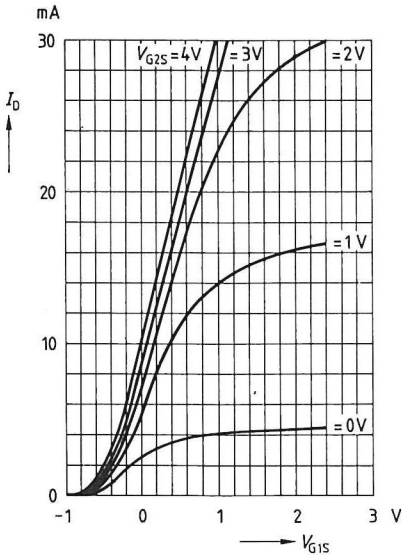
$V_{\text{DS}} = 15 \text{ V}$

$I_{\text{DSS}} = 10 \text{ mA}$ ,  $f = 1 \text{ kHz}$

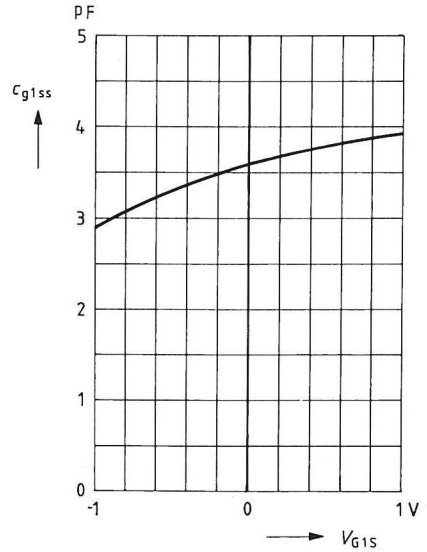




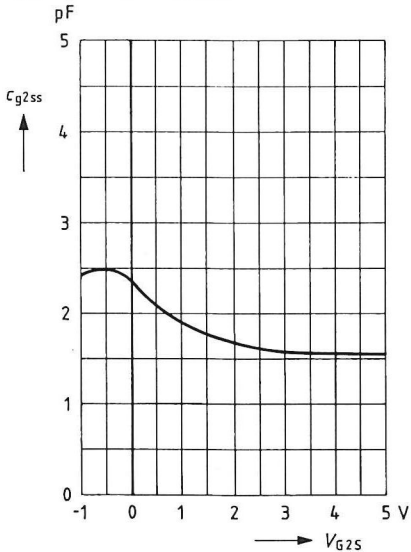
**Drainstrom**  $I_D = f(V_{G1S})$   
 $V_{DS} = 15 \text{ V}$



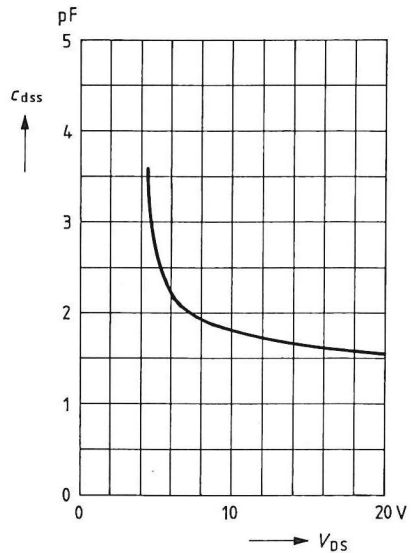
**Gate 1-Eingangskapazität**  $c_{g1ss} = f(V_{G1S})$   
 $V_{G2S} = 4 \text{ V}$ ,  $V_{DS} = 15 \text{ V}$   
 $I_{DSS} = 10 \text{ mA}$ ,  $f = 1 \text{ MHz}$



**Gate 2-Eingangskapazität**  $c_{g2ss} = f(V_{G2S})$   
 $V_{G1S} = 0 \text{ V}$ ,  $V_{DS} = 15 \text{ V}$   
 $I_{DSS} = 10 \text{ mA}$ ,  $f = 1 \text{ MHz}$

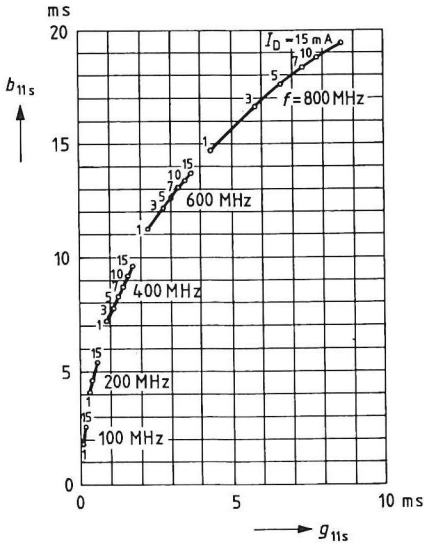


**Ausgangskapazität**  $c_{dss} = f(V_{DS})$   
 $V_{G1S} = 0 \text{ V}$ ,  $V_{G2S} = 4 \text{ V}$   
 $I_{DSS} = 10 \text{ mA}$ ,  $f = 1 \text{ MHz}$



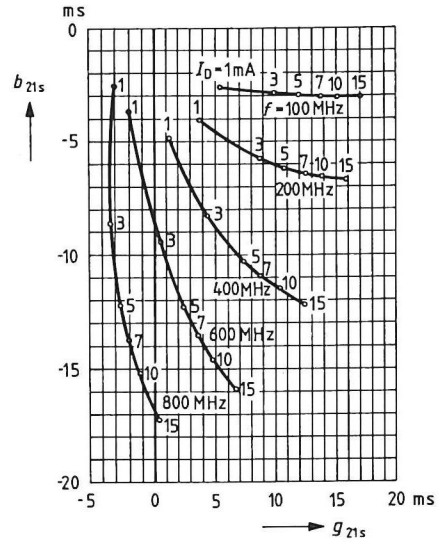
**Gate 1-Eingangsleitwert  $y_{11s}$**

$V_{DS} = 15 \text{ V}$ ,  $V_{G2S} = 4 \text{ V}$   
(Sourceschaltung)



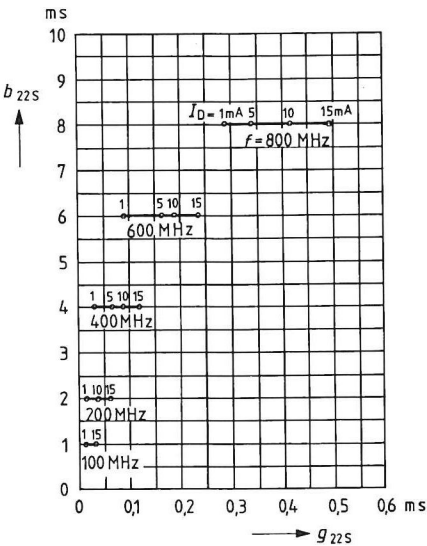
**Gate 1-Stellheit  $y_{21s}$**

$V_{DS} = 15 \text{ V}$ ,  $V_{G2S} = 4 \text{ V}$   
(Sourceschaltung)



**Ausgangsleitwert  $y_{22s}$**

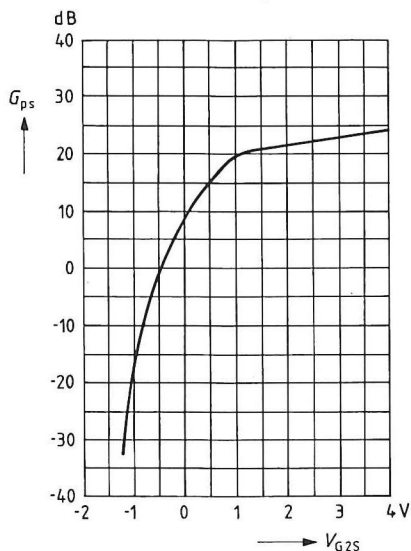
$V_{DS} = 15 \text{ V}$ ,  $V_{G2S} = 4 \text{ V}$   
(Sourceschaltung)



**Leistungsverstärkung**  $G_{ps} = f(V_{G2S})$

$V_{DS} = 15 \text{ V}$ ,  $V_{G1S} = 0 \text{ V}$ ,  $I_{DSS} = 10 \text{ mA}$

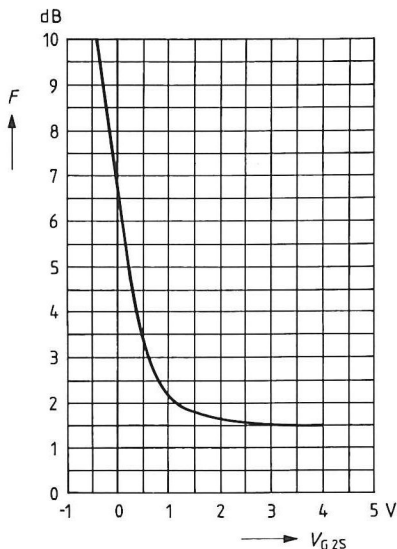
$f = 200 \text{ MHz}$  (s. Meßschaltung 1)



**Rauschzahl**  $F = f(V_{G2S})$

$V_{DS} = 15 \text{ V}$ ,  $V_{G1S} = 0 \text{ V}$ ,  $I_{DSS} = 10 \text{ mA}$

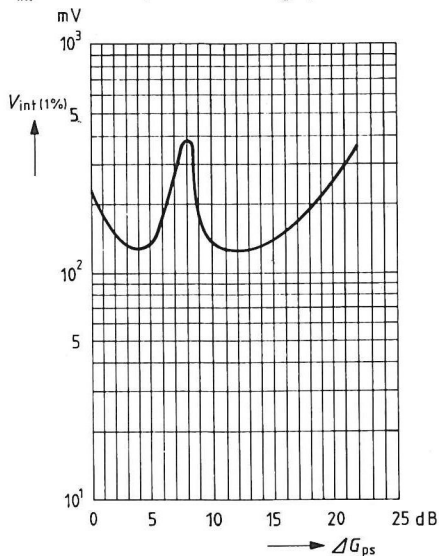
$f = 200 \text{ MHz}$  (s. Meßschaltung 1)



**1%-KM-Störspannung**  $V_{int(1\%)} = f(\Delta G_{psc})^{11)}$

$V_{DS} = 15 \text{ V}$ ,  $V_{G1S} = 0$ ,  $f = 200 \text{ MHz}$

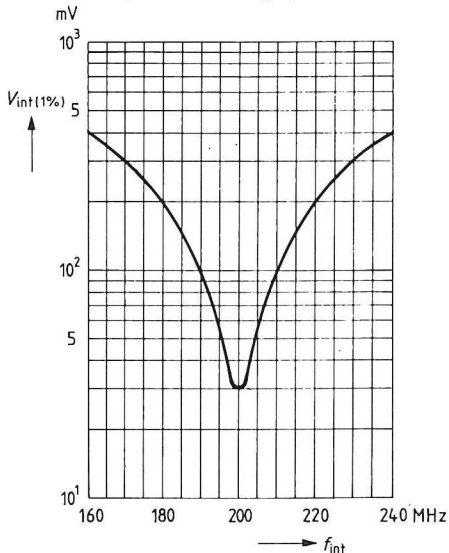
$f_{int} = 221 \text{ MHz}$  (s. Meßschaltung 1)



**1%-KM-Störspannung**  $V_{int(1\%)} = f(f_{int})^{11)}$

$V_{DS} = 15 \text{ V}$ ,  $V_{G2S} = 4 \text{ V}$ ,  $V_{G1S} = 0$

$f = 200 \text{ MHz}$  (s. Meßschaltung 1)



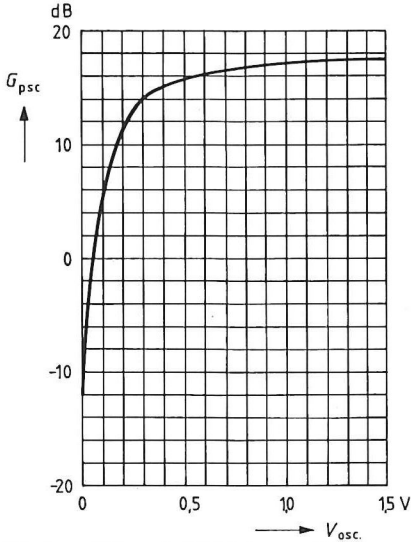
<sup>11)</sup> Fußnote s. Seite 161

**Mischverstärkung (additiv)  $G_{psc} = f(V_{osc})$**

$V_D = 15 \text{ V}$ ,  $V_{G1S} = 0$ ,  $V_{G2S} = 6 \text{ V}$

$R_S = 220 \Omega$ ,  $I_{DSS} = 10 \text{ mA}$ ,  $f = 200 \text{ MHz}$

$f_{IF} = 36 \text{ MHz}$  (s. Meßschaltung 2)

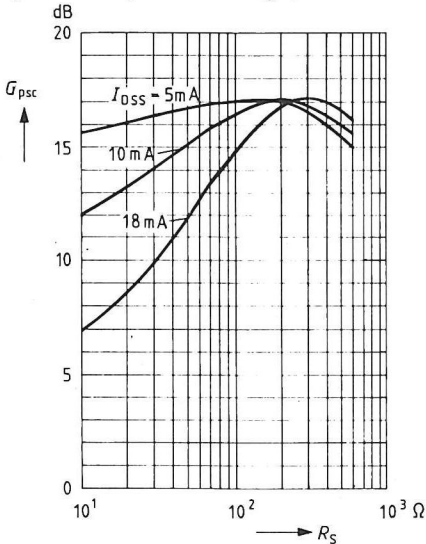


**Mischverstärkung (additiv)  $G_{psc} = f(R_S)$**

$V_D = 15 \text{ V}$ ,  $V_{G1S} = 0$ ,  $V_{G2S} = 6 \text{ V}$

$V_{osc} = 0.5 \text{ V}$ ,  $f = 200 \text{ MHz}$

$f_{IF} = 36 \text{ MHz}$  (s. Meßschaltung 2)

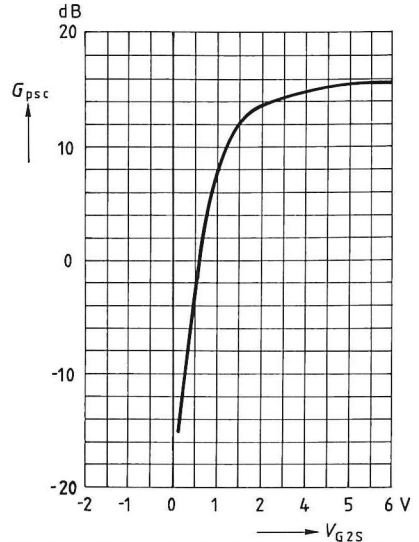


**Mischverstärkung (additiv)  $G_{psc} = f(V_{G2S})$**

$V_D = 15 \text{ V}$ ,  $V_{G1S} = 0$ ,  $R_S = 220 \Omega$

$V_{osc} = 0.5 \text{ V}$ ,  $I_{DSS} = 10 \text{ mA}$ ,  $f = 200 \text{ MHz}$

$f_{IF} = 36 \text{ MHz}$  (s. Meßschaltung 2)

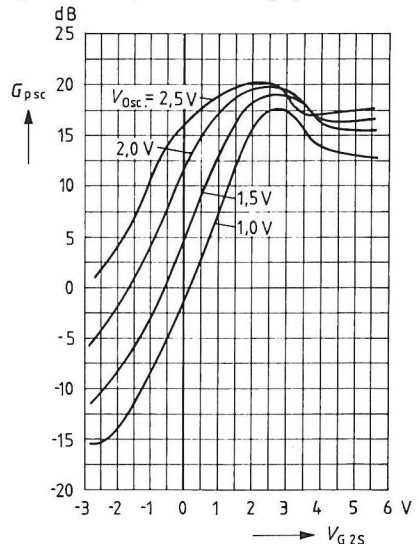


**Mischverstärkung (multiplikativ)  $G_{psc} = f(V_{G2S})$**

$V_D = 15 \text{ V}$ ,  $V_{G1S} = 1.7 \text{ V}$ ,  $R_S = 200 \Omega$

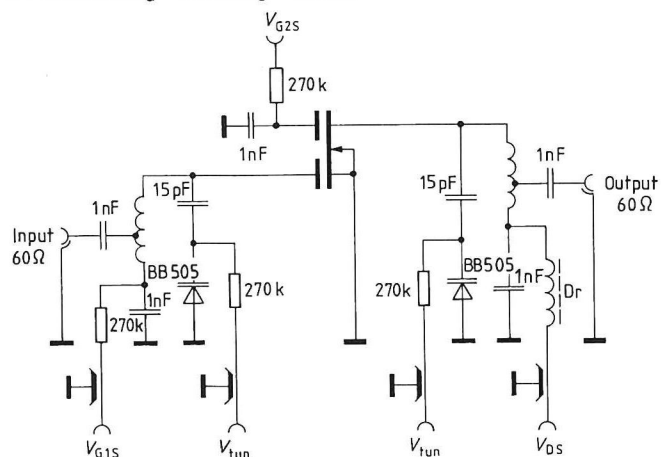
$I_{DSS} = 10 \text{ mA}$ ,  $f = 200 \text{ MHz}$

$f_{IF} = 36 \text{ MHz}$  (s. Meßschaltung 3)

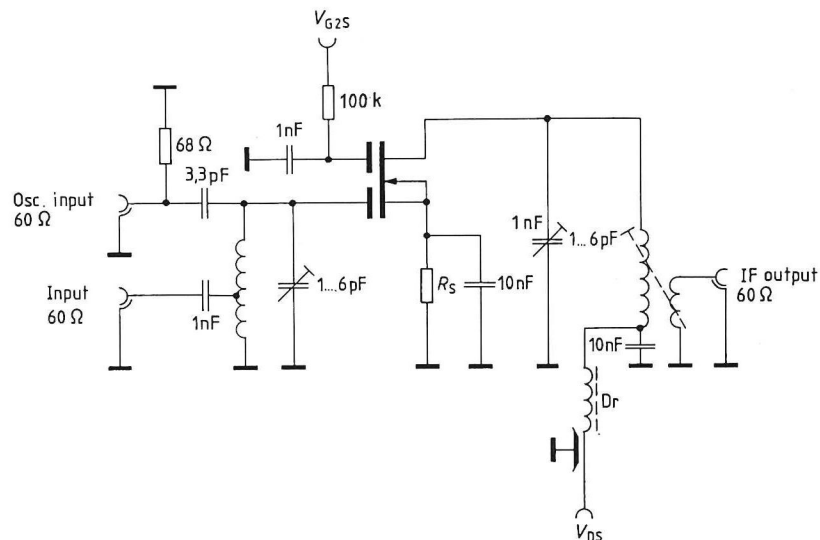


**Meßschaltung 1 für Leistungsverstärkung, Rauschen und Kreuzmodulation**

$f = 200 \text{ MHz}$ ,  $G_G = 2 \text{ mS}$ ,  $G_L = 0,5 \text{ mS}$

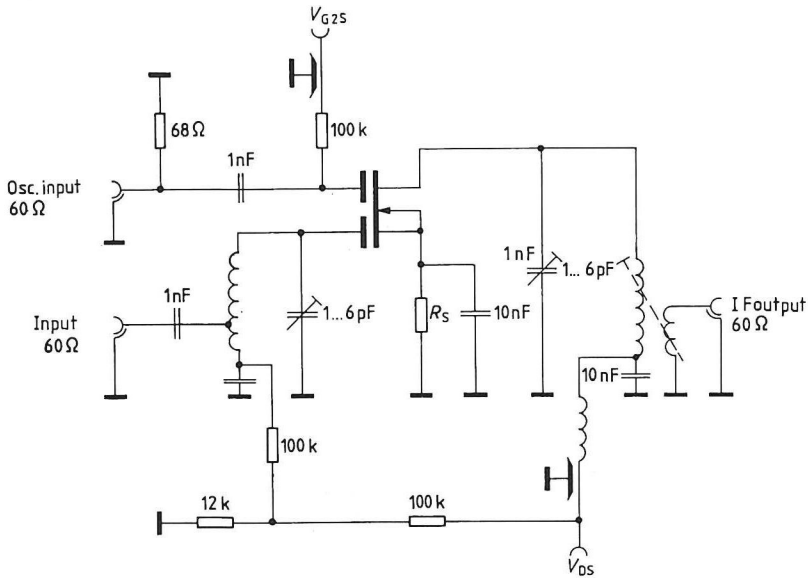
**Meßschaltung 2 für Mischverstärkung (additiv)**

$f = 200 \text{ MHz}$ ,  $f_{\text{osc}} = 236 \text{ MHz}$ ,  $2 \Delta f_{\text{IF}} = 5 \text{ MHz}$



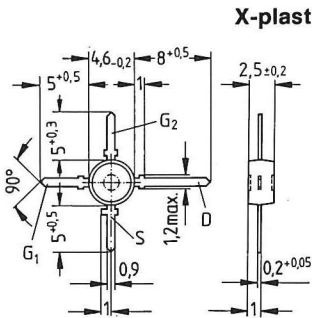
**Meßschaltung 3 für Mischverstärkung (multiplikativ)**

$f = 200 \text{ MHz}$ ,  $f_{\text{osc}} = 236 \text{ MHz}$ ,  $2 \Delta f_{\text{IF}} = 5 \text{ MHz}$



<sup>1)</sup>  $V_{\text{int}(1\%)}$  ist der Effektivwert der halben EMK (Klemmenspannung bei Anpassung) eines 100% sinusmodulierten Fernsehträgers bei einem Generator-Innenwiderstand von  $60 \Omega$ , der auf dem Nutzträger 1% Amplituden-Modulation verursacht.

- Für Vor- und Mischstufen in UKW- und VHF-TV-Tunern
- Hohe Aussteuerfähigkeit
- Hohe Steilheit



Typ	BF 963
Best.-Nr.	Q62702-F904

**Grenzdaten**

Drain-Source-Spannung  
Drainstrom  
Gate 1/Gate 2-Source-Spitzenstrom  
Gesamtverlustleistung  
 $T_A \leq 60^\circ\text{C}$   
Lagertemperatur  
Kanaltemperatur

$V_{DS}$	20	V
$I_D$	50	mA
$\pm I_{G1/2SM}$	10	mA
$P_{tot}$	200	mW
$T_{stg}$	$-55 \dots +150$	$^\circ\text{C}$
$T_{Ch}$	150	$^\circ\text{C}$

**Wärmewiderstand**

Sperrschicht-Umgebung

$R_{thJA}$	$\leq 450$	K/W
------------	------------	-----

Kenndaten ( $T_A = 25^\circ\text{C}$ )

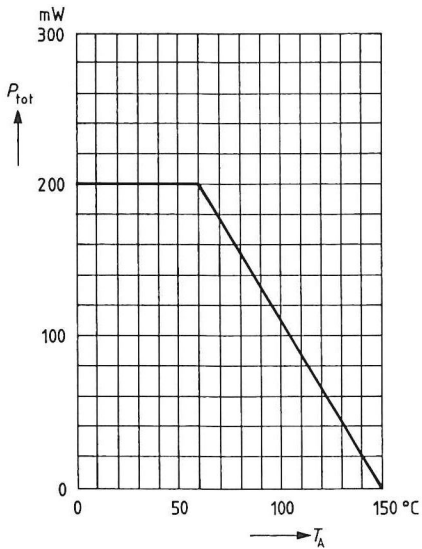
Gleichstromdaten		min	typ	max	
Drain-Source-Durchbruchspannung $I_D = 10\ \mu\text{A}$ , $-V_{G1S} = -V_{G2S} = 4\ \text{V}$	$V_{(BR)\ DS}$	20	—	—	V
Gate 1-Source-Durchbruchspannung $\pm I_{G1S} = 10\ \text{mA}$ , $V_{G2S} = V_{DS} = 0$	$\pm V_{(BR)\ G1SS}$	8,5	—	17	V
Gate 2-Source-Durchbruchspannung $\pm I_{G2S} = 10\ \text{mA}$ , $V_{G1S} = V_{DS} = 0$	$\pm V_{(BR)\ G2SS}$	8,5	—	17	V
Gate 1-Reststrom $\pm V_{G1S} = 5\ \text{V}$ , $V_{G2S} = V_{DS} = 0$	$\pm I_{G1SS}$	—	—	50	nA
Gate 2-Reststrom $\pm V_{G2S} = 5\ \text{V}$ , $V_{G1S} = V_{DS} = 0$	$\pm I_{G2SS}$	—	—	50	nA
Drainstrom $V_{DS} = 15\ \text{V}$ , $V_{G1S} = 0$ , $V_{G2S} = 4\ \text{V}$	$I_{DSS}$	6	—	40	mA
Gate 1-Source-Abschnürspannung $V_{DS} = 15\ \text{V}$ , $V_{G2S} = 4\ \text{V}$ , $I_D = 20\ \mu\text{A}$	$-V_{G1S\ (p)}$	—	—	3,5	V
Gate 2-Source-Abschnürspannung $V_{DS} = 15\ \text{V}$ , $V_{G1S} = 0$ , $I_D = 20\ \mu\text{A}$	$-V_{G2S\ (p)}$	—	—	3,0	V

## Wechselstromdaten

Vorwärtsteilheit $V_{DS} = 15\ \text{V}$ , $I_D = 10\ \text{mA}$ , $V_{G2S} = 4\ \text{V}$ , $f = 1\ \text{kHz}$	$g_{fs}$	16	25	—	mS
Gate 1-Eingangskapazität $V_{DS} = 15\ \text{V}$ , $I_D = 10\ \text{mA}$ , $V_{G2S} = 4\ \text{V}$ , $f = 1\ \text{MHz}$	$C_{g1ss}$	—	6	—	pF
Gate 2-Eingangskapazität $V_{DS} = 15\ \text{V}$ , $I_D = 10\ \text{mA}$ , $V_{G2S} = 4\ \text{V}$ , $f = 1\ \text{MHz}$	$C_{g2ss}$	—	2,5	—	pF
Rückwirkungskapazität $V_{DS} = 15\ \text{V}$ , $I_D = 10\ \text{mA}$ , $V_{G2S} = 4\ \text{V}$ , $f = 1\ \text{MHz}$	$C_{dg1}$	—	50	—	fF
Ausgangskapazität $V_{DS} = 15\ \text{V}$ , $I_D = 10\ \text{mA}$ , $V_{G2S} = 4\ \text{V}$ , $f = 1\ \text{MHz}$	$C_{dss}$	—	2,5	—	pF
Leistungsverstärkung $V_{DS} = 15\ \text{V}$ , $I_D = 10\ \text{mA}$ , $f = 200\ \text{MHz}$ , $G_G = 2\ \text{mS}$ , $G_L = 0,5\ \text{mS}$ $2\Delta f = 12\ \text{MHz}$ (Meßschaltung)	$G_{ps}$	—	25	—	dB
Rauschzahl $V_{DS} = 15\ \text{V}$ , $I_D = 10\ \text{mA}$ , $f = 200\ \text{MHz}$ , $G_G = 2\ \text{mS}$ , $G_L = 0,5\ \text{mS}$ (Meßschaltung)	$F$	—	1,5	—	dB

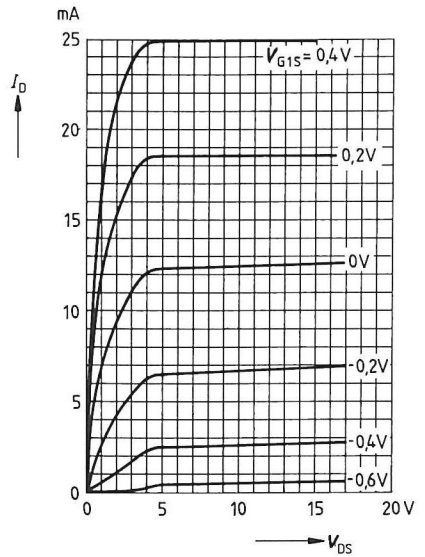


**Gesamtverlustleistung**  $P_{\text{tot}} = f(T_A)$



**Ausgangskennlinienfeld**  $I_D = f(V_{\text{DS}})$

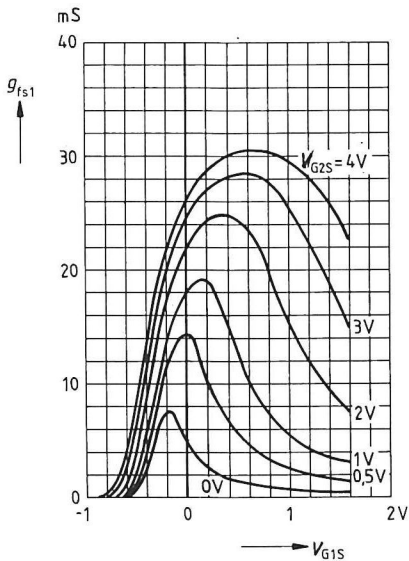
$V_{\text{GS}} = 4 \text{ V}$



**Gate 1-Steilheit**  $g_{\text{fs1}} = f(V_{\text{G1S}})$

$V_{\text{DS}} = 15 \text{ V}$

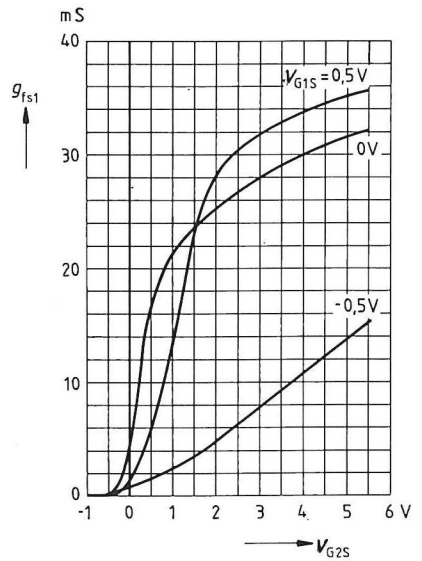
$I_{\text{DSS}} = 10 \text{ mA}, f = 1 \text{ kHz}$



**Gate 1-Steilheit**  $g_{\text{fs1}} = f(V_{\text{G2S}})$

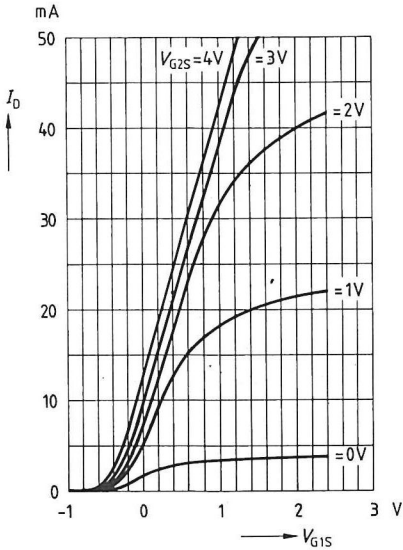
$V_{\text{DS}} = 15 \text{ V}$

$I_{\text{DSS}} = 10 \text{ mA}, f = 1 \text{ kHz}$



**Drainstrom**  $I_D = f(V_{G1S})$

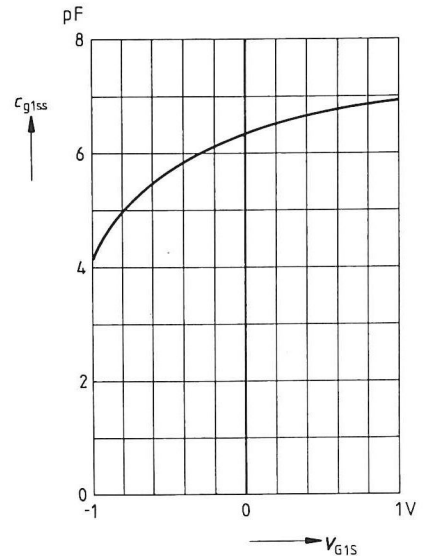
$V_{DS} = 15 \text{ V}$



**Gate 1-Eingangskapazität**  $c_{g1ss} = f(V_{G1S})$

$V_{G2S} = 4 \text{ V}, V_{DS} = 15 \text{ V}$

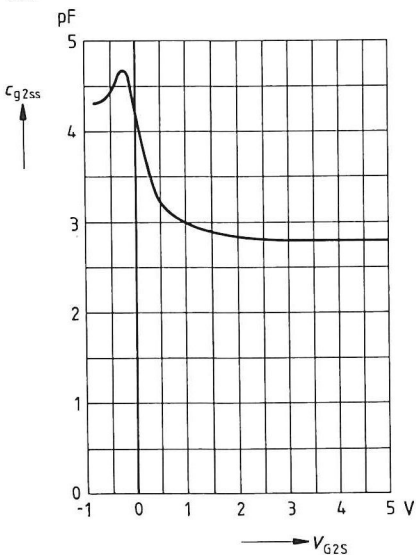
$I_{DSS} = 10 \text{ mA}, f = 1 \text{ MHz}$



**Gate 2-Eingangskapazität**  $c_{g2ss} = f(V_{G2S})$

$V_{G1S} = 0 \text{ V}, V_{DS} = 15 \text{ V}$

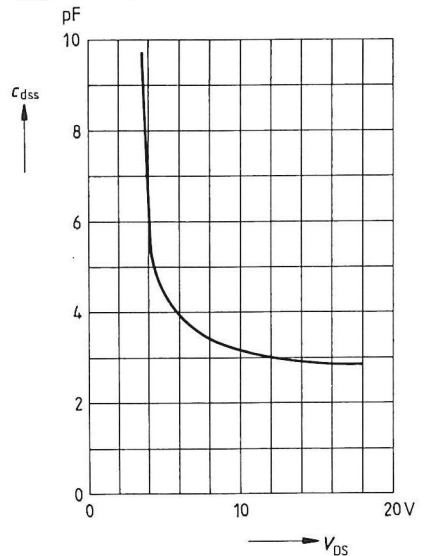
$I_{DSS} = 10 \text{ mA}, f = 1 \text{ MHz}$



**Ausgangskapazität**  $c_{dss} = f(V_{DS})$

$V_{G1S} = 0 \text{ V}, V_{G2S} = 4 \text{ V}$

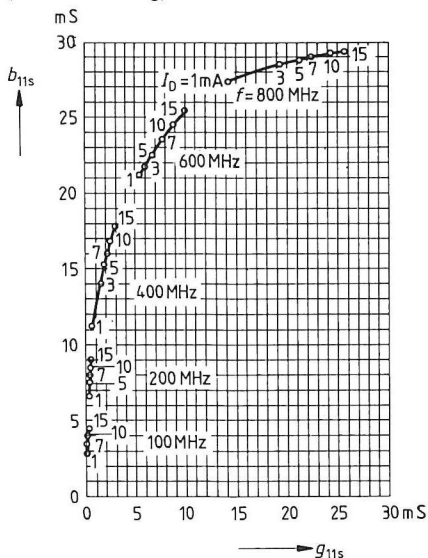
$I_{DSS} = 10 \text{ mA}, f = 1 \text{ MHz}$



### Gate 1-Eingangsleitwert $y_{11s}$

$V_{DS} = 15 \text{ V}, V_{G2S} = 4 \text{ V}$

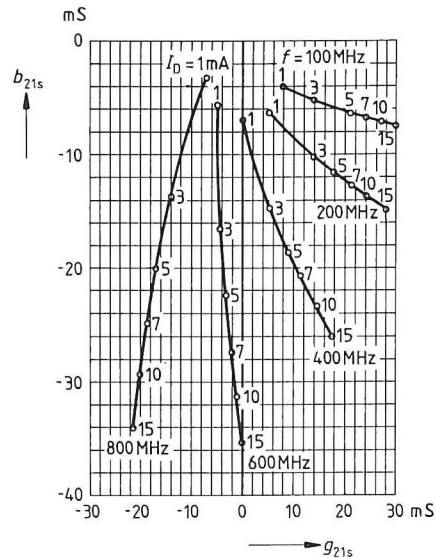
(Sourceschaltung)



### Gate 1-Steilheit $y_{21s}$

$V_{DS} = 15 \text{ V}, V_{G2S} = 4 \text{ V}$

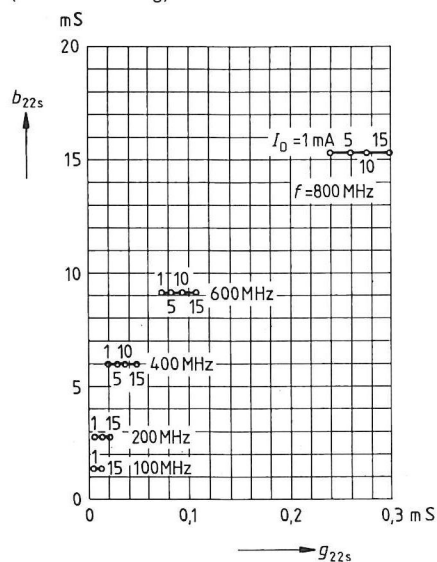
(Sourceschaltung)



### Ausgangsleitwert $y_{22s}$

$V_{DS} = 15 \text{ V}, V_{G2S} = 4 \text{ V}$

(Sourceschaltung)

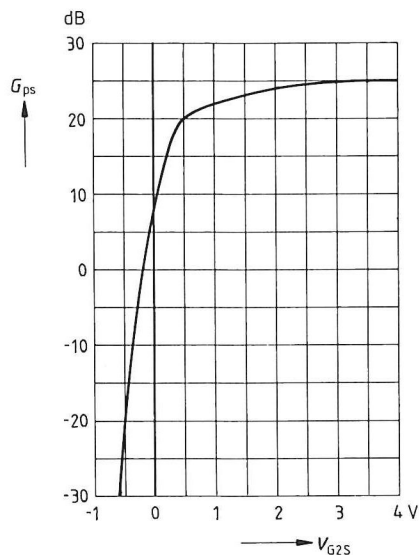


**Leistungsverstärkung  $G_{ps} = f(V_{G2S})$**

$V_{DS} = 15 \text{ V}, V_{G1S} = 0 \text{ V}$

$I_{DSS} = 10 \text{ mA}, f = 200 \text{ MHz}$

(s. Meßschaltung)

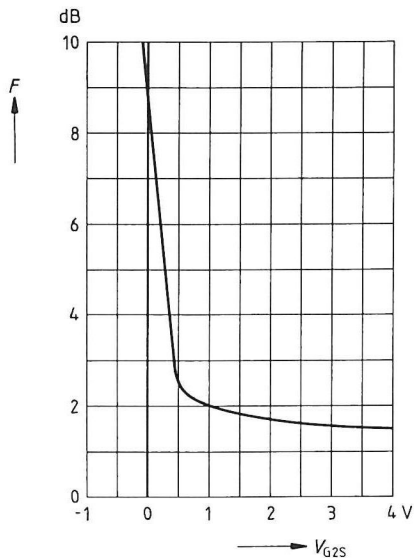


**Rauschzahl  $F = f(V_{G2S})$**

$V_{DS} = 15 \text{ V}, V_{G1S} = 0 \text{ V}$

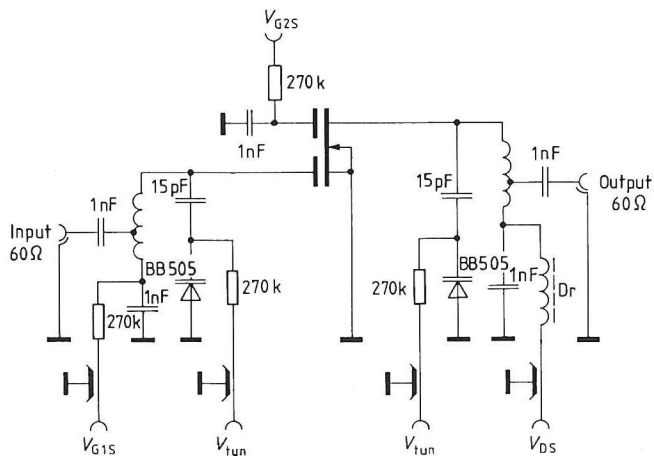
$I_{DSS} = 10 \text{ mA}, f = 200 \text{ MHz}$

(s. Meßschaltung)

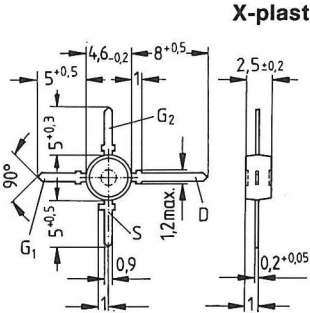


**Meßschaltung für Leistungsverstärkung und Rauschen**

$f = 200 \text{ MHz}, G_G = 2 \text{ mS}, G_L = 0,5 \text{ mS}$



- Für Anwendungen in VHF-Vor- und Mischstufen mit großem Abstimmbereich (CATV-Tuner)



Typ	BF 964 S
Best.-Nr.	Q62702-F446

**Grenzdaten**

Drain-Source-Spannung  
Drainstrom  
Gate 1/Gate 2-Source-Spitzenstrom  
Gesamtverlustleistung  
 $T_A \leq 60^\circ\text{C}$   
Lagertemperatur  
Kanaltemperatur

$V_{DS}$	20	V
$I_D$	30	mA
$\pm I_{G1/2SM}$	10	mA
$P_{tot}$	200	mW
$T_{stg}$	$-55 \dots +150$	$^\circ\text{C}$
$T_{Ch}$	150	$^\circ\text{C}$

**Wärmewiderstand**

Sperrschicht-Umgebung

$R_{thJA}$	$\leq 450$	K/W
------------	------------	-----

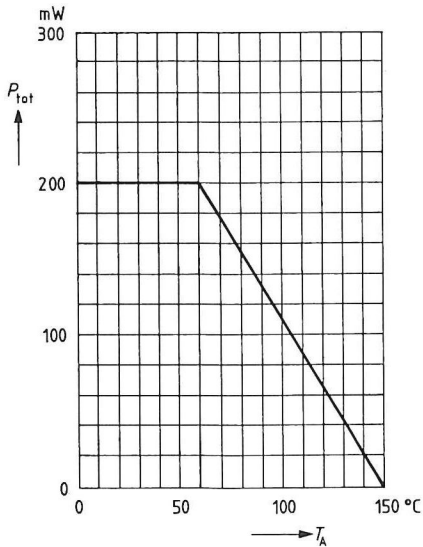
**Kenndaten** ( $T_A = 25^\circ\text{C}$ )

<b>Gleichstromdaten</b>		<b>min</b>	<b>typ</b>	<b>max</b>	
Drain-Source-Durchbruchspannung $I_D = 10\ \mu\text{A}$ , $-V_{G1S} = -V_{G2S} = 4\ \text{V}$	$V_{(BR)DS}$	20	—	—	V
Gate 1-Source-Durchbruchspannung $\pm I_{G1S} = 10\ \text{mA}$ , $V_{G2S} = V_{DS} = 0$	$\pm V_{(BR)G1SS}$	8,5	—	17	V
Gate 2-Source-Durchbruchspannung $\pm I_{G2S} = 10\ \text{mA}$ , $V_{G1S} = V_{DS} = 0$	$\pm V_{(BR)G2SS}$	8,5	—	17	V
Gate 1-Reststrom $\pm V_{G1S} = 5\ \text{V}$ , $V_{G2S} = V_{DS} = 0$	$\pm I_{G1SS}$	—	—	50	nA
Gate 2-Reststrom $\pm V_{G2S} = 5\ \text{V}$ , $V_{G1S} = V_{DS} = 0$	$\pm I_{G2SS}$	—	—	50	nA
Drainstrom $V_{DS} = 15\ \text{V}$ , $V_{G1S} = 0$ , $V_{G2S} = 4\ \text{V}$	$I_{DSS}$	2	—	20	mA
Gate 1-Source-Abschnürspannung $V_{DS} = 15\ \text{V}$ , $V_{G2S} = 4\ \text{V}$ , $I_D = 20\ \mu\text{A}$	$-V_{G1S(p)}$	—	—	2,5	V
Gate 2-Source-Abschnürspannung $V_{DS} = 15\ \text{V}$ , $V_{G1S} = 0$ , $I_D = 20\ \mu\text{A}$	$-V_{G2S(p)}$	—	—	2,0	V

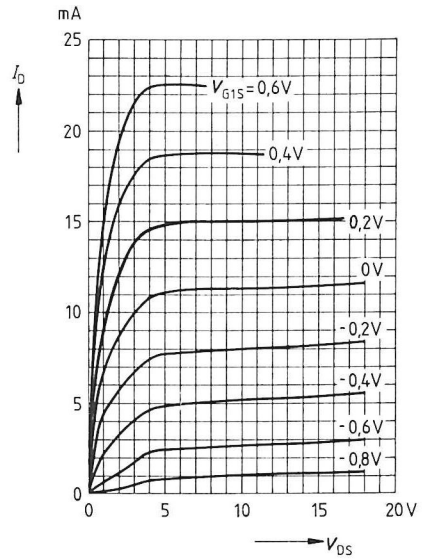
**Wechselstromdaten**

Vorwärtssteilheit $V_{DS} = 15\ \text{V}$ , $I_D = 10\ \text{mA}$ , $V_{G2S} = 4\ \text{V}$ , $f = 1\ \text{kHz}$	$g_{fs}$	15	18	—	mS
Gate 1-Eingangskapazität $V_{DS} = 15\ \text{V}$ , $I_D = 10\ \text{mA}$ , $V_{G2S} = 4\ \text{V}$ , $f = 1\ \text{MHz}$	$C_{g1ss}$	—	2,5	—	pF
Gate 2-Eingangskapazität $V_{DS} = 15\ \text{V}$ , $I_D = 10\ \text{mA}$ , $V_{G2S} = 4\ \text{V}$ , $f = 1\ \text{MHz}$	$C_{g2ss}$	—	1,2	—	pF
Rückwirkungskapazität $V_{DS} = 15\ \text{V}$ , $I_D = 10\ \text{mA}$ , $V_{G2S} = 4\ \text{V}$ , $f = 1\ \text{MHz}$	$C_{dg1}$	—	25	—	fF
Ausgangskapazität $V_{DS} = 15\ \text{V}$ , $I_D = 10\ \text{mA}$ , $V_{G2S} = 4\ \text{V}$ , $f = 1\ \text{MHz}$	$C_{dss}$	—	1	—	pF
Leistungsverstärkung $V_{DS} = 15\ \text{V}$ , $I_D = 10\ \text{mA}$ , $f = 200\ \text{MHz}$ , $G_G = 2\ \text{mS}$ , $G_L = 0,5\ \text{mS}$ (Meßschaltung)	$G_{ps}$	—	25	—	dB
Rauschzahl $V_{DS} = 15\ \text{V}$ , $I_D = 10\ \text{mA}$ , $f = 200\ \text{MHz}$ , $G_G = 2\ \text{mS}$ , $G_L = 0,5\ \text{mS}$ (Meßschaltung)	$F$	—	1	—	dB
Regelumfang $V_{DS} = 15\ \text{V}$ , $V_{G2S} = 4 \dots -2\ \text{V}$ , $f = 200\ \text{MHz}$ (Meßschaltung)	$\Delta G_{ps}$	50	—	—	dB

**Gesamtverlustleistung  $P_{\text{tot}} = f(T_A)$**

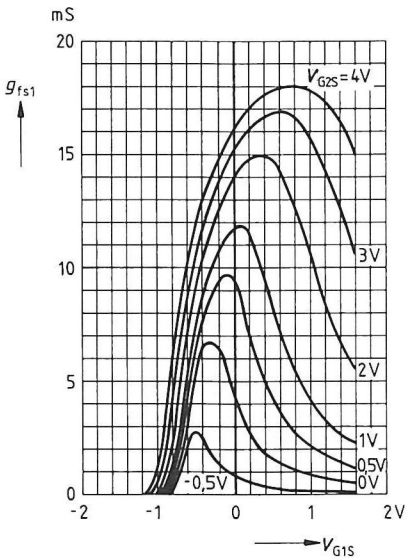


**Ausgangskennlinienfeld  $I_D = f(V_{\text{DS}})$**



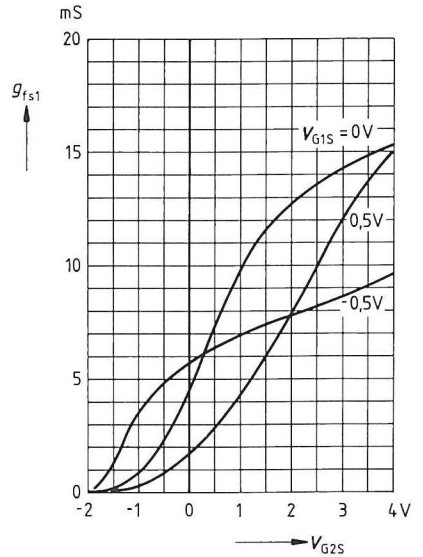
**Gate 1-Steilheit  $g_{\text{fs1}} = f(V_{\text{G1S}})$**

$V_{\text{DS}} = 15 \text{ V}$   
 $I_{\text{DSS}} = 10 \text{ mA}$ ,  $f = 1 \text{ kHz}$



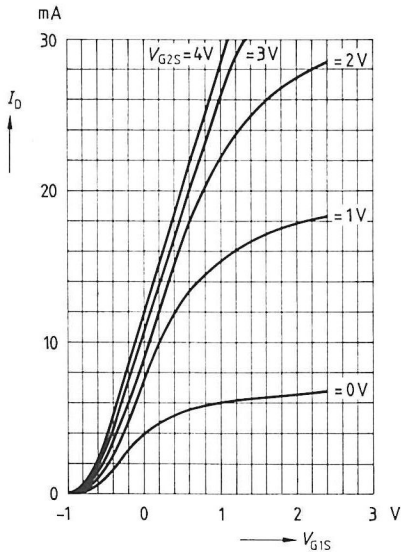
**Gate 1-Steilheit  $g_{\text{fs1}} = f(V_{\text{G2S}})$**

$V_{\text{DS}} = 15 \text{ V}$   
 $I_{\text{DSS}} = 10 \text{ mA}$ ,  $f = 1 \text{ kHz}$



**Drainstrom**  $I_D = f(V_{G1S})$

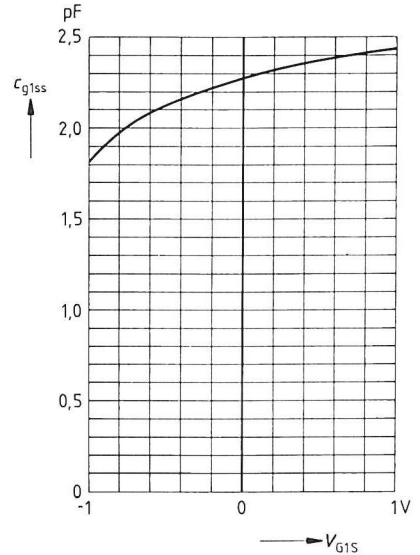
$V_{DS} = 15 \text{ V}$



**Gate 1-Eingangskapazität**  $c_{g1ss} = f(V_{G1S})$

$V_{G2S} = 4 \text{ V}, V_{DS} = 15 \text{ V}$

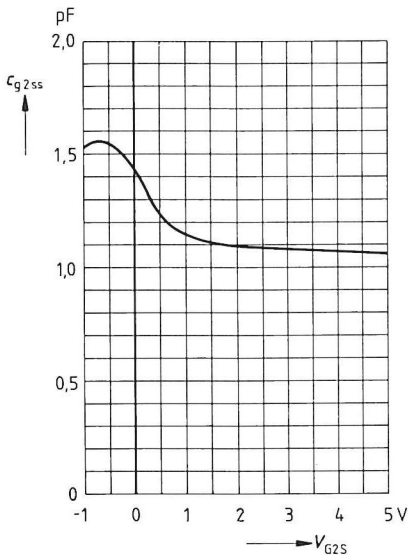
$I_{DSS} = 10 \text{ mA}, f = 1 \text{ MHz}$



**Gate 2-Eingangskapazität**  $c_{g2ss} = f(V_{G2S})$

$V_{G1S} = 0 \text{ V}, V_{DS} = 15 \text{ V}$

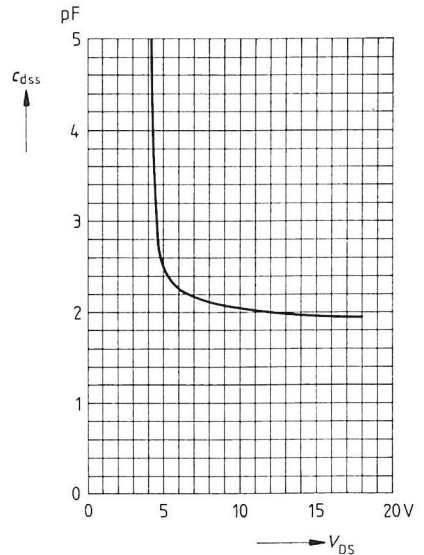
$I_{DSS} = 10 \text{ mA}, f = 1 \text{ MHz}$



**Ausgangskapazität**  $c_{dss} = f(V_{DS})$

$V_{G1S} = 0 \text{ V}, V_{G2S} = 4 \text{ V}$

$I_{DSS} = 10 \text{ mA}, f = 1 \text{ MHz}$

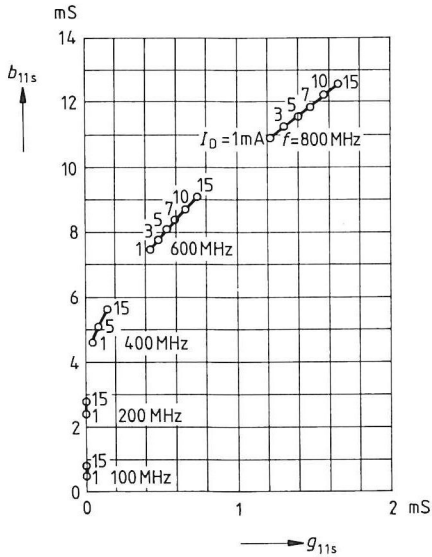




**Gate 1-Eingangsleitwert  $y_{11s}$**

$V_{DS} = 15 \text{ V}, V_{GS} = 4 \text{ V}$

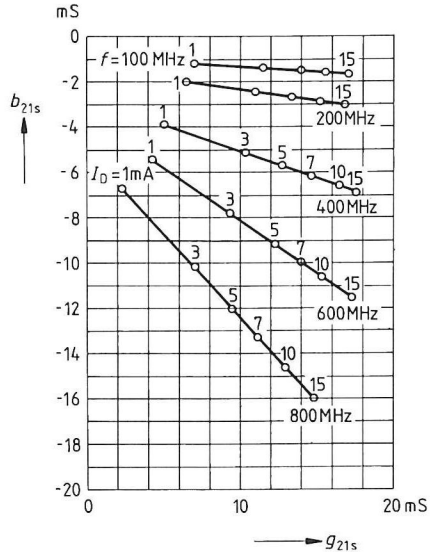
(Sourceschaltung)



**Gate 1-Steilheit  $y_{21s}$**

$V_{DS} = 15 \text{ V}, V_{GS} = 4 \text{ V}$

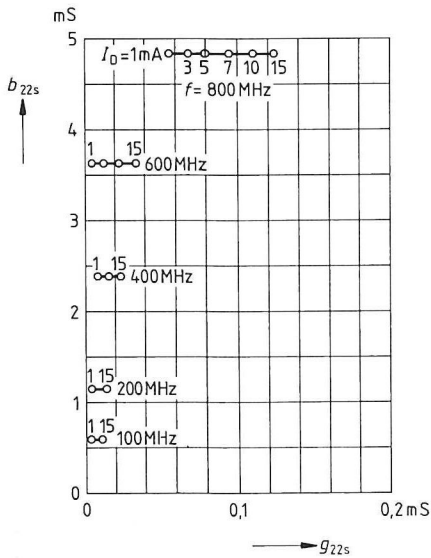
(Sourceschaltung)



**Ausgangsleitwert  $y_{22s}$**

$V_{DS} = 15 \text{ V}, V_{GS} = 4 \text{ V}$

(Sourceschaltung)

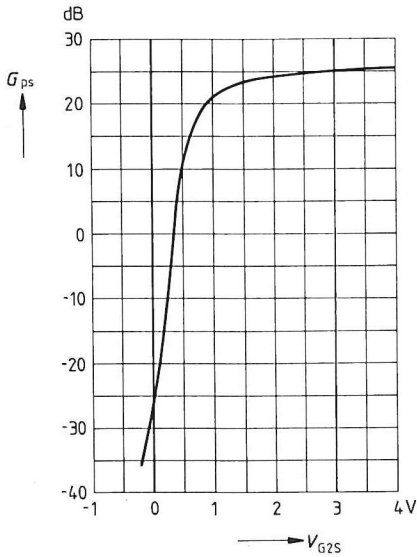


**Leistungsverstärkung  $G_{ps} = f(V_{G2S})$**

$V_{DS} = 15 \text{ V}$ ,  $V_{G1S} = 0 \text{ V}$

$I_{DSS} = 10 \text{ mA}$ ,  $f = 200 \text{ MHz}$

(s. Meßschaltung)

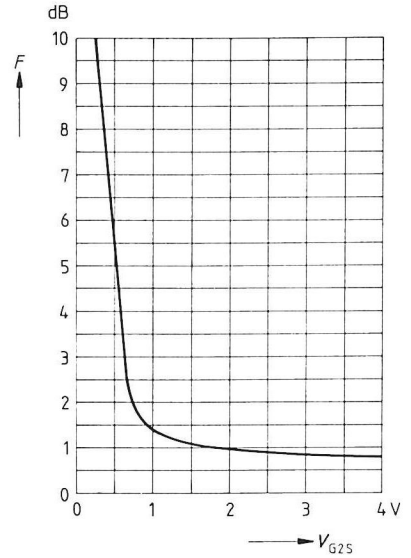


**Rauschzahl  $F = f(V_{G2S})$**

$V_{DS} = 15 \text{ V}$ ,  $V_{G1S} = 0 \text{ V}$

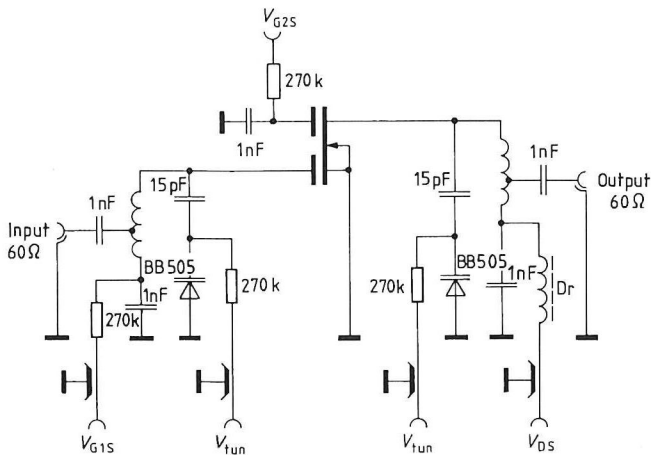
$I_{DSS} = 10 \text{ mA}$ ,  $f = 200 \text{ MHz}$

(s. Meßschaltung)

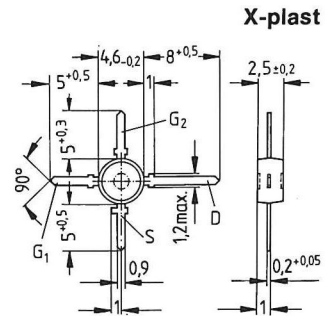


**Meßschaltung für Leistungsverstärkung und Rauschen**

$f = 200 \text{ MHz}$ ,  $G_G = 2 \text{ mS}$ ,  $G_L = 0,5 \text{ mS}$



- Mit integriertem Dämpfungsnetzwerk zur Unterdrückung parasitärer Schwingungen im GHz-Bereich
- Für Anwendungen in VHF-Vor- und Mischstufen mit großem Abstimmbereich bis etwa 500 MHz (CATV-Tuner)



<b>Typ</b>	BF 965
<b>Best.-Nr.</b>	Q62702-F660

### Grenzdaten

Drain-Source-Spannung  
 Drainstrom  
 Gate 1/Gate 2-Source-Spitzenstrom  
 Gesamtverlustleistung  
 $T_A \leq 60^\circ\text{C}$   
 Lagertemperatur  
 Kanaltemperatur

$V_{DS}$	20	V
$I_D$	30	mA
$\pm I_{G1/2SM}$	10	mA
$P_{tot}$	200	mW
$T_{stg}$	$-55 \dots +150$	$^\circ\text{C}$
$T_{Ch}$	150	$^\circ\text{C}$

### Wärmewiderstand

Sperrschicht-Umgebung

$R_{thJA}$	$\leq 450$	K/W
------------	------------	-----

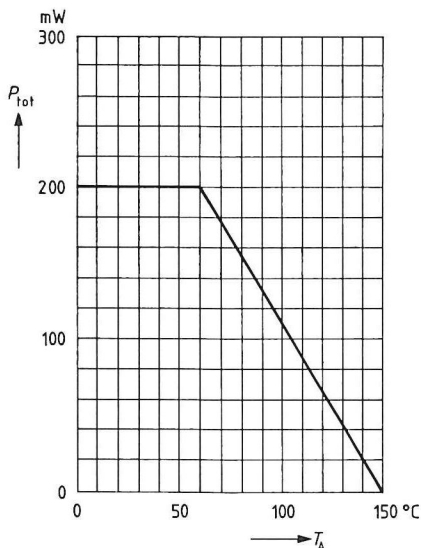
Kenndaten ( $T_A = 25^\circ\text{C}$ )

Gleichstromdaten		min	typ	max	
Drain-Source-Durchbruchspannung $I_D = 10\ \mu\text{A}$ , $-V_{G1S} = -V_{G2S} = 4\ \text{V}$	$V_{(BR)DS}$	20	—	—	V
Gate 1-Source-Durchbruchspannung $\pm I_{G1S} = 10\ \text{mA}$ , $V_{G2S} = V_{DS} = 0$	$\pm V_{(BR)G1SS}$	8,5	—	17	V
Gate 2-Source-Durchbruchspannung $\pm I_{G2S} = 10\ \text{mA}$ , $V_{G1S} = V_{DS} = 0$	$\pm V_{(BR)G2SS}$	8,5	—	17	V
Gate 1-Reststrom $\pm V_{G1S} = 5\ \text{V}$ , $V_{G2S} = V_{DS} = 0$	$\pm I_{G1SS}$	—	—	50	nA
Gate 2-Reststrom $\pm V_{G2S} = 5\ \text{V}$ , $V_{G1S} = V_{DS} = 0$	$\pm I_{G2SS}$	—	—	50	nA
Drainstrom $V_{DS} = 15\ \text{V}$ , $V_{G1S} = 0$ , $V_{G2S} = 4\ \text{V}$	$I_{DSS}$	2	—	20	mA
Gate 1-Source-Abschnürspannung $V_{DS} = 15\ \text{V}$ , $V_{G2S} = 4\ \text{V}$ , $I_D = 20\ \mu\text{A}$	$-V_{G1S(p)}$	—	—	2,5	V
Gate 2-Source-Abschnürspannung $V_{DS} = 15\ \text{V}$ , $V_{G1S} = 0$ , $I_D = 20\ \mu\text{A}$	$-V_{G2S(p)}$	—	—	2,0	V

## Wechselstromdaten

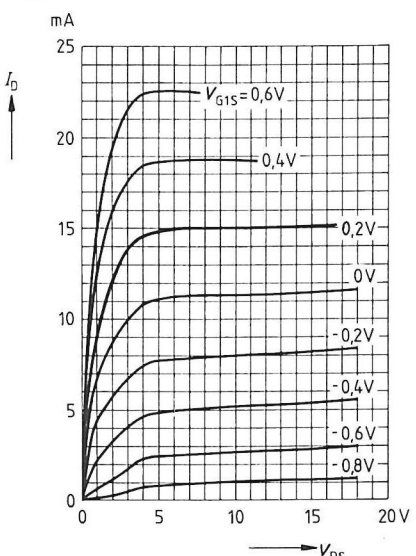
Vorwärtssteilheit $V_{DS} = 15\ \text{V}$ , $I_D = 10\ \text{mA}$ , $V_{G2S} = 4\ \text{V}$ , $f = 1\ \text{kHz}$	$g_{fs}$	15	18	—	mS
Gate 1-Eingangskapazität $V_{DS} = 15\ \text{V}$ , $I_D = 10\ \text{mA}$ , $V_{G2S} = 4\ \text{V}$ , $f = 1\ \text{MHz}$	$C_{g1ss}$	—	2,5	—	pF
Gate 2-Eingangskapazität $V_{DS} = 15\ \text{V}$ , $I_D = 10\ \text{mA}$ , $V_{G2S} = 4\ \text{V}$ , $f = 1\ \text{MHz}$	$C_{g2ss}$	—	1,2	—	pF
Rückwirkungskapazität $V_{DS} = 15\ \text{V}$ , $I_D = 10\ \text{mA}$ , $V_{G2S} = 4\ \text{V}$ , $f = 1\ \text{MHz}$	$C_{dg1}$	—	25	—	fF
Ausgangskapazität $V_{DS} = 15\ \text{V}$ , $I_D = 10\ \text{mA}$ , $V_{G2S} = 4\ \text{V}$ , $f = 1\ \text{MHz}$	$C_{dss}$	—	1	—	pF
Leistungsverstärkung $V_{DS} = 15\ \text{V}$ , $I_D = 10\ \text{mA}$ , $f = 200\ \text{MHz}$ , $G_G = 2\ \text{mS}$ , $G_L = 0,5\ \text{mS}$ (Meßschaltung)	$G_{ps}$	—	25	—	dB
Rauschzahl $V_{DS} = 15\ \text{V}$ , $I_D = 10\ \text{mA}$ , $f = 200\ \text{MHz}$ , $G_G = 2\ \text{mS}$ , $G_L = 0,5\ \text{mS}$ (Meßschaltung)	$F$	—	1	—	dB
Regelumfang $V_{DS} = 15\ \text{V}$ , $V_{G2S} = 4 \dots -2\ \text{V}$ , $f = 200\ \text{MHz}$ (Meßschaltung)	$\Delta G_{ps}$	50	—	—	dB

**Gesamtverlustleistung**  $P_{\text{tot}} = f(T_A)$



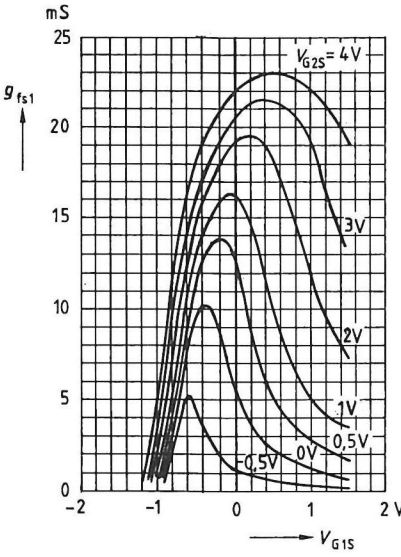
**Ausgangskennlinienfeld**  $I_D = f(V_{\text{DS}})$

$V_{\text{G2S}} = 4 \text{ V}$



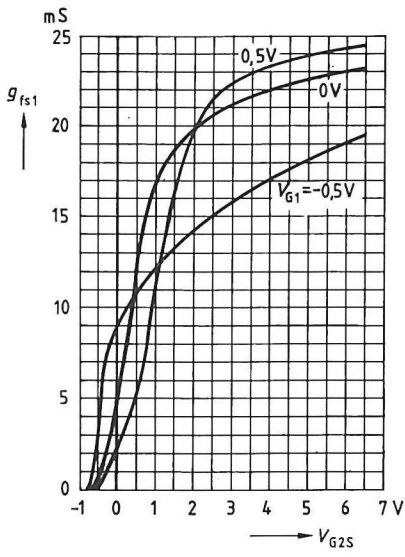
**Gate 1-Steilheit**  $g_{\text{fs1}} = f(V_{\text{G1S}})$

$V_{\text{DS}} = 15 \text{ V}$   
 $I_{\text{DSS}} = 10 \text{ mA}$ ,  $f = 1 \text{ kHz}$



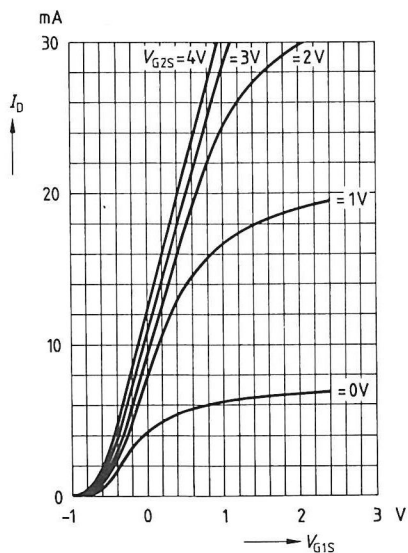
**Gate 1-Steilheit**  $g_{\text{fs1}} = f(V_{\text{G2S}})$

$V_{\text{DS}} = 15 \text{ V}$   
 $I_{\text{DSS}} = 10 \text{ mA}$ ,  $f = 1 \text{ kHz}$



**Drainstrom**  $I_D = f(V_{G1S})$

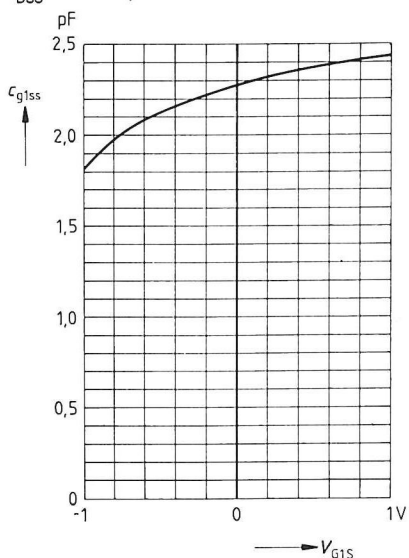
$V_{DS} = 15 \text{ V}$



**Gate 1-Eingangskapazität**  $c_{g1ss} = f(V_{G1S})$

$V_{G2S} = 4 \text{ V}, V_{DS} = 15 \text{ V}$

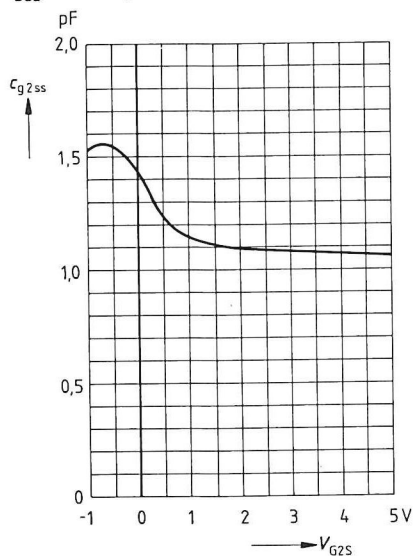
$I_{DSS} = 10 \text{ mA}, f = 1 \text{ MHz}$



**Gate 2-Eingangskapazität**  $c_{g2ss} = f(V_{G2S})$

$V_{G1S} = 0 \text{ V}, V_{DS} = 15 \text{ V}$

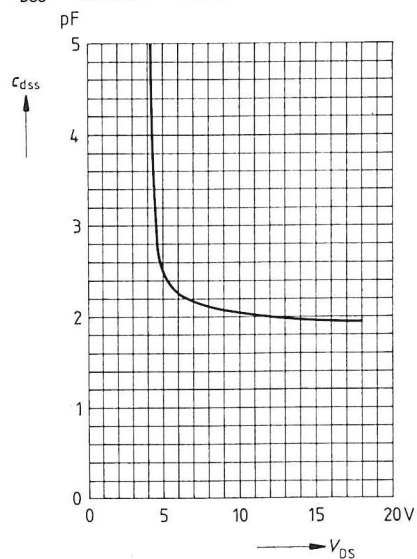
$I_{DSS} = 10 \text{ mA}, f = 1 \text{ MHz}$



**Ausgangskapazität**  $c_{dss} = f(V_{DS})$

$V_{G1S} = 0 \text{ V}, V_{G2S} = 4 \text{ V}$

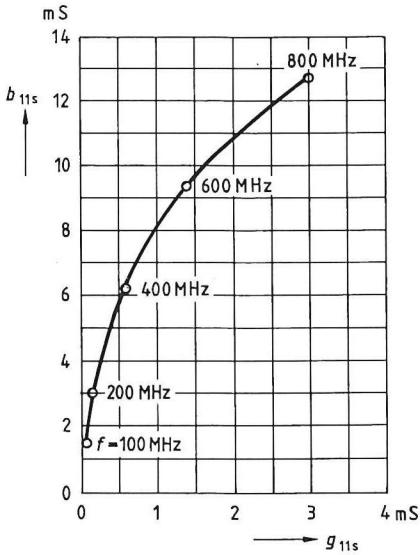
$I_{DSS} = 10 \text{ mA}, f = 1 \text{ MHz}$



**Gate 1-Eingangsleitwert  $y_{11s}$**

$V_{DS} = 15 \text{ V}$ ,  $V_{G2S} = 4 \text{ V}$ ,  $V_{G1S} = 0 \text{ V}$

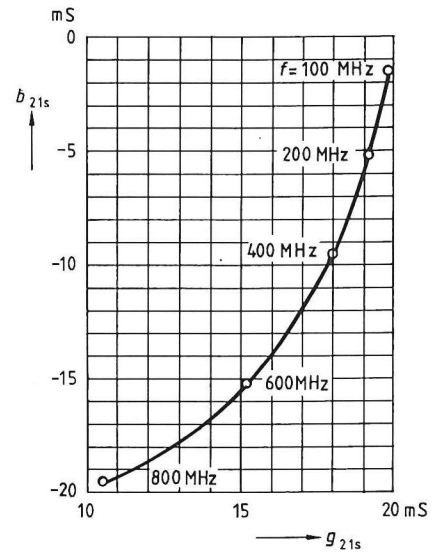
$I_{DSS} = 10 \text{ mA}$  (Sourceschaltung)



**Gate 1-Steilheit  $y_{21s}$**

$V_{DS} = 15 \text{ V}$ ,  $V_{G2S} = 4 \text{ V}$ ,  $V_{G1S} = 0 \text{ V}$

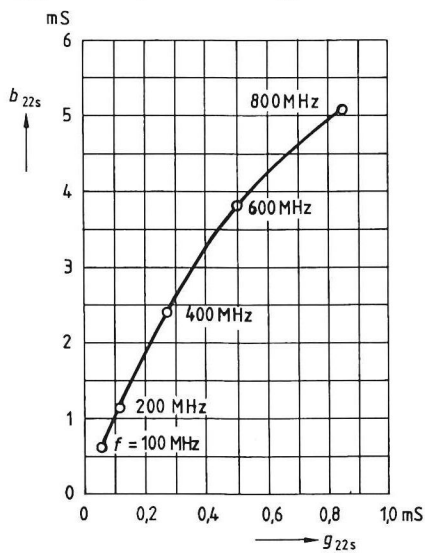
$I_{DSS} = 10 \text{ mA}$  (Sourceschaltung)

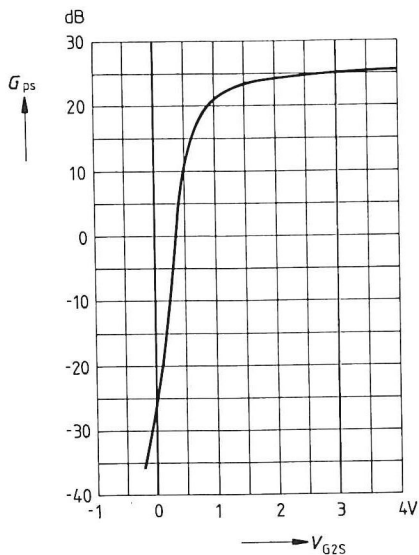
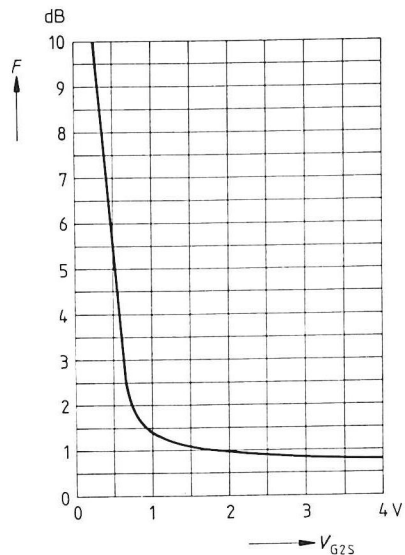
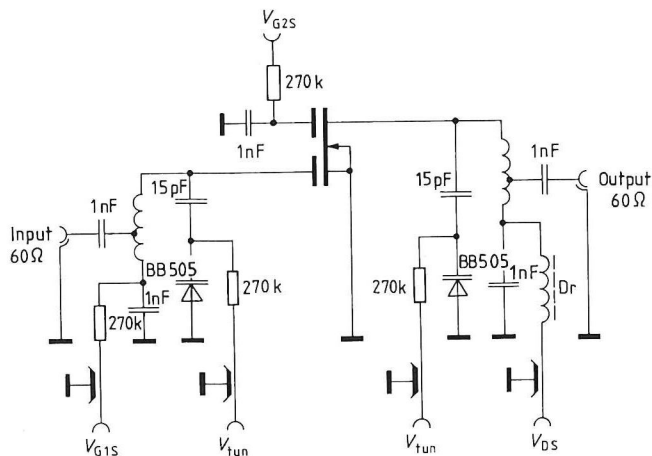


**Ausgangsleitwert  $y_{22s}$**

$V_{DS} = 15 \text{ V}$ ,  $V_{G2S} = 4 \text{ V}$ ,  $V_{G1S} = 0 \text{ V}$

$I_{DSS} = 10 \text{ mA}$  (Sourceschaltung)

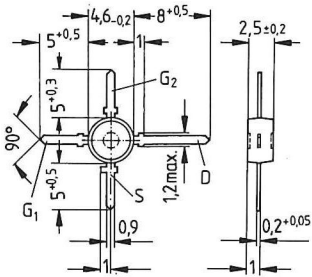


**Leistungsverstärkung  $G_{ps} = f(V_{G2S})$**  $V_{DS} = 15 \text{ V}$ ,  $V_{G1S} = 0 \text{ V}$ ,  $I_{DSS} = 10 \text{ mA}$  $f = 200 \text{ MHz}$  (s. Meßschaltung)**Rauschzahl  $F = f(V_{G2S})$**  $V_{DS} = 15 \text{ V}$ ,  $V_{G1S} = 0 \text{ V}$ ,  $I_{DSS} = 10 \text{ mA}$  $f = 200 \text{ MHz}$  (s. Meßschaltung)**Meßschaltung für Leistungsverstärkung und Rauschen** $f = 200 \text{ MHz}$ ,  $G_G = 2 \text{ mS}$ ,  $G_L = 0,5 \text{ mS}$ 



- Für Vorstufen in UHF-TV-Tunern
- Hohe Steilheit
- Kleine Rauschzahl

X-plast



Typ	BF 966 S
Best.-Nr.	Q62702-F438

**Grenzdaten**

Drain-Source-Spannung  
Drainstrom  
Gate 1/Gate 2-Source-Spitzenstrom  
Gesamtverlustleistung  
 $T_A \leq 60^\circ\text{C}$   
Lagertemperatur  
Kanaltemperatur

$V_{DS}$	20	V
$I_D$	30	mA
$\pm I_{G1/2SM}$	10	mA
$P_{tot}$	200	mW
$T_{stg}$	-55... + 150	$^\circ\text{C}$
$T_{Ch}$	150	$^\circ\text{C}$

**Wärmewiderstand**

Sperrschicht-Umgebung

$R_{thJA}$	$\leq 450$	K/W
------------	------------	-----

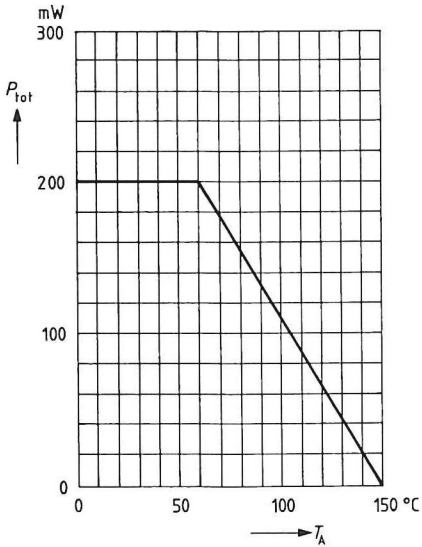
Kenndaten ( $T_A = 25^\circ\text{C}$ )

Gleichstromdaten		min	typ	max	
Drain-Source-Durchbruchspannung $I_D = 10\ \mu\text{A}$ , $-V_{G1S} = -V_{G2S} = 4\ \text{V}$	$V_{(BR)\ DS}$	20	—	—	V
Gate 1-Source-Durchbruchspannung $\pm I_{G1S} = 10\ \text{mA}$ , $V_{G2S} = V_{DS} = 0$	$\pm V_{(BR)\ G1SS}$	8,5	—	17	V
Gate 2-Source-Durchbruchspannung $\pm I_{G2S} = 10\ \text{mA}$ , $V_{G1S} = V_{DS} = 0$	$\pm V_{(BR)\ G2SS}$	8,5	—	17	V
Gate 1-Reststrom $\pm V_{G1S} = 5\ \text{V}$ , $V_{G2S} = V_{DS} = 0$	$\pm I_{G1SS}$	—	—	50	nA
Gate 2-Reststrom $\pm V_{G2S} = 5\ \text{V}$ , $V_{G1S} = V_{DS} = 0$	$\pm I_{G2SS}$	—	—	50	nA
Drainstrom $V_{DS} = 15\ \text{V}$ , $V_{G1S} = 0$ , $V_{G2S} = 4\ \text{V}$	$I_{DSS}$	2	—	20	mA
Gate 1-Source-Abschnürspannung $V_{DS} = 15\ \text{V}$ , $V_{G2S} = 4\ \text{V}$ , $I_D = 20\ \mu\text{A}$	$-V_{G1S}\ (p)$	—	—	2,5	V
Gate 2-Source-Abschnürspannung $V_{DS} = 15\ \text{V}$ , $V_{G1S} = 0$ , $I_D = 20\ \mu\text{A}$	$-V_{G2S}\ (p)$	—	—	2	V

## Wechselstromdaten

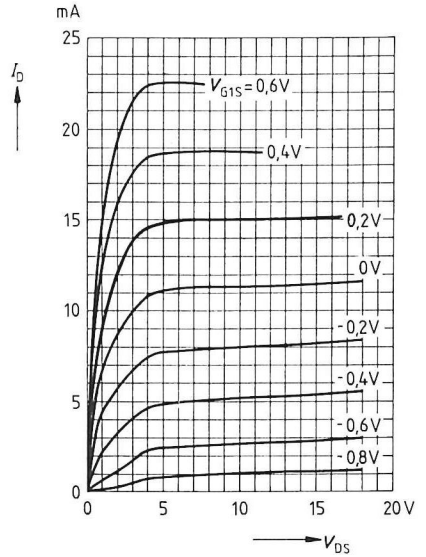
Vorwärtssteilheit $V_{DS} = 15\ \text{V}$ , $I_D = 10\ \text{mA}$ , $V_{G2S} = 4\ \text{V}$ , $f = 1\ \text{kHz}$	$g_{fs}$	15	18	—	mS
Gate 1-Eingangskapazität $V_{DS} = 15\ \text{V}$ , $I_D = 10\ \text{mA}$ , $V_{G2S} = 4\ \text{V}$ , $f = 1\ \text{MHz}$	$C_{g1ss}$	—	2,3	—	pF
Gate 2-Eingangskapazität $V_{DS} = 15\ \text{V}$ , $I_D = 10\ \text{mA}$ , $V_{G2S} = 4\ \text{V}$ , $f = 1\ \text{MHz}$	$C_{g2ss}$	—	1,1	—	pF
Rückwirkungskapazität $V_{DS} = 15\ \text{V}$ , $I_D = 10\ \text{mA}$ , $V_{G2S} = 4\ \text{V}$ , $f = 1\ \text{MHz}$	$C_{dg1}$	—	25	—	fF
Ausgangskapazität $V_{DS} = 15\ \text{V}$ , $I_D = 10\ \text{mA}$ , $V_{G2S} = 4\ \text{V}$ , $f = 1\ \text{MHz}$	$C_{dss}$	—	0,8	—	pF
Leistungsverstärkung $V_{DS} = 15\ \text{V}$ , $I_D = 10\ \text{mA}$ $f = 200\ \text{MHz}$ , $G_G = 2\ \text{mS}$ , $G_L = 0,5\ \text{mS}$ (Meßschaltung 1)	$G_{ps}$	—	25	—	dB
$f = 800\ \text{MHz}$ , $G_G = 3,3\ \text{mS}$ , $G_L = 1\ \text{mS}$ (Meßschaltung 2)		—	18	—	dB
Rauschzahl $V_{DS} = 15\ \text{V}$ , $I_D = 10\ \text{mA}$ $f = 200\ \text{MHz}$ , $G_G = 2\ \text{mS}$ , $G_L = 0,5\ \text{mS}$ (Meßschaltung 1)	$F$	—	1	—	dB
$f = 800\ \text{MHz}$ , $G_G = 3,3\ \text{mS}$ , $G_L = 1\ \text{mS}$ (Meßschaltung 2)		—	1,8	—	dB
Regelumfang $V_{DS} = 15\ \text{V}$ , $V_{G2S} = 4 \dots -2\ \text{V}$ , $f = 800\ \text{MHz}$ (Meßschaltung 2)	$\Delta G_{ps}$	40	—	—	dB

**Gesamtverlustleistung  $P_{\text{tot}} = f(T_A)$**



**Ausgangskennlinienfeld  $I_D = f(V_{DS})$**

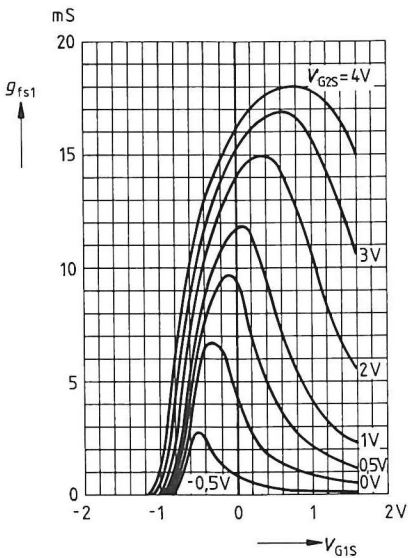
$V_{G2S} = 4 \text{ V}$



**Gate 1-Steilheit  $g_{fs1} = f(V_{G1S})$**

$V_{DS} = 15 \text{ V}$

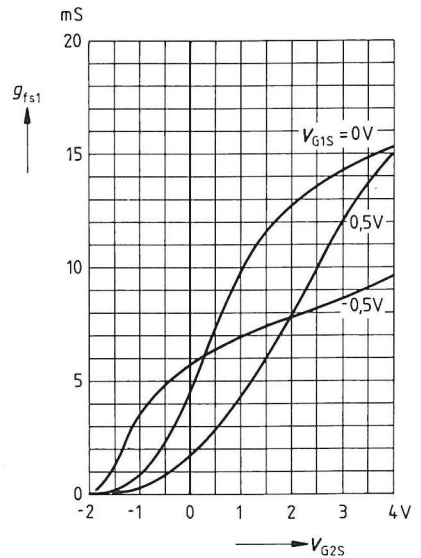
$I_{DSS} = 10 \text{ mA}$ ,  $f = 1 \text{ kHz}$



**Gate 1-Steilheit  $g_{fs1} = f(V_{G2S})$**

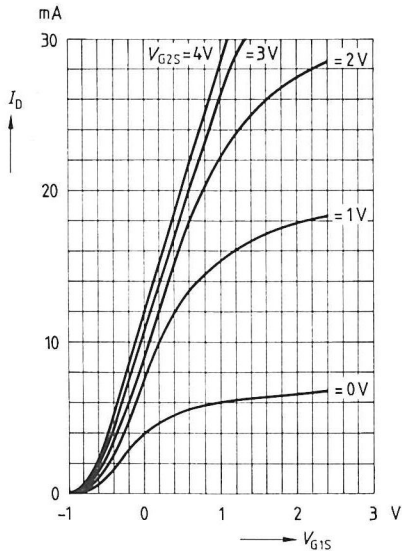
$V_{DS} = 15 \text{ V}$

$I_{DSS} = 10 \text{ mA}$ ,  $f = 1 \text{ kHz}$



**Drainstrom  $I_D = f(V_{G1S})$**

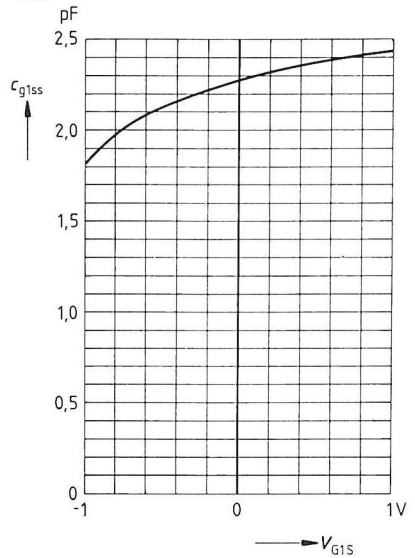
$V_{DS} = 15 \text{ V}$



**Gate 1-Eingangskapazität  $c_{g1ss} = f(V_{G1S})$**

$V_{G2S} = 4 \text{ V}, V_{DS} = 15 \text{ V}$

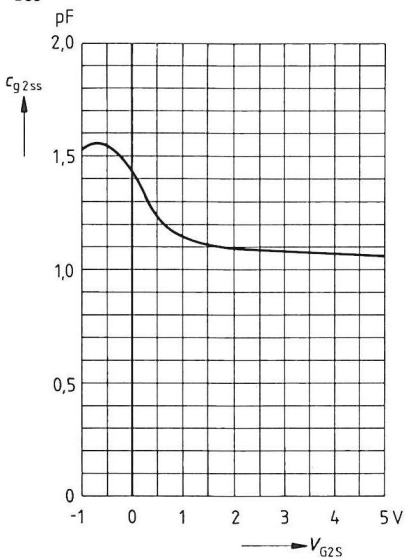
$I_{DSS} = 10 \text{ mA}, f = 1 \text{ MHz}$



**Gate 2-Eingangskapazität  $c_{g2ss} = f(V_{G2S})$**

$V_{G1S} = 0 \text{ V}, V_{DS} = 15 \text{ V}$

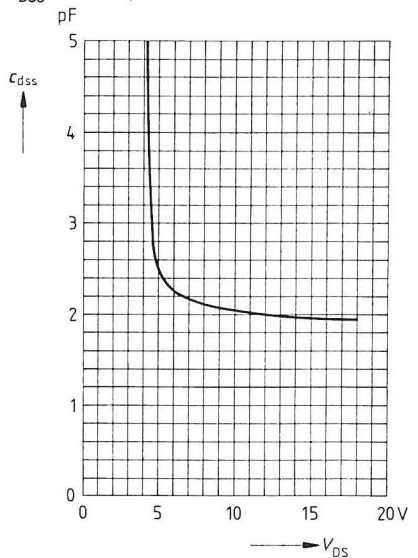
$I_{DSS} = 10 \text{ mA}, f = 1 \text{ MHz}$



**Ausgangskapazität  $c_{dss} = f(V_{DS})$**

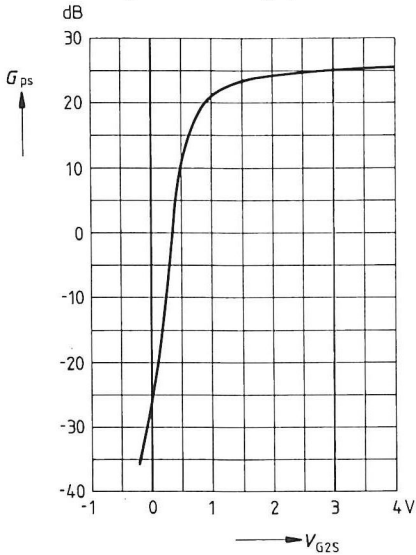
$V_{G1S} = 0 \text{ V}, V_{G2S} = 4 \text{ V}$

$I_{DSS} = 10 \text{ mA}, f = 1 \text{ MHz}$



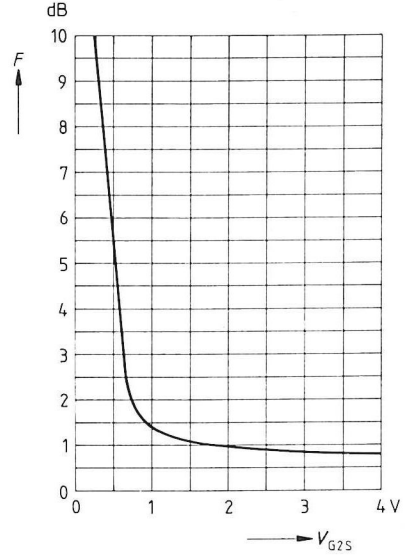
**Leistungsverstärkung  $G_{ps} = f(V_{G2S})$**

$V_{DS} = 15 \text{ V}$ ,  $V_{G1S} = 0 \text{ V}$ ,  $I_{DSS} = 10 \text{ mA}$   
 $f = 200 \text{ MHz}$  (s. Meßschaltung 1)



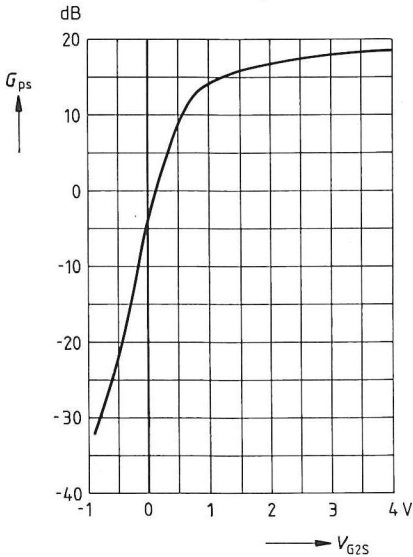
**Rauschzahl  $F = f(V_{G2S})$**

$V_{DS} = 15 \text{ V}$ ,  $V_{G1S} = 0 \text{ V}$ ,  $I_{DSS} = 10 \text{ mA}$   
 $f = 200 \text{ MHz}$  (s. Meßschaltung 1)



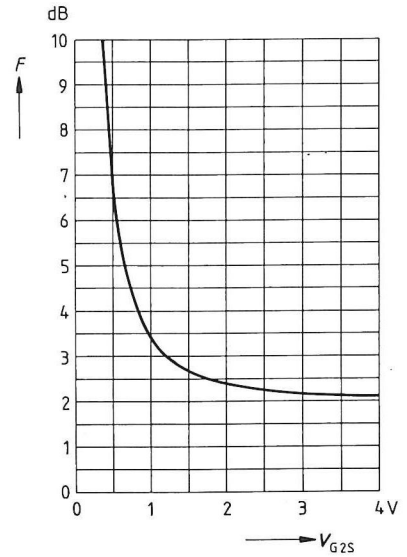
**Leistungsverstärkung  $G_{ps} = f(V_{G2S})$**

$V_{DS} = 15 \text{ V}$ ,  $V_{G1S} = 0 \text{ V}$ ,  $I_{DSS} = 10 \text{ mA}$   
 $f = 800 \text{ MHz}$  (s. Meßschaltung 2)



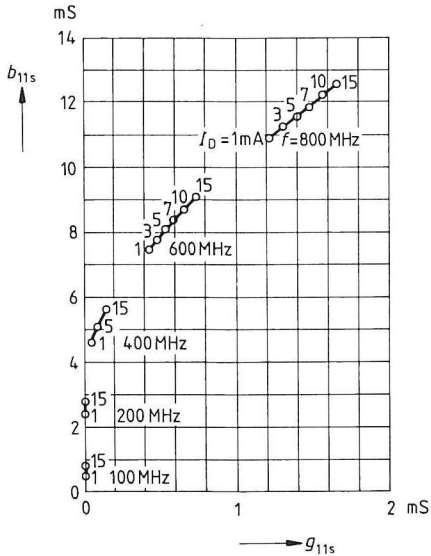
**Rauschzahl  $F = f(V_{G2S})$**

$V_{DS} = 15 \text{ V}$ ,  $V_{G1S} = 0 \text{ V}$ ,  $I_{DSS} = 10 \text{ mA}$   
 $f = 800 \text{ MHz}$  (s. Meßschaltung 2)



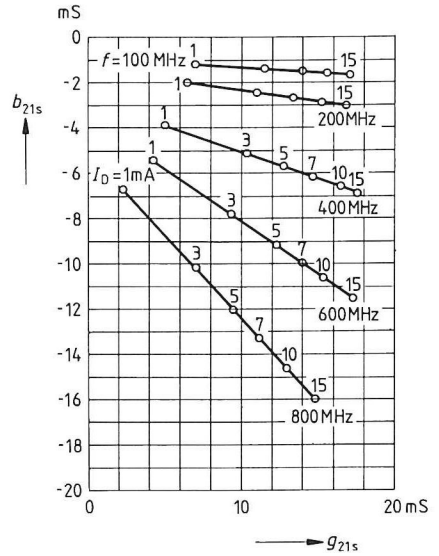
**Gate 1-Eingangsleitwert  $y_{11s}$**

$V_{DS} = 15 \text{ V}$ ,  $V_{G2S} = 4 \text{ V}$   
(Sourceschaltung)



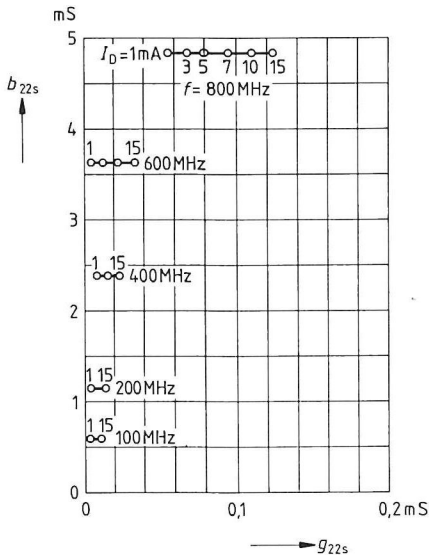
**Gate 1-Steilheit  $y_{21s}$**

$V_{DS} = 15 \text{ V}$ ,  $V_{G2S} = 4 \text{ V}$   
(Sourceschaltung)



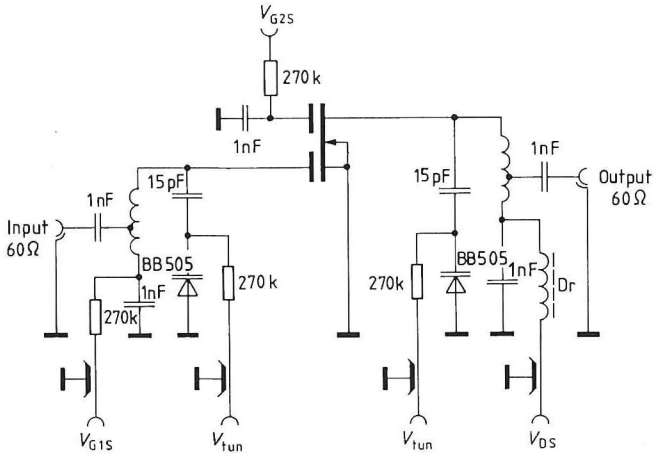
**Ausgangsleitwert  $y_{22s}$**

$V_{DS} = 15 \text{ V}$ ,  $V_{G2S} = 4 \text{ V}$   
(Sourceschaltung)

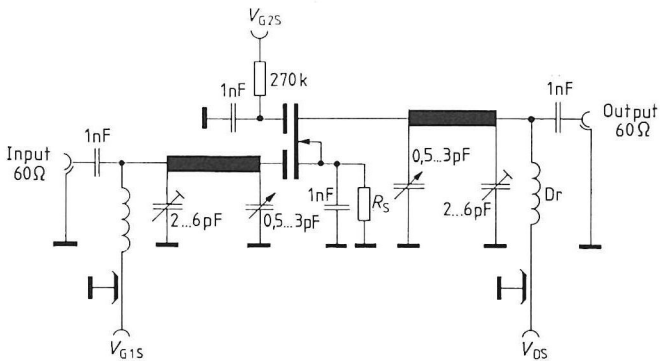


**Meßschaltung 1 für Leistungsverstärkung und Rauschen**

$f = 200 \text{ MHz}$ ,  $G_G = 2 \text{ mS}$ ,  $G_L = 0,5 \text{ mS}$

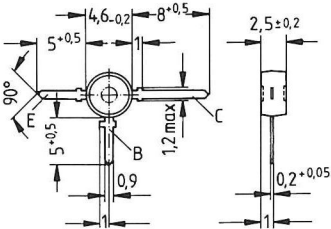
**Meßschaltung 2 für Leistungsverstärkung, Rauschen und Kreuzmodulation**

$f = 800 \text{ MHz}$ ,  $G_G = 3,3 \text{ mS}$ ,  $G_L = 1,0 \text{ mS}$



- Für UHF-Misch- und Oszillatorstufen

T-plast



Typ	BF 970
Best.-Nr.	Q62702-F611

Grenzdaten

Kollektor-Emitter-Spannung  
Kollektor-Basis-Spannung  
Emitter-Basis-Spannung  
Kollektorstrom  
Basisstrom  
Gesamtverlustleistung  
( $T_A \leq 50^\circ\text{C}$ )  
Sperrschichttemperatur  
Lagertemperatur

$V_{CEO}$	35	V
$V_{CBO}$	40	V
$V_{EBO}$	3	V
$I_C$	30	mA
$I_B$	5	mA
$P_{tot}$	160	mW
$T_j$	150	$^\circ\text{C}$
$T_{stg}$	-50... + 150	$^\circ\text{C}$

Wärmewiderstand  
Sperrschicht-Umgebung

$R_{thJA}$	$\leq 600$	K/W
------------	------------	-----



**Kenndaten** ( $T_A = 25^\circ\text{C}$ )**Gleichstromdaten**

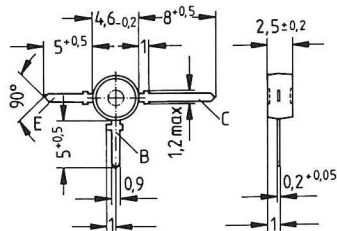
		min	typ	max	
Kollektor-Basis-Reststrom $V_{CB} = 20\text{ V}$	$I_{CBO}$	—	—	100	nA
Stromverstärkung $I_C = 3\text{ mA}$ , $V_{CE} = 10\text{ V}$	$h_{FE}$	25	50	—	—

**Wechselstromdaten**

Transitfrequenz $I_C = 3\text{ mA}$ , $V_{CE} = 10\text{ V}$ , $f = 100\text{ MHz}$	$f_T$	—	950	—	MHz
Ausgangskapazität $V_{CB} = 10\text{ V}$ , $I_E = 0$ , $f = 1\text{ MHz}$	$C_{obo}$	—	0,45	—	pF
Kollektor-Emitter-Kapazität $V_{CB} = 1\text{ V}$ , $V_{BE} = 0$ , $f = 1\text{ MHz}$	$C_{ce}$	—	0,1	—	pF
Rauschzahl $I_C = 3\text{ mA}$ , $V_{CB} = 10\text{ V}$ , $f = 800\text{ MHz}$ $R_S = 60\ \Omega$	$F$	—	4,5	—	dB
Leistungsverstärkung, Basisschaltung $I_C = 3\text{ mA}$ , $V_{CB} = 10\text{ V}$ , $f = 800\text{ MHz}$ $R_L = 500\ \Omega$	$G_{pb}$		14,8	—	dB
Kollektorstrom für $G_{pb\max}$ $V_{CC} = 12\text{ V}$ , $R_{CC} = 1\text{ k}\Omega$ , $f = 800\text{ MHz}$ $R_L = 500\ \Omega$	$I_{CG\max}$	—	4,5	—	mA

- Für nichtgeregelte kreuzmodulations-  
arme UHF-Vorstufen und UHF-  
Oszillatoren

T-plast



Typ	BF 979 S
Best.-Nr.	Q62702-F610

**Grenzdaten**

Kollektor-Emitter-Spannung  
Kollektor-Basis-Spannung  
Emitter-Basis-Spannung  
Kollektorspitzenstrom  
Gesamtverlustleistung  
( $T_A \leq 50^\circ\text{C}$ )  
Sperrschichttemperatur  
Lagertemperatur

$V_{CEO}$	25	V
$V_{CBO}$	30	V
$V_{EBO}$	3	V
$I_{CM}$	50	mA
$P_{tot}$	160	mW
$T_j$	150	$^\circ\text{C}$
$T_{stg}$	- 50... + 150	$^\circ\text{C}$

**Wärmewiderstand**

Sperrschicht-Umgebung

$R_{thJA}$	$\leq 600$	K/W
------------	------------	-----

**Kenndaten** ( $T_A = 25^\circ\text{C}$ )

<b>Gleichstromdaten</b>		<b>min</b>	<b>typ</b>	<b>max</b>	
Kollektor-Basis-Reststrom $V_{CB} = 20\text{ V}$	$I_{CBO}$	—	—	100	nA
Stromverstärkung $I_C = 10\text{ mA}$ , $V_{CE} = 10\text{ V}$	$h_{FE}$	20	—	—	—

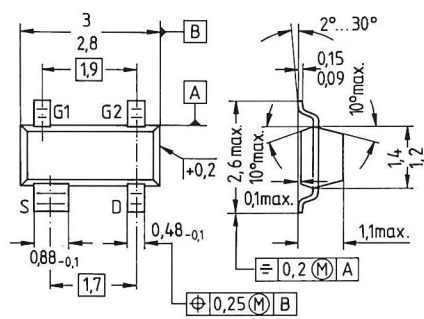
**Wechselstromdaten**

Transitfrequenz $I_C = 10\text{ mA}$ , $V_{CE} = 10\text{ V}$ , $f = 100\text{ MHz}$	$f_T$	—	1,6	—	GHz
Ausgangskapazität $V_{CB} = 10\text{ V}$ , $f = 1\text{ MHz}$	$C_{obo}$	—	0,55	—	pF
Kollektor-Emitter-Kapazität $V_{CB} = 1\text{ V}$ , $V_{BE} = 0$ , $f = 1\text{ MHz}$	$C_{ce}$	—	0,09	—	pF
Rauschzahl $I_C = 10\text{ mA}$ , $V_{CB} = 10\text{ V}$ , $R_S = 60\ \Omega$ $f = 200\text{ MHz}$ 800 MHz	$F$	— —	3 3,5	— 4,5	dB dB
Leistungsverstärkung $I_C = 10\text{ mA}$ , $V_{CB} = 10\text{ V}$ , $f = 800\text{ MHz}$ $R_L = 500\ \Omega$	$G_{pb}$		16,5		dB
Störspannung <sup>1)</sup> $I_C = 10\text{ mA}$ , $V_{CB} = 10\text{ V}$ , $f = 200\text{ MHz}$ $R_S = 75\ \Omega$	$V_{1\%}$	—	230	—	mV
Kollektorstrom für $G_{pb\max}$ $V_{CB} = 10\text{ V}$ , $f = 800\text{ MHz}$ , $R_L = 500\ \Omega$	$I_{CG\max}$	10	—	—	mA

<sup>1)</sup>  $V_{1\%}$  ist der Effektivwert der halben EMK eines 100% sinusmodulierten Fernsehträgers mit  $R_S = 75\ \Omega$ , der auf dem Nutzträger 1% AM verursacht.

- Für Verstärker und Mischer bis 1 GHz in UHF- und VHF-TV-Tunern
- Kleine Eingangs- und Ausgangskapazitäten
- Kunststoff-Miniaturgehäuse für Oberflächenmontage (SMD)

SOT 143



Typ	BF 989	
Best.-Nr.	Schüttgut: Q62702-F874	Gurt: Q62702-F969
Stempel	MA	

Grenzdaten

Drain-Source-Spannung	$V_{DS}$	20	V
Drainstrom	$I_D$	30	mA
Gate 1/Gate 2-Source-Spitzenstrom	$\pm I_{G1/2SM}$	10	mA
Gesamtverlustleistung	$P_{tot}$	200	mW
$T_A \leq 60^\circ C$			
Lagertemperatur	$T_{stg}$	-55...+150	$^\circ C$
Kanaltemperatur	$T_{Ch}$	150	$^\circ C$

Wärmewiderstand

Sperrschicht-Umgebung	$R_{thJA}$	$\leq 450$	K/W
-----------------------	------------	------------	-----

Kenndaten ( $T_A = 25^\circ\text{C}$ )

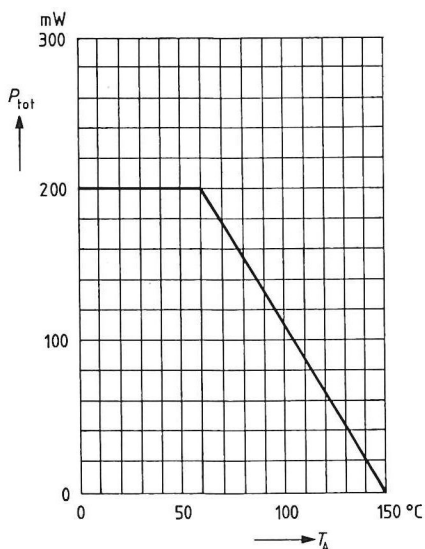
Gleichstromdaten		min	typ	max	
Drain-Source-Durchbruchspannung $I_D = 10\ \mu\text{A}$ , $-V_{G1S} = -V_{G2S} = 4\ \text{V}$	$V_{(BR)\ DS}$	20	—	—	V
Gate 1-Source-Durchbruchspannung $\pm I_{G1S} = 10\ \text{mA}$ , $V_{G2S} = V_{DS} = 0$	$\pm V_{(BR)\ G1SS}$	8,5	—	17	V
Gate 2-Source-Durchbruchspannung $\pm I_{G2S} = 10\ \text{mA}$ , $V_{G1S} = V_{DS} = 0$	$\pm V_{(BR)\ G2SS}$	8,5	—	17	V
Gate 1-Reststrom $\pm V_{G1S} = 5\ \text{V}$ , $V_{G2S} = V_{DS} = 0$	$\pm I_{G1SS}$	—	—	50	nA
Gate 2-Reststrom $\pm V_{G2S} = 5\ \text{V}$ , $V_{G1S} = V_{DS} = 0$	$\pm I_{G2SS}$	—	—	50	nA
Drainstrom $V_{DS} = 15\ \text{V}$ , $V_{G1S} = 0$ , $V_{G2S} = 4\ \text{V}$	$I_{DSS}$	2	—	20	mA
Gate 1-Source-Abschnürspannung $V_{DS} = 15\ \text{V}$ , $V_{G2S} = 4\ \text{V}$ , $I_D = 20\ \mu\text{A}$	$-V_{G1S\ (p)}$	—	—	2,7	V
Gate 2-Source-Abschnürspannung $V_{DS} = 15\ \text{V}$ , $V_{G1S} = 0$ , $I_D = 20\ \mu\text{A}$	$-V_{G2S\ (p)}$	—	—	2,7	V

Kenndaten ( $T_A = 25^\circ \text{C}$ )

## Wechselstromdaten

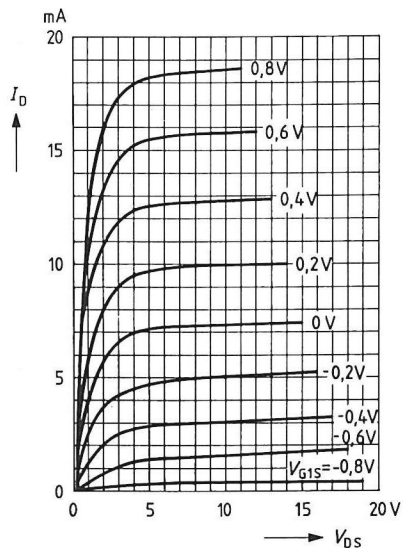
		min	typ	max	
Vorwärtssteilheit $V_{DS} = 15 \text{ V}$ , $I_D = 7 \text{ mA}$ , $V_{G2S} = 4 \text{ V}$ , $f = 1 \text{ kHz}$	$g_{fs}$	9,5	12	—	mS
Gate 1-Eingangskapazität $V_{DS} = 15 \text{ V}$ , $I_D = 7 \text{ mA}$ , $V_{G2S} = 4 \text{ V}$ , $f = 1 \text{ MHz}$	$C_{g1ss}$	—	1,8	—	pF
Gate 2-Eingangskapazität $V_{DS} = 15 \text{ V}$ , $I_D = 7 \text{ mA}$ , $V_{G2S} = 4 \text{ V}$ , $f = 1 \text{ MHz}$	$C_{g2ss}$	—	1	—	pF
Rückwirkungskapazität $V_{DS} = 15 \text{ V}$ , $I_D = 7 \text{ mA}$ , $V_{G2S} = 4 \text{ V}$ , $f = 1 \text{ MHz}$	$C_{dg1}$	—	25	—	fF
Ausgangskapazität $V_{DS} = 15 \text{ V}$ , $I_D = 7 \text{ mA}$ , $V_{G2S} = 4 \text{ V}$ , $f = 1 \text{ MHz}$	$C_{dss}$	—	0,8	—	pF
Leistungsverstärkung $V_{DS} = 15 \text{ V}$ , $I_D = 7 \text{ mA}$ $f = 200 \text{ MHz}$ , $G_G = 2 \text{ mS}$ , $G_L = 0,5 \text{ mS}$ (Meßschaltung 1)	$G_{ps}$	—	23	—	dB
$f = 800 \text{ MHz}$ , $G_G = 3,3 \text{ mS}$ , $G_L = 1 \text{ mS}$ (Meßschaltung 2)		—	16,5	—	dB
Rauschzahl $V_{DS} = 15 \text{ V}$ , $I_D = 7 \text{ mA}$ $f = 200 \text{ MHz}$ , $G_G = 2 \text{ mS}$ , $G_L = 0,5 \text{ mS}$ (Meßschaltung 1)	$F$	—	1,6	—	dB
$f = 800 \text{ MHz}$ , $G_G = 3,3 \text{ mS}$ , $G_L = 1 \text{ mS}$ (Meßschaltung 2)		—	2,8	—	dB
Regelumfang $V_{DS} = 15 \text{ V}$ , $V_{G2S} = 4 \dots -2 \text{ V}$ , $f = 800 \text{ MHz}$	$\Delta G_{ps}$	40	—	—	dB
Mischverstärkung $V_{DS} = 15 \text{ V}$ , $V_{G2S} = 4 \text{ V}$ , $f = 800 \text{ MHz}$ $f_{IF} = 36 \text{ MHz}$ , $2 \Delta f_{IF} = 5 \text{ MHz}$ $V_{osc} = 800 \text{ mV}$ (Meßschaltung 3)	$G_{psc}$	—	16	—	dB

**Gesamtverlustleistung**  $P_{\text{tot}} = f(T_A)$



**Ausgangskennlinienfeld**  $I_D = f(V_{DS})$

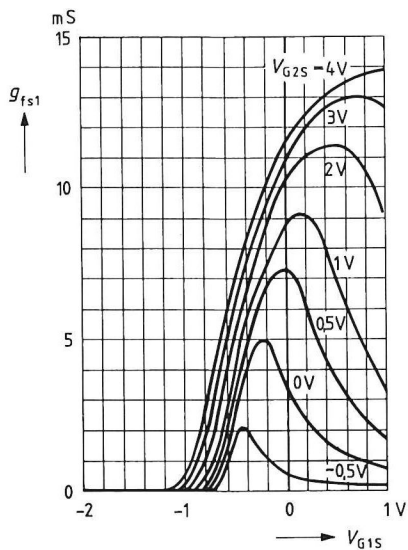
$V_{G2S} = 4 \text{ V}$



**Gate 1-Steilheit**  $g_{fs1} = f(V_{G1S})$

$V_{DS} = 15 \text{ V}$

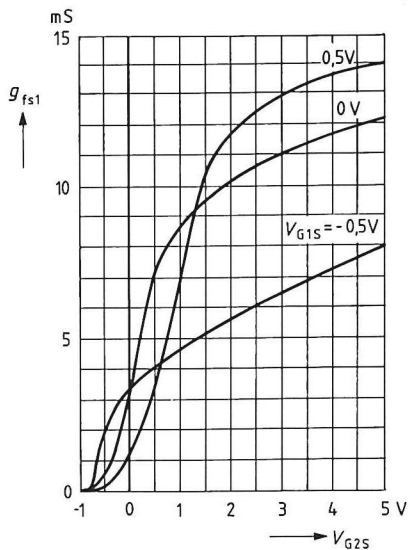
$I_{DSS} = 7 \text{ mA}$ ,  $f = 1 \text{ kHz}$



**Gate 1-Steilheit**  $g_{fs1} = f(V_{G2S})$

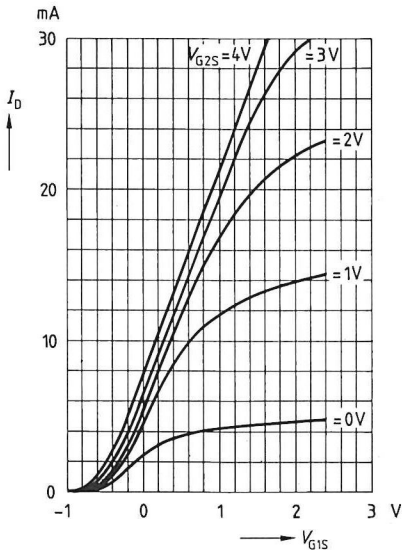
$V_{DS} = 15 \text{ V}$

$I_{DSS} = 7 \text{ mA}$ ,  $f = 1 \text{ kHz}$



**Drainstrom  $I_D = f(V_{G1S})$**

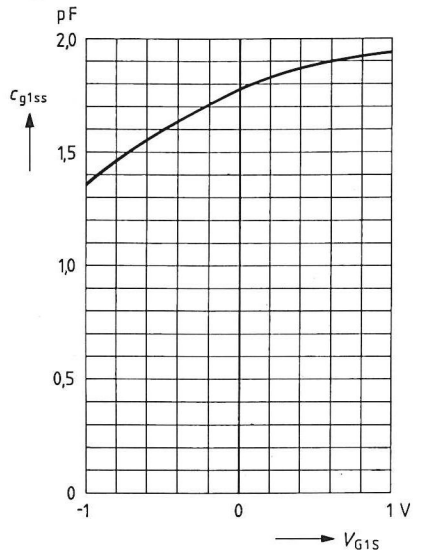
$V_{DS} = 15 \text{ V}$



**Gate 1-Eingangskapazität  $c_{g1ss} = f(V_{G1S})$**

$V_{G2S} = 4 \text{ V}, V_{DS} = 15 \text{ V}$

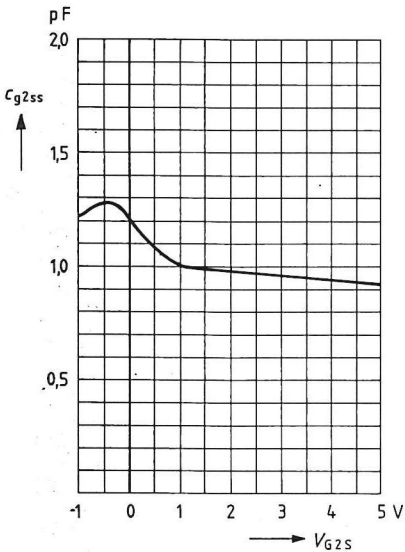
$I_{DSS} = 7 \text{ mA}, f = 1 \text{ MHz}$



**Gate 2-Eingangskapazität  $c_{g2ss} = f(V_{G2S})$**

$V_{G1S} = 0 \text{ V}, V_{DS} = 15 \text{ V}$

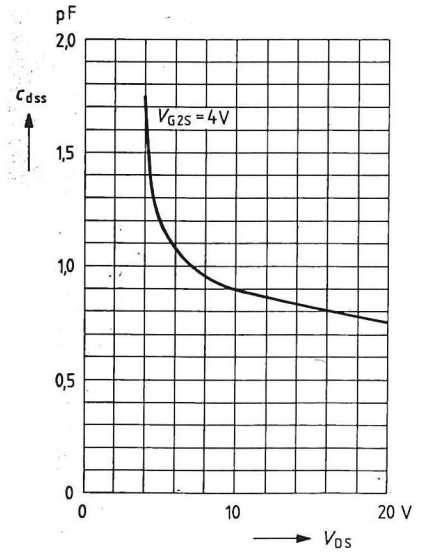
$I_{DSS} = 7 \text{ mA}, f = 1 \text{ MHz}$



**Ausgangskapazität  $c_{dss} = f(V_{DS})$**

$V_{G1S} = 0 \text{ V}, V_{G2S} = 4 \text{ V}$

$I_{DSS} = 7 \text{ mA}, f = 1 \text{ MHz}$

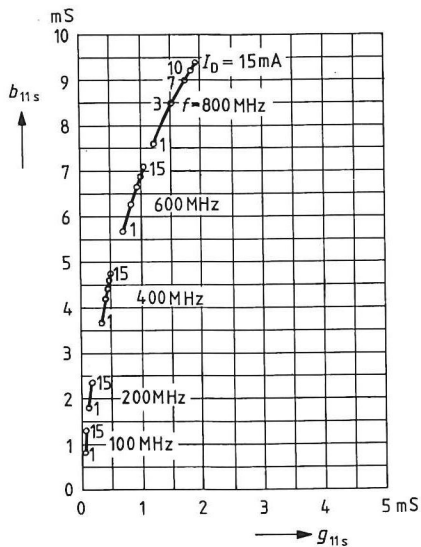




**Gate 1-Eingangsleitwert  $y_{11s}$**

$V_{DS} = 15 \text{ V}$ ,  $V_{G2S} = 4 \text{ V}$

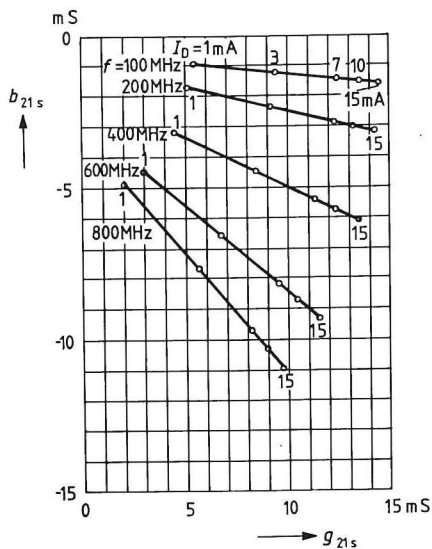
(Sourceschaltung)



**Gate 1-Steilheit  $y_{21s}$**

$V_{DS} = 15 \text{ V}$ ,  $V_{G2S} = 4 \text{ V}$

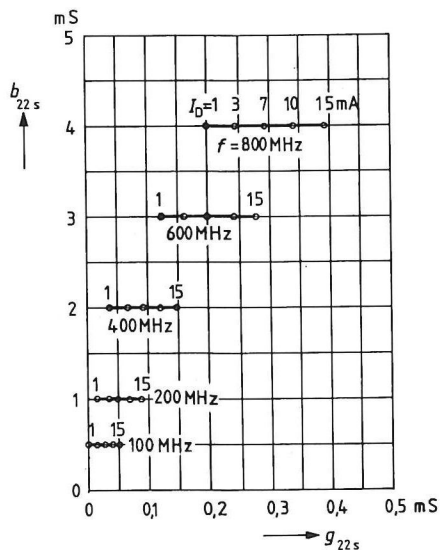
(Sourceschaltung)

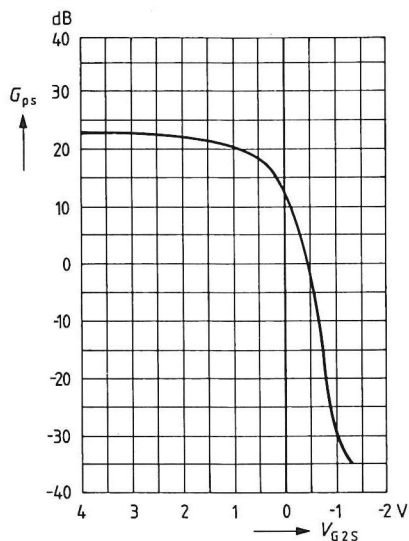
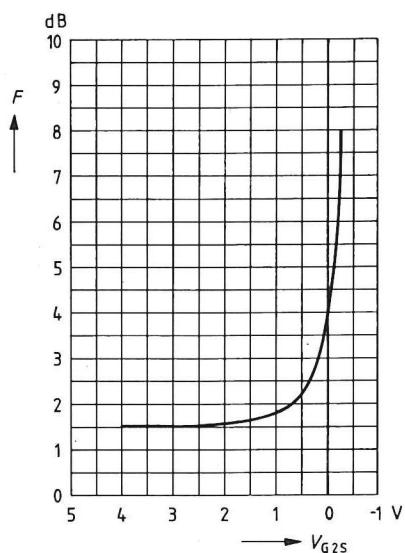
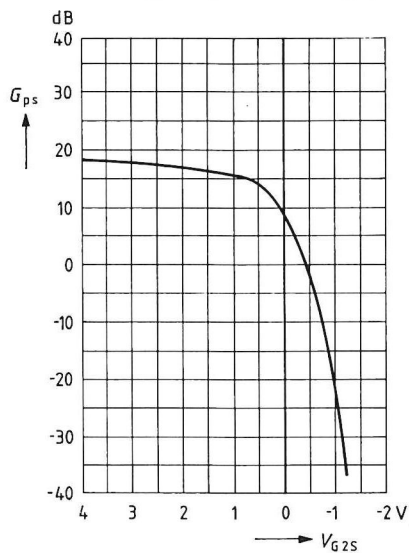
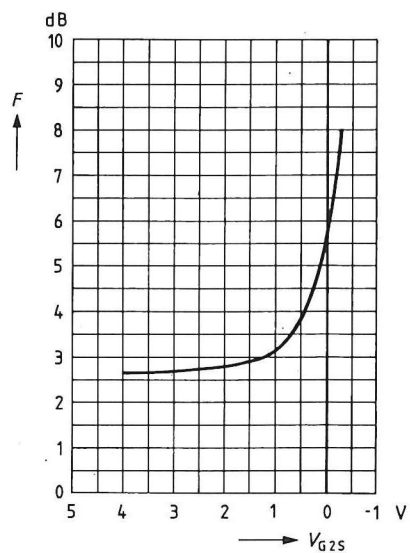


**Ausgangsleitwert  $y_{22s}$**

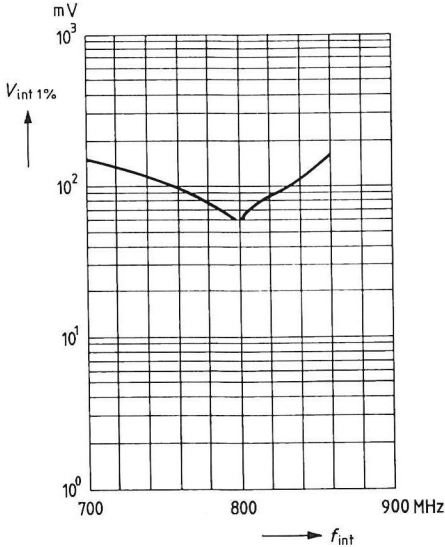
$V_{DS} = 15 \text{ V}$ ,  $V_{G2S} = 4 \text{ V}$

(Sourceschaltung)

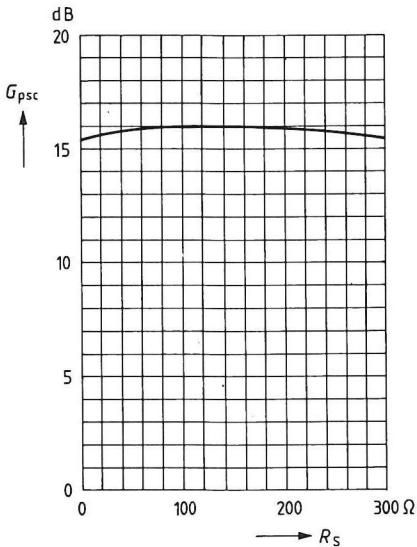


**Leistungsverstärkung  $G_{ps} = f(V_{G2S})$**  $V_{DS} = 15 \text{ V}$ ,  $V_{G1S} = 0$ ,  $I_{DSS} = 7 \text{ mA}$  $f = 200 \text{ MHz}$  (s. Meßschaltung 1)**Rauschmaß  $F = f(V_{G2S})$**  $V_{DS} = 15 \text{ V}$ ,  $V_{G1S} = 0$ ,  $I_{DSS} = 7 \text{ mA}$  $f = 200 \text{ MHz}$  (s. Meßschaltung 1)**Leistungsverstärkung  $G_{ps} = f(V_{G2S})$**  $V_{DS} = 15 \text{ V}$ ,  $V_{G1S} = 0$ ,  $I_{DSS} = 7 \text{ mA}$  $f = 800 \text{ MHz}$ ,  $R_S = 0$  (s. Meßschaltung 2)**Rauschmaß  $F = f(V_{G2S})$**  $V_{DS} = 15 \text{ V}$ ,  $V_{G1S} = 0$ ,  $I_{DSS} = 7 \text{ mA}$  $f = 800 \text{ MHz}$ ,  $R_S = 0$  (s. Meßschaltung 2)

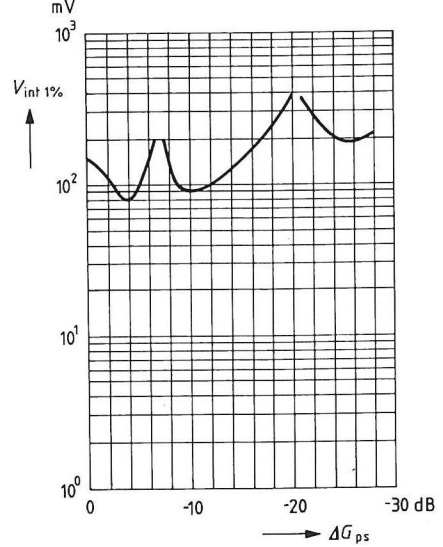
**1%-KM-Störspannung**  $V_{\text{int}(1\%)} = f(f_{\text{int}})^{1)}$   
 $V_{\text{DS}} = 15 \text{ V}$ ,  $V_{\text{G2S}} = 4 \text{ V}$ ,  $V_{\text{G1S}} = 1 \text{ V}$   
 $f = 800 \text{ MHz}$  (s. Meßschaltung 2)



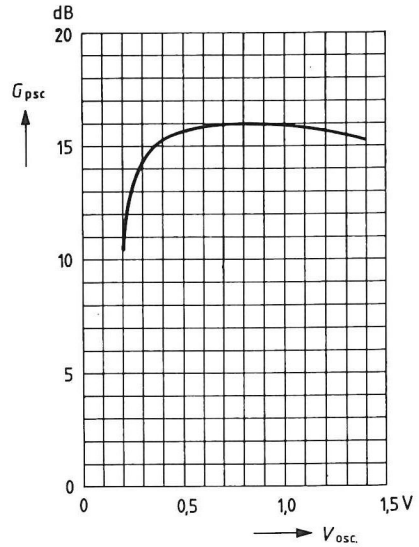
**Mischverstärkung**  $G_{\text{psc}} = f(R_{\text{S}})$   
 $f = 800 \text{ MHz}$ ,  $f_{\text{osc}} = 836 \text{ MHz}$ ,  $V_{\text{osc}} = 800 \text{ mV}$   
 $V_{\text{DS}} = 15 \text{ V}$ ,  $V_{\text{G2S}} = 4 \text{ V}$ ,  $I_{\text{DSS}} = 7 \text{ mA}$   
(s. Meßschaltung 3)



**1%-KM-Störspannung**  $V_{\text{int}(1\%)} = f(\Delta G_{\text{ps}})^{1)}$   
 $V_{\text{DS}} = 15 \text{ V}$ ,  $V_{\text{G1S}} = 1 \text{ V}$ ,  $f = 800 \text{ MHz}$   
 $f_{\text{int}} = 700 \text{ MHz}$  (s. Meßschaltung 2)



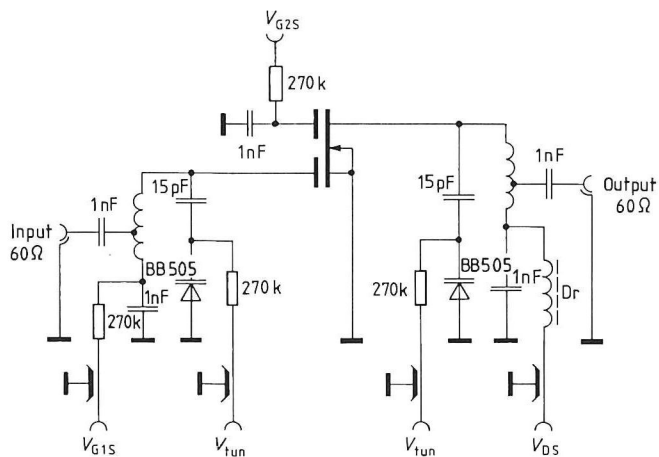
**Mischverstärkung**  $G_{\text{psc}} = f(V_{\text{osc}})$   
 $f = 800 \text{ MHz}$ ,  $f_{\text{osc}} = 836 \text{ MHz}$ ,  $R_{\text{S}} = 150 \Omega$   
 $V_{\text{DS}} = 15 \text{ V}$ ,  $V_{\text{G2S}} = 4 \text{ V}$ ,  $I_{\text{DSS}} = 7 \text{ mA}$   
(s. Meßschaltung 3)



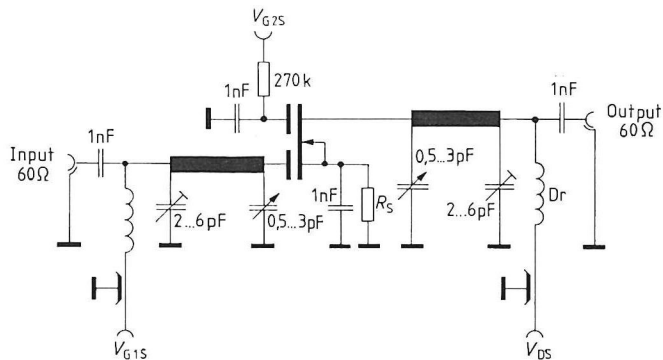
<sup>1)</sup> Fußnote s. Seite 200

**Meßschaltung 1 für Leistungsverstärkung und Rauschen**

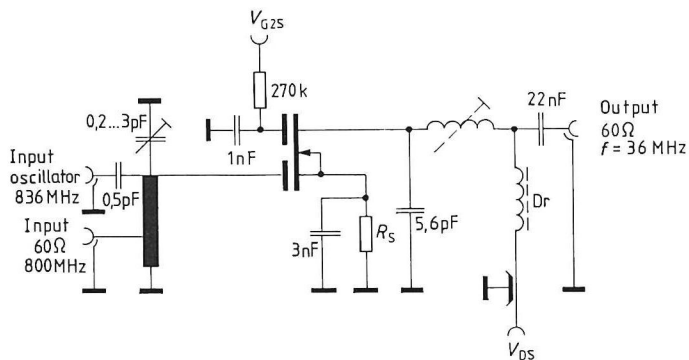
$f = 200 \text{ MHz}$ ,  $G_G = 2 \text{ mS}$ ,  $G_L = 0,5 \text{ mS}$

**Meßschaltung 2 für Leistungsverstärkung, Rauschen und Kreuzmodulation**

$f = 800 \text{ MHz}$ ,  $G_G = 3,3 \text{ mS}$ ,  $G_L = 1,0 \text{ mS}$



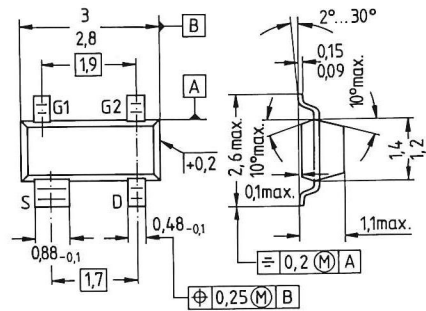
## Meßschaltung 3 für Mischverstärkung

 $f = 800/36 \text{ MHz}$ 

<sup>1)</sup>  $V_{Int} (1\%)$  ist der Effektivwert der halben EMK (Klemmenspannung bei Anpassung) eines 100% sinusmodulierten Fernsehträgers bei einem Generator-Innenwiderstand von 60 Ω, der auf dem Nutzträger 1% Amplituden-Modulation verursacht.

- Für Vor- und Mischstufen in UKW- und VHF-TV-Tunern
- Hohe Aussteuerfähigkeit
- Hohe Steilheit
- Kunststoff-Miniaturgehäuse für Oberflächenmontage (SMD)

SOT 143



Typ	BF 993	
Best.-Nr.	Schüttgut: Q62702-F899	Gurt: Q62702-F1018
Stempel	ME	

Grenzdaten

Drain-Source-Spannung	$V_{DS}$	20	V
Drainstrom	$I_D$	50	mA
Gate 1/Gate 2-Source-Spitzenstrom	$\pm I_{G1/2SM}$	10	mA
Gesamtverlustleistung	$P_{tot}$	200	mW
$T_A \leq 60^\circ\text{C}$			
Lagertemperatur	$T_{stg}$	- 55... + 150	$^\circ\text{C}$
Kanaltemperatur	$T_{Ch}$	150	$^\circ\text{C}$

Wärmewiderstand

Sperrschicht-Umgebung	$R_{thJA}$	$\leq 450$	K/W <sup>1)</sup>
-----------------------	------------	------------	-------------------

<sup>1)</sup> Bei Montage auf AL<sub>2</sub>O<sub>3</sub>-Keramiksubstrat 16,7 mm x 15 mm x 0,7 mm

**Kenndaten** ( $T_A = 25^\circ\text{C}$ )

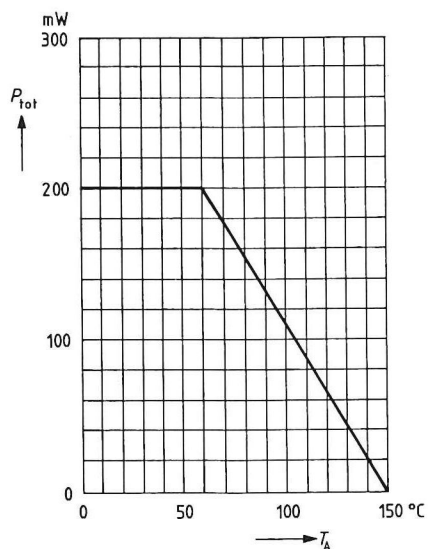
<b>Gleichstromdaten</b>		<b>min</b>	<b>typ</b>	<b>max</b>	
Drain-Source-Durchbruchspannung $I_D = 10\ \mu\text{A}$ , $-V_{G1S} = -V_{G2S} = 4\ \text{V}$	$V_{(BR)\ DS}$	20	—	—	V
Gate 1-Source-Durchbruchspannung $\pm I_{G1S} = 10\ \text{mA}$ , $V_{G2S} = V_{DS} = 0$	$\pm V_{(BR)\ G1SS}$	8,5	—	17	V
Gate 2-Source-Durchbruchspannung $\pm I_{G2S} = 10\ \text{mA}$ , $V_{G1S} = V_{DS} = 0$	$\pm V_{(BR)\ G2SS}$	8,5	—	17	V
Gate 1-Reststrom $\pm V_{G1S} = 5\ \text{V}$ , $V_{G2S} = V_{DS} = 0$	$\pm I_{G1SS}$	—	—	50	nA
Gate 2-Reststrom $\pm V_{G2S} = 5\ \text{V}$ , $V_{G1S} = V_{DS} = 0$	$\pm I_{G2SS}$	—	—	50	nA
Drainstrom $V_{DS} = 15\ \text{V}$ , $V_{G1S} = 0$ , $V_{G2S} = 4\ \text{V}$	$I_{DSS}$	6	—	40	mA
Gate 1-Source-Abschnürspannung $V_{DS} = 15\ \text{V}$ , $V_{G2S} = 4\ \text{V}$ , $I_D = 20\ \mu\text{A}$	$-V_{G1S\ (p)}$	—	—	3,5	V
Gate 2-Source-Abschnürspannung $V_{DS} = 15\ \text{V}$ , $V_{G1S} = 0$ , $I_D = 20\ \mu\text{A}$	$-V_{G2S\ (p)}$	—	—	3,0	V

**Kenndaten** ( $T_A = 25^\circ \text{C}$ )

<b>Wechselstromdaten</b>		<b>min</b>	<b>typ</b>	<b>max</b>	
Vorwärtssteilheit $V_{DS} = 15 \text{ V}, I_D = 10 \text{ mA}, V_{G2S} = 4 \text{ V}, f = 1 \text{ kHz}$	$g_{fs}$	16	25	—	mS
Gate 1-Eingangskapazität $V_{DS} = 15 \text{ V}, I_D = 10 \text{ mA}, V_{G2S} = 4 \text{ V}, f = 1 \text{ MHz}$	$C_{g1ss}$	—	6	—	pF
Gate 2-Eingangskapazität $V_{DS} = 15 \text{ V}, I_D = 10 \text{ mA}, V_{G2S} = 4 \text{ V}, f = 1 \text{ MHz}$	$C_{g2ss}$	—	2,5	—	pF
Rückwirkungskapazität $V_{DS} = 15 \text{ V}, I_D = 10 \text{ mA}, V_{G2S} = 4 \text{ V}, f = 1 \text{ MHz}$	$C_{dg1}$	—	50	—	fF
Ausgangskapazität $V_{DS} = 15 \text{ V}, I_D = 10 \text{ mA}, V_{G2S} = 4 \text{ V}, f = 1 \text{ MHz}$	$C_{dss}$	—	2,5	—	pF
Leistungsverstärkung $V_{DS} = 15 \text{ V}, I_D = 10 \text{ mA}$ $f = 200 \text{ MHz}, G_G = 2 \text{ mS}, G_L = 0,5 \text{ mS}$ $2\Delta f = 12 \text{ MHz}$ (Meßschaltung)	$G_{ps}$	—	25	—	dB
Rauschzahl $V_{DS} = 15 \text{ V}, I_D = 10 \text{ mA}$ $f = 200 \text{ MHz}, G_G = 2 \text{ mS}, G_L = 0,5 \text{ mS}$ (Meßschaltung)	$F$	—	1,5	—	dB

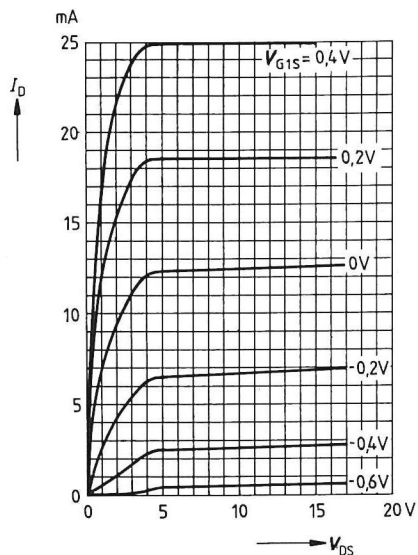


**Gesamtverlustleistung  $P_{\text{tot}} = f(T_A)$**



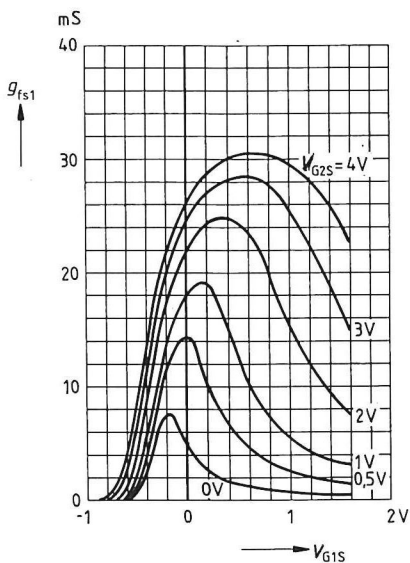
**Ausgangskennlinienfeld  $I_D = f(V_{\text{DS}})$**

$V_{\text{G2S}} = 4 \text{ V}$



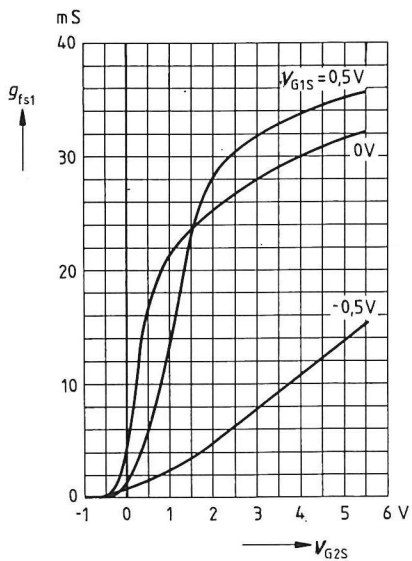
**Gate 1-Steilheit  $g_{\text{fs1}} = f(V_{\text{G1S}})$**

$V_{\text{DS}} = 15 \text{ V}, I_{\text{DSS}} = 10 \text{ mA}, f = 1 \text{ kHz}$



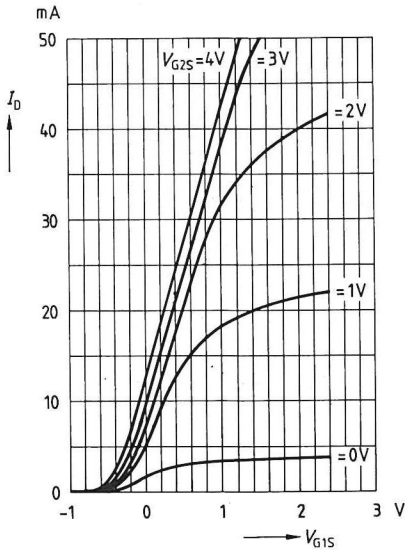
**Gate 1-Steilheit  $g_{\text{fs1}} = f(V_{\text{G2S}})$**

$V_{\text{DS}} = 15 \text{ V}, I_{\text{DSS}} = 10 \text{ mA}, f = 1 \text{ kHz}$



**Drainstrom**  $I_D = f(V_{G1S})$

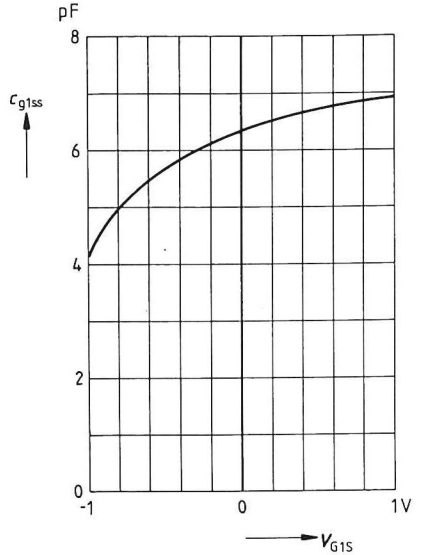
$V_{DS} = 15 \text{ V}$



**Gate 1-Eingangskapazität**  $c_{g1ss} = f(V_{G1S})$

$V_{G2S} = 4 \text{ V}, V_{DS} = 15 \text{ V}$

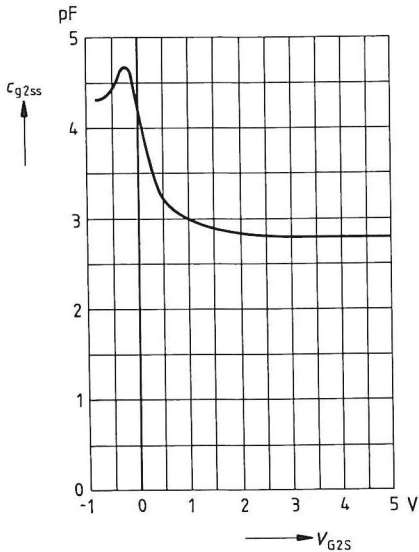
$I_{DSS} = 10 \text{ mA}, f = 1 \text{ MHz}$



**Gate 2-Eingangskapazität**  $c_{g2ss} = f(V_{G2S})$

$V_{G1S} = 0 \text{ V}, V_{DS} = 15 \text{ V}$

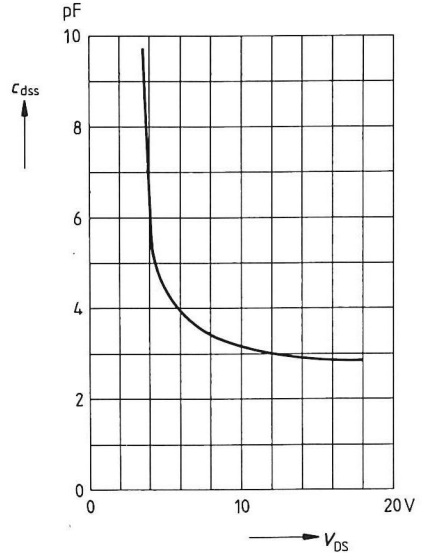
$I_{DSS} = 10 \text{ mA}, f = 1 \text{ MHz}$



**Ausgangskapazität**  $c_{dss} = f(V_{DS})$

$V_{G1S} = 0 \text{ V}, V_{G2S} = 4 \text{ V}$

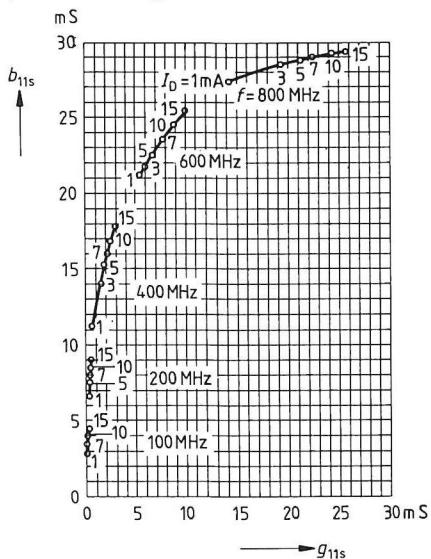
$I_{DSS} = 10 \text{ mA}, f = 1 \text{ MHz}$



### Gate 1-Eingangsleitwert $y_{11s}$

$V_{DS} = 15 \text{ V}$ ,  $V_{G2S} = 4 \text{ V}$

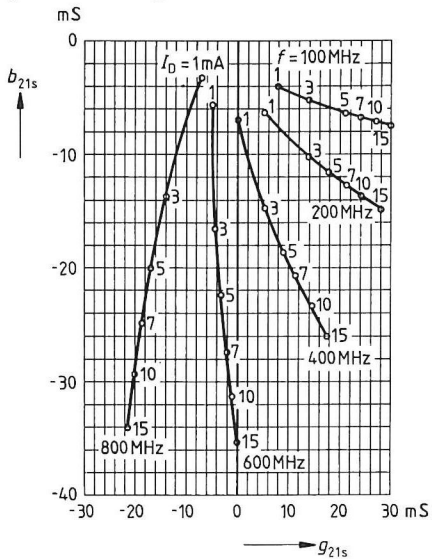
(Sourceschaltung)



### Gate 1-Steilheit $y_{21s}$

$V_{DS} = 15 \text{ V}$ ,  $V_{G2S} = 4 \text{ V}$

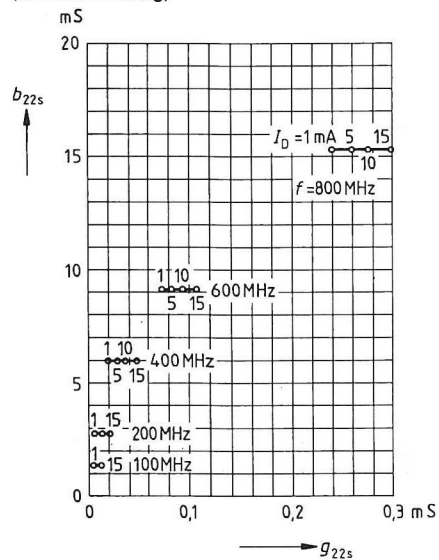
(Sourceschaltung)



### Ausgangsleitwert $y_{22s}$

$V_{DS} = 15 \text{ V}$ ,  $V_{G2S} = 4 \text{ V}$

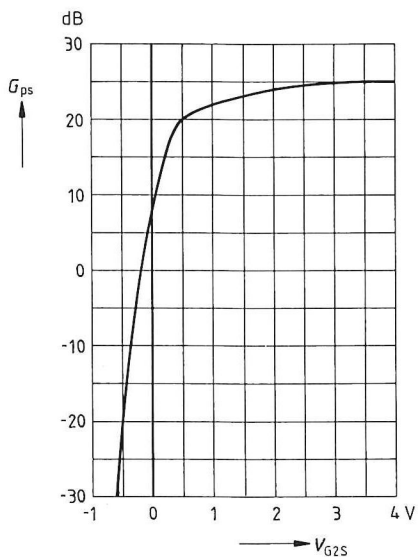
(Sourceschaltung)



**Leistungsverstärkung  $G_{ps} = f(V_{G2S})$**

$$V_{DS} = 15 \text{ V}, V_{G1S} = 0 \text{ V}, I_{DSS} = 10 \text{ mA}$$

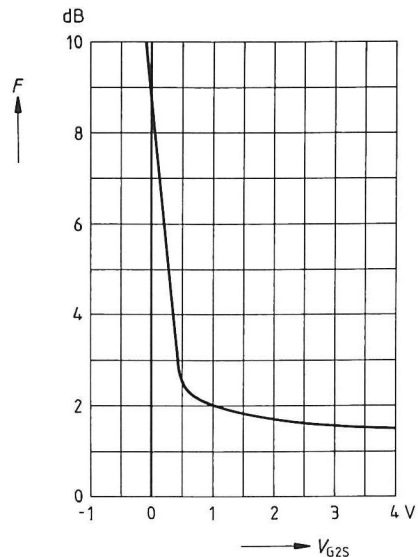
$f = 200 \text{ MHz}$  (s. Meßschaltung 1)



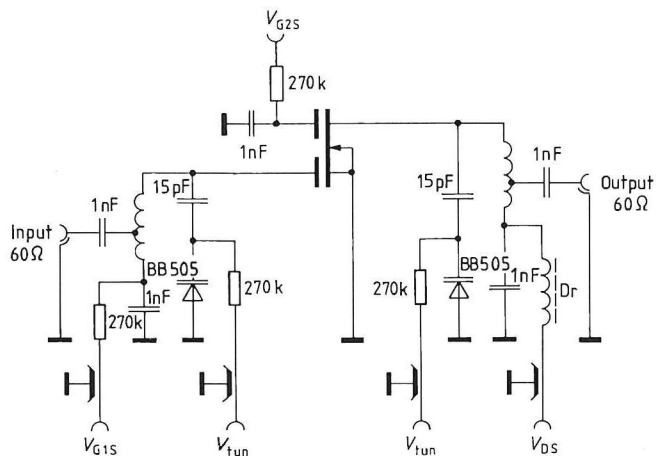
**Rauschzahl  $F = f(V_{G2S})$**

$$V_{DS} = 15 \text{ V}, V_{G1S} = 0 \text{ V}, I_{DSS} = 10 \text{ mA}$$

$f = 200 \text{ MHz}$  (s. Meßschaltung 1)

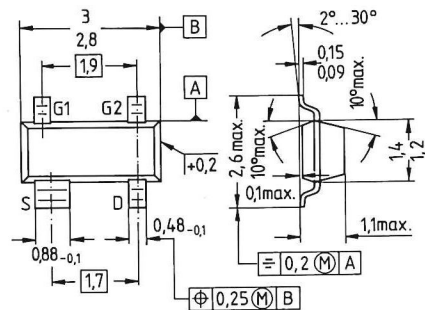


### Meßschaltung für Leistungsverstärkung und Rauschen

 $f = 200 \text{ MHz}, G_G = 2 \text{ mS}, G_L = 0,5 \text{ mS}$ 

- Für Anwendungen in VHF-Vor- und Mischstufen mit großem Abstimm-bereich (CATV-Tuner)
- Kunststoff-Miniaturgehäuse für Oberflächenmontage (SMD)

SOT 143



Typ	BF 994 S	
Best.-Nr.	Schüttgut: Q62702-F963	Gurt: Q62702-F1020
Stempel	MG	

Grenzdaten

Drain-Source-Spannung	$V_{DS}$	20	V
Drainstrom	$I_D$	30	mA
Gate 1/Gate 2-Source-Spitzenstrom	$\pm I_{G1/2SM}$	10	mA
Gesamtverlustleistung	$P_{tot}$	200	mW
$T_A \leq 60^\circ\text{C}$			
Lagertemperatur	$T_{stg}$	$-55 \dots +150$	$^\circ\text{C}$
Kanaltemperatur	$T_{Ch}$	150	$^\circ\text{C}$

Wärmewiderstand			
Sperrschicht-Umgebung	$R_{thJA}$	$\leq 450$	$\text{K/W}^{1)}$

<sup>1)</sup> Bei Montage auf  $\text{Al}_2\text{O}_3$ -Keramiks substrat 16,7 mm  $\times$  15 mm  $\times$  0,7 mm

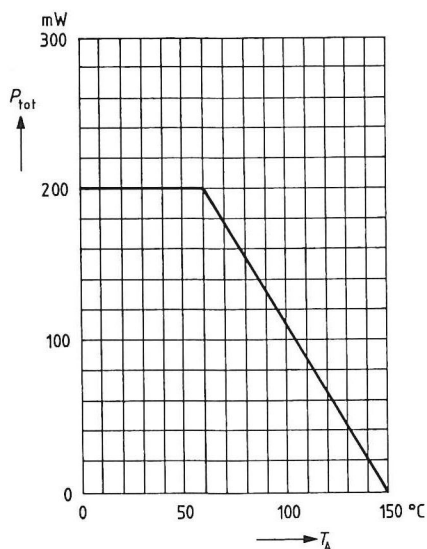
Kenndaten ( $T_A = 25^\circ\text{C}$ )

Gleichstromdaten		min	typ	max	
Drain-Source-Durchbruchspannung $I_D = 10\ \mu\text{A}$ , $-V_{G1S} = -V_{G2S} = 4\ \text{V}$	$V_{(BR)\ DS}$	20	—	—	V
Gate 1-Source-Durchbruchspannung $\pm I_{G1S} = 10\ \text{mA}$ , $V_{G2S} = V_{DS} = 0$	$\pm V_{(BR)\ G1SS}$	8,5	—	17	V
Gate 2-Source-Durchbruchspannung $\pm I_{G2S} = 10\ \text{mA}$ , $V_{G1S} = V_{DS} = 0$	$\pm V_{(BR)\ G2SS}$	8,5	—	17	V
Gate 1-Reststrom $\pm V_{G1S} = 5\ \text{V}$ , $V_{G2S} = V_{DS} = 0$	$\pm I_{G1SS}$	—	—	50	nA
Gate 2-Reststrom $\pm V_{G2S} = 5\ \text{V}$ , $V_{G1S} = V_{DS} = 0$	$\pm I_{G2SS}$	—	—	50	nA
Drainstrom $V_{DS} = 15\ \text{V}$ , $V_{G1S} = 0$ , $V_{G2S} = 4\ \text{V}$	$I_{DSS}$	2	—	20	mA
Gate 1-Source-Abschnürspannung $V_{DS} = 15\ \text{V}$ , $V_{G2S} = 4\ \text{V}$ , $I_D = 20\ \mu\text{A}$	$-V_{G1S\ (p)}$	—	—	2,5	V
Gate 2-Source-Abschnürspannung $V_{DS} = 15\ \text{V}$ , $V_{G1S} = 0$ , $I_D = 20\ \mu\text{A}$	$-V_{G2S\ (p)}$	—	—	2,0	V

## Wechselstromdaten

Vorwärtssteilheit $V_{DS} = 15\ \text{V}$ , $I_D = 10\ \text{mA}$ , $V_{G2S} = 4\ \text{V}$ , $f = 1\ \text{kHz}$	$g_{fs}$	15	18	—	mS
Gate 1-Eingangskapazität $V_{DS} = 15\ \text{V}$ , $I_D = 10\ \text{mA}$ , $V_{G2S} = 4\ \text{V}$ , $f = 1\ \text{MHz}$	$C_{g1ss}$	—	2,5	—	pF
Gate 2-Eingangskapazität $V_{DS} = 15\ \text{V}$ , $I_D = 10\ \text{mA}$ , $V_{G2S} = 4\ \text{V}$ , $f = 1\ \text{MHz}$	$C_{g2ss}$	—	1,2	—	pF
Rückwirkungskapazität $V_{DS} = 15\ \text{V}$ , $I_D = 10\ \text{mA}$ , $V_{G2S} = 4\ \text{V}$ , $f = 1\ \text{MHz}$	$C_{dg1}$	—	25	—	fF
Ausgangskapazität $V_{DS} = 15\ \text{V}$ , $I_D = 10\ \text{mA}$ , $V_{G2S} = 4\ \text{V}$ , $f = 1\ \text{MHz}$	$C_{dss}$	—	1	—	pF
Leistungsverstärkung $V_{DS} = 15\ \text{V}$ , $I_D = 10\ \text{mA}$ $f = 200\ \text{MHz}$ , $G_G = 2\ \text{mS}$ , $G_L = 0,5\ \text{mS}$ (Meßschaltung)	$G_{ps}$	—	25	—	dB
Rauschzahl $V_{DS} = 15\ \text{V}$ , $I_D = 10\ \text{mA}$ $f = 200\ \text{MHz}$ , $G_G = 2\ \text{mS}$ , $G_L = 0,5\ \text{mS}$ (Meßschaltung)	$F$	—	1	—	dB
Regelumfang $V_{DS} = 15\ \text{V}$ , $V_{G2S} = 4 \dots -2\ \text{V}$ , $f = 200\ \text{MHz}$ (Meßschaltung)	$\Delta G_{ps}$	50	—	—	dB

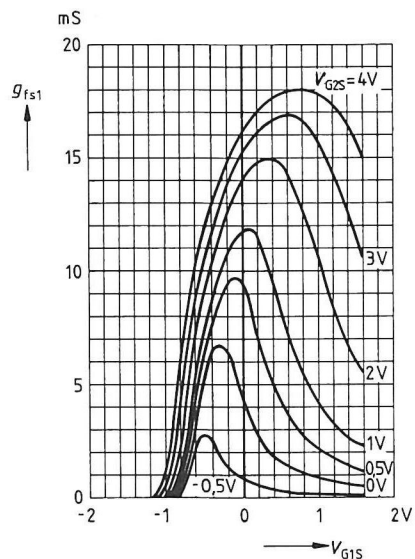
**Gesamtverlustleistung  $P_{\text{tot}} = f(T_A)$**



**Gate 1-Steilheit  $g_{fs1} = f(V_{G1S})$**

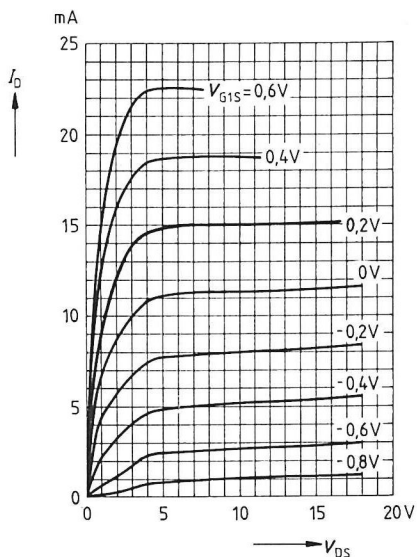
$V_{DS} = 15 \text{ V}$

$I_{DSS} = 10 \text{ mA}$ ,  $f = 1 \text{ kHz}$



**Ausgangskennlinienfeld  $I_D = f(V_{DS})$**

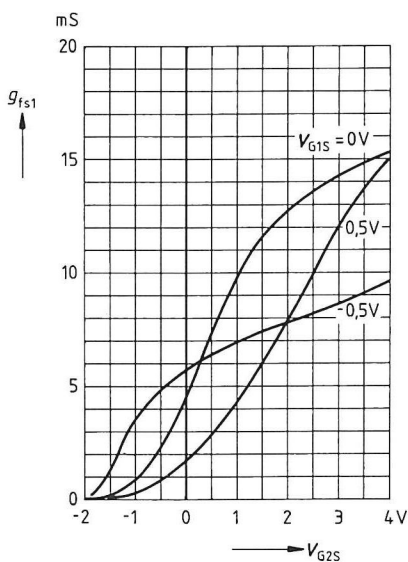
$V_{G2S} = 4 \text{ V}$



**Gate 1-Steilheit  $g_{fs1} = f(V_{G2S})$**

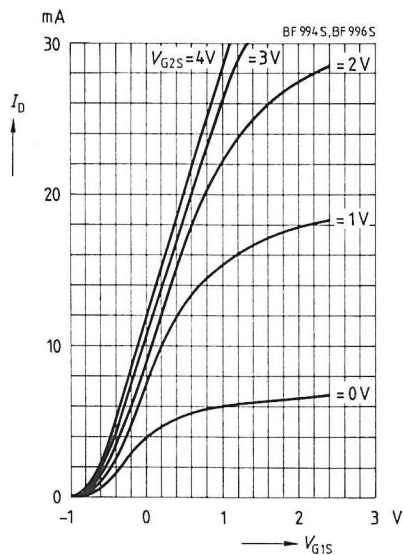
$V_{DS} = 15 \text{ V}$

$I_{DSS} = 10 \text{ mA}$ ,  $f = 1 \text{ kHz}$



**Drainstrom  $I_D = f(V_{G1S})$**

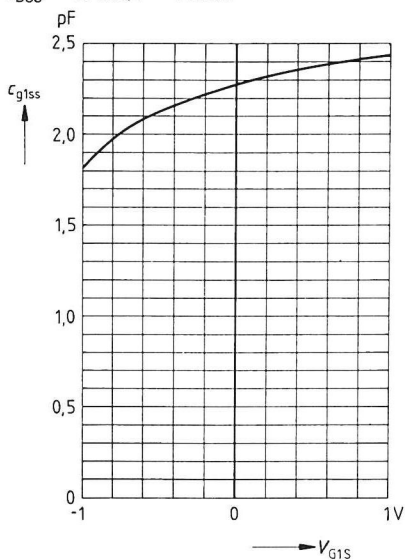
$V_{DS} = 15 \text{ V}$



**Gate 1-Eingangskapazität  $c_{g1ss} = f(V_{G1S})$**

$V_{G2S} = 4 \text{ V}$ ,  $V_{DS} = 15 \text{ V}$

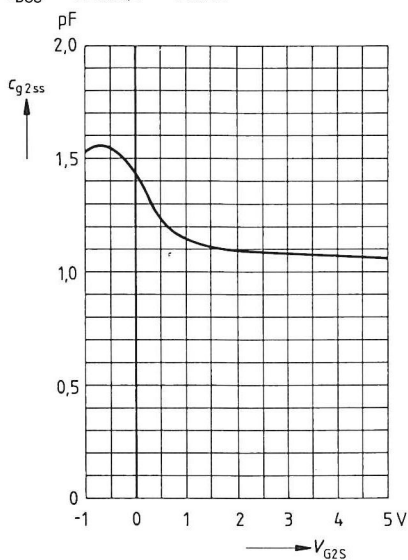
$I_{DSS} = 10 \text{ mA}$ ,  $f = 1 \text{ MHz}$



**Gate 2-Eingangskapazität  $c_{g2ss} = f(V_{G2S})$**

$V_{G1S} = 0 \text{ V}$ ,  $V_{DS} = 15 \text{ V}$

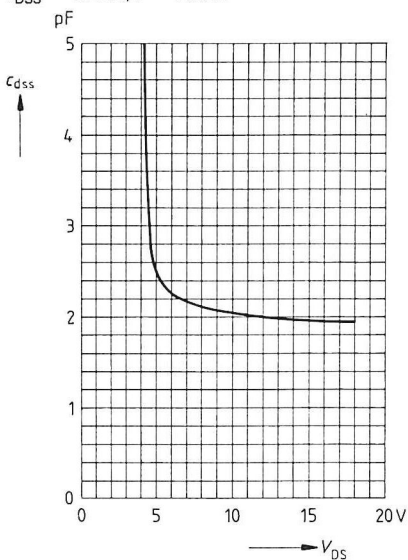
$I_{DSS} = 10 \text{ mA}$ ,  $f = 1 \text{ MHz}$



**Ausgangskapazität  $c_{dss} = f(V_{DS})$**

$V_{G1S} = 0 \text{ V}$ ,  $V_{G2S} = 4 \text{ V}$

$I_{DSS} = 10 \text{ mA}$ ,  $f = 1 \text{ MHz}$

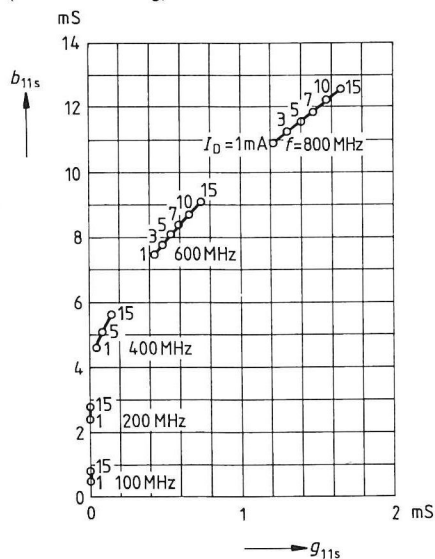




### Gate 1-Eingangsleitwert $y_{11s}$

$V_{DS} = 15 \text{ V}$ ,  $V_{G2S} = 4 \text{ V}$

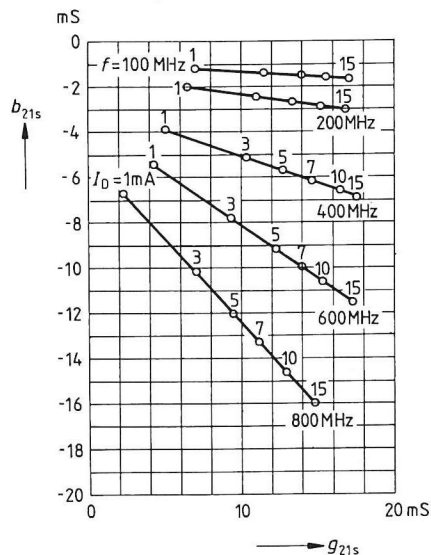
(Sourceschaltung)



### Gate 1-Steilheit $y_{21s}$

$V_{DS} = 15 \text{ V}$ ,  $V_{G2S} = 4 \text{ V}$

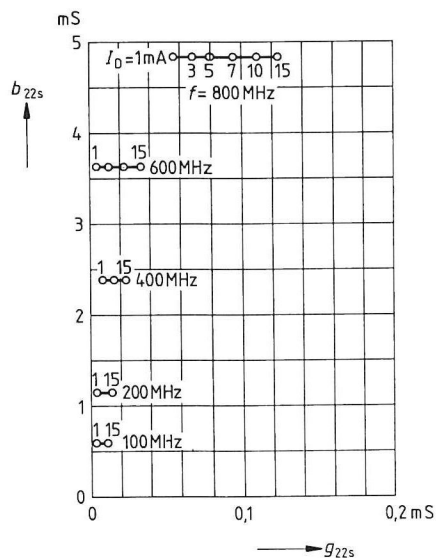
(Sourceschaltung)



### Ausgangsleitwert $y_{22s}$

$V_{DS} = 15 \text{ V}$ ,  $V_{G2S} = 4 \text{ V}$

(Sourceschaltung)

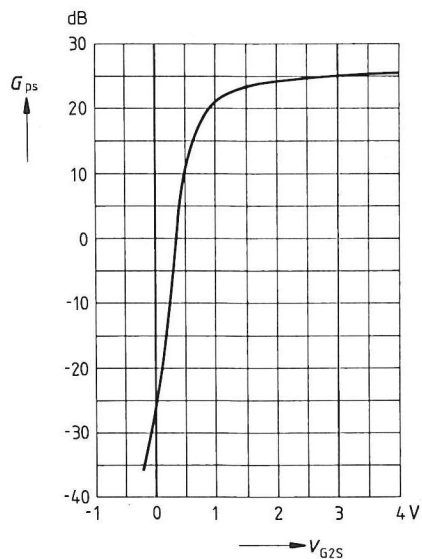


# Leistungsverstärkung $G_{ps} = f(V_{G2S})$

$V_{DS} = 15 \text{ V}, V_{G1S} = 0 \text{ V}$

$I_{DSS} = 10 \text{ mA}, f = 200 \text{ MHz}$

(s. Meßschaltung)

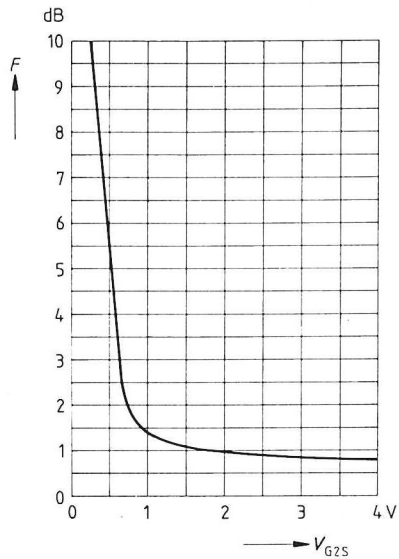


# Rauschzahl $F = f(V_{G2S})$

$V_{DS} = 15 \text{ V}, V_{G1S} = 0 \text{ V}$

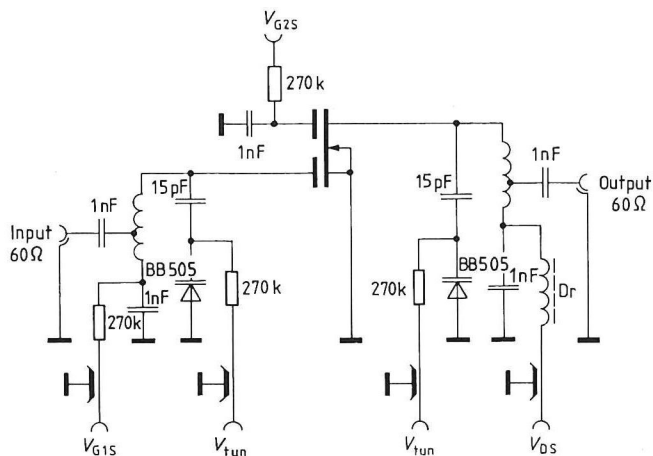
$I_{DSS} = 10 \text{ mA}, f = 200 \text{ MHz}$

(s. Meßschaltung)



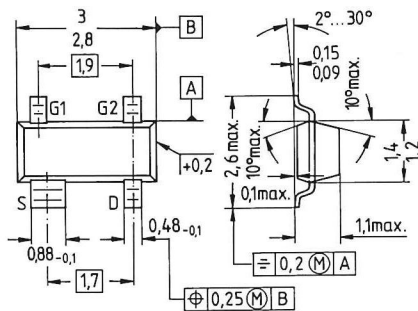
## Meßschaltung für Leistungsverstärkung und Rauschen

$f = 200 \text{ MHz}, G_G = 2 \text{ mS}, G_L = 0,5 \text{ mS}$



- Für Vor- und Mischstufen in UKW- und VHF-TV-Tunern
- Kunststoff-Miniaturgehäuse für Oberflächenmontage (SMD)

SOT 143



Typ	BF 995	
Best.-Nr.	Schüttgut: Q62702-F872	Gurt: Q62702-F936
Stempel	MB	

Grenzdaten

Drain-Source-Spannung	$V_{DS}$	20	V
Drainstrom	$I_D$	30	mA
Gate 1/Gate 2-Source-Spitzenstrom	$\pm I_{G1/2SM}$	10	mA
Gesamtverlustleistung	$P_{tot}$	200	mW
$T_A \leq 60^\circ C$			
Lagertemperatur	$T_{stg}$	- 55... + 150	$^\circ C$
Kanaltemperatur	$T_{Ch}$	150	$^\circ C$

Wärmewiderstand			
Sperrschicht-Umgebung	$R_{thJA}$	$\leq 450$	K/W <sup>1)</sup>

<sup>1)</sup> Bei Montage auf AL<sub>2</sub>O<sub>3</sub>-Keramiksubstrat 16,7 mm × 15 mm × 0,7 mm

Kenndaten ( $T_A = 25^\circ\text{C}$ )

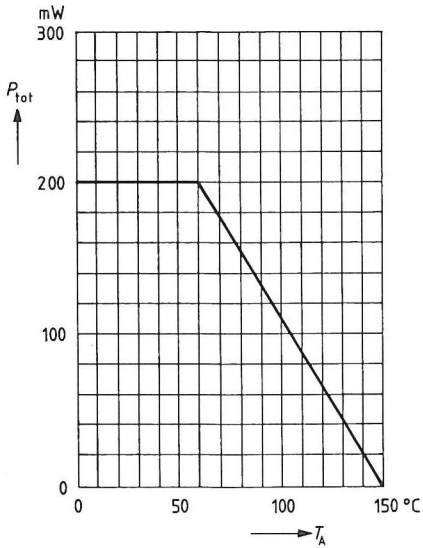
## Gleichstromdaten

		min	typ	max	
Drain-Source-Durchbruchspannung $I_D = 10\ \mu\text{A}$ , $-V_{G1S} = -V_{G2S} = 4\ \text{V}$	$V_{(BR)\ DS}$	20	—	—	V
Gate 1-Source-Durchbruchspannung $\pm I_{G1S} = 10\ \text{mA}$ , $V_{G2S} = V_{DS} = 0$	$\pm V_{(BR)\ G1SS}$	8,5	—	17	V
Gate 2-Source-Durchbruchspannung $\pm I_{G2S} = 10\ \text{mA}$ , $V_{G1S} = V_{DS} = 0$	$\pm V_{(BR)\ G2SS}$	8,5	—	17	V
Gate 1-Reststrom $\pm V_{G1S} = 5\ \text{V}$ , $V_{G2S} = V_{DS} = 0$	$\pm I_{G1SS}$	—	—	50	nA
Gate 2-Reststrom $\pm V_{G2S} = 5\ \text{V}$ , $V_{G1S} = V_{DS} = 0$	$\pm I_{G2SS}$	—	—	50	nA
Drainstrom $V_{DS} = 15\ \text{V}$ , $V_{G1S} = 0$ , $V_{G2S} = 4\ \text{V}$	$I_{DSS}$	4	—	20	mA
Gate 1-Source-Abschnürspannung $V_{DS} = 15\ \text{V}$ , $V_{G2S} = 4\ \text{V}$ , $I_D = 20\ \mu\text{A}$	$-V_{G1S\ (p)}$	—	—	3,5	V
Gate 2-Source-Abschnürspannung $V_{DS} = 15\ \text{V}$ , $V_{G1S} = 0$ , $I_D = 20\ \mu\text{A}$	$-V_{G2S\ (p)}$	—	—	3,5	V

**Kenndaten** ( $T_A = 25^\circ\text{C}$ )

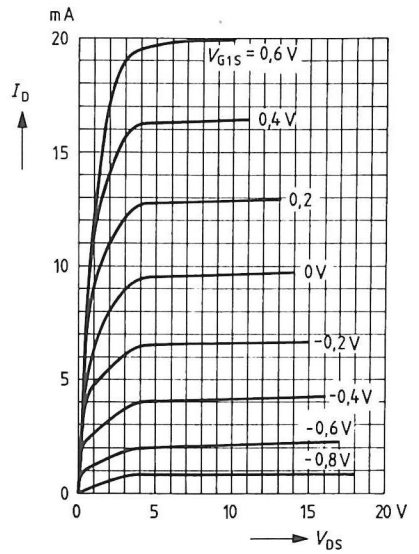
<b>Wechselstromdaten</b>		<b>min</b>	<b>typ</b>	<b>max</b>	
Vorwärtsteilheit $V_{DS} = 15\text{ V}, I_D = 10\text{ mA}, V_{G2S} = 4\text{ V}, f = 1\text{ kHz}$	$g_{fs}$	12	17	—	mS
Gate 1-Eingangskapazität $V_{DS} = 15\text{ V}, I_D = 10\text{ mA}, V_{G2S} = 4\text{ V}, f = 1\text{ MHz}$	$C_{g1ss}$	—	3,6	—	pF
Gate 2-Eingangskapazität $V_{DS} = 15\text{ V}, I_D = 10\text{ mA}, V_{G2S} = 4\text{ V}, f = 1\text{ MHz}$	$C_{g2ss}$	—	1,6	—	pF
Rückwirkungskapazität $V_{DS} = 15\text{ V}, I_D = 10\text{ mA}, V_{G2S} = 4\text{ V}, f = 1\text{ MHz}$	$C_{dg1}$	—	25	—	fF
Ausgangskapazität $V_{DS} = 15\text{ V}, I_D = 10\text{ mA}, V_{G2S} = 4\text{ V}, f = 1\text{ MHz}$	$C_{dss}$	—	1,6	—	pF
Leistungsverstärkung $V_{DS} = 15\text{ V}, I_D = 10\text{ mA}$ $f = 200\text{ MHz}, G_G = 2\text{ mS}, G_L = 0,5\text{ mS}$ $2\Delta f = 12\text{ MHz}$ (Meßschaltung 1)	$G_{ps}$	—	23	—	dB
Rauschzahl $V_{DS} = 15\text{ V}, I_D = 10\text{ mA}$ $f = 200\text{ MHz}, G_G = 2\text{ mS}, G_L = 0,5\text{ mS}$ (Meßschaltung 1)	$F$	—	1,8	—	dB
Regelumfang $V_{DS} = 15\text{ V}, V_{G2S} = 4 \dots -2\text{ V}, f = 200\text{ MHz}$ (Meßschaltung 1)	$\Delta G_{ps}$	—	50	—	dB
Mischverstärkung (additiv) $V_{DS} = 15\text{ V}, V_{G2S} = 6\text{ V}, R_S = 220\ \Omega$ $f = 200\text{ MHz}, f_{IF} = 36\text{ MHz}$ $2\Delta f_{IF} = 5\text{ MHz}, V_{osc} = 0,5\text{ V}$ (Meßschaltung 2)	$G_{psc}$	—	16	—	dB
Mischverstärkung (multiplikativ) $V_{DS} = 15\text{ V}, V_{G1S} = 1,7\text{ V}, V_{G2S} = 2,5\text{ V}$ $R_S = 220\ \Omega, f = 200\text{ MHz}, f_{IF} = 36\text{ MHz}$ $2\Delta f_{IF} = 5\text{ MHz}, V_{osc} = 2\text{ V}$ (Meßschaltung 3)	$G_{psc}$	—	18	—	dB

**Gesamtverlustleistung  $P_{\text{tot}} = f(T_A)$**



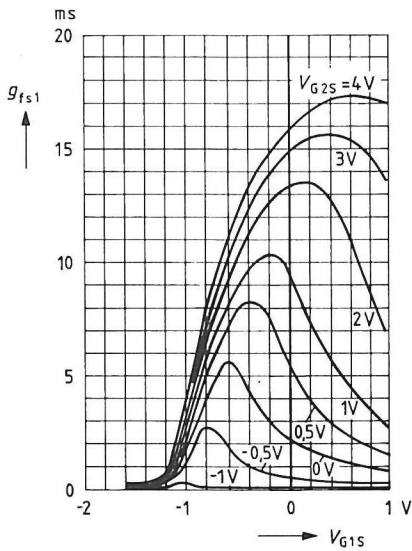
**Ausgangskennlinienfeld  $I_D = f(V_{DS})$**

$V_{G2S} = 4 \text{ V}$



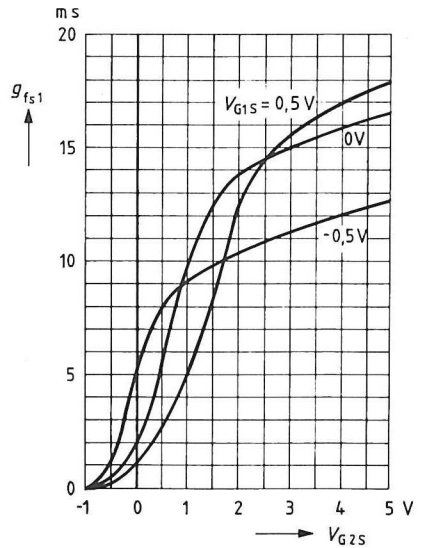
**Gate 1-Steilheit  $g_{fs1} = f(V_{G1S})$**

$V_{DS} = 15 \text{ V}$ ,  $I_{DSS} = 10 \text{ mA}$ ,  $f = 1 \text{ kHz}$



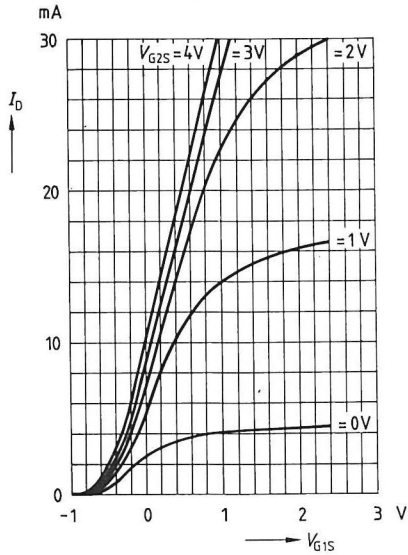
**Gate 1-Steilheit  $g_{fs1} = f(V_{G2S})$**

$V_{DS} = 15 \text{ V}$ ,  $I_{DSS} = 10 \text{ mA}$ ,  $f = 1 \text{ kHz}$



**Drainstrom**  $I_D = f(V_{G1S})$

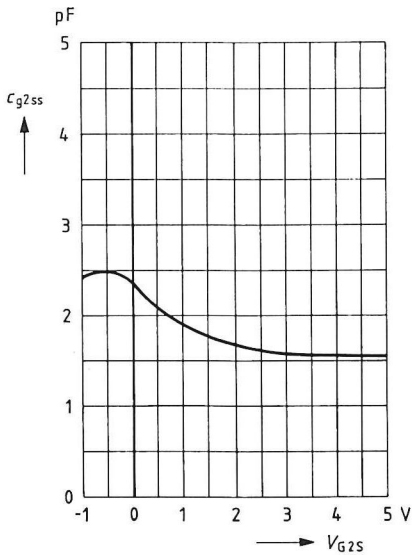
$V_{DS} = 15 \text{ V}$



**Gate 2-Eingangskapazität**  $c_{g2ss} = f(V_{G2S})$

$V_{G1S} = 0 \text{ V}, V_{DS} = 15 \text{ V}$

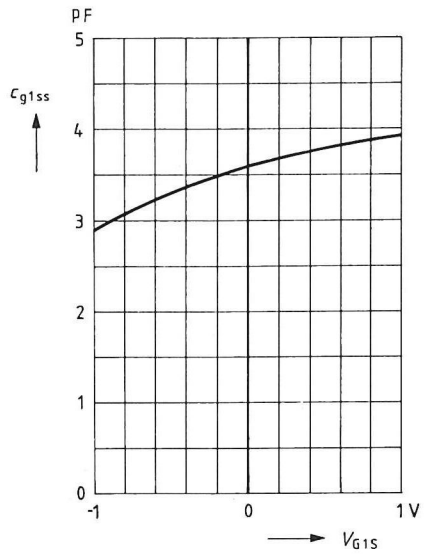
$I_{DSS} = 10 \text{ mA}, f = 1 \text{ MHz}$



**Gate 1-Eingangskapazität**  $c_{g1ss} = f(V_{G1S})$

$V_{G2S} = 4 \text{ V}, V_{DS} = 15 \text{ V}$

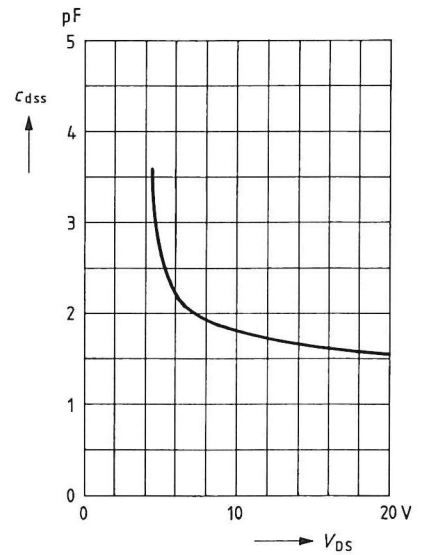
$I_{DSS} = 10 \text{ mA}, f = 1 \text{ MHz}$



**Ausgangskapazität**  $c_{dss} = f(V_{DS})$

$V_{G1S} = 0 \text{ V}, V_{G2S} = 4 \text{ V}$

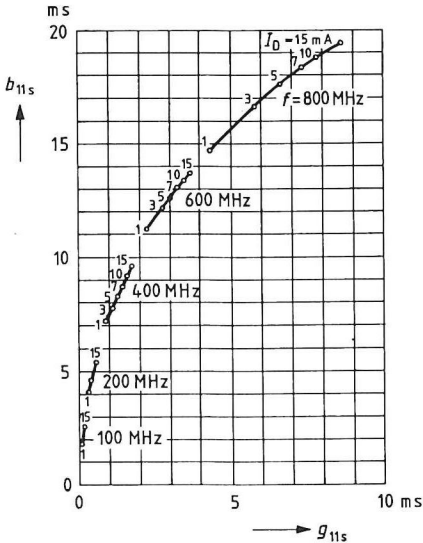
$I_{DSS} = 10 \text{ mA}, f = 1 \text{ MHz}$



**Gate 1-Eingangsleitwert  $y_{11s}$**

$V_{DS} = 15 \text{ V}$ ,  $V_{GS} = 4 \text{ V}$

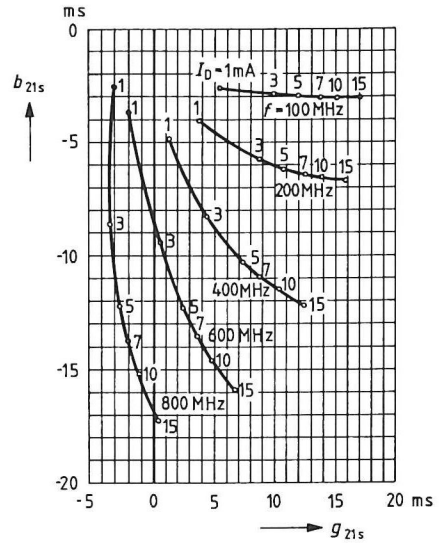
(Sourceschaltung)



**Gate 1-Steilheit  $y_{21s}$**

$V_{DS} = 15 \text{ V}$ ,  $V_{GS} = 4 \text{ V}$

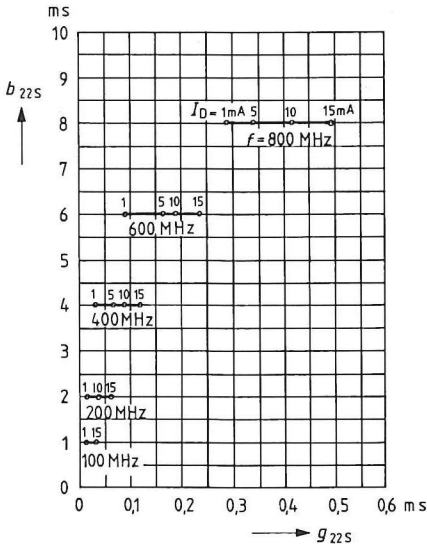
(Sourceschaltung)



**Ausgangsleitwert  $y_{22s}$**

$V_{DS} = 15 \text{ V}$ ,  $V_{GS} = 4 \text{ V}$

(Sourceschaltung)

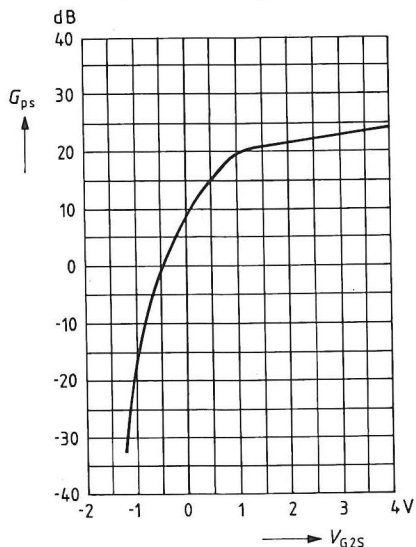




**Leistungsverstärkung**  $G_{ps} = f(V_{G2S})$

$V_{DS} = 15 \text{ V}$ ,  $V_{G1S} = 0 \text{ V}$ ,  $I_{DSS} = 10 \text{ mA}$

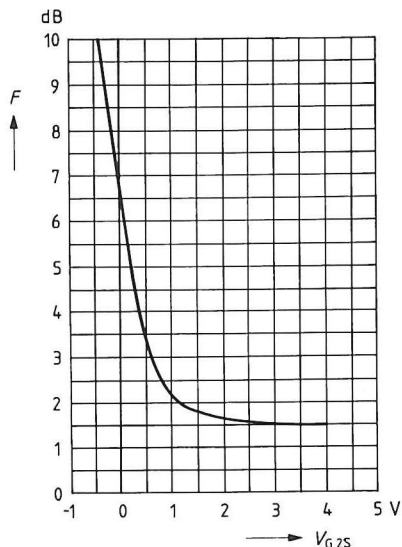
$f = 200 \text{ MHz}$  (s. Meßschaltung 1)



**Rauschzahl**  $F = f(V_{G2S})$

$V_{DS} = 15 \text{ V}$ ,  $V_{G1S} = 0 \text{ V}$ ,  $I_{DSS} = 10 \text{ mA}$

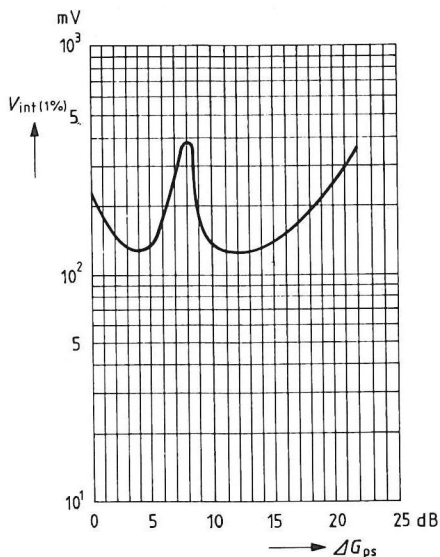
$f = 200 \text{ MHz}$  (s. Meßschaltung 1)



**1%-KM-Störspannung**  $V_{int(1\%)} = f(\Delta G_{ps})^{1)}$

$V_{DS} = 15 \text{ V}$ ,  $V_{G1S} = 0$ ,  $f = 200 \text{ MHz}$

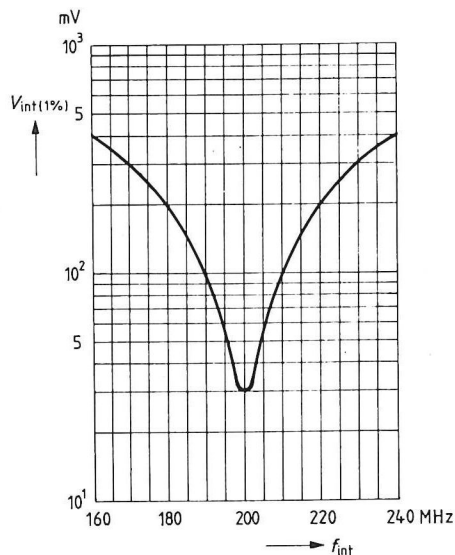
$f_{int} = 221 \text{ MHz}$  (s. Meßschaltung 1)



**1%-KM-Störspannung**  $V_{int(1\%)} = f(f_{int})^{1)}$

$V_{DS} = 15 \text{ V}$ ,  $V_{G2S} = 4 \text{ V}$ ,  $V_{G1S} = 0$

$f = 200 \text{ MHz}$  (s. Meßschaltung 1)



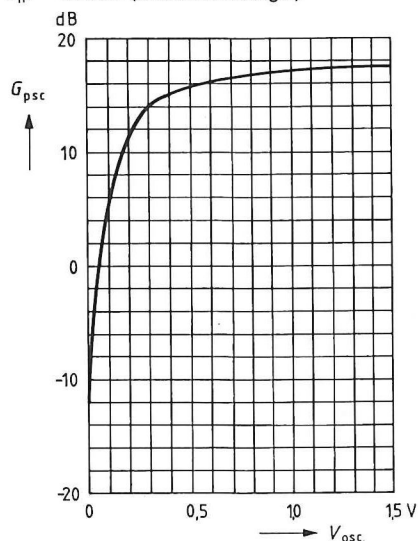
<sup>1)</sup> Fußnote s. Seite 223

**Mischverstärkung (additiv)  $G_{psc} = f(V_{osc})$**

$V_D = 15 \text{ V}$ ,  $V_{G1S} = 0$ ,  $V_{G2S} = 6 \text{ V}$

$R_S = 220 \Omega$ ,  $I_{DSS} = 10 \text{ mA}$ ,  $f = 200 \text{ MHz}$

$f_{IF} = 36 \text{ MHz}$  (s. Meßschaltung 2)

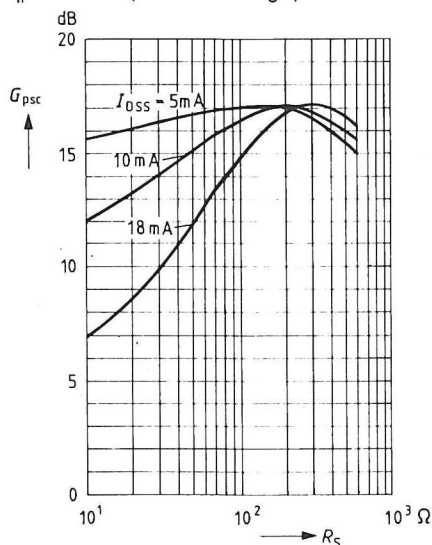


**Mischverstärkung (additiv)  $G_{psc} = f(R_S)$**

$V_D = 15 \text{ V}$ ,  $V_{G1S} = 0$ ,  $V_{G2S} = 6 \text{ V}$

$V_{osc} = 0.5 \text{ V}$ ,  $f = 200 \text{ MHz}$

$f_{IF} = 36 \text{ MHz}$  (s. Meßschaltung 2)

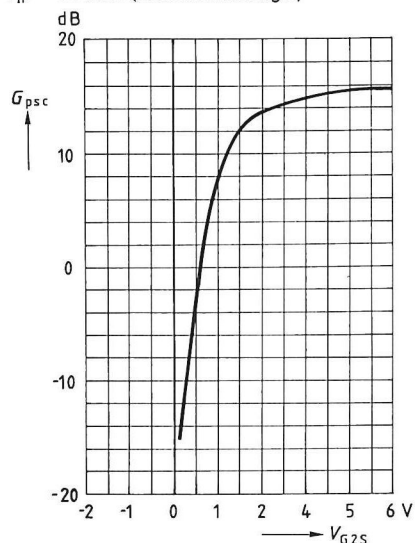


**Mischverstärkung (additiv)  $G_{psc} = f(V_{G2S})$**

$V_D = 15 \text{ V}$ ,  $V_{G1S} = 0$ ,  $R_S = 220 \Omega$

$V_{osc} = 0.5 \text{ V}$ ,  $I_{DSS} = 10 \text{ mA}$ ,  $f = 200 \text{ MHz}$

$f_{IF} = 36 \text{ MHz}$  (s. Meßschaltung 2)

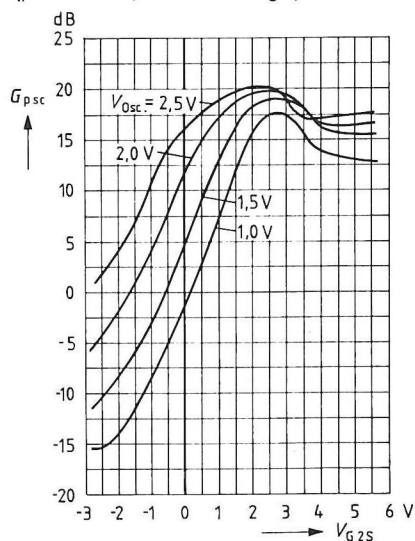


**Mischverstärkung (multiplikativ)  $G_{psc} = f(V_{G2S})$**

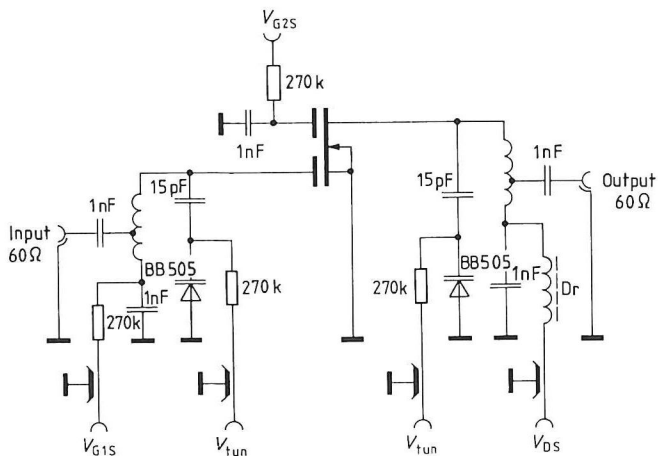
$V_D = 15 \text{ V}$ ,  $V_{G1S} = 1.7 \text{ V}$ ,  $R_S = 200 \Omega$

$I_{DSS} = 10 \text{ mA}$ ,  $f = 200 \text{ MHz}$

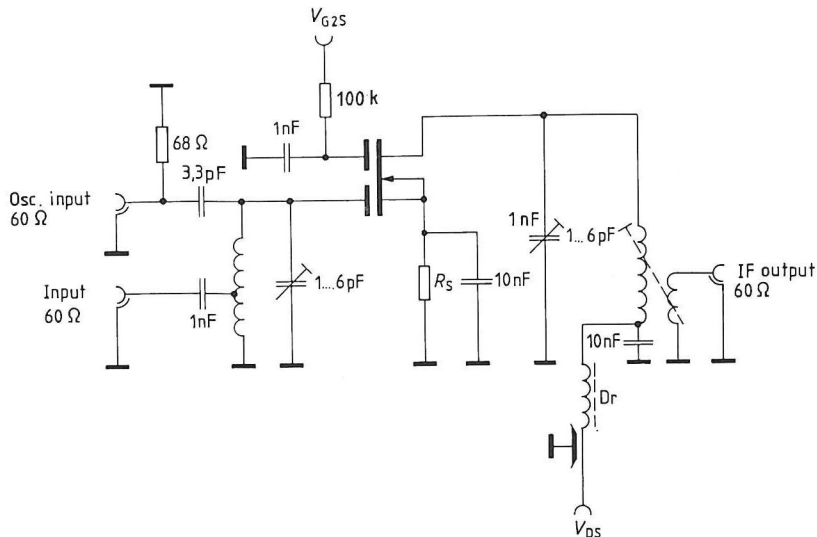
$f_{IF} = 36 \text{ MHz}$  (s. Meßschaltung 3)



**Meßschaltung 1 für Leistungsverstärkung, Rauschen und Kreuzmodulation**  
 $f = 200 \text{ MHz}$ ,  $G_G = 2 \text{ mS}$ ,  $G_L = 0,5 \text{ mS}$

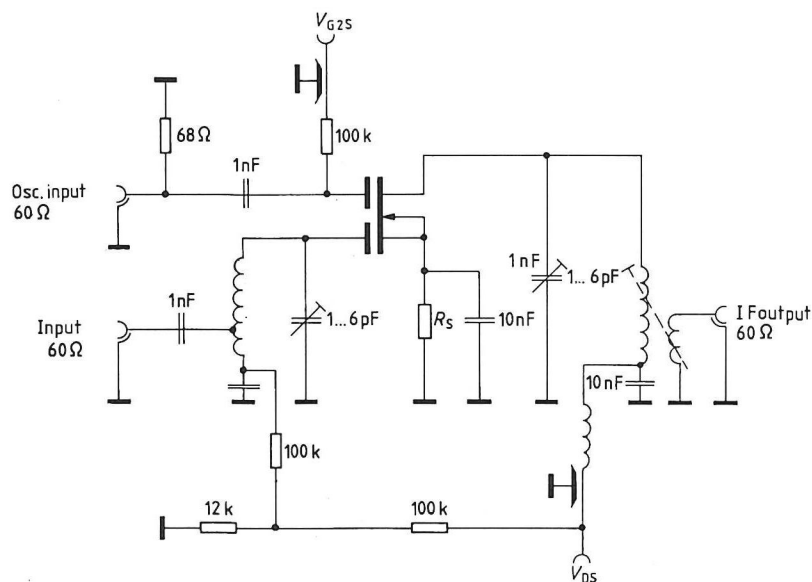


**Meßschaltung 2 für Mischverstärkung (additiv)**  
 $f = 200 \text{ MHz}$ ,  $f_{\text{osc}} = 236 \text{ MHz}$ ,  $2 \Delta f_{\text{IF}} = 5 \text{ MHz}$



**Meßschaltung 3 für Mischverstärkung (multiplikativ)**

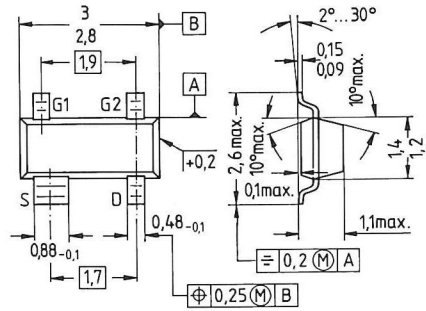
$f = 200 \text{ MHz}$ ,  $f_{\text{osc}} = 236 \text{ MHz}$ ,  $2 \Delta f_{\text{IF}} = 5 \text{ MHz}$



<sup>1)</sup>  $V_{\text{int}}(1\%)$  ist der Effektivwert der halben EMK (Klemmenspannung bei Anpassung) eines 100% sinus-modulierten Fernsehträgers bei einem Generator-Innenwiderstand von  $60 \Omega$ , der auf dem Nutzträger 1% Amplituden-Modulation verursacht.

- Für Vorstufen in UHF- und TV-Tunern
- Hohe Steilheit
- Kleine Rauschzahl
- Kunststoff-Miniaturgehäuse für Oberflächenmontage (SMD)

SOT 143



Typ	BF 996 S	
Best.-Nr.	Schüttgut: Q62702-F964	Gurt: Q62702-F1021
Stempel	MH	

Grenzdaten

Drain-Source-Spannung	$V_{DS}$	20	V
Drainstrom	$I_D$	30	mA
Gate 1/Gate 2-Source-Spitzenstrom	$\pm I_{G1/2SM}$	10	mA
Gesamtverlustleistung	$P_{tot}$	200	mW
$T_A \leq 60^\circ\text{C}$			
Lagertemperatur	$T_{stg}$	- 55... + 150	$^\circ\text{C}$
Kanaltemperatur	$T_{Ch}$	150	$^\circ\text{C}$

Wärmewiderstand			
Sperrschicht-Umgebung	$R_{thJA}$	$\leq 450$	$\text{K/W}^{1)}$

<sup>1)</sup> Bei Montage auf  $\text{Al}_2\text{O}_3$ -Keramiksubstrat 16,7 mm  $\times$  15 mm  $\times$  0,7 mm

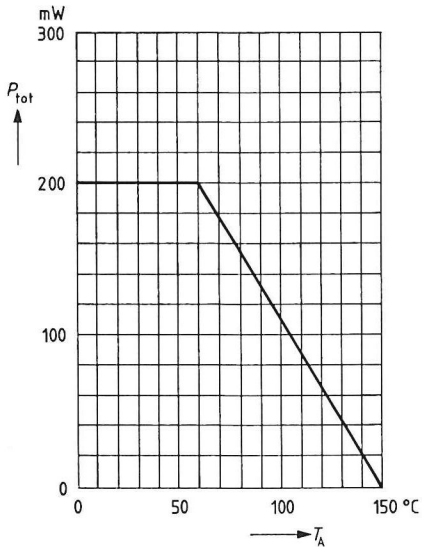
Kenndaten ( $T_A = 25^\circ\text{C}$ )

Gleichstromdaten		min	typ	max	
Drain-Source-Durchbruchspannung $I_D = 10\ \mu\text{A}$ , $-V_{G1S} = -V_{G2S} = 4\ \text{V}$	$V_{(BR)\ DS}$	20	—	—	V
Gate 1-Source-Durchbruchspannung $\pm I_{G1S} = 10\ \text{mA}$ , $V_{G2S} = V_{DS} = 0$	$\pm V_{(BR)\ G1SS}$	8,5	—	17	V
Gate 2-Source-Durchbruchspannung $\pm I_{G2S} = 10\ \text{mA}$ , $V_{G1S} = V_{DS} = 0$	$\pm V_{(BR)\ G2SS}$	8,5	—	17	V
Gate 1-Reststrom $\pm V_{G1S} = 5\ \text{V}$ , $V_{G2S} = V_{DS} = 0$	$\pm I_{G1SS}$	—	—	50	nA
Gate 2-Reststrom $\pm V_{G2S} = 5\ \text{V}$ , $V_{G1S} = V_{DS} = 0$	$\pm I_{G2SS}$	—	—	50	nA
Drainstrom $V_{DS} = 15\ \text{V}$ , $V_{G1S} = 0$ , $V_{G2S} = 4\ \text{V}$	$I_{DSS}$	2	—	20	mA
Gate 1-Source-Abschnürspannung $V_{DS} = 15\ \text{V}$ , $V_{G2S} = 4\ \text{V}$ , $I_D = 20\ \mu\text{A}$	$-V_{G1S\ (p)}$	—	—	2,5	V
Gate 2-Source-Abschnürspannung $V_{DS} = 15\ \text{V}$ , $V_{G1S} = 0$ , $I_D = 20\ \mu\text{A}$	$-V_{G2S\ (p)}$	—	—	2,0	V

**Kenndaten** ( $T_A = 25^\circ\text{C}$ )

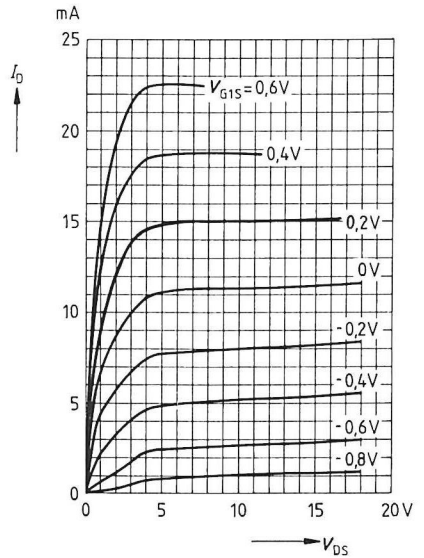
<b>Wechselstromdaten</b>		<b>min</b>	<b>typ</b>	<b>max</b>	
Vorwärtssteilheit $V_{DS} = 15\text{ V}, I_D = 10\text{ mA}, V_{G2S} = 4\text{ V}, f = 1\text{ kHz}$	$g_{fs}$	15	18	—	mS
Gate 1-Eingangskapazität $V_{DS} = 15\text{ V}, I_D = 10\text{ mA}, V_{G2S} = 4\text{ V}, f = 1\text{ MHz}$	$C_{g1ss}$	—	2,3	—	pF
Gate 2-Eingangskapazität $V_{DS} = 15\text{ V}, I_D = 10\text{ mA}, V_{G2S} = 4\text{ V}, f = 1\text{ MHz}$	$C_{g2ss}$	—	1,1	—	pF
Rückwirkungskapazität $V_{DS} = 15\text{ V}, I_D = 10\text{ mA}, V_{G2S} = 4\text{ V}, f = 1\text{ MHz}$	$C_{dg1}$	—	25	—	fF
Ausgangskapazität $V_{DS} = 15\text{ V}, I_D = 10\text{ mA}, V_{G2S} = 4\text{ V}, f = 1\text{ MHz}$	$C_{dss}$	—	0,8	—	pF
Leistungsverstärkung $V_{DS} = 15\text{ V}, I_D = 10\text{ mA}$ $f = 200\text{ MHz}, G_G = 2\text{ mS}, G_L = 0,5\text{ mS}$ (Meßschaltung 1)	$G_{ps}$	—	25	—	dB
$f = 800\text{ MHz}, G_G = 3,3\text{ mS}, G_L = 1\text{ mS}$ (Meßschaltung 2)		—	18	—	dB
Rauschzahl $V_{DS} = 15\text{ V}, I_D = 10\text{ mA}$ $f = 200\text{ MHz}, G_G = 2\text{ mS}, G_L = 0,5\text{ mS}$ (Meßschaltung 1)	$F$	—	1	—	dB
$f = 800\text{ MHz}, G_G = 3,3\text{ mS}, G_L = 1\text{ mS}$ (Meßschaltung 2)		—	1,8	—	dB
Regelumfang $V_{DS} = 15\text{ V}, V_{G2S} = 4 \dots -2\text{ V}, f = 800\text{ MHz}$ (Meßschaltung 2)	$\Delta G_{ps}$	40	—	—	dB

**Gesamtverlustleistung**  $P_{\text{tot}} = f(T_A)$



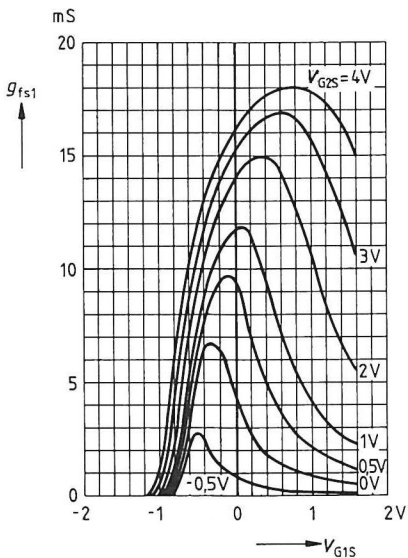
**Ausgangskennlinienfeld**  $I_D = f(V_{\text{DS}})$

$V_{\text{G2S}} = 4 \text{ V}$



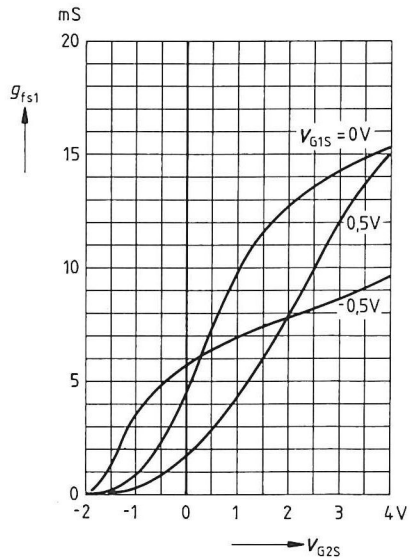
**Gate 1-Steilheit**  $g_{\text{fs1}} = f(V_{\text{G1S}})$

$V_{\text{DS}} = 15 \text{ V}$ ,  $I_{\text{DSS}} = 10 \text{ mA}$ ,  $f = 1 \text{ kHz}$



**Gate 1-Steilheit**  $g_{\text{fs1}} = f(V_{\text{G2S}})$

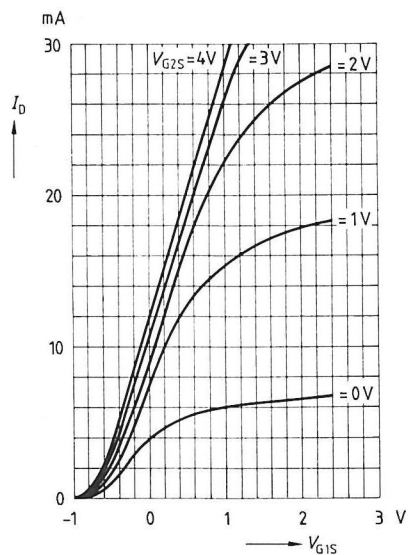
$V_{\text{DS}} = 15 \text{ V}$ ,  $I_{\text{DSS}} = 10 \text{ mA}$ ,  $f = 1 \text{ kHz}$





**Drainstrom**  $I_D = f(V_{G1S})$

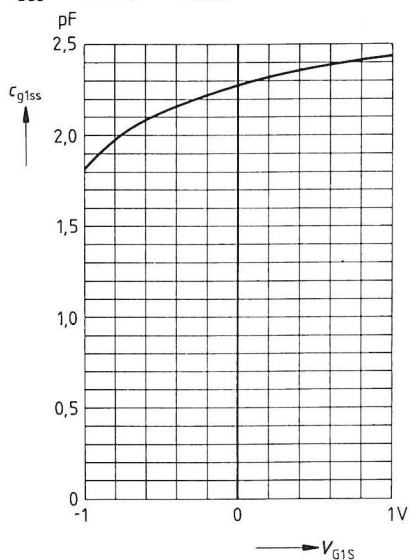
$V_{DS} = 15 \text{ V}$



**Gate 1-Eingangskapazität**  $c_{g1ss} = f(V_{G1S})$

$V_{G2S} = 4 \text{ V}, V_{DS} = 15 \text{ V}$

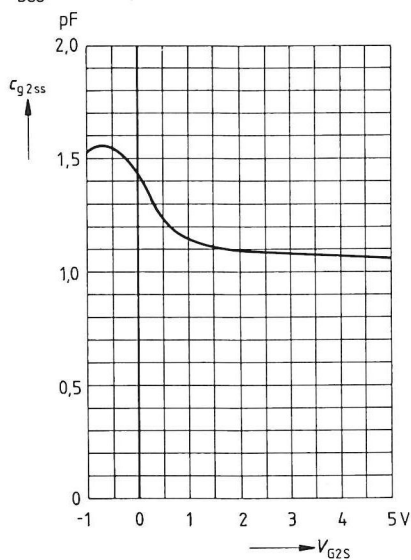
$I_{DSS} = 10 \text{ mA}, f = 1 \text{ MHz}$



**Gate 2-Eingangskapazität**  $c_{g2ss} = f(V_{G2S})$

$V_{G1S} = 0 \text{ V}, V_{DS} = 15 \text{ V}$

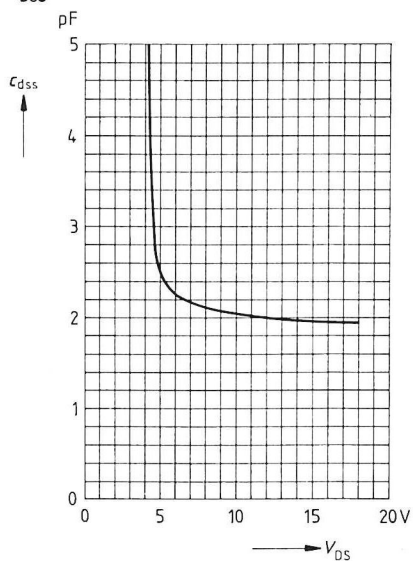
$I_{DSS} = 10 \text{ mA}, f = 1 \text{ MHz}$

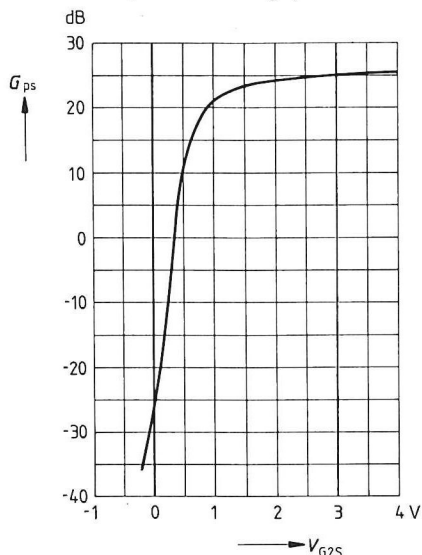
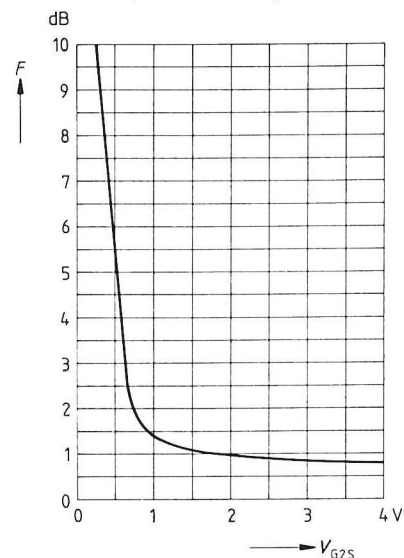
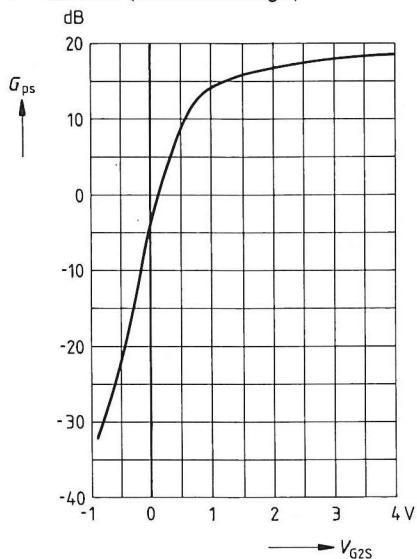
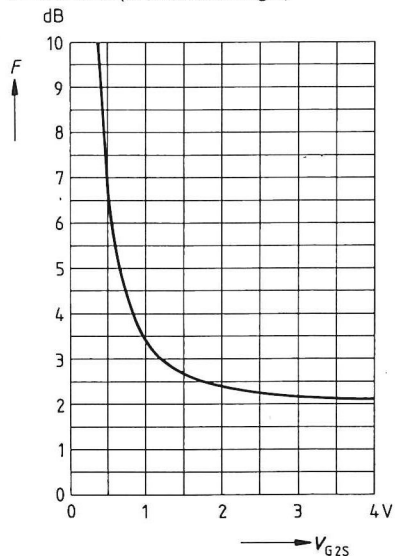


**Ausgangskapazität**  $c_{dss} = f(V_{DS})$

$V_{G1S} = 0 \text{ V}, V_{G2S} = 4 \text{ V}$

$I_{DSS} = 10 \text{ mA}, f = 1 \text{ MHz}$

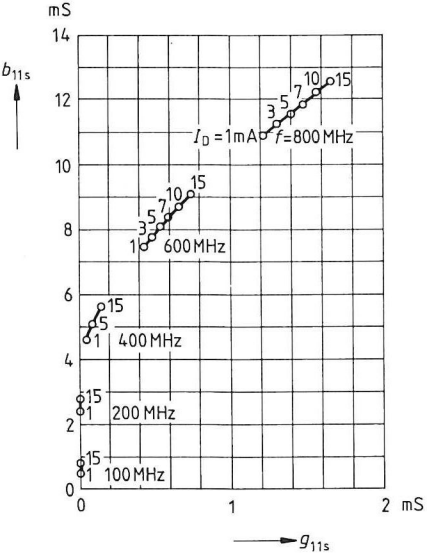


**Leistungsverstärkung  $G_{ps} = f(V_{G2S})$**  $V_{DS} = 15 \text{ V}$ ,  $V_{G1S} = 0$ ,  $I_{DSS} = 10 \text{ mA}$  $f = 200 \text{ MHz}$  (s. Meßschaltung 1)**Rauschzahl  $F = f(V_{G2S})$**  $V_{DS} = 15 \text{ V}$ ,  $V_{G1S} = 0 \text{ V}$ ,  $I_{DSS} = 10 \text{ mA}$  $f = 200 \text{ MHz}$  (s. Meßschaltung 1)**Leistungsverstärkung  $G_{ps} = f(V_{G2S})$**  $V_{DS} = 15 \text{ V}$ ,  $V_{G1S} = 0$ ,  $I_{DSS} = 10 \text{ mA}$  $f = 800 \text{ MHz}$  (s. Meßschaltung 2)**Rauschzahl  $F = f(V_{G2S})$**  $V_{DS} = 15 \text{ V}$ ,  $V_{G1S} = 0 \text{ V}$ ,  $I_{DSS} = 10 \text{ mA}$  $f = 800 \text{ MHz}$  (s. Meßschaltung 2)

**Gate 1-Eingangsleitwert  $y_{11s}$**

$V_{DS} = 15\text{ V}, V_{G2S} = 4\text{ V}$

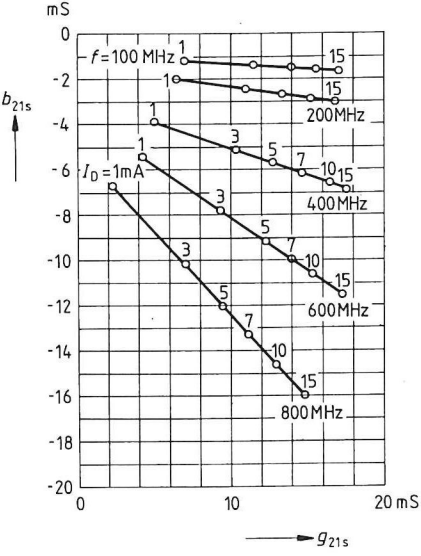
(Sourceschaltung)



**Gate 1-Steilheit  $y_{21s}$**

$V_{DS} = 15\text{ V}, V_{G2S} = 4\text{ V}$

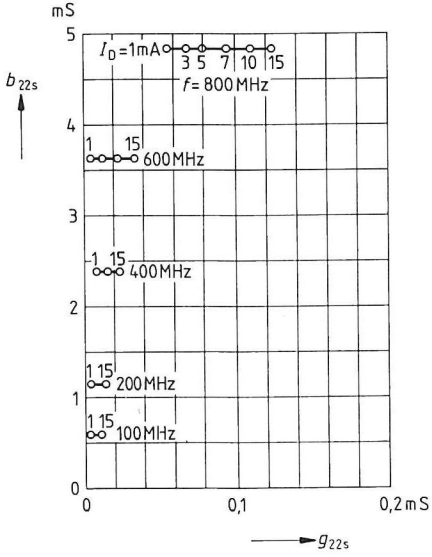
(Sourceschaltung)



**Ausgangsleitwert  $y_{22s}$**

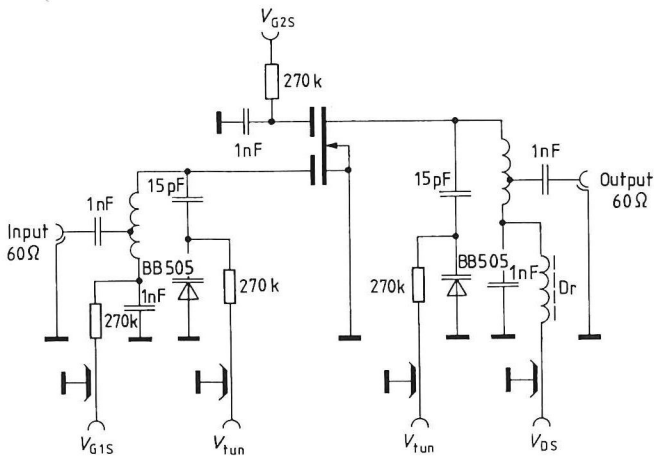
$V_{DS} = 15\text{ V}, V_{G2S} = 4\text{ V}$

(Sourceschaltung)

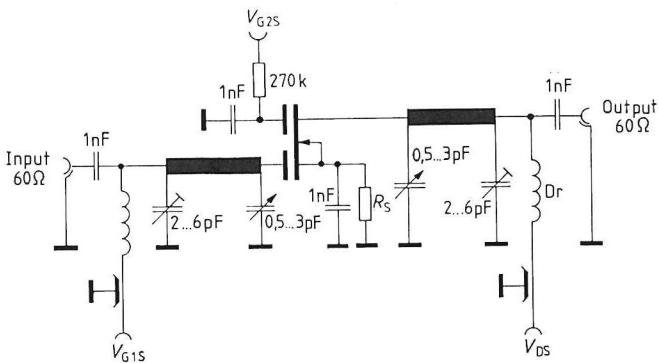


**Meßschaltung 1 für Leistungsverstärkung und Rauschen**

$f = 200 \text{ MHz}$ ,  $G_G = 2 \text{ mS}$ ,  $G_L = 0,5 \text{ mS}$

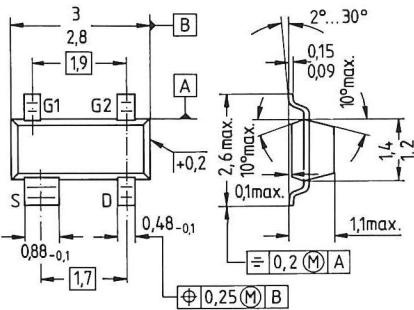
**Meßschaltung 2 für Leistungsverstärkung, Rauschen und Kreuzmodulation**

$f = 800 \text{ MHz}$ ,  $G_G = 3,3 \text{ mS}$ ,  $G_L = 1,0 \text{ mS}$



- Mit integriertem Dämpfungsnetzwerk zur Unterdrückung parasitärer Schwingungen im GHz-Bereich
- Für Anwendungen in VHF-Vor- und Mischstufen mit großem Abstimm-bereich bis etwa 500 MHz (CATV-Tuner)
- Kunststoff-Miniaturgehäuse für Oberflächenmontage (SMD)

SOT 143



Typ	BF 997	
Best.-Nr.	Schüttgut: Q62702-F993	Q62702-F1055
Stempel	MK	

Grenzdaten

Drain-Source-Spannung	$V_{DS}$	20	V
Drainstrom	$I_D$	30	mA
Gate 1/Gate 2-Source-Spitzenstrom	$\pm I_{G1/2SM}$	10	mA
Gesamtverlustleistung	$P_{tot}$	200	mW
$T_A \leq 60^\circ\text{C}$			
Lagertemperatur	$T_{stg}$	-55...+150	$^\circ\text{C}$
Kanaltemperatur	$T_{Ch}$	150	$^\circ\text{C}$

Wärmewiderstand

Sperrschicht-Umgebung	$R_{thJA}$	$\leq 450$	K/W <sup>1)</sup>
-----------------------	------------	------------	-------------------

<sup>1)</sup> Bei Montage auf  $\text{Al}_2\text{O}_3$ -Keramiksubstrat 16,7 mm x 15 mm x 0,7 mm

Kenndaten ( $T_A = 25^\circ\text{C}$ )

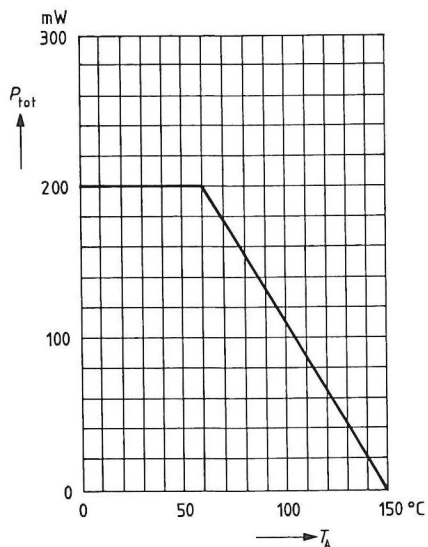
Gleichstromdaten		min	typ	max	
Drain-Source-Durchbruchspannung $I_D = 10\ \mu\text{A}$ , $-V_{G1S} = -V_{G2S} = 4\ \text{V}$	$V_{(BR)\ DS}$	20	—	—	V
Gate 1-Source-Durchbruchspannung $\pm I_{G1S} = 10\ \text{mA}$ , $V_{G2S} = V_{DS} = 0$	$\pm V_{(BR)\ G1SS}$	8,5	—	17	V
Gate 2-Source-Durchbruchspannung $\pm I_{G2S} = 10\ \text{mA}$ , $V_{G1S} = V_{DS} = 0$	$\pm V_{(BR)\ G2SS}$	8,5	—	17	V
Gate 1-Reststrom $\pm V_{G1S} = 5\ \text{V}$ , $V_{G2S} = V_{DS} = 0$	$\pm I_{G1SS}$	—	—	50	nA
Gate 2-Reststrom $\pm V_{G2S} = 5\ \text{V}$ , $V_{G1S} = V_{DS} = 0$	$\pm I_{G2SS}$	—	—	50	nA
Drainstrom $V_{DS} = 15\ \text{V}$ , $V_{G1S} = 0$ , $V_{G2S} = 4\ \text{V}$	$I_{DSS}$	2	—	20	mA
Gate 1-Source-Abschnürspannung $V_{DS} = 15\ \text{V}$ , $V_{G2S} = 4\ \text{V}$ , $I_D = 20\ \mu\text{A}$	$-V_{G1S\ (p)}$	—	—	2,5	V
Gate 2-Source-Abschnürspannung $V_{DS} = 15\ \text{V}$ , $V_{G1S} = 0$ , $I_D = 20\ \mu\text{A}$	$-V_{G2S\ (p)}$	—	—	2	V

**Kenndaten** ( $T_A = 25^\circ\text{C}$ )

**Wechselstromdaten**

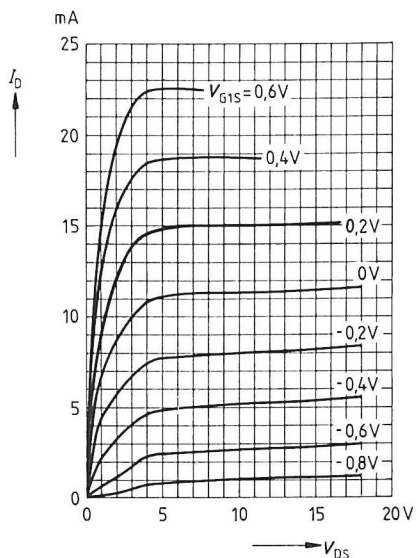
		min	typ	max	
Vorwärtssteilheit $V_{DS} = 15\text{ V}, I_D = 10\text{ mA}, V_{G2S} = 4\text{ V}, f = 1\text{ kHz}$	$g_{fs}$	15	18	—	mS
Gate 1-Eingangskapazität $V_{DS} = 15\text{ V}, I_D = 10\text{ mA}, V_{G2S} = 4\text{ V}, f = 1\text{ MHz}$	$C_{g1ss}$	—	2,5	—	pF
Gate 2-Eingangskapazität $V_{DS} = 15\text{ V}, I_D = 10\text{ mA}, V_{G2S} = 4\text{ V}, f = 1\text{ MHz}$	$C_{g2ss}$	—	1,2	—	pF
Rückwirkungskapazität $V_{DS} = 15\text{ V}, I_D = 10\text{ mA}, V_{G2S} = 4\text{ V}, f = 1\text{ MHz}$	$C_{dg1}$	—	25	—	fF
Ausgangskapazität $V_{DS} = 15\text{ V}, I_D = 10\text{ mA}, V_{G2S} = 4\text{ V}, f = 1\text{ MHz}$	$C_{dss}$	—	1	—	pF
Leistungsverstärkung $V_{DS} = 15\text{ V}, I_D = 10\text{ mA}$ $f = 200\text{ MHz}, G_G = 2\text{ mS}, G_L = 0,5\text{ mS}$ (Meßschaltung)	$G_{ps}$	—	25	—	dB
Rauschzahl $V_{DS} = 15\text{ V}, I_D = 10\text{ mA}$ $f = 200\text{ MHz}, G_G = 2\text{ mS}, G_L = 0,5\text{ mS}$ (Meßschaltung)	$F$	—	1	—	dB
Regelumfang $V_{DS} = 15\text{ V}, V_{G2S} = 4 \dots -2\text{ V}, f = 800\text{ MHz}$ (Meßschaltung)	$\Delta G_{ps}$	50	—	—	dB

Gesamtverlustleistung  $P_{\text{tot}} = f(T_A)$



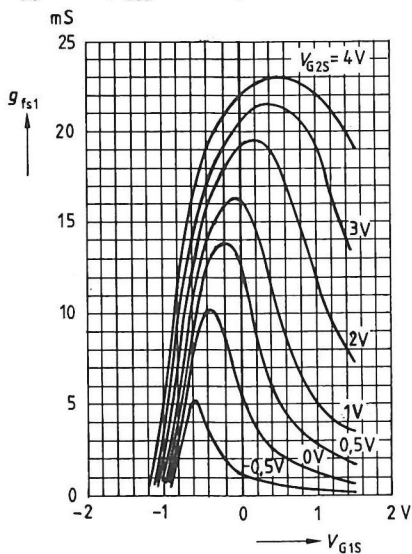
Ausgangskennlinienfeld  $I_D = f(V_{DS})$

$V_{G2S} = 4 \text{ V}$



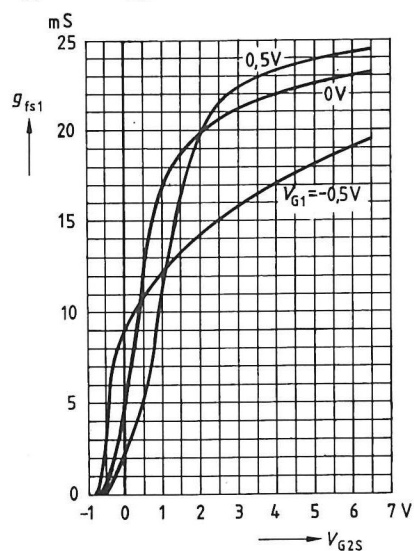
Gate 1-Stellheit  $g_{fs1} = f(V_{G1S})$

$V_{DS} = 15 \text{ V}$ ,  $I_{DSS} = 10 \text{ mA}$ ,  $f = 1 \text{ kHz}$



Gate 1-Stellheit  $g_{fs1} = f(V_{G2S})$

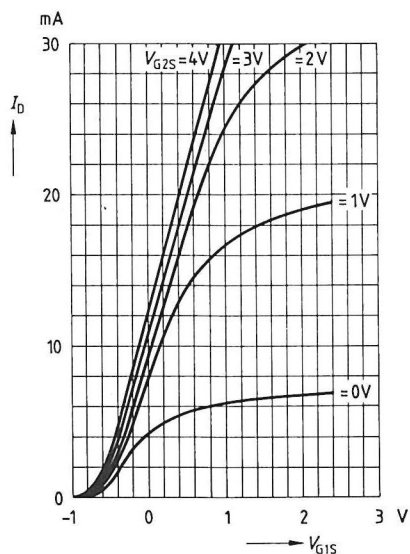
$V_{DS} = 15 \text{ V}$ ,  $I_{DSS} = 10 \text{ mA}$ ,  $f = 1 \text{ kHz}$





**Drainstrom**  $I_D = f(V_{G1S})$

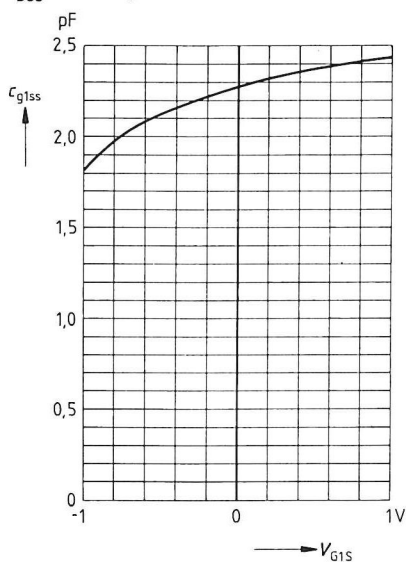
$V_{DS} = 15 \text{ V}$



**Gate 1-Eingangskapazität**  $c_{g1ss} = f(V_{G1S})$

$V_{G2S} = 4 \text{ V}, V_{DS} = 15 \text{ V}$

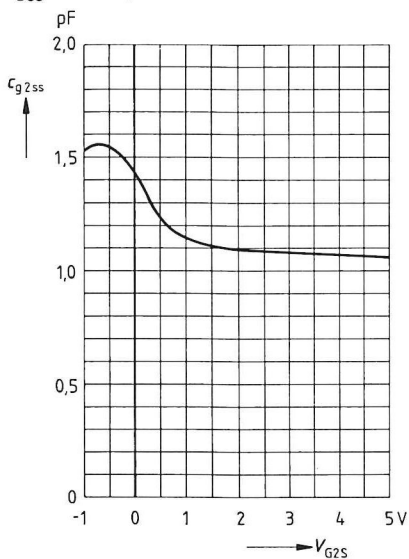
$I_{DSS} = 10 \text{ mA}, f = 1 \text{ MHz}$



**Gate 2-Eingangskapazität**  $c_{g2ss} = f(V_{G2S})$

$V_{G1S} = 0 \text{ V}, V_{DS} = 15 \text{ V}$

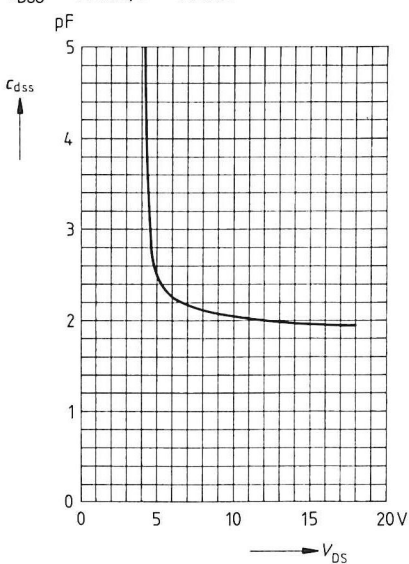
$I_{DSS} = 10 \text{ mA}, f = 1 \text{ MHz}$



**Ausgangskapazität**  $c_{dss} = f(V_{DS})$

$V_{G1S} = 0 \text{ V}, V_{G2S} = 4 \text{ V}$

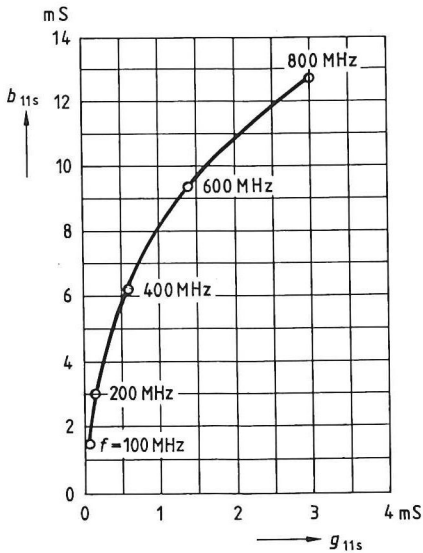
$I_{DSS} = 10 \text{ mA}, f = 1 \text{ MHz}$



**Gate 1-Eingangsleitwert  $y_{11s}$**

$V_{DS} = 15 \text{ V}, V_{G2S} = 4 \text{ V}$

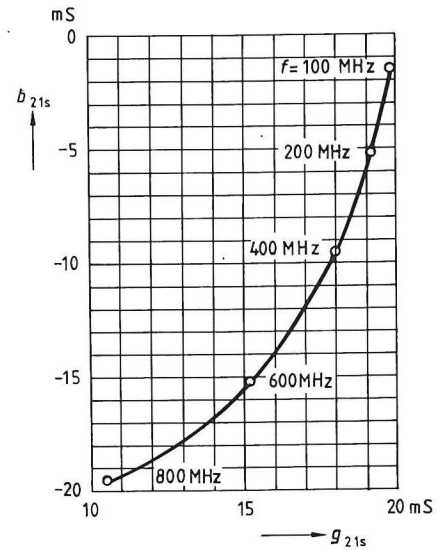
(Sourceschaltung)



**Gate 1-Steilheit  $y_{21s}$**

$V_{DS} = 15 \text{ V}, V_{G2S} = 4 \text{ V}$

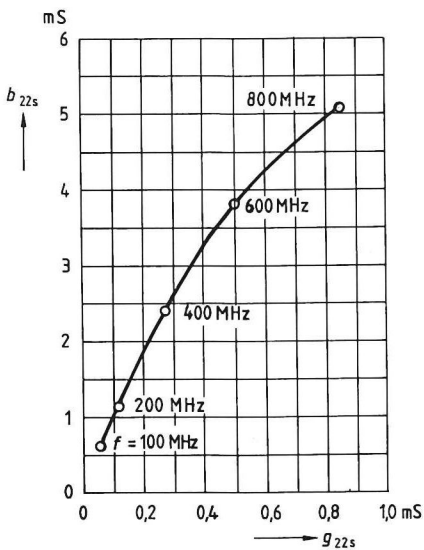
(Sourceschaltung)



**Ausgangsleitwert  $y_{22s}$**

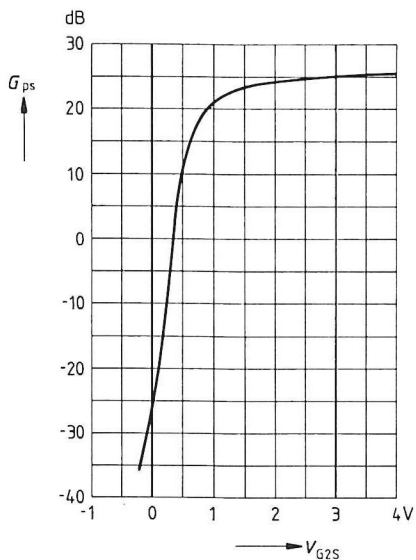
$V_{DS} = 15 \text{ V}, V_{G2S} = 4 \text{ V}$

(Sourceschaltung)

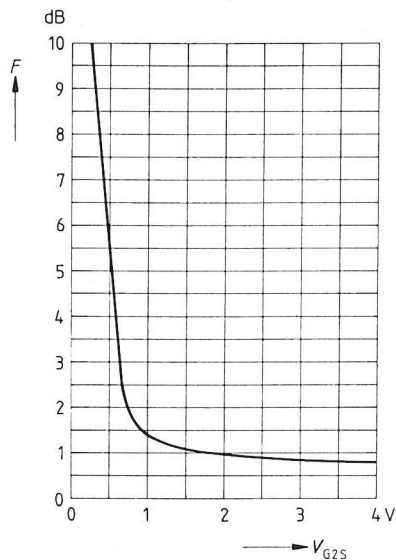
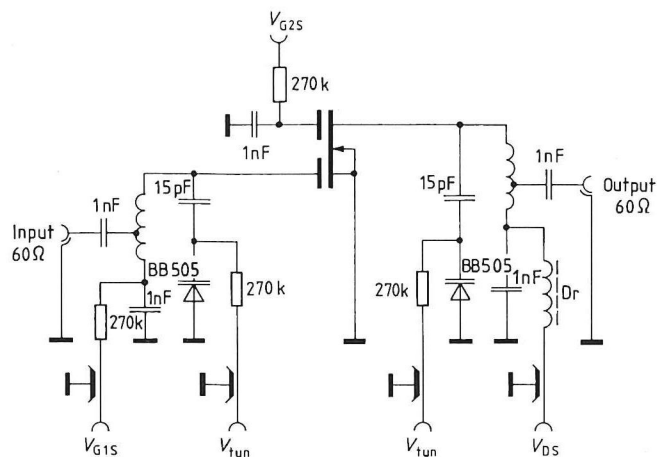


**Leistungsverstärkung  $G_{ps} = f(V_{G2S})$**  $V_{DS} = 15 \text{ V}, V_{G1S} = 0 \text{ V}$  $I_{DSS} = 10 \text{ mA}, f = 200 \text{ MHz}$ 

(s. Meßschaltung)

**Rauschzahl  $F = f(V_{G2S})$**  $V_{DS} = 15 \text{ V}, V_{G1S} = 0 \text{ V}$  $I_{DSS} = 10 \text{ mA}, f = 200 \text{ MHz}$ 

(s. Meßschaltung)

**Meßschaltung für Leistungsverstärkung und Rauschen** $f = 200 \text{ MHz}, G_G = 2 \text{ mS}, G_L = 0,5 \text{ mS}$ 

---

**Siemens in Ihrer Nähe**  
(Anschriftenverzeichnis)

---

**Siemens AG, Bereich Bauelemente**  
Balanstraße 73, Postfach 801709, **D-8000 München 80**  
☎ (089) 4144-0 **TX** 52108-0 FAX (089) 4144-2689

## Siemens in Ihrer Nähe

### Bundesrepublik Deutschland und Berlin (West)

Siemens AG  
Salzufer 6-8  
**1000 Berlin 10**  
☎ (030) 3939-1, **TX** 1810-278  
FAX (030) 3939-2630  
Ttx 308190 — sieznb

Siemens AG  
Schweriner Straße 1  
Postfach 7820  
**4800 Bielefeld 1**  
☎ (0521) 291-1, **TX** 932805  
FAX (0521) 291-375

Siemens AG  
Contrescarpe 72  
Postfach 107827  
**2800 Bremen**  
☎ (0421) 364-0, **TX** 245451  
FAX (0421) 364-2687

Siemens AG  
Lahnweg 10  
Postfach 1115  
**4000 Düsseldorf 1**  
☎ (0211) 399-0, **TX** 8581301  
FAX (0211) 399-2506

Siemens AG  
Rödelheimer Landstraße 5-9  
Postfach 111733  
**6000 Frankfurt 1**  
☎ (069) 797-0, **TX** 414131-0  
FAX (069) 797-2253

Siemens AG  
Habsburgerstraße 132  
Postfach 1380  
**7800 Freiburg 1**  
☎ (0761) 2712-1  
**TX** 772842  
FAX (0761) 2712-234

Siemens AG  
Lindenplatz 2  
Postfach 105609  
**2000 Hamburg 1**  
☎ (040) 282-1, **TX** 215584-0  
FAX (040) 282-2210

Siemens AG  
Am Maschpark 1  
Postfach 5329  
**3000 Hannover 1**  
☎ (0511) 129-0, **TX** 922333  
FAX (0511) 129-2799

Siemens AG  
Wittland 2-4  
Postfach 4049  
**2300 Kiel 1**  
☎ (0431) 5860-0  
**TX** 292814  
FAX (0431) 5860-420

Siemens AG  
Richard-Strauss-Straße 76  
Postfach 202109  
**8000 München**  
☎ (089) 9221-0  
**TX** 529421-01  
FAX (089) 9221-4499

Siemens AG  
Von-der-Lann-Straße 30  
Postfach 4844  
**8500 Nürnberg 1**  
☎ (0911) 654-0, **TX** 622251  
FAX (0911) 654-4064

Siemens AG  
Geschwister-Scholl-Straße 24  
Postfach 120  
**7000 Stuttgart 1**  
☎ (0711) 2076-0, **TX** 723941-0  
FAX (0711) 2076-3706

Siemens AG  
Nicolaus-Otto-Straße 4  
Postfach 3606  
**7900 Ulm 1**  
☎ (0731) 499-1  
**TX** 712826  
FAX (0731) 499-267

Siemens AG  
Andreas-Grieser-Str. 30  
Postfach 3280  
**8700 Würzburg 21**  
☎ (0931) 801-0  
**TX** 68844  
FAX (0931) 801-348

## Siemens in Europa

### Belgien

Siemens S.A.  
chaussée de Charleroi 116  
**B-1060 Bruxelles**  
☎ (02) 536-2111, [TX](#) 21347

### Dänemark

Siemens A/S  
Borupvang 3  
**DK-2750 Ballerup**  
☎ (02) 656565, [TX](#) 35313

### Finnland

Siemens Osakeyhtiö  
PL 8  
**SF-00101 Helsinki 10**  
☎ (0) 1626-1, [TX](#) 124465

### Frankreich

Siemens S.A.  
B.P. 109  
**F-93203 Saint-Denis CEDEX 1**  
☎ (1) 48206120, [TX](#) 620853

### Griechenland

Siemens AE  
Voulas 7  
P.O.B. 3601  
**GR-10247 Athen**  
☎ (01) 3293-1, [TX](#) 216291

### Großbritannien

Siemens Ltd.  
Siemens House  
Windmill Road  
**Sunbury-on-Thames**  
Middlesex TW 16 7HS  
☎ (09327) 85691, [TX](#) 8951091

### Irland

Siemens Ltd.  
Unit 8-11 Slaney Road  
Dublin Industrial Estate  
Finglas Road  
**Dublin 11**  
☎ (01) 302855, [TX](#) 24129

### Italien

Siemens Elettra S.p.A.  
Via Fabio Filzi, 29  
Casella Postale 10388  
**I-20100 Milano**  
☎ (02) 67661, [TX](#) 330261

### Niederlande

Siemens Nederland N.V.  
Postb. 16068  
**NL-2500 BB Den Haag**  
☎ (070) 782782, [TX](#) 31373

### Norwegen

Siemens A/S  
Østre Aker vei 90  
Postboks 10, Veitvet  
**N-0518 Oslo 5**  
☎ (02) 153090, [TX](#) 18477

### Österreich

Siemens Aktiengesellschaft  
Österreich  
Postfach 326  
**A-1031 Wien**  
☎ (0222) 7293-0, [TX](#) 1372-0

### Portugal

Siemens S.A.R.L.  
Avenida Almirante Reis, 65  
Apartado 1380  
**P-1100 Lisboa-1**  
☎ (01) 538805, [TX](#) 12563

### Schweden

Siemens AB  
Hälsingegatan 40  
Box 23141  
**S-10435 Stockholm**  
☎ (08) 161-100, [TX](#) 19880

### Schweiz

Siemens-Albis AG  
Freilagerstraße 28  
Postfach  
**CH-8047 Zürich**  
☎ (01) 495-3111, [TX](#) 558911

### Spanien

Siemens S.A.  
Orense, 2  
Apartado 155  
**E-28080 Madrid**  
☎ (01) 4552500, [TX](#) 27247

### Türkei

ETMAŞ Elektrik Tesisatı ve  
Mühendislik A.Ş.  
Meclisi Mebusan Caddesi 55/35  
Findikli  
P.K. 1001 Karakoey  
**Istanbul**  
☎ (01) 1452090, [TX](#) 24233

d 7/86

blank page

blank page



---

**Inhaltsverzeichnis**  
**Bezeichnungsschema**

---

**Typenauswahlregister**  
Typenübersicht  
Anwendungsübersicht  
Gehäuse-Vergleichsliste  
Typen- und Bestellnummern-Verzeichnis

---

**Erläuterung zu Datenblattwerten**  
**Angaben zur Qualität**

---

**Verpackung**  
**Verarbeitungshinweise**

---

**Dioden**

---

**Transistoren**

---

**Siemens in Ihrer Nähe**  
(Anschriftenverzeichnis)

---

blank page

